



دانشگاه صنعتی شاهرود

دانشکده مکانیک

پایان نامه جهت اخذ درجه کارشناسی ارشد مهندسی مکانیک گرایش تبدیل انرژی

عنوان:

حل عددی معادلات لایه مرزی در جریان تراکم ناپذیر تحت اثر  
گرادیان فشار معکوس و انحنا سطح

اساتید راهنما:

دکتر خوشنویس

دکتر محمود فرزانه

ارائه دهنده:

سعید حریری

زمستان ۱۳۸۵

بِسْمِ اللَّهِ الرَّحْمَنِ الرَّحِيمِ

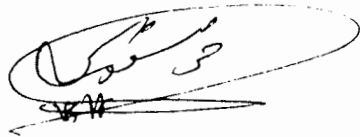
از الطاف بیکران خداوند مهربان که مثل همیشه شامل حال این بنده حقیر شده است بر خود می‌بالم و شکر این نعمت بزرگ را برجای می‌آورم .

لازم است از زحمات بی‌دریغ پدر و مادر عزیزم که در راه ادامه تحصیل من از هیچ کوششی فروگذاری نکرده اند کمال سپاس و تشکر را داشته باشم و امیدوارم بتوانم تنها قسمت کوچکی از زحمات این عزیزان را جبران کنم .

همچنین بر خود لازم دانسته از کمکهای آقای دکتر محمود فرزانه که به عنوان استاد راهنمای دوم بنده در انجام این پروژه بوده اند قدر دانی نموده و آرزوی توفیق ایشان را از درگاه خداوند متعال دارم .

این پایان نامه را تقدیم می‌کنم:  
به استاد عزیز و مهربانم جناب آقای دکتر خوشنویس

این پروژه به عنوان پایان نامه کارشناسی ارشد با نمره ( ۱۹٫۷۵ ) از طرف گروه حرارت و سیالات دانشکده مکانیک دانشگاه صنعتی شاهرود ارزیابی گردیده است.



استاد راهنمای اول (آقای دکتر خوشنویس):

استاد راهنمای دوم (آقای دکتر فرزانه):

استاد محترم ممتحن : دکتر پرویز

استاد محترم ممتحن : دکتر شمس

رییس دانشکده مکانیک و نماینده تحصیلات تکمیلی: دکتر

چکیده:

تأثیرات گرادیان فشار معکوس بر روی لایه مرزی متلاطم در این پروژه مورد بررسی قرار گرفته است. مقادیر شدتهای توربولانسی و تنش برشی توربولانسی به همراه پروفیل های سرعت تحت تاثیر گرادیان فشار معکوس به وسیله حل عددی معادلات لایه مرزی متلاطم بدست آمده اند. همچنین پارامترهای ذکر شده را به ازای مقادیر متفاوتی از گرادیان فشار معکوس بدست آورده ایم. یکی از نتایج مهم گرفته شده اینست که گرادیان فشار معکوس سبب افزایش در مقادیر توربولانسی میشود که می توان گفت این عامل باعث افزایش ناپایداری جریان می گردد و این نتیجه ای است که توسط کارهای تجربی مورد استفاده در این پایان نامه نیز تایید شده است. مدل توربولانسی مورد استفاده مدل  $(k - \epsilon)$  است که جهت گرفتن جواب مناسب در نزدیکی دیواره مدل تغییر یافته آن که توابع دیواره در آن دخالت داده شده اند مورد استفاده قرار گرفته است. علاوه بر این ما جریان بر روی سطوح محدب و مقعر را نیز در پروژه مذکور مورد بررسی قرار داده ایم. نتایج شامل تنش برشی توربولانسی و شدتهای توربولانسی و پروفیل سرعت متوسط جریان بدست آمده از حل عددی معادلات لایه مرزی بر روی سطوح منحنی در شرایط متلاطم می باشند. نتیجه گرفته شده این را تصدیق میکند که مقادیر توربولانسی تحت تاثیر انحنای مقعر افزایش یافته در حالتی که در مقایسه با صفحه مسطح قرار بگیرند. همچنین که عکس این موضوع در مورد سطوح محدب نیز صادق می باشد. بنابراین پایداری جریان تحت انحنای محدب افزایش می یابد در حالی که ناپایداری جریان به وسیله انحنای مقعر تقویت پیدا میکند. همچنین پارامترهای انتگرالی نظیر ضخامت مومنتومی و ضخامت جابجایی تحت تاثیر سطوح محدب رشدشان کاهش و توسط سطوح مقعر شاهد افزایش در رشد آنها خواهیم بود. مدل توربولانسی که برای سطوح منحنی مورد استفاده قرار گرفته است نیز مدل  $(k - \epsilon)$  میباشد.

شماره صفحه:

فهرست مطالب:

### فصل اول: مقدمه

- ۲ (۱-۱) بیان خصوصياتی از جریان آشفته و تعريف لایه مرزی هیدروdynamicی
- ۶ (۱-۲) بیان مختصری از دو مدل توربولانسی مورد استفاده
- ۱۸ (۱-۳) نگاهی مختصر به تحقیقات صورت گرفته در گذشته در مورد جریان روی سطوح منحنی و جریانهای همراه با گرادیان فشار معکوس

### فصل دوم: حل عددی معادلات لایه مرزی بر روی سطوح مسطح

- ۲۸ (۲-۱) بیان معادلات لایه مرزی در روی سطح مسطح
- ۳۱ (۲-۲) نحوه استفاده از روش طول اختلاطی در مدل کردن ترم توربولانسی و چگونگی حل معادلات
- ۳۹ (۲-۳) نحوه استفاده از روش  $(k - \epsilon)$  در مدل کردن ترم توربولانسی و چگونگی حل معادلات
- ۵۶ (۲-۴) نتایج بدست آمده (پروفیل های سرعت تنش برشی توربولانسی شدت توربولانسی و پارامترهای لایه مرزی)

### فصل سوم: اثرات گرادیان فشار معکوس بر روی لایه مرزی متلاطم

- ۷۴ (۳-۱) بیان معادلات لایه مرزی در همراه با ترم گرادیان فشار
- ۷۷ (۳-۲) تفاوت استفاده از روش طول اختلاطی در مدل کردن ترم توربولانسی و چگونگی حل معادلات
- ۷۸ (۳-۳) نحوه استفاده از روش  $(k - \epsilon)$  در مدل کردن ترم توربولانسی و چگونگی حل معادلات
- ۷۹ (۳-۴) نتایج بدست آمده (پروفیل های سرعت تنش برشی توربولانسی

شدت توربولانسی و پارامترهای لایه مرزی)

### فصل چهارم: اثرات انحنا بر روی لایه مرزی متلاطم

- ۱۰۵ (۴-۱) بیان معادلات لایه مرزی در روی سطوح منحنی
- ۱۰۸ (۴-۲) نحوه استفاده از روش  $(k - \mathcal{E})$  در مدل کردن ترم توربولانسی و چگونگی حل معادلات
- ۱۲۰ (۴-۳) نتایج بدست آمده (پروفیل های سرعت تنش برشی توربولانسی ، شدت توربولانسی و پارامترهای لایه مرزی) در حالت انحنا مقعر (Concave curvature)
- ۱۳۵ (۴-۴) نتایج بدست آمده (پروفیل های سرعت تنش برشی توربولانسی شدت توربولانسی و پارامترهای لایه مرزی) در حالت انحنا محدب (Convex curvature)

### فصل پنجم: نکاتی دیگر در مورد حل عددی معادلات لایه مرزی

- ۱۵۲ (۵-۱) شرایط اولیه برای مدل های دو معادله ای
- ۱۵۳ (۵-۲) چند نکته دیگر در مورد شبکه بندی
- ۱۵۵ (۵-۳) منابع ناپایداری حل
- ۱۵۷ (۵-۴) لزوم استفاده از مدل رینولدز پایین و مدلسازی ناحیه زیر لایه لزج نزدیک دیواره
- ۱۶۱ فصل ششم: نتیجه گیری
- ۱۶۵ پیوست ۱
- ۱۷۳ پیوست ۲
- ۱۸۲ پیوست ۳
- ۱۸۹ پیوست ۴
- ۱۹۷ مراجع مورد استفاده
- ۱۹۹ چکیده پایان نامه



شماره صفحه:	فهرست اشکال:
۶۰	شکل (۲-۱): نحوه ی توزیع پروفیل های سرعت در جریان آشفته بر روی صفحه مسطح ( $u_e = 13 m/s$ )
۶۱	شکل (۲-۲): نحوه ی توزیع پروفیل های سرعت در جریان آشفته بر روی صفحه مسطح ( $u_e = 17.5 m/s$ )
۶۴	شکل (۲-۳): نحوه ی توزیع تنش برشی توربولانسی (turbulence shear stress) بر روی صفحه مسطح ( $u_e = 13 m/s$ )
۶۴	شکل (۲-۴): نحوه ی توزیع تنش برشی توربولانسی (turbulence shear stress) بر روی صفحه مسطح ( $u_e = 17.5 m/s$ )
۶۵	شکل (۲-۵): نحوه ی توزیع شدت توربولانسی (turbulence intensity) بر روی صفحه مسطح ( $u_e = 13 m/s$ )
۶۵	شکل (۲-۶): نحوه ی توزیع شدت توربولانسی (turbulence intensity) بر روی صفحه مسطح ( $u_e = 17.5 m/s$ )
۶۶	شکل (۲-۷): نحوه ی توزیع شدت توربولانسی (turbulence intensity) روی صفحه مسطح ( $u_e = 13 m/s$ )
۶۶	شکل (۲-۸): نحوه ی توزیع شدت توربولانسی (turbulence intensity) بر روی صفحه مسطح ( $u_e = 17.5 m/s$ )
۶۷	شکل (۲-۹): نحوه ی توزیع شدت توربولانسی (turbulence intensity) بر روی صفحه مسطح ( $u_e = 13 m/s$ )
۶۷	شکل (۲-۱۰): نحوه ی توزیع شدت توربولانسی (turbulence intensity) بر روی صفحه مسطح ( $u_e = 17.5 m/s$ )
۵۳	شکل (۲-۱۱): نحوه شبکه بندی جهت حل عددی با استفاده از ساختار Crank-Nicholson در روی صفحات بدون انحنای
۵۳	شکل (۲-۱۲): نحوه شبکه بندی جهت حل عددی با استفاده از ساختار Keller's box در روی صفحات بدون انحنای
۵۷	شکل (۲-۱۳): نمایی از ساختار و جزئیات دستگاه تجربی توضیح داده شده
۵۸	شکل (۲-۱۴): نمایی از ساختار دستگاه تجربی مورد استفاده
۸۴	شکل (۳-۱): نحوه ی توزیع پروفیل های سرعت در جریان آشفته همراه با گرادیان فشار معکوس ( $u_{e1} = 13 m/s, \beta = 0.62$ )
۸۴	شکل (۳-۲): نحوه ی توزیع پروفیل های سرعت در جریان آشفته همراه با گرادیان فشار معکوس ( $u_{e1} = 17.5 m/s, \beta = 0.8$ )
۸۵	شکل (۳-۳): نحوه ی توزیع پروفیل های سرعت در جریان آشفته همراه با گرادیان فشار معکوس ( $u_{e1} = 17.5, \beta = 1.8$ )

شماره صفحه:

- شکل (۳-۴): نحوه ی توزیع پروفیل های سرعت در جریان آشفته همراه با گرادیان فشار معکوس ( $u_{e1} = 26.5, \beta = 1.3$ ) ۸۵
- شکل (۳-۵): نحوه ی توزیع ضخامت جابجایی (displacement thickness) جریان آشفته همراه با گرادیان فشار معکوس ( $u_{e1} = 13, \beta = 0.62$ ) در مقایسه با صفحه مسطح ۸۶
- شکل (۳-۶): نحوه ی توزیع ضخامت جابجایی (displacement thickness) جریان آشفته همراه با گرادیان فشار معکوس ( $u_{e1} = 17.5, \beta = 0.8, 1.3, 1.8$ ) در مقایسه با صفحه مسطح ۸۶
- شکل (۳-۷): نحوه ی توزیع ضخامت مومنتوم (momentum thickness) جریان آشفته همراه با گرادیان فشار معکوس ( $u_{e1} = 13, \beta = 0.62$ ) در مقایسه با صفحه مسطح ۸۷
- شکل (۳-۸): نحوه ی توزیع ضخامت مومنتوم (momentum thickness) جریان آشفته همراه با گرادیان فشار معکوس ( $u_{e1} = 17.5, \beta = 0.8, 1.3, 1.8$ ) در مقایسه با صفحه مسطح ۸۷
- شکل (۳-۱۱): نحوه ی توزیع تنش برشی توربولانسی (turbulent shear stress) جریان آشفته همراه با گرادیان فشار معکوس ( $u_{e1} = 13, \beta = 0.62$ ) ۹۱
- شکل (۳-۱۵): نحوه ی توزیع شدت توربولانسی (turbulent intensity) جریان آشفته همراه با گرادیان فشار معکوس ( $u_{e1} = 13, \beta = 0.62$ ) ۹۳
- شکل (۳-۲۸): نمایی از موقعیتها وهندسه مورد استفاده جهت حل عددی ۸۰
- شکل (۳-۲۹): نمایی از ساختار و اجزای دستگاه تجربی مورد استفاده ۸۱
- شکل (۳-۳۰): نمایی از موقعیتها وهندسه مورد استفاده جهت حل عددی ۸۲
- شکل (۴-۱): نحوه ی توزیع پروفیل های سرعت در جریان آشفته بر روی صفحه مقعر ( $u_{e1} = 13 m/s, P_{cv} = 0.023$ ) ۱۲۵
- شکل (۴-۳): نحوه ی توزیع تنش برشی توربولانسی (Turbulent shear stress) در جریان آشفته بر روی صفحه مقعر ( $u_{e1} = 13 m/s, P_{cv} = 0.023$ ) ۱۲۹
- شکل (۴-۵): نحوه ی توزیع شدت توربولانسی (Turbulent intensity) در جریان آشفته بر روی صفحه مقعر ( $u_{e1} = 13 m/s, P_{cv} = 0.023$ ) ۱۳۰
- شکل (۴-۱۱): نحوه ی توزیع پروفیل های سرعت در جریان آشفته بر روی صفحه محدب ( $u_{e1} = 13 m/s, P_{cx} = 0.023$ ) ۱۳۵
- شکل (۴-۱۳): نحوه ی توزیع ضخامت جابجایی (displacement thickness) در جریان آشفته بر روی صفحات محدب و مقعر ( $u_{e1} = 13 m/s, P_{cx} = 0.023$ ) در مقایسه با صفحه مسطح ۱۳۶
- شکل (۴-۱۹): نحوه ی توزیع تنش برشی توربولانسی (Turbulent shear stress) در جریان آشفته بر روی صفحه محدب ( $u_{e1} = 13 m/s, P_{cx} = 0.023$ ) ۱۴۱
- شکل (۴-۲۱): نحوه ی توزیع شدت توربولانسی (Turbulent intensity) در جریان آشفته بر روی صفحه محدب ( $u_{e1} = 13 m/s, P_{cx} = 0.023$ ) ۱۴۲
- شکل (۴-۲۷): نحوه شبکه بندی مورد استفاده جهت حل عددی در جریان بر روی سطوح منحنی ۱۱۷

شماره صفحه:

- |     |  |
|-----|--|
| ۱۲۱ | شکل (۴-۲۸): نمایی از ساختار و جزئیات دستگاه تجربی معرفی شده            |
| ۱۲۲ | شکل (۴-۲۹): نمایی از موقعیتها و هندسه مورد استفاده جهت حل عددی         |
| ۱۲۳ | شکل (۴-۳۰): نمایی از موقعیتها و جزئیاتی دیگر از دستگاه تجربی معرفی شده |
| ۱۲۳ | شکل (۴-۳۱): نمایی از موقعیتها و هندسه مورد استفاده جهت حل عددی         |

فهرست جدول ها:

شماره صفحه:

۷	جدول (۱-۱): مقایسه مدل‌های توربولانسی از لحاظ کارایی و هزینه
۵۹	جدول (۲-۱): بیان وضعیت قرار گرفتن موقعیتهای مختلف ذکر شده در نمودارهای مربوط به بخش نتایج
۷۲	جدول (۲-۲): خطای محاسبه شده برای مقادیر عددی بدست آمده در مقایسه با کار تجربی در روی صفحه مسطح ( $u_e = 13 m/s$ )
۸۳	جدول (۳-۱): مقادیر بدست آمده از سرعت جریان آزاد در موقعیتهای مختلف مورد بررسی
۱۰۲	جدول (۳-۲): خطای محاسبه شده برای مقادیر عددی بدست آمده در مقایسه با کار تجربی در جریان همراه با گرادیان فشار معکوس ( $u_{e1} = 13, \beta = 0.62$ )
۱۰۳	جدول (۳-۳): خطای محاسبه شده برای مقادیر عددی بدست آمده در مقایسه با کار تجربی در جریان همراه با گرادیان فشار معکوس ( $u_{e1} = 17.5, \beta = 1.8, 0.8$ )
۱۲۴	جدول (۴-۱): بیان وضعیت قرار گرفتن موقعیتهای مختلف ذکر شده در نمودارهای مربوط به بخش نتایج
۱۴۷	جدول (۴-۲): خطای محاسبه شده برای مقادیر عددی بدست آمده در مقایسه با کار تجربی در روی صفحه مقعر ( $u_{e1} = 13 m/s, P_{cx} = 0.023$ )
۱۴۸	جدول (۴-۳): خطای محاسبه شده برای مقادیر عددی بدست آمده در مقایسه با کار تجربی در روی صفحه محدب ( $u_{e1} = 13 m/s, P_{cx} = 0.023$ )
۱۴۹	جدول (۴-۴): خطای محاسبه شده برای مقادیر عددی بدست آمده در مقایسه با کار تجربی در روی صفحه محدب ( $u_{e1} = 33 m/s, P_{cx} = 0.01$ )
۱۴۹	جدول (۴-۵): خطای محاسبه شده برای مقادیر عددی بدست آمده در مقایسه با کار تجربی در روی صفحه مقعر ( $u_{e1} = 33 m/s, P_{cx} = 0.01$ )

فهرست علائم:

$\delta$ : ضخامت لایه مرزی

$\delta^*$ : ضخامت جابجائی

$\theta$ : ضخامت مومنتوم

$C_f$ : ضریب اصطکاک

$\beta$ : پارامتر گرادیان فشار تعریف شده در قسمت (۱-۳)

$H$ : ضریب شکل  $\frac{\delta^*}{\theta}$

$\nu$ : ویسکوزیته سینماتیکی

$\rho$ : دانسیته جرمی

$Re_x$ : عدد رینولدز براساس مسافت طولی

$k$ : انرژی جنبشی توربولانسی

$k_r$ : معکوس شعاع انحنا

$K$ : ثابت طول اختلاط برابر با ۰,۴

$\mathcal{E}$ : نرخ استهلاک انرژی جنبشی توربولانسی

$u$ : سرعت مماس بر خطوط جریان

$\nu$ : مولفه عمودی سرعت و عمود بر راستای جریان

$l_m$ : طول اختلاطی

$u_p$ : سرعت در ناحیه پتانسیلی

$u_{\text{پ}}$ : سرعت پتانسیلی بر روی دیواره

$V_i$ : ویسکوزیته آشفتگی

فصل اول :

مقدمه

## ۱-۱) بیان خصوصياتی از جریان آشفته

### جریانات آشفته:

همانطور که از نام آن مشخص است این جریان رفتاری بسیار اتفاقی و بی سازمان دارد در این جریان سیال به واسطه فرایندهای اختلاطی شدید جزء در نواحی بسیار نزدیک به دیواره شکل لایه های جریان به راحتی قابل تشخیص نمی باشد. به عبارت دیگر جریان آشفته نوعی از جریان سیال است که در آن سیال تحت نوسانات جریانی و فرایندهای اختلاطی شدید قرار می گیرد. این رفتار بر خلاف رفتار جریان آرام است که در آن ذرات سیال تحت لایه ها و مسیرهای مشخص حرکت می نماید. در یک جریان آشفته اندازه سرعت در هر نقطه دائما تحت نوسانات و تغییرات هم در اندازه و هم در راستای حرکتی قرار می گیرد به طوریکه تشخیص موقعیت ذره در داخل میدان جریان مشکل می باشد بطوریکه همین وضعیت نوسانات دائمی و غیر مشخص را می توان در اندازه دما و فشار و چگالی هر نقطه مشاهده نمود. البته نوسانات اندازه چگالی فقط در جریانهای تراکم پذیر و یا جریانهای درگیر با انتقال حرارت جابجایی آزاد مشاهده می گردد. [۴]

اغلب جریانهایی که در مسائل مهندسی با آنها دست به گریبان هستیم جریانهای آشفته محسوب می شوند مگر در جریانهایی که اعداد رینولدز بسیار کوچک بوده و یا جریانهای بسیار نزدیک به لبه حمله اجسام و یا لایه های بسیار نزدیک به سطوح جامد اجسام و یا سیالاتی که دارای ویسکوزیته بسیار بالا باشند بطور کلی یک جریان آشفته دارای خصوصیات ذیل می باشد: [۳]

۱. بی نظمی مکانی و زمانی

۲. رینولدزهای بالا (معمولا)

۳. استهلاک افزایش یافته انرژی و مومنوم

۴. سه بعدی بودن (حتی در جریانهایی که ظاهرا دو بعدی باشند)



یک جریان آشفته به واسطه ادیهای موجود در ساختار خود از یک جریان آرام تمیز داده می شود ادیهای موجود در جریانات آشفته باعث ایجاد نوسان در میدان سرعت، فشار، دما و چگالی و حتی غلظت جریان می شوند. همین ادیها باعث ایجاد نوعی عدم قاطعیت در تعیین مقادیر صریح متغیرهای جریانی در توزیع میدان جریان می گردند. (اگرچه نوسانات میدان سرعت به خودی خود نیز به نوعی باعث تشکیل ادی می گردند) در ادامه به بررسی اجمالی چگونگی تشکیل ادی می پردازیم.

به واسطه حرکات اتفاقی و نامنظم ذرات در یک جریان آشفته و وجود اغتشاش در جریان گاهها" در امتداد عمود بر راستای جریان اصلی، یک سری جریانات، جانبی رخ می دهد. به واسطه این عمل، مومنتوم لایه های نزدیک دیواره ( که به واسطه ذات اضمحلالی جریان آشفته بخشی از انرژی آنها از دست رفته است ) به طور دائمی توسط لایه های پر انرژی بالاتر انتقال می یابد و همین امر باعث

می شود که بخشی از مومنتوم از دست رفته سیال مجاور دیواره توسط لایه های پرانرژی بالاتر جبران گردد. نتیجه دیگر حرکات اتفاقی و نامنظم جریان در جهت عمود بر جریان، تشکیل ادی می باشد. با در نظر گرفتن این اصل که هموار هر ذره متحرک سیال تمایل به حفظ مومنتوم خود دارد، وقتی به واسطه یک اغتشاش کوچک ذره ای از سیال داخل لایه مرزی بدون وجود پتانسیل لازمه (و تنها تحت اثر ذرات ناپایدار جریان) از لایه با مومنتوم کم به لایه با مومنتوم بالا جهش می نماید، برای حفظ و بازگشت مومنتوم ذره به مقدار اولیه خود، ذره در موقعیت جدید خود، حرکتی را در مقیاس کوچک ولی در خلاف جهت مومنتوم لایه مزبور انجام می دهد تا مومنتوم افزایش یافته مجدداً تا حدی به مومنتوم اولیه خود کاهش یابد. مجموعه این نوع حرکات در کنار تمایل جریان به حفظ قانون پیوستگی، منجر به تشکیل ادی می گردد. همین توصیف در مورد ذراتی که از لایه با مومنتوم بالا به لایه با مومنتوم پائین منتقل می گردند و در نهایت باعث تشکیل ادی می گردند نیز صحیح می باشد

به بیان دیگر، وقتی بخشی از جریان به صورت جانبی به لایه های پائینتر منتقل می گردد، در همین زمان برای جلوگیری از تجمع ذرات در لایه تحتانی و به واسطه قانون پیوستگی جرم، حرکت مشابهی

در جهت مخالف بایستی رخ دهد تا سیال کندتر را به سمت سیال سریعتر منتقل نماید تا در آن قسمت شتاب دهی شود. مجدداً برای جلوگیری از تجمع ذرات فقط در دو نقطه لازم است که حرکات مشابهی در راستای جریان اصلی نیز رخ دهد. مجموعه این فرآیندهای انتقال مومنتوم منجر به تشکیل آدی ها در جریانات آشفته می شود.

خاطر نشان می کنیم که این اغتشاشات موجود در جریانات آشفته (مثلاً اغتشاشات سرعتی) می توانند دارای اندازه‌ای از چند صدم اندازه سرعت متوسط جریان تا اندازه‌ای از مرتبه سرعت متوسط جریان یا بیشتر داشته باشد، به عبارت دیگر اثر اغتشاش می تواند از مقادیر کوچک (جهش به لایه های نزدیک با مومنتومی نزدیک به مومنتوم لایه موجود) تا مقادیر قابل توجه (جهش به لایه های دور با مومنتومی بسیار بزرگتر یا بسیار کوچکتر از مومنتوم لایه موجود) طبق بندی گردد. به عبارت دیگر می توان طیف وسیعی از اندازه ادیها را در یک جریان شاهد باشیم.

در صورت چرخش یک آدی در جهت مناسب آدی مزبور می تواند باعث انتقال انرژی از لایه های پرنرژی به سمت لایه های کم انرژی و بالعکس می شود. به عبارت دیگر حضور آدی می تواند باعث توزیع متناسب مومنتوم، انرژی حرارتی، فشار، دما و غیره در داخل میدان گردد. لازم به ذکر است که چنانچه در یک میدان جریان گرادیان سرعت وجود نداشته باشد، دیگر برای سیال دلیلی وجود ندارد که در مقابل اغتشاشات اتفاقی جریان، یک حرکت دیگر و در جهت عمود بر آن برای بازگشت به ممنتوم اولیه انجام دهد. یعنی در یک جریان بدون وجود گرادیان در میدان سرعت متوسط، یک اغتشاش در مولفه سرعت لزوماً به یک آدی تبدیل نشده و اغتشاش مزبور پس از مدت کوتاهی تحت اثرات لزجت سریعاً میرا می گردد. بنابراین وجود گرادیان سرعت متوسط شرط لازم برای تشکیل ادیها و تبدیل جریان آرام به آشفته می باشد. لذا در مدلسازی های جریانات آشفته بایستی نواحی دارای گرادیان سرعت متوسط (بالاخص نواحی مجاور دیواره و یا نواحی داخل گردابه ها و جریانات جدایشی) به دقت مدلسازی گردند تا بتوان رژیم دقیقی از جریان آشفته را مدل نمود.

جریان‌ات آرام دارای اغتشاش تنها در مقیاس مولکولی می‌باشند که اصطلاحاً به آن نفوذ یا اختلاط مولکولی گفته می‌شود. یعنی آنچه باعث نفوذ، پخش و یا دیفیوژن (توزیع) کمیتهای فیزیکی نظیر حرارت یا مومنتوم در داخل جریان می‌شود، خواصی مولکولی نظیر هدایت حرارتی  $K$  و یا ویسکوزیته و با استفاده از حرکت مولکولها در مقیاس  $\text{Mean Free Path}$  می‌باشند. در جریان آشفته نوسانات اغتشاشی موجود، بر روی طیف وسیعی از مقیاسها (به واسطه حضور ادیهای در مقیاسهای مختلف) رخ می‌دهد. اندازه ساختارهای موجود در جریان آشفته (مثلاً ادیهای موجود در جریان آشفته) که می‌تواند از مقادیر نزدیک به مقیاس مولکولی تا بزرگترین طول مقیاسهای جریان (نظیر قطر لوله یا طول صفحه) باشد. از طرفی نوسانات میدان سرعت می‌تواند از چند درصد مقدار سرعت متوسط تا صد درصد مقدار سرعت متوسط در هر دو سوی مثبت و منفی باشند. اغتشاشات دینامیکی که ذات جریان‌ات آشفته می‌باشد، می‌تواند باعث اختلاط و نیز تبادل شدید مومنتوم و حرارت گردد، از همین رو جریان‌ات آشفته به جریان‌اتی شدیداً اضمحلالی با ضریب اصطکاک و ضریب انتقال حرارت بالا در مقایسه با جریان‌ات آرام محسوب می‌شوند. هر چه میزان اغتشاش در مقیاس بزرگتری رخ دهد، اندازه تبادل مومنتوم و حرارت بزرگتر خواهد بود. پروفیل سرعت جریان‌ات آشفته نسبت به جریان‌ات آرام، مسطح‌تر می‌باشد. و بالتبع آن گرادیان سرعت در نزدیکی دیواره و تنش برشی ناشی از آن در جریان‌ات آشفته بیش از جریان‌ات آرام می‌باشد. [۴]

۱-۲) بیان مختصری از دو مدل توربولانسی مورد استفاده :

تعیین تنش برشی برای جریانات آشفته بسیار حیاتی و در عین حال از دیدگاه محاسباتی کمی پیچیده می باشد از طرفی بدون داشتن رابطه ای برای تنش برشی نمی توان با نوشتن بالانس نیروهای وارد بر یک المان سیال توزیع سرعت را در درون یک جریان بدست آورد. لذا در این راستا از مدل‌های توربولانسی کمک گرفته می شود.

تاکنون صدها مدل توربولانسی ارائه شده اند که هر یک برای رژیم‌های خاص جریانی و حتی در ناحیه ای خاص از میدان جریان معتبر و دقیق می باشند هدف نهایی تمام مدل‌های توربولانسی محاسبه اندازه تنش رینولدز  $-\rho \overline{u_i' u_j'}$  در نقاط مختلف جریان می باشند .

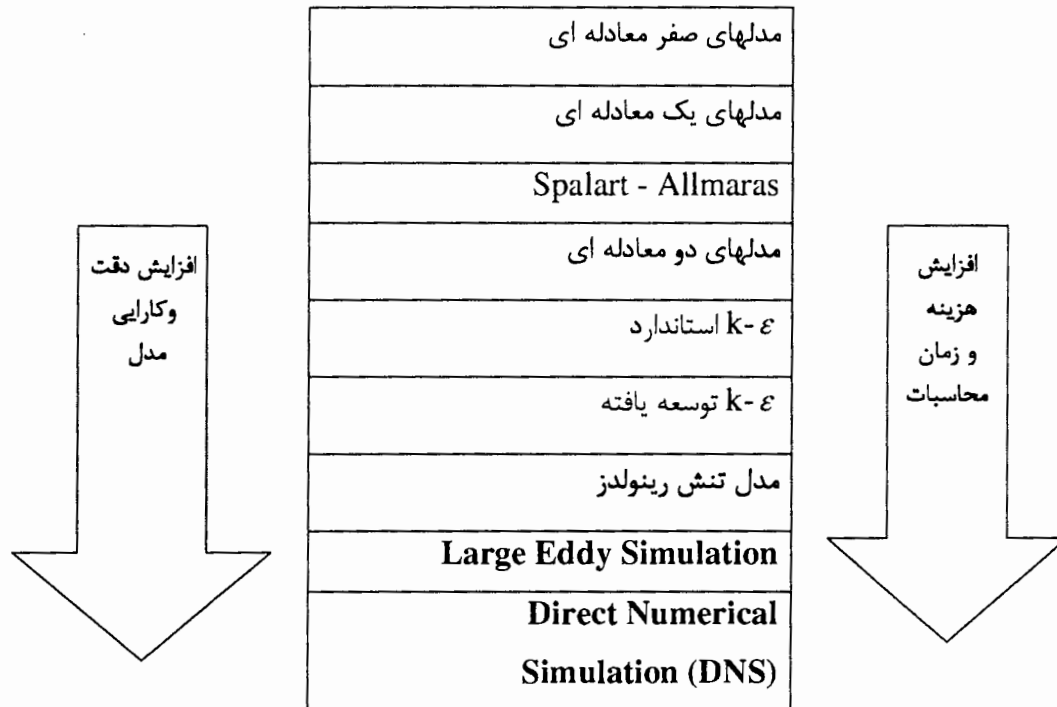
مدل‌های توربولانسی موجود را می توان از دو منظر نگریست :

الف) روابط اساسی حاکم Eddy-viscosity

ب) مدل‌های Eddy-viscosity

روابط اساسی حاکم بر Eddy-viscosity از یک پارامتر منفرد که اصطلاحاً ویسکوزیته آشفته  $\mu_T$  نامیده می شود برای بیان رابطه بین تنش های رینولدز موجود در معادلات لایه مرزی از پروفیل‌های موجود در میدان جریان متوسط استفاده می کنند . از سوی دیگر مدل‌های Eddy-viscosity نیز برای محاسبه  $\mu_T$  معرفی شده در روابط اساسی Eddy-viscosity استفاده می شود. [۲]

برای مقایسه انواع مدلها با یکدیگر می توان از نمودار زیر استفاده کرد :



جدول (۱-۱): مقایسه مدلهای توربولانسی از لحاظ کارایی و هزینه

۱-۲-۱) مدل‌های صفر معادله ای (مدل طول اختلاطی):

پرائنتل در سال ۱۹۲۵ پیشنهاد کرد که می‌توان به یک جریان آشفته ، به صورت انتقال اتفاقی دسته‌ای از ذرات در طول یک طول مقیاس اختلاطی  $l_m$  نگرینست (این طول مقیاس اختلاطی معیاری از اندازه ادی می باشد). وی با استفاده از فرضیات ریاضی و مشاهدات آزمایشگاهی فرض نمود که در داخل لایه مرزی ، اندازه نوسانات سرعت در راستای  $y, x$  میدان سرعت را می توان به گرادیان سرعت میدان جریان در راستای عمود بر راستای صفحه مرتبط دانست [۲]:

$$u' - l_x \frac{\partial u}{\partial y}, v' - l_y \frac{\partial u}{\partial y} \quad (1-1)$$

که در آن مقادیر بیان شده توسط رابطه (۱-۱) ، اندازه‌های فرضی برای ادیهای آشفته می باشند. در این صورت با ضرب نمودن دو اندازه مزبور در یکدیگر و متوسط گیری از نتیجه خواهیم دید که :

$$-\overline{u'v'} = l_m^2 \left( \frac{\partial u}{\partial y} \right)^2 \quad (1-2)$$

که در آن طولی اختلاطی برابر است با :

$$l_m = \sqrt{l_x l_y} \quad (1-3)$$

در این بین ثوابت نسبت حذف شده اند. [۲]. توجه شود که طول مقیاس اختلاطی معیاری از اندازه متوسط ادیهای جریان آشفته می باشد. از سوی دیگر از آنجا که به دنبال رابطه‌ای به شکل زیر هستیم:

$$-\rho \overline{u'v'} = \mu_t \frac{\partial u}{\partial y} \quad (1-4)$$

رابطه‌ای ساده که در آن اندازه تنش برشی غالب در جریانات لایه مرزی آشفته را با گرادیان سرعت دائم در راستای عمود بر جریان لایه مرزی صفحه‌ای مرتبط می نماید. لذا با مقایسه نتایج به دست آمده

می‌توان نشان داد که :

$$v_i = l_m^2 \left( \frac{\partial u}{\partial y} \right) \quad (1-5)$$

از نقطه نظر دیگر نیز می‌توان به رابطه  $(v_i = l_m^2 \left( \frac{\partial u}{\partial y} \right))$  دست یافت : از آنجا که  $v_i$  دارای بعد

[سرعت] × [طول] می‌باشد، پیشنهاد می‌شود که این کمیت به صورت زیر تقریب زده شود. [۲]:

$$v_i = u_0 \times l_m \quad (1-5)$$

که در آن اندازه مرسوم برای ادی آشفته بوده و یک سرعت مقیاس آشفته می‌باشد.

در فرضیه طول اختلاطی فرض می‌شود که  $u_0 = l_m \frac{\partial u}{\partial y}$  می‌باشد. به هر حال نیازمند آن هستیم که

مقادیر را به نحوی تعیین نمائیم. اما تجربه نشان داده است که طول مقیاس اختلاط را می‌توان تابعی از

فاصله از دیواره در نظر گرفت. زیرا در نواحی نزدیک دیواره ، به واسطه محدود شدن رشد ادیها توسط

دیواره ، طول مقیاس اختلاط کوچک می‌گردد، به همین دلیل در نواحی دور از دیواره نیز انتظار داریم

که اندازه ادیها و نیز طول مقیاس اختلاط بزرگتر باشد. حال چنانچه اندازه نوسانات آشفتهگی سرعت را

به ترتیب با  $\sqrt{v'^2}$ ،  $\sqrt{u'^2}$  نمایش داده و رابطه بین آنها و اندازه تنش برشی آشفته را به صورت

$$R \equiv \frac{-\overline{u'v'}}{\sqrt{u'^2} \sqrt{v'^2}} \quad (1-6)$$

تغییر می‌نماید. [۲]. پراپرتی فرض نمود  $R=1$  که می‌باشد. بنابراین بر طبق تعریف  $R$  خواهیم دید

که :

$$-\rho \overline{u'v'} = \rho \sqrt{u'^2} \sqrt{v'^2} \quad (1-6)$$

او همچنین فرض نمود که آشفتهگی جریان ایزوتوپ می‌باشد ( یعنی اندازه آن - یا اندازه ادیها - در

جهات X و Y برابر می‌باشد) . او همچنین جذر متوسط مربعات نوسانات آشفتهگی را به عنوان سرعت

مقیاس در نظر گرفت ، بنابراین :

$$\sqrt{u'^2} = \sqrt{v'^2} = u_0 \quad (1-7)$$

و یا آنکه :

$$-\rho \overline{u'v'} = \rho u_0^2 \quad (1-8)$$

از آنجا که در یک جریان برشی ساده  $\tau_{xy} = -\rho \overline{u'v'} = \mu_t \frac{\partial u}{\partial y}$  می باشد ، و با این فرض که  $v_t = u_0 \times l_m$  می باشد . لذا مدل پرائنتل اظهار می دارد که :

$$v_t = l_m^2 \left( \frac{\partial u}{\partial y} \right) \quad (1-5)$$

بنابراین میتوان با استفاده از رابطه فوق ، اندازه ویسکوزیته سینماتیک آشفته را به طول مقیاس اختلاط  $l_m$  و گرادیان سرعت متوسط مرتبط نمود. مطالعات تجربی بعدی پرائنتل نشان داد که حتی درون یک جریان مجزا دارای مقدار ثابتی نمی باشد و مقدار آن وابسته به فاصله از دیواره و پارامترهای دیگر می باشد. در بخش بعدی میتوان چگونگی تعیین اندازه را برای جریانات مختلف و در قسمت های مختلف هر جیان مشاهده نمود. اگرچه می توان روابط کاملتری را در کتابهای مرتبط با جریانات آشفته بیابیم. پیش از ادامه مبحث ، مجددا یادآوری می کنیم که استفاده از روش پرائنتل و روابطی نظیر  $v_t = l_m^2 \left( \frac{\partial u}{\partial y} \right)$  تنها محدود به جریانات برشی ساده نظیر لایه های مرزی ، جریانات جت برشی و کلا هر جریانی که در آن توزیع سرعت در هر مقطع تنها تابعی از  $y$  می باشد. لذا هر چه انحراف جریانات دیگر از این شرط بیشتر باشد ، استفاده از رابطه با خطای بیشتری مواجه خواهد بود. [۲]

تعیین اندازه طول اختلاطی در نواحی مختلف یک لایه مرزی :

چنانچه یک میدان جریان تشکیل شده بر روی یک صفحه را به دو ناحیه مختلف ذیل تقسیم نمائیم:

ناحیه نزدیک دیواره ، ناحیه دور از دیواره

روابط مختلفی برای توزیع در این نواحی ارائه شده است.



اندازه طول اختلاطی برای ناحیه نزدیک دیواره (Near-Wall Region)

$$l_m = ky \left[ 1 - \exp\left(-\frac{y^+}{A}\right) \right] \quad (1-9)$$

ناحیه دور از دیواره یا Outer Layer

طول اختلاطی (معیاری از اندازه ادی)، در فواصل دور از دیواره نمی تواند به طور بی حد و حصر رشد نمایند، چرا که همواره اندازه ادیهای آشفتگی ( جزء در اعداد رینولدز خیلی بزرگ که ادیها در داخل لایه مرزی کشیده می شوند) از ضخامت لایه مرزی کوچکتر می باشند. لذا کاری که در اینجا عملاً صورت می پذیرد آن است که یک حد فوقانی برای جلوگیری از رشد بی حد و حصر ادیها تعیین می گردد که این حد فوقانی کسری از ضخامت لایه مرزی می باشد. متناسب با فاصله از دیواره  $y$  ، و نیز بخشی از ضخامت لایه مرزی است. Smith , Cebeci پیشنهاد نموده اند [۲] که :

$$l_m = \text{Min}(ky, 0.09\delta) \quad (1-10)$$

که ثابت  $k$  ، ثابت فن کارمن و برابر ۰٫۴۱ می باشد .

به طور کلی مدل طول اختلاطی برای جریانات برشی تعادلی یا جریانات نزدیک به به حالت تعادل خوب جواب می دهد ولی در جریانات پیچیده این مدل مشکلات عمده ای دارد. مشکل اصلی مدل نیمه تجربی طول اختلاطی ارائه شده برای تعیین ویسکوزیته اصلاح شده با ویسکوزیته آشفته این است که در نواحی از میدان جریان که به واسطه شکل خاصی از پروفیل سرعت می شود، ویسکوزیته اصلاح شده با ویسکوزیته آشفته صفر خواهند شد که به معنای آرام بودن جریان در آن نقطه (البته از دید این تئوری) می باشد که این ادعای غیر جامع و بعضاً غلطی می باشد. [۱]

۱-۲-۲) مدل‌های یک معادله ای :

در مدل‌های یک معادله ای یکی از دو مقیاس مهم در جریانات آشفته ، یعنی از میان زمان مقیاس جریانات آشفته و طول مقیاس جریانات آشفته و یا ترکیبی از آن دو ، با استفاده از یک معادله انتقالی به دست می آید . معمولاً این انرژی جنبشی  $k$  است که برای آن از یک معادله انتقالی استفاده می شود . بطورمثال، مدل (spalart-Allmaras) در شکل اصلی خود مدلی موثر برای اعداد رینولدز پائین محسوب می گردد یعنی استفاده موثر از این مدل تنها محدود به نواحی متأثر از لزجت در داخل لایه مرزی و نواحی مشابه ( با عدد رینولدز پائین ) می باشد . هر چه از این نواحی دور شویم و به سمت نواحی با عدد رینولدز بالاتر حرکت نمائیم از قابلیت های این مدل در تعیین  $\mu_t$  کاسته خواهد شد . اما در برخی از نرم افزارهای تجاری این مدل را می توان برای مواقعی که المانهای نزدیک خیلی ریز نمی باشند به توابع دیواره ها مجهز نمود تا بتوان اثرات نواحی با ویسکوزیته بالای نزدیک دیواره را در تواناییهای این مدل داخل نمود این امر باعث شده است که این مدل بهترین گزینه برای رسیدن به حلهای خام (crude simulation) بر روی شبکه درشت اولیه باشد به علاوه گرادینهای نزدیک دیواره متغیرهای انتقالی در این مدل بسیار کوچکتر از گرادینهای نزدیک دیواره متغیرهای انتقالی در مدل‌های  $k - \epsilon$  است . این امر باعث آن می شود که این مدل در مقایسه با مدل  $k - \epsilon$  نسبت به خراب بودن مشها ( که می تواند منجر به ایجاد دیفیوژن مجازی شود ) از حساسیت کمتری برخوردار می باشد و از این لحاظ با مشکلات کمتری مواجه می شود . تجربه نشان داده است که این مدل در جریانات با گرادیان های فشار معکوس بهتر از مدل  $k - \epsilon$  عمل می کند . چون این مدل ، مدل جدید بوده هنوز هیچ ادعائی مبنی بر مناسب بودن این مدل برای تمام جریانات مهندسی پیچیده ارائه نشده است . مدل‌های یک معادله ای بخاطر عدم توانایی در وفق دادن خود با تغییرات سریع در مقیاسهای طولی همواره مورد انتقاد قرار داشته اند این تغییرات شدید را بالاخص در تغییرات ناگهانی

جریانات محدود به دیواره به جریانات برشی آزاد ( همانند تخلیه یک جت با ابعاد محدود به درون

محیطی با ابعاد نامتناهی همانند هوای اتمسفر ) مشاهده می نمائیم . [۲]

۱-۲-۳) مدل‌های دو معادله ای:

مدل‌های دو معادله ای به عنوان زیر بنای بسیاری از تحقیقات مربوط به مدلسازی جریانات آشفته و بالاخص در سالیان اخیر بسیار مورد توجه قرار گرفته اند ساده ترین مدل‌های کامل آشفتگی ( که در عین حال قابلیت های بالا ، دارای معادلات نسبتاً ساده ای نیز می باشند ) ، مدل‌هایی دو معادله ای هستند که در آنها حل دو معادله انتقال جداگانه باعث تعیین شدن مستقل مقیاس سرعت آشفتگی و مقیاس طول آشفتگی می شوند .

مهمترین اختلاف بین مدل‌های دو معادله ای و سایر مدل‌های Eddy-viscosity آن است که مدل‌های دو معادله ای مدل‌های کاملی می باشند یعنی از آنها می توان برای پیش بینی خواص یک جریان آشفته بدون آگاهی قبلی از ساختار جریان و یا هندسه جریان استفاده نمود . در حالیکه هم در معادلات صفر معادله ای ( جبری ) و هم در معادلات ، طول مقیاسهائی وجود دارد که برای تعیین اندازه آنها ، نیاز به دانستن از قبل رژیم جریان و شکل آن می باشد و این امر مدلسازی جریانات آشفته قبل از حل آنها را کمی پیچیده می نماید . نقطه آغاز تمام مدل‌های Eddy-viscosity دو معادله مجازاً خطی ، استفاده از تقریب Boussinesq و معادله انتقال برای انرژی جنبشی آشفتگی ،  $k$  می باشد . انتخاب متغیر دوم دلخواه بوده و تا امروزه پیشنهادات زیادی برای این انتخاب ارائه شده است قدرت ، اقتصادی بودن و دقت قابل قبول برای طیف وسیعی از جریانات آشفته ، این مدل را به یک مدل رایج برای جریانات صنعتی و مدلسازی انتقال حرارت نموده است .

### ۱-۲-۳-۱) مدل استاندارد $k - \epsilon$

مدل  $k - \epsilon$  معروفترین مدل دو معادله ای می باشد چرا که فهم آن آسان و استفاده از آن در برنامه نویسی ساده می باشد در مدل‌های Eddy-viscosity ،  $k - \epsilon$  ، میدان آشفته بر حسب دو متغیر بیان می شود :

الف) انرژی جنبشی جریان آشفته  $k$

ب) نرخ اضمحلال ویسکوزیته انرژی آشفته  $\epsilon$

$$k = \frac{1}{2} \overline{u'_i u'_i}$$

$$\epsilon = \left[ \frac{\mu}{\rho} \right] \overline{u'_{i,j} u'_{i,j}} \quad (1-10)$$

می توان به کمک آنالیز ابعادی نشان داد که ویسکوزیته آشفته  $\mu_t$  را میتوان به طول مقیاسی

ادیهای بزرگ جریان آشفته مرتبط ساخت:

$$\mu_t \propto \rho u_L \delta_L \quad (1-11)$$

که در آن  $u_L$  و  $\delta_L$  به ترتیب سرعت مقیاس و طول مقیاس بزرگترین ادی ها در میدان جریان آشفته

می باشند بعلاوه می توان نشان داد که :

$$U_L \propto \sqrt{k}$$

$$\delta_L \propto \frac{\sqrt{k^3}}{\epsilon} \quad (1-12)$$

که می توان در نهایت به معادله زیر رسید :

$$\mu_t = C_\mu \rho \frac{k^2}{\epsilon} \quad (1-13)$$

که در آن  $C_\mu$  یک ضریب تجربی است که مقدار آنرا معمولاً برابر ۰,۰۹ در نظر می گیرند .

در مدل استاندارد  $k - \epsilon$  مقادیر  $\epsilon, K$  توسط معادلات نیمه تجربی زیر بدست می آید:

$$\rho \frac{\partial K}{\partial t} + \rho u_j k_{,j} = \left[ \mu + \frac{\mu_t}{\sigma_k} k_{,j} \right]_{,j} + G + B - \rho \epsilon \quad (1-14)$$

$$\rho \frac{\partial \epsilon}{\partial t} + \rho u_j \epsilon_{,j} = \left[ \mu + \frac{\mu_t}{\sigma_\epsilon} \epsilon_{,j} \right]_{,j} + C_1 \frac{\epsilon}{k} G + C_1(1-C_3) \frac{\epsilon}{K} B - C_2 \rho \frac{\epsilon^2}{K} \quad (1-15)$$

که در آن  $C_3, C_2, C_1$  ضرایبی تجربی بوده و  $\sigma_\epsilon, \sigma_k$  نیز به ترتیب اعداد پرانتل و اشمیت آشفته

می باشند و ترمهای  $C_1 \left[ \frac{\epsilon}{K} \right] G, C_2 \rho \left[ \frac{\epsilon^2}{K} \right]$  به ترتیب بیانگر فرایندهای تولید برش ( Shear

Generation processes) و فرایند اضمحلال ویسکوز  $\epsilon$  می باشند ترم  $C_1(1-C_3) \left( \frac{\epsilon}{K} \right) B$  بیانگر

اثرات شناوری می باشد. [۲]

۲-۳-۱) ویژگیهای مدل استاندارد  $k - \epsilon$

مدل استاندارد  $k - \epsilon$  وقتی که در کنار رابطه Boussinesq Eddy-viscosity به کار برده

می شود برای طیف وسیعی از مسائل نسبتاً مشکل بخوبی کار می کند اما برای مسائلی که شامل اثرات

غیر تعادلی هستند این مدل در نهایت به جوابهایی خواهد رسید که تا حدی فوق دیفیوزراست یعنی

مقادیر  $\mu_t$  که توسط این مدل پیش بینی می شود تا حدی بزرگ خواهد بود و گاهاً دیده می شود که

این مدل در پیش بینی هسته های جدایشی تشکیل شده بر روی سطوح با انحنای ملایم نتایج غلطی را

در بر داشته است با شناخته شدن نقاط ضعف و قوت مدل  $k - \epsilon$  بهینه سازی هایی که بر روی این

مدل و به منظور بهبود کارایی این مدل صورت گرفته است .

این مدل بالاخص می تواند در جریانات محصور که در آنها تنشهای برشی **Re** بسیار مهمند نیز مورد

استفاده قرارگیرد. [۲]

#### ۴-۲-۱) مقایسه کلی مدل‌های صفر معادله ای با مدل‌های دو معادله ای

در مقایسه کلی مدل‌های دو معادله ای با صفر معادله ای ذکر نکات ذیل ضروری است .  
از نقطه نظر کارایی و کاربرد مدل‌های دو معادله ای دقیقتر و عمومی تر بوده و به کرات مورد استفاده قرار می گیرند .

استفاده از مدل‌های دو معادله ای مستلزم حل دو معادله انتقالی اضافی است که می تواند منجر به افزایش قابل توجهی در زمان حل گردد . به علاوه مطرح شدن معادلات  $\epsilon, K$  باعث افزایش قابل توجهی در غیر خطی بودن و وابستگی معادلات کلی جریان به یکدیگر می گردد که این امر می تواند باعث ناپایداری خواص همگرایی فرایند حل گردد . لیکن درمقابل ، مدل‌سازی های جریانات آشفته ای که با استفاده از مدل‌های صفر معادله ای صورت می پذیرد خواص همگرایی و پایداری بهتری را در مقایسه با مدل‌های دو معادله ای نشان می دهند .

۱-۳) نگاهی مختصر به تحقیقات صورت گرفته در گذشته در مورد جریان روی سطوح منحنی و جریانهای

### همراه با گرادیان فشار معکوس

جریان های همراه با گرادیان فشار و همچنین جریان بر روی سطوح منحنی همواره به عنوان یک موضوع جذاب در کارهای تجربی مورد بررسی قرار گرفته اند [۲۸] Nagano et.al. در سال ۱۹۹۱ این موضوع را به این صورت بیان کرد که تا زمانی که گرادیان فشار معکوس در بسیاری از ساختار های سیالاتی به صورت های مختلف به وجود می آید در نتیجه آن را به عنوان یک عامل اساسی در بسیاری از تحقیقات تجربی باید در جهت تاثیرات شگرفی که بر روی خاصیت های توربولانسی دارد در نظر گرفت. در ادامه می توان به اهمیت این موضوع از نگاه [۲۹] Spalart, Watmuff (۱۹۹۳) اشاره کرد و عنوان کردند که گرادیان فشار معکوس به خاطر تاثیراتی که در ایجاد جدایی دارد در کارهای عملی مورد توجه بسیار قرار گرفته است از طرفی به خاطر اینکه تنش برشی روی دیواره در این حالت موقعیتها و شرایط مختلف را نمی تواند زیاد تحت شعاع قرار دهد در کار های تئوری از اهمیت زیادی برخوردار است و به دلیل حساسیت بسیار بالای که در مورد شرایط جریان بالا دست ایجاد می کند در کارهای تجربی علاقمندان زیادی خواهد داشت. [۱۰]

همچنین تحقیقات که منحصر بر روی جریان های همراه با گرادیان فشار معکوس متمرکز شده است صورت گرفته که از جمله می توان کارهای صورت گرفته توسط [۳۰] Ayala et.al. (۱۹۹۷) , Lin (۱۹۹۵) که بیان کردند مقادیر توربولانسی به صورت یک مجموعه ای از ساختارهایی با مقیاس نسبتا بزرگ هستند که دارای یک ارتباط منطقی با ضخامت لایه مرزی خواهند بود از طرفی می توان این ارتباط و ساختار منطقی را به صورت یک ارتباط مهم و اساسی در محدوده وسیعی از لایه مرزی مشاهده نمود.



اما Lin و Ayala نیز بیان کردند که این ساختار توربولانسی در مقایسه با صفحه مسطح و یا به بیان دقیق تر در حالت بدون گرادیان فشار بسیار بزرگتر هستند از طرفی جابجاییهای صورت گرفته توسط این تر مه‌های توربولانسی بسیار بیشتر و ناپایدارتر خواهد بود یا باعث ایجاد آشوب بیشتر خواهد شد. همچنین [۲۸] Nagano.et.al. در سال های ۱۹۹۸ و ۱۹۹۱ و در قسمت دیگر به همراه Tagawa در سال ۱۹۸۸ بحث گسترده‌های را در مورد تاثیرات گرادیان فشار معکوس و اثرات آن بر روی سرعت متوسط و دیگر خاصیت های لایه مرزی توربولانسی بان کردند. علاوه بر این افراد [۳۴] Blackwell (۱۹۷۲) نیز به همراه Orlando (۱۹۷۴) تمرکز خود بر روی جریانهای همراه با گرادیان فشار معکوس و تاثیرات آن بر خاصیت های حرارتی و دینامیکی این گونه از جریانات برای حالت های مختلف معطوف کردند. [۹]

اما جریانه‌های توربولانسی کاملاً توسعه یافته در کانالهای موازی با انحنای ثابت در ابتدا توسط افرادی همچون [۳۵] Lien, Rose, yeh, Eskinazi, wattendorf مورد تحقیق و بررسی قرار گرفت و مقاله های اصلی متعددی در مورد لایه مرزی توربولانسی در حالت کاملاً توسعه یافته و خطوط جریان منحنی شکل وجود دارد که در این زمینه می توان اشاره کرد به اندازه گیریها و تحقیقات مفصل و گسترده ای که توسط [۳۵] wattendorf بر روی پروفیل های سرعت متوسط و تغییرات فشار در عرض دو کانال منحنی شکل انجام گرفت بطوریکه برای کانال اولی نسبت عرض کانال به شعاع متوسط انحنای سطح  $1/19$  و برای کانال دومی  $1/9$  بود و با اندازه گیریهای که در یک کانال مستقیم انجام گرفته بود مقایسه شدند و نتایج آن این موضوع را تصدیق کرد که انحنای تاثیر مستقیمی بر روی پروفیلهای سرعت متوسط دارد و همچنین قانونهایی که در مورد یک دیواره صاف و بدون انحنای وجود دارد و از نتیجه تحقیقات در یک کانال مستقیم بدست آمده است در مورد کانالهای منحنی شکل و به طور کلی سطوح منحنی شکل جوابگو نخواهد بود. از طرفی اندازه گیریهایی که توسط [۳۵] wattendorf بر روی کانال دوم انجام گرفت در راستای مشابه با همین کارها [۳۳] Eskinazi نیز تحقیقاتی را انجام

داد و این نتایج با توزیع پروفیل‌های سرعت اندازه گیری شده در لایه مرزی با گرادیان فشار مطلوب و مخالف توسط Head, Patel مورد مقایسه قرار گرفتند و یک پیشنهادی توسط آنان در مورد تشابه اثرات انحنا خطوط جریان با گرادیان های فشار بیان شد که توزیع پروفیل سرعت بدست آمده در سطح داخلی مقعر مانند با اندازه گیریهای انجام شده در حالت گرادیان فشار شدید مخالف مشابه به نظر میرسد همچنین در سطح خارجی محدب مانند این پروفیلها با نتایجی که در شرایط گرادیان فشار مطلوب گرفته شده است مشابه است البته باید به این نکته اشاره کرد که گرادیان فشار مطلوبی که بر روی دو صفحه منحنی شکل از لوله وجود دارد بسیار کوچکتر از گرادیان فشاری است که لازم است به وجود آید تا نتایجش مشابه با نتایج حاصل بر روی صفحات منحنی شکل باشد. آنچه که باید به آن اعتراف کرد این است که انحراف و کژروی در مورد این نتایج بدست آمده است که غیر قابل برگشت است و اینکه ما نمی توانیم یک عامل را در نظر بگیریم و خود به خود حذف کنیم و در غیاب آن به یک نتایج محکم و استواری برسیم یعنی به تشابه تاثیرات انحنا و گرادیانهای فشار بپردازیم. بنابراین گفته قبلی خود را اینگونه می توان اصلاح کرد که در شرایطی که لایه مرزی ایجاد شده بر روی صفحات منحنی شکل تحت گرادیان فشاری نیست (گرادیان فشار صفر است) می تواند رفتاری مشابه داشته باشد با رشد لایه مرزی بر روی یک صفحه صاف در شرایطی که گرادیان فشار نیز اعمال شود که این نکته باید مورد تجزیه و تحلیل بیشتری قرار گیرد. [۲۶]

Eskinazi[۳۳], yeh و گروه کاریشان اندازه گیریها و تحقیقات مفصلی را در مورد سرعت متوسط و جریان توربولانسی در لوله مشابه منحنی شکل با نسبت  $1/19$  که نشان دهنده نسبت عرض به شعاع متوسط است را انجام دادند و نتایجی که بدست آوردند تا حدودی مشابه با نتایجی بود که توسط wattendorf[۳۵] بدست آمد. آن قسمت از نتایج کاریشان که در زمینه اندازه گیری های شدت توربولانسی بود بیشتر مورد توجه قرار گرفت و در مقایسه با فرضیات و داده های یک کانال مستقیم نشان داد که تولید جریان توربولانسی و شدت آن در نزدیکی دیواره مقعر بزرگتر و در نزدیکی دیواره

محدب مانند کوچکتر می باشد البته در مقایسه با نقاط مشابه آنها در کانال مستقیم این نگرش با شرط پایداری که توسط [۲۶] Royleigh برای جریانهای منحنی شکل بیان شد هماهنگی و تطابق داشت . با توجه به این نظریه که توسط [۳۵] wattendrof نیز جزئیاتش مورد بررسی قرار گرفته بود حرکت سیال با سرعت متوسط مماسی  $u$  در فاصله  $r$  از مرکز انحنای پایدار است اگر گرادیان شعاعی ایجاد شده ( $Ur$ ) مثبت باشد و ناپایدار خواهد بود اگر این مقدار منفی بدست آید بنابراین جریان در کانال منحنی شکل در همسایگی سطح مقعر مانند انتظار می رود که ناپایدار باشد و تقویت جریان توربولانسی در این قسمت مشاهده می شود . همچنانکه در نزدیکی سطح محدب مانند انتظار می رود که شرایط پایداری برقرار باشد و میزان شدت توربولانسی کاهش یابد .

اندازه گیریهای توربولانسی در لایه اختلاطی و جت هایی که هوا با فشار و سرعت زیاد به صورت مماسی بر روی سطوح منحنی شکل خارج می شود در ابتدا توسط Margolis انجام گرفت و نتایج او با نتایج حاصل از تحقیقات [۳۵] yeh , [۳۳] Eskinazi تطابق دارد همچنین او به این نتیجه رسید که شدت توربولانسی در منطقه ای که گرادیان  $Ur$  باعث ناپایداری می شود تقویت می یابد و در منطقه ای که  $Ur$  باعث ایجاد پایداری می گردد این مقدار کاهش خواهد یافت . شاید مهمترین مشاهده و نتیجه ای که از این تحقیقات می توان بدست آورد و باعث ایجاد توجه بیشتری می شود این است که در مطالعه جریانهای توربولانسی در روی سطح منحنی شکل که توسط Guitton , worthy , start ford , yawor, Goles, margolis, Newman , feketete , sawyer انجام شد همگی این عقیده و نظر را داشتند که جریان جت بر روی دیواره های مقعر شکل بسیار سریعتر رشد پیدا می کند نسبت به همان جریان جت بر روی سطوح صاف و این نتیجه با تحقیقات صورت گرفته توسط [۲۶] Margolis و همچنین ملاک پایداری [۲۶] Rayleigh همخوانی دارد . در خارج از دیواره مقعر که جریان جت برقرار است یک ناحیه نسبتاً بزرگی وجود دارد که ناپایدار است در نتیجه حرکتهای توربولانسی ( جابه جاییهای توربولانسی) تقویت می یابد بنابراین قدرت پخش جت

انتگرالی همانند ضخامت جابجایی و ضخامت مومنتوم و  $R_\theta$  shape factor, ( ضخامت مومنتومی عدد  $Re$  ) وابستگی این مقادیر را به انحنا سطح هر چند که بسیار کوچک باشد را نشان می دهد . بنابراین Thompson این وابستگی را به خاطر تاثیر پذیری خطوط جریان منحنی شکل از نحوه حرکت جریان دانست و جهت اصلاح کردن معادله مومنتوم با وارد کردن یک فاکتور تجربی که فرض شد تابع ساده ای است از نسبت  $\delta/R$  باشد اقدام نمود و اثر این ترم انحنا تطبیق نتایج حاصل از کارهای تجربی و روشهای محاسباتی تحقیقاتی را تقویت بخشید هر چند که روش و رویه عملی که توسط Thompson انجام گرفت کاملاً رضایتبخش نبود اما نتایج او یک نتیجه گیری مهم را بیان کرد و آن اینکه اثرات اولیه انحنا هر چند ممکن است که بر روی پروفیل های سرعت تاثیر آنچنانی نداشته باشد ولی بر روی حرکت های توربولانسی و جابجایی جریان آزاد در داخل لایه تاثیر بسیار زیادی دارد . هدف اصلی آنها از این تحقیقات تخمین زدن یک فاکتور تصحیح کننده مناسب و تجربی بین معادلات حرکت و پارامتر انحنا مانند  $\delta/R$  بود که در نتیجه آن می توان این روش را که توسط Thompson و Head به کار گرفته شد در جهت استفاده بر روی سطوح منحنی شکل تعمیم داد . از طرفی باید به این نکته اعتراف کرد که نمی توان تاثیر انحنا بصورت خنثی و ناچیز پنداشته شود همچنین بسیار سخت می توان اثرات انحنا را از گرادیان های فشارش ایزوله و میرا دانست . [۲۶]

از طرفی [۳۱] Bradshaw تلاش کرد که یک شباهتی را بین پارامترهایی همانند عدد Richardson و پارامترهایی که اثرات انحنا بر روی لایه مرزی توربولانسی را نشان می دهند بدست آورد . با استفاده از این آنالوژی و گرفتن داده هایی که از لایه مرزی اطراف زمین بدست آمد او تاثیرات انحنا را بر روی لایه مرزی توربولانسی نشان داد و زمانی این تاثیرات قابل توجه است که اگر ضخامت لایه مرزی تقریباً  $(\frac{1}{300})$  شعاع انحنا باشد و این حدود در مورد نسبت  $\delta/R$  بیان می کند که باید تاثیرات اساسی و مستدلی از انحنا را در کارهای تجربی که توسط محققان و مولفان مختلف ذکر شده است در نظر گرفت .

آنچه که گفته شد در حالت کلی به این نتیجه منجر خواهد گردید که تاثیرات انحنا در شرایطی که توزیع فشار استاتیکی کوچک باشد می تواند بزرگ و قابل توجه در نظر گرفته شود. از طرفی [۳۱] Bradshaw چگونگی توزیع و تعدیل طولهای اختلاطی و یا به طور دقیقتر چگونگی توزیع و پخش پارامتر اتلاف طولی  $L_e$  در محاسباتی که خود او و Ferris , Atwell و محاسبات دوباره ای که توسط [۲۶] schmidbauer , schubauer , Klebanoff بر روی توزیع لایه مرزی انجام گرفت را بیان کرد. همچنین ایجاد اصلاحاتی در انحنا و تغییر شکل منجر به گرفتن نتیجه ای بهتر برای مقایسه مقادیر  $\delta$  و  $C_f$  بدست آمده از طریق کارهای تجربی و محاسباتی و تطابق آنها با یکدیگر شد و محاسبات [۳۱] Bradshaw نشان دادند که تاثیر انحنا مهم و با اهمیت باید تلقی شوند به خصوص در کارهای تجربی جایی که سطوح منحنی عمدتاً در جهت ایجاد توزیع فشار کاربرد دارند و یا در شرایطی که تغییرات فشار استاتیکی نیز در طول لایه مرزی هنوز به صورت ناچیز و کم اهمیت پنداشته می شود. از طرفی با بررسی دقیق کارهایی که قبلاً انجام شده است می توان به وضوح به این مسئله رسید که قبل از تحقیقات Bradshaw اطلاعاتی که در زمینه تاثیرات انحناهای بزرگ و توزیع گرادیان فشار در طول لایه مرزی منجر به معادلات دیفرانسیل و انتگرالی چند گانه ای می شود که بیشتر در جهت بیان چگونگی گسترش خطوط جریان در طول لایه مرزی مورد استفاده قرار می گیرد.

همچنین از طریق کارهای تجربی و تئوری که توسط Narasimba , Breuer , Grunow , Murphy , ojha انجام گرفت به این نتیجه می توان رسید که در لایه مرزی آرام بر روی سطوح منحنی تاثیرات انحنا سطح با اهمیت و مهم خواهد بود در شرایطی که ضخامت لایه مرزی بر شعاع انحنا مقدار و درجه ای در حدود ۰,۰۵ را اختیار کند اما کارهای اخیر Bradshaw تا حدودی این فاصله و شکاف را محدود کرد بطوریکه تاثیرات انحنا را می توان قابل توجه دانست زمانی که نسبت  $\delta/R$  مقدار کوچکی در حدود  $1/300$  باشد و از طرفی توزیع فشار استاتیکی ناچیز فرض شود. همچنین

این نظریه ما را سوق می دهد به پذیرش این واقعیت زمانی که نسبت  $\frac{\delta}{R}$  بزرگتر از  $\frac{1}{300}$  است ما باید تاثیرات شدیدی از انحنا را انتظار داشته باشیم. [۱۵]

همچنین کارهای تجربی اولیه ای که بر روی سیلندره‌های دایره ای و دیوارهای محدب ۹۰ درجه انجام شد به خودی خود بیان کردند که ما باید تاثیرات اساسی و مهمی از انحنا خطوط جریان و سطوح منحنی شکل بر روی نحوه توزیع لایه مرزی زمانی که نسبت ضخامت لایه مرزی  $\delta$  به شعاع انحنا سطح R در محدوده ای بین  $\frac{1}{30}$  تا  $\frac{1}{10}$  باشد در نظر بگیریم و مقادیر  $\frac{\delta}{R}$  که در این کارهای تجربی بدست می آمد در بعضی از مواقع بالاتر از مقادیری بود که در اندازه گیریهای قبلی با آن مواجه می شدند و بسیار بالاتر از مقدار  $\frac{1}{300}$  که توسط Bradshaw بیان شد. از طریق کارهای تجربی انجام شده به این نتیجه می توان رسید که برای یک انحنا سطح به اندازه کافی بزرگ این لازم و ضروری است که پارامترهای انتگرالی متداول مانند  $\theta, \delta^*$  دوباره تعریف شوند. با توجه به این نکته که سرعت در جریان غیر چرخشی در خارج لایه مرزی مدت طولانی با فاصله از سطح ثابت باقی نمی ماند. همچنین مشاهده شد که معادله انتگرالی مومنوم بر روی سطح صاف در شرایطی که فشار استاتیکی مقدار ثابتی نیست در عرض لایه مرزی تجزیه شده و [۲۶] Newman تغییراتی را در این رابطه برای صدق کردن در لایه مرزی در شرایطی که تغییرات بزرگی از فشار استاتیکی داشته باشیم ایجاد کرد که این معادله هماهنگی خوبی با مقادیر تجربی دارد. مقدار بدست آمده برای H (ضریب شکل) بر روی سطح محدب بسیار بالاتر از مقادیری است که توسط روش Head بدست آمده است هرچند که این روش موفقیت خوبی را در جهت محاسبه H بر روی سطح مسطح نشان داده است و از طرفی می توان گفت که این تفاوت بین اندازه گیریها و محاسبات به دلیل وجود تاثیرات انحنا است و چنین تفاوت هایی در مورد لایه مرزی بر روی سطح محدب در اندازه گیریهای Klebanoff, Schubauer, Schmidbauer توسط Bradshaw مورد بررسی قرار گرفته است.

نکته مورد توجه این است که مقادیر  $H$  اندازه گیری شده بر روی سطوح مقعر بیشتر از مقادیر پیش بینی شده بر روی سطوح صاف است و این بیان می کند که انحنا مقعر مانند سطح باعث کاهش مومنوم جریان آزاد سیال در داخل لایه مرزی می شود. و این نتایج از طریق بررسی و مورد ملاحظه قرار دادن ملاک پایداری Rayleigh برای جریانهای منحنی شکل قابل انتظار و دسترسی است. نتایج به دست آمده از تحلیل جریان جت بر روی دیواره های منحنی شکل و جریانهای توسعه یافته در کانالهای منحنی شکل پروفیلهای سرعت اندازه گیری شده نشان داده که به انحنا در دو ناحیه داخلی و خارجی از لایه مرزی وابسته هستند و همچنین تاثیرات انحنا بر پروفیل های سرعت نشان داد که حرکت های جزئی توربولانسی در داخل لایه مرزی تحت تاثیر انحنا خطوط جریان قرار می گیرند که دلالی از آن نیز توسط Bradshaw بیان شد. از بررسی کارهای قبلی می توان به این نتایج تا حدودی دست یافت این که غیر ممکن است بتوان تاثیرات گرادیان فشار در جهت خطوط جریان را از تاثیرات انحنا این خطوط جدا کنیم. در کار تجربی انجام گرفته بر روی سطوح منحنی انحنا خطوط جریان به قدر کافی با دقت تخمین زده نشده اند همچنین زمانیکه گرادیان فشار با تغییرات شدید و سریع انحنا سطح همراه می شود مثلا در یک لوله و یا Duct کارهای تجربی به سختی می توانند تاثیرات انحنا را مجزا بیان کنند بنابراین اگر لایه مرزی را روی سطح منحنی شکل در شرایطی که گرادیان فشار در جهت جریان را صفر فرض کنیم بررسی نموده و نتایج آن را با یک سطح مسطح مقایسه کنیم آنگاه می توان به تاثیرات بیشتر انحنا پی برد. از طرفی کارهای تجربی به خوبی تاثیرات تعقر سطح را بر روی لایه مرزی نشان نداده اند بنابراین می توان گفت که در کارهای آینده مطالعه لایه مرزی بر روی سطوح مقعر می تواند مفید و سود آور باشد. [۲۶]

## فصل دوم

حل عددی معادلات لایه مرزی بر روی سطح مسطح



## حل عددی معادلات لایه مرزی بر روی سطح مسطح

(۲-۱) بیان معادلات لایه مرزی در روی سطح مسطح:

معادله پیوستگی:

$$\frac{\partial u}{\partial x} + \frac{\partial v}{\partial y} = 0 \quad (2-1)$$

معادله مومنوم در جهت X:

$$u \frac{\partial u}{\partial x} + v \frac{\partial u}{\partial y} = -\frac{1}{\rho} \frac{dp}{dx} + \frac{\partial}{\partial y} \left( (\nu + \nu_t) \frac{\partial u}{\partial y} \right) \quad (2-2)$$

در این حالت ترم گرادیان فشار صفر خواهد بود. [۱]

شرایط مرزی:

$$\begin{aligned} y=0 \quad u=0 \quad v=0 \\ y=\delta \quad u=u_e \end{aligned} \quad (2-3)$$

(۲-۱-۱) در صورتی که از روش Falkner Skan در بی بعد کردن معادلات فوق استفاده گردد خواهیم داشت:

$$f' \zeta \frac{\partial f'}{\partial \zeta} + \left[ \frac{1}{2} \eta (m-1) f' + V \right] \frac{\partial f'}{\partial \eta} = (1-f'^2) m + \frac{\partial}{\partial \eta} \left[ (1+\nu_t^+) \frac{\partial f'}{\partial \eta} \right] \quad (2-4)$$

شرایط مرزی جهت حل این معادله از طریق معادله (۲-۱۴) بیان می شود.

که در این حالت  $f' = \frac{u}{u_e}$  و  $m = 0$  برای حالت صفحه مسطح می باشد و همچنین  $\eta$  به

صورت  $\eta = y \left[ \frac{\nu x}{U_e(x)} \right]^{\frac{1}{2}}$  تعریف شده است. (جزئیات بیشتر در پیوست ۳ آورده شده است). [۲]

۲-۱-۲) اما روش دیگری وجود دارد که در آن تنها محور لایه بعد خواهد شد که در صورت فرض زیر:

$$\eta = \frac{y}{\delta} \quad (2-5)$$

معادلات لایه مرزی به صورت زیر خواهند بود: [۱]

معادله مومنتم:

$$u \frac{\partial u}{\partial x} + m_{\Pi} \frac{\partial u}{\partial \eta} + \frac{1}{\rho} \frac{dp}{dx} - m_1^2 (v_t + \alpha) \frac{\partial^2 u}{\partial \eta^2} = 0 \quad (2-6)$$

معادله پیوستگی:

$$\frac{\partial u}{\partial x} + m_1 \frac{\partial v}{\partial \eta} - m_{\Delta} \frac{\partial u}{\partial \eta} = 0 \quad (2-7)$$

در معادلات فوق پارامترهای بیان شده بدین قرار هستند:

$$m_1 = \frac{1}{\delta} \quad (2-8)$$

$$m_{\Pi} = m_1 v - m_{\Delta} u - m_1^2 \frac{\partial v_t}{\partial \eta} \quad (2-9)$$

$$m_{\Delta} = \left( \frac{d\delta}{dx} \frac{\eta}{\delta} \right) \quad (2-10)$$

$$\frac{1}{\text{Re}_L} u_{\infty} L = \alpha \quad (2-11)$$

شرایط مرزی نیز به صورت زیر تعریف خواهد شد:

$$\eta = 0 \quad u = 0 \quad v = 0 \quad (2.12)$$

$$\eta = 1 \quad u = u_c$$

جزئیات بیشتر در این مورد نیز در پیوست ۱ آورده شده است.

۲-۲) نحوه ی استفاده از روش طول اختلاطی در مدل کردن ترم توربولانسی و چگونگی حل معادلات:

در ابتدای توضیحات مربوط به حل معادله دیفرانسیلی (۲-۴) با استفاده از مدل طول اختلاطی لازم به ذکر است که روش مورد استفاده در حل معادله ذکر شده روش Keller's box می باشد که در ادامه نحوه ی استفاده از این روش توضیح داده می شود. [۲]  
در صورتی که در معادله (۲-۴)

$$f' = u$$

$$u' = v$$

$$x = \zeta$$

و  $b = (1 + \nu_i^+)$  تغییرات فوق را اعمال کنیم میتوان نوشت:

$$(bv)' + \frac{m+1}{2}fv + m(1-u^2) = x \left( u \frac{\partial u}{\partial x} - v \frac{\partial f}{\partial x} \right) \quad (2-13)$$

در این حالت شرایط مرزی عبارتند از:

$$\eta = 0 \quad f = f_w = -\frac{1}{\sqrt{u_e \nu x}} \int_0^x v_w(x) dx \quad f' = 0$$

$$\eta = \eta_e \Rightarrow f' = 1 \quad (2-14)$$

البته مقدار  $f$  در روی دیواره برابر با صفر خواهد بود.

در صورتی که محدوده ی محاسباتی به این شکل داشته باشیم:

$$x_0 = 0 \quad x_n = x_{n-1} + k_n \quad n = 1, 2, \dots, N$$

$$\eta_0 = 0 \quad \eta_j = \eta_{j-1} + h_j \quad j = 1, 2, \dots, J$$

با استفاده از روش تفاضل مرکزی خواهیم داشت: [۵]

$$\frac{f_j^n - f_{j-1}^n}{h_j} = \frac{u_j^n + u_{j-1}^n}{2} \equiv u_{j-\frac{1}{2}}^n$$

$$\frac{u_j^n - u_{j-1}^n}{h_j} = \frac{v_j^n + v_{j-1}^n}{2} \equiv v_{j-\frac{1}{2}}^n$$

در صورتی که طرف چپ معادله (۲-۴) با  $L$  نشان داده شود می توان این معادله را به شکل زیر نوشت:

$$\frac{1}{2}(L^n + L^{n-1}) = x^{\frac{n-1}{2}} \left[ u^{\frac{n-1}{2}} \left( \frac{u^n - u^{n-1}}{k_n} \right) - v^{\frac{n-1}{2}} \left( \frac{f^n - f^{n-1}}{k_n} \right) \right] \quad (2-15)$$

که پارامترهای ذکر شده به صورت زیر تعریف شده اند:

$$\alpha^n = \frac{x^{\frac{n-1}{2}}}{k_n} \quad (2-16-1)$$

$$\alpha_1 = \frac{m^n + 1}{2} + \alpha^n \quad (2-16-2)$$

$$\alpha_2 = m^n + \alpha^n \quad (2-16-3)$$

$$R^{n-1} = -L^{n-1} + \alpha^n \left[ (fv)^{n-1} - (u^2)^{n-1} \right] - m^n \quad (2-16)$$

$$L^{n-1} \equiv \left[ (bv)' + \frac{m+1}{2} fv + m(1-u^2) \right]^{n-1} \quad (2-16-4)$$

معادله (۲۴) را می توان به صورت زیر بازنویسی کرد:

$$\left[ (bv)' \right]^n + \alpha_1 (fv)^n - \alpha_2 (u^2)^n + \alpha'' (v^{n-1} f'' - v'' f^{n-1}) = R^{n-1} \quad (2-17)$$

اگر این معادله در نقطه  $\eta_{j-\frac{1}{2}}, x^{n-\frac{1}{2}}$  به صورت منفصل شده نوشته شود:

$$h_j^{-1} (b_j'' v_j'' - b_{j-1}'' v_{j-1}'') + \alpha_1 (fv)_{j-\frac{1}{2}}'' - \alpha_2 (u^2)_{j-\frac{1}{2}}'' + \alpha'' \left( v_{j-\frac{1}{2}}^{n-1} f_{j-\frac{1}{2}}'' - v_{j-\frac{1}{2}}'' f_{j-\frac{1}{2}}^{n-1} \right) = R_{j-\frac{1}{2}}^{n-1} \quad (2-17-1)$$

بطوریکه:

$$R_{j-\frac{1}{2}}^{n-1} = -L_{j-\frac{1}{2}}^{n-1} + \alpha'' \left( (fv)_{j-\frac{1}{2}}^{n-1} - (u^2)_{j-\frac{1}{2}}^{n-1} \right) - m'' \quad (2-17-2)$$

$$L_{j-\frac{1}{2}}^{n-1} = \left[ h_j^{-1} (b_j v_j - b_{j-1} v_{j-1}) + \frac{m+1}{2} (fv)_{j-\frac{1}{2}} + m \left( 1 - (u^2)_{j-\frac{1}{2}} \right) \right]^{n-1} \quad (2-17-3)$$

این معادلات برای محدوده ی  $j=1, 2, 3, \dots, J-1$  در یک  $\mathcal{X}^n$  صادق است بنابراین شرایط مرزی به شکل زیر نوشته می شوند:

$$\begin{aligned} f_0'' &= f_w \\ u_0'' &= 0 \\ u_J'' &= 1 \end{aligned} \quad (2-18)$$

(۲-۲-۱) استفاده از روش نیوتن در خطی سازی معادلات:

اگر ما فرض کنیم که مقادیر  $(v_j^{n-1}, u_j^{n-1}, f_j^{n-1})$  در محدود ه ی  $0 \leq j \leq J$  شناخته شده باشد در این شرایط برای بدست آوردن مقادیر  $(v_j'', u_j'', f_j'')$  در همان محدود ه ی ذکر شده از آنجا که با سیستم معادلات غیر خطی مواجه هستیم لذا از روش نیوتن در جهت خطی سازی معادلات استفاده می کنیم بنا براین یک پارامتر به عنوان پارامتر تکرار (iteration parameter) تعریف شده و بر این اساس خواهیم داشت [۵]:

$$f_j^{(v+1)} = f_j^{(v)} + \delta f_j^{(v)}$$

$$u_j^{(v+1)} = u_j^{(v)} + \delta u_j^{(v)} \quad (2-19)$$

$$u_j^{(v+1)} = u_j^{(v)} + \delta u_j^{(v)}$$

با استفاده از این روش می توان معادلات زیر را بدست آورد با توجه به این نکته که جهت سادگی کار

(n و ۷) در معادلات نوشته نشده اند:

$$\delta f_j - \delta f_{j-1} - \frac{h_j}{2} (\delta u_j - \delta u_{j-1}) = (r_1)_j \quad (2-20)$$

$$\delta u_j - \delta u_{j-1} - \frac{h_j}{2} (\delta v_j - \delta v_{j-1}) = (r_3)_j \quad (2-21)$$

$$(s_1)_j \delta v_j + (s_2)_j \delta v_{j-1} + (s_3)_j \delta f_j + (s_4)_j \delta f_{j-1} + (s_5)_j \delta u_j + (s_6)_j \delta u_{j-1} = (r_2)_j \quad (2-22)$$

بطوریکه:

$$(r_1)_j = f_{j-1}^{(v)} - f_j^{(v)} + h_j u_{j-\frac{1}{2}}^{(v)}$$

(2-22-1)

$$(r_3)_j = u_{j-1}^{(v)} - u_j^{(v)} + h_j v_{j-\frac{1}{2}}^{(v)}$$

$$-\left[ h_j^{-1} (b_j^{(v)} v_j^{(v)} - b_{j-1}^{(v)} v_{j-1}^{(v)}) + \alpha_1 (fv)_{j-\frac{1}{2}}^{(v)} - \alpha_2 (u^2)_{j-\frac{1}{2}}^{(v)} + \alpha^n \left( v_{j-\frac{1}{2}}^{(v)} f_{j-\frac{1}{2}}^{(v)} - v_{j-\frac{1}{2}}^{(v)} f_{j-\frac{1}{2}}^{(v)} \right) \right] + R_{j-\frac{1}{2}}^{n-1} = (r_2)_j$$

(2-22-2)

در این حالت ضرایب معادله مومنتوم خطی شده به صورت زیر خواهد بود:

$$(s_1)_j = h_j^{-1} b_j^{(v)} + \frac{\alpha_1}{2} f_j^{(v)} - \frac{\alpha_2}{2} f_{j-\frac{1}{2}}^{n-1} \quad (2-22-3)$$

$$(s_2)_j = -h_j^{-1} b_{j-1}^{(v)} + \frac{\alpha_1}{2} f_{j-1}^{(v)} - \frac{\alpha_2}{2} f_{j-\frac{1}{2}}^{n-1} \quad (2-22-4)$$

$$(s_3)_j = \frac{\alpha_1}{2} v_j^{(\nu)} + \frac{\alpha''}{2} v_{j-\frac{1}{2}}^{n-1} \quad (2-22-5)$$

$$(s_4)_j = \frac{\alpha_1}{2} v_{j-1}^{(\nu)} + \frac{\alpha''}{2} v_{j-\frac{1}{2}}^{n-1} \quad (2-22-6)$$

$$(s_5)_j = -\alpha_2 u_j^{(\nu)} \quad (2-22-7)$$

$$(s_6)_j = -\alpha_2 u_{j-1}^{(\nu)} \quad (2-22-8)$$

شرایط مرزی را می توان به صورت زیر باز نویسی کرد:

$$\delta u_0 = 0 \quad \delta f_0 = 0$$

$$\delta u_j = 0 \quad (2-23)$$

در این قسمت می توان ساختار کلی حل را به صورت ماتریس زیر بیان کرد:

$$A \bar{\delta} = \bar{r} \quad (2-24)$$

که:

$$A = \begin{vmatrix} A_0 & C_0 & \dots \\ B_1 & A_1 & C_1 \dots \\ \vdots & \vdots & \vdots \\ & & B_j \dots \end{vmatrix} \quad (2-24-1)$$

$$\bar{\delta} = \begin{vmatrix} \bar{\delta}_0 \\ \bar{\delta}_1 \\ \vdots \\ \bar{\delta}_j \\ \vdots \\ \bar{\delta}_j \end{vmatrix} \quad (2-24-2)$$

$$\bar{r} = \begin{vmatrix} \bar{r}_0 \\ \bar{r}_1 \\ \vdots \\ \bar{r}_j \\ \vdots \\ \bar{r}_j \end{vmatrix} \quad (2-24-3)$$



$$\delta_j = \begin{pmatrix} (\delta f)_j \\ (\delta u)_j \\ (\delta v)_j \end{pmatrix}, \quad r_j = \begin{pmatrix} (r_1)_j \\ (r_2)_j \\ (r_3)_j \end{pmatrix} \quad 0 \leq j \leq J \quad (2-24-4)$$

ماتریسهای  $A_j$ ,  $B_j$  و  $C_j$  که ماتریس های  $3 \times 3$  هستند عبارتند از:

$$A_j \equiv \begin{pmatrix} 1 & \frac{-h_j}{2} & 0 \\ (s_3)_j & (s_5)_j & (s_1)_j \\ 0 & -1 & \frac{-h_{j+1}}{2} \end{pmatrix} \quad 0 \leq j \leq J-1 \quad (2-24-5)$$

$$A_0 \equiv \begin{pmatrix} 1 & 0 & 0 \\ 0 & 1 & 0 \\ 0 & -1 & \frac{-h_1}{2} \end{pmatrix} \quad (2-24-6)$$

$$A_j \equiv \begin{pmatrix} 1 & \frac{-h_j}{2} & 0 \\ (s_3)_j & (s_5)_j & (s_1)_j \\ 0 & 1 & 0 \end{pmatrix} \quad (2-24-7)$$

$$B_j \equiv \begin{pmatrix} 1 & \frac{-h_j}{2} & 0 \\ (s_4)_j & (s_6)_j & (s_2)_j \\ 0 & 0 & 0 \end{pmatrix} \quad 1 \leq j \leq J \quad (2-24-8)$$

$$C_j \equiv \begin{vmatrix} 0 & 0 & 0 \\ 0 & 0 & 0 \\ 0 & 1 & \frac{-h_{j+1}}{2} \end{vmatrix} \quad 0 \leq j \leq J-1 \quad (2-24-9)$$

تا این قسمت ما نحوه بدست آوردن معادلات و در نتیجه آن ماتریسهای مورد نیاز در جهت حل عددی معادلات در شرایطی که از مدل طول اختلاطی استفاده کنیم را بیان کردیم اما در این قسمت می خواهیم نحوه استفاده از این مدل را به صورت کلی مورد بررسی قرار دهیم در معادله اصلی مومنوم شاهد وجود پارامتری به نام (b) هستیم این پارامتر را به صورت زیر تعریف کردیم [۲]:

$$b = (1 + \nu_i^+)$$

مشاهده می شود در شرایطی که جریان آرام باشد در این حالت مقدار پارامتر مورد نظر برابر یک خواهد بود. اما نحوه ی محاسبه پارامتر فوق در جریان متلاطم به صورت زیر خواهد بود:

در ناحیه Inner layer :

$$(\nu_i^+)_i = 0.16 R_x^{\frac{1}{2}} \left[ 1 - \exp\left(\frac{-y}{A}\right) \right] \eta^2 \nu \gamma \quad (2-25)$$

در ناحیه Outer layer :

$$(\nu_i^+)_o = 0.0168 R_x^{\frac{1}{2}} [\eta_e - f(\eta_e)] \gamma \quad (2-26)$$

که:

$$\frac{y}{A} = \frac{N}{26} R_x^{\frac{1}{4}} \nu_w^{\frac{1}{2}} \eta \quad (2-26-1)$$

برای صفحه مسطح مقدار N برابر یک خواهد بود.

$$\nu_i^+ = \frac{\nu_t}{\nu} \quad \text{و} \quad R_x = \frac{u_e x}{\nu} \quad (2-26-2)$$

سوال اینجا است که چگونه این دو فرمول برای محاسبه با هم تداخل نخواهند کرد؟ در پاسخ به این سوال باید گفت که مقادیر  $(v_i^+)$  تا زمانی که کوچکتر یا مساوی مقدار  $(v_i^+)$  محاسبه شده از طریق فرمول (۲-۲۶) باشد قابل قبول بوده و در این شرایط  $v_i^+$  از طریق فرمول مربوط به ناحیه Inner layer محاسبه خواهد شد در غیر این صورت از طریق فرمول ناحیه Outer layer بدست خواهد آمد [۲].

۲-۳) نحوه ی استفاده از مدل  $k - \varepsilon$  در مدل کردن ترم توربولانسی و چگونگی حل معادلات لایه مرزی:

۲-۳-۱) معادلات مومنتوم و پیوستگی:

معادلات مومنتوم و پیوستگی در این قسمت فقط در جهت محور  $y$  به صورت بی بعد در نظر گرفته خواهند شد بنابراین با همین روش نیز میتوان معادلات  $(k - \varepsilon)$  را نیز در جهت  $y$  بی بعد کرد. [۱] ابتدا از معادله مومنتوم شروع می کنیم:

بر طبق آنچه که در قسمت (۲-۱-۲) بیان شد این معادله به شکل زیر خواهد بود:

$$u \frac{\partial u}{\partial x} + m_{\pi} \frac{\partial u}{\partial \eta} + \frac{1}{\rho} \frac{dp}{dx} - m_1^2 (v_i + \alpha) \frac{\partial^2 u}{\partial \eta^2} = 0 \quad (2-6)$$

که شرایط مرزی نیز مطابق با (۲-۱۲) تعریف خواهد شد.

با ذکر دوباره پارامترهای بیان شده در این قسمت می توان نوشت:

$$m_{\pi} = m_1 v - m_{\Delta} u - m_1^2 \frac{\partial v_i}{\partial \eta} \quad (2-9)$$

$$\frac{1}{Re_L} u_{\infty} L = \alpha \quad (2-11)$$

$$m_{\Delta} = \left( \frac{d\delta}{dx} \frac{\eta}{\delta} \right) \quad (2-10)$$

$$m_1 = \frac{1}{\delta} \quad (2-8)$$

جهت حل این معادله با استفاده از روش تفاضل مرکزی حول نقطه  $p_{i+\frac{1}{2},j}$  می توان آن را به صورت منفصل شده به شکل زیر نوشت [۵]:

$$\left[ \frac{-m_{\pi}}{4\Delta\eta} + \frac{m_1^2 (v_i + \alpha)}{2(\Delta\eta)^2} \right]_{i+\frac{1}{2},j} u_{i+1,j+1} + \left[ \frac{-u}{\Delta x} - \frac{m_1^2 (v_i + \alpha)}{(\Delta\eta)^2} \right]_{i+\frac{1}{2},j} u_{i+1,j} + \left[ \frac{+m_{\pi}}{4\Delta\eta} + \frac{m_1^2 (v_i + \alpha)}{2(\Delta\eta)^2} \right]_{i+\frac{1}{2},j} u_{i+1,j-1} + \left[ \frac{-m_{\pi}}{4\Delta\eta} + \frac{m_1^2 (v_i + \alpha)}{2(\Delta\eta)^2} \right]_{i+\frac{1}{2},j} u_{i,j+1} + \left[ \frac{+u}{\Delta x} - \frac{m_1^2 (v_i + \alpha)}{(\Delta\eta)^2} \right]_{i+\frac{1}{2},j} u_{i,j} + \left[ \frac{+m_{\pi}}{4\Delta\eta} + \frac{m_1^2 (v_i + \alpha)}{2(\Delta\eta)^2} \right]_{i+\frac{1}{2},j} u_{i,j-1} - \left( \frac{1}{\rho} \frac{dp}{dx} \right)_{i+\frac{1}{2},j} = 0 \quad (2-27)$$

در حالت منظم شده خواهیم داشت:

$$A_{i+\frac{1}{2},j} u_{i+1,j+1} + B_{i+\frac{1}{2},j} u_{i+1,j} + C_{i+\frac{1}{2},j} u_{i+1,j-1} + D_{i+\frac{1}{2},j} = 0 \quad (2-27-1)$$

بطوریکه:

$$A_{i+\frac{1}{2},j} = \left[ \frac{-m_{\eta} + m_1^2 (v_i + \alpha)}{4\Delta\eta + 2(\Delta\eta)^2} \right]_{i+\frac{1}{2},j} \quad (2-27-2)$$

$$B_{i+\frac{1}{2},j} = \left[ \frac{-u}{\Delta x} - \frac{m_1^2 (v_i + \alpha)}{(\Delta\eta)^2} \right]_{i+\frac{1}{2},j} \quad (2-27-3)$$

$$C_{i+\frac{1}{2},j} = \left[ \frac{+m_{\eta} + m_1^2 (v_i + \alpha)}{4\Delta\eta + 2(\Delta\eta)^2} \right]_{i+\frac{1}{2},j} \quad (2-27-4)$$

$$\bar{B}_{i+\frac{1}{2},j} = \left[ \frac{+u}{\Delta x} - \frac{m_1^2 (v_i + \alpha)}{(\Delta\eta)^2} \right]_{i+\frac{1}{2},j} \quad (2-27-5)$$

$$D_{i+\frac{1}{2},j} = A_{i+\frac{1}{2},j} u_{i,j+1} + \bar{B}_{i+\frac{1}{2},j} u_{i,j} + C_{i+\frac{1}{2},j} u_{i,j-1} - \left( \frac{1}{\rho} \frac{dp}{dx} \right)_{i+\frac{1}{2},j} \quad (2-27-6)$$

در تمام معادلات این قسمت ترم گرادیان فشار مقداری برابر با صفر خواهد داشت.

این معادله با استفاده از ساختار Crank-Nicholson نوشته شده است آنچه که از معادله فوق پیدا است

این که مقدار  $u_{i+1,j}$  به صورت مستقیم از این معادله قابل محاسبه نیست به عبارتی با شکل implicit

معادلات دیفرانسیلی روبه رو هستیم. اما مسئله مهم اینست که ضرایب ماتریسی معادله فوق در نقطه

باید محاسبه شوند در این روش ما این گونه عمل کردیم که فرض کردیم مقادیر  $(u, P_{i+\frac{1}{2},j})$

در نقطه  $P_{i,j}$  مشخص باشد. بنابراین در تکرار اول به جای مقادیر مذکور در نقطه  $P_{i+\frac{1}{2},j}$  باید

مقادیر مربوط به نقطه  $P_{i,j}$  قرار داده شود. اما موضوع دیگر اینکه می توان معادله را به شکل ساده تری تعمیم داد اگر شرط عدم لغزش بر روی دیواره اعمال شود در این حالت می توان برای نقطه  $P_{i+\frac{1}{2},j=2}$

معادله (۲-۲۷-۱) را به شکل زیر نوشت:

$$u_{i+1,j=2} = E_{i+\frac{1}{2},j=2} u_{i+1,j=3} + F_{i+\frac{1}{2},j=2} \quad (2-28)$$

$$E_{i+\frac{1}{2},j=2} = -\frac{A_{i+\frac{1}{2},j=2}}{B_{i+\frac{1}{2},j=2}} \quad (2-29)$$

$$F_{i+\frac{1}{2},j=2} = -\frac{D_{i+\frac{1}{2},j=2}}{B_{i+\frac{1}{2},j=2}} \quad (2-30)$$

و برای  $j=3$  نیز می توان نوشت:

$$u_{i+1,j=3} = E_{i+\frac{1}{2},j=3} u_{i+1,j=4} + F_{i+\frac{1}{2},j=3}$$

از طرفی این معادله را می توان به صورت کلی زیر تعمیم داد (چگونگی تعمیم این معادله در پیوست آورده شده است):

$$u_{i+1,j} = E_{i+\frac{1}{2},j} u_{i+1,j+1} + F_{i+\frac{1}{2},j} \quad 2 \leq j \leq J-1 \quad (2-31)$$

$$E_{i+\frac{1}{2},j} = -\frac{A_{i+\frac{1}{2},j}}{B_{i+\frac{1}{2},j} + C_{i+\frac{1}{2},j} E_{i+\frac{1}{2},j-1}} \quad (2-31-1)$$

$$F_{i+\frac{1}{2},j} = -\frac{D_{i+\frac{1}{2},j} + C_{i+\frac{1}{2},j} F_{i+\frac{1}{2},j-1}}{B_{i+\frac{1}{2},j} + C_{i+\frac{1}{2},j} E_{i+\frac{1}{2},j-1}} \quad (2-31-2)$$

شرایط مرزی در این قسمت به صورت زیر بیان می شود:

$$\begin{aligned} u_{i+1,j-1} &= 0 \\ v_{i+1,j=1} &= 0 \\ u_{i+1,J} &= U(x_{i+1}) \end{aligned} \quad (2-32)$$

حال با استفاده از روش توماس (Thomas algorithm) و اینکه مقدار پروفیل سرعت در لبه لایه مرزی

برابر با سرعت جریان آزاد است می توان مقادیر پروفیل های سرعت را از نقطه  $P_{i+1,j=J-1}$  به صورت

معکوس بدست آورد. بعد از بدست آمدن مقادیر پروفیل سرعت در نقاط ذکر شده  $P_{i+1,j}$  میتوان با

استفاده از فرمول های زیر برای نمونه:

$$u_{m_{i+\frac{1}{2},j}} = \frac{u_{i+1,j} + u_{i,j}}{2} \quad (2-33-1)$$

$$v_{m_{i+\frac{1}{2},j}} = \frac{v_{i+1,j} + v_{i,j}}{2} \quad (2-33-2)$$

$$m_{m_{i+\frac{1}{2},j}} = \frac{m_{i+1,j} + m_{i,j}}{2} \quad (2-33-3)$$

مقادیر متوسط را به جای مقادیر قبلی که بدست آمده از نقطه  $P_{i,j}$  در ضرایب ماتریسی بودند را

جایگزین نمود. این عمل تا زمانی که شرط همگرایی در مورد پروفیل های سرعت برقرار شود ادامه پیدا

خواهد کرد. [۵]

البته در اینجا سعی شد که یک دید کلی از نحوه ی حل معادلات ارائه شود بیان جزئیات دیگر به

خصوص در مورد حل معادلات مدل توربولانسی در قسمت بعد توزیع داده خواهد شد.

معادله پیوستگی:

همان طور که گفتیم معادله پیوستگی به صورت زیر بیان میشود:

$$\frac{\partial u}{\partial x} + m_1 \frac{\partial v}{\partial \eta} - m_\Delta \frac{\partial u}{\partial \eta} = 0 \quad (2-7)$$

با نوشتن معادله انفصال برای نقطه  $(P_{i+\frac{1}{2},j})$  می توان رابطه زیر را بدست آورد:

$$\frac{2\Delta\eta}{m_1\Delta x} (u_{i,j} - u_{i+1,j}) + \frac{m_\Delta}{m_1} (u_{i+1,j+1} - u_{i+1,j} + u_{i,j+1} - u_{i,j}) + (v_{i,j} - v_{i,j+1} + v_{i+1,j}) = v_{i+1,j+1} \quad (2-7-1)$$

که شرط مرزی  $(v_{i+1,j=1} = 0)$  می تواند در اینجا به ما در بدست آوردن مقادیر  $(v_{i+1,j+1})$  کمک نماید. توجه شود که این معادله بعد از تکرار اول و بدست آمدن مقادیر اولیه  $(u_{i+1,j})$  باید در جهت بدست آوردن  $(v_{i+\frac{1}{2},j})$  وارد چرخه حل گردد. [5]



## ۲-۳-۲) بیان معادلات $(k - \mathcal{E})$ و چگونگی حل این معادلات :

براساس آنچه که در فصل اول بیان شد مدل توربولانسی  $(k - \mathcal{E})$  جزء مدل‌های دومعادله ای است یعنی برای استفاده از این مدل باید به جزء معادلات مومنوم و پیوستگی باید معادله های  $(k - \mathcal{E})$  نیز حل گردد. همانطور که عنوان شد مدل  $(k - \mathcal{E})$  برای ناحیه کاملاً متلاطم نوشته شده است و تا کنون اقدامات زیادی در جهت بهبود این مدل به خصوص در نزدیکی دیواره صورت گرفته است که می توان به تعریف توابع دیواره و دخالت دادن آن در مدل مذکور نام برد اما آنچه که ما استفاده کردیم هر چند در انجام محاسبات برای ما مشکلاتی را ایجاد کرد البته در نهایت توانستیم با استفاده از بعضی از تخمینها آنها را بر طرف نماییم استفاده از مدل رینولدز پایین  $(k - \mathcal{E})$  بود که می توانست تا حدودی نزدیک دیواره را پوشش دهد و تنها مزیت این روش استفاده از شرایط مرزی مناسبی بود که توانستیم از آن بهره ببریم البته در قسمتی که در آخرین فصل پایان نامه بیان خواهد شد یک سری روشهای مناسب در جهت سریعتر همگرا شدن پارامترهای مذکور عنوان شده است.

در این شرایط برای بدست آوردن  $(v_t)$  از فرمول مهم زیر بهره برده می شود: [۲]

$$v_t = c_\mu f_\mu \frac{k^2}{\mathcal{E}} \quad (1-13-1)$$

که:

$$f_\mu = \exp \left[ - \frac{3.4}{\left(1 + \frac{R_t}{50}\right)^2} \right] \quad (1-13-2)$$

$$R_t = \frac{k^2}{v\mathcal{E}} \quad (1-13-3)$$

معادله  $k$  (انرژی جنبشی توربولانسی):

$$u \frac{\partial k}{\partial x} + v_t \frac{\partial k}{\partial y} = \frac{\partial}{\partial y} \left( \left( v + \frac{v_t}{\sigma_k} \right) \frac{\partial k}{\partial \eta} \right) + v_t \left( \frac{\partial u}{\partial y} \right)^2 - \mathcal{E} - 2v \left( \frac{\partial k}{\partial y} \right)^2 \quad (2-34-11)$$

ضرایب بکار رفته در معادله فوق به صورت زیر بیان خواهد شد:

$$c_\mu = 0.09, \sigma_k = 1.0 \quad (2-34-11-1)$$

در صورتی همانند معادله مومنتوم از روش بی بعد کردن فقط در جهت  $y$  استفاده کنیم متوان معادله  $k$  را می توان به صورت زیر نوشت:

$$u \frac{\partial k}{\partial x} + -m_\Delta u \frac{\partial k}{\partial \eta} + vm_1 \frac{\partial k}{\partial \eta} = m_1^2 \frac{\partial}{\partial \eta} \left( \left( v + \frac{v_t}{\sigma_k} \right) \frac{\partial k}{\partial \eta} \right) + v_t m_1^2 \left( \frac{\partial u}{\partial \eta} \right)^2 - \varepsilon - 2vm_1^2 \left( \frac{\partial k}{\partial \eta} \right)^2 \quad (2-34)$$

که دارای شرایط مرزی زیر می باشد:

$$\eta = 0 \rightarrow k = 0, \varepsilon = 0 \quad (2-34-12)$$

$$\eta = 1 \rightarrow k = k_e, \varepsilon = \varepsilon_e$$

ضرایب ذکر شده در این قسمت مشابه با معادله مومنتوم خواهد بود [۱].

مشاهده می شود که در معادله ترمی با توان  $(1/2)$  از  $k$  وجود دارد که ما با استفاده از فرمول (۵-۵)

معادله مذکور را به شکل زیر باز نویسی کردیم [۳]:

$$u \frac{\partial k}{\partial x} + \left( -m_\Delta u + vm_1 - \frac{m_1^2}{\sigma_k} \frac{\partial v_t}{\partial \eta} \right) \frac{\partial k}{\partial \eta} = m_1^2 \left( \left( \alpha + \frac{v_t}{\sigma_k} \right) \frac{\partial^2 k}{\partial \eta^2} \right) + v_t m_1^2 \left( \frac{\partial u}{\partial \eta} \right)^2 - \varepsilon - \frac{\alpha m_1^3}{0.3} \left( \frac{\partial v_t}{\partial \eta} \right) \left( \frac{\partial^2 u}{\partial \eta^2} \right) \quad (2-34-1)$$

در صورتی که همانند معادله مومنتوم این معادله را نیز به شکل منفصل شده در نقطه  $(P_{i+\frac{1}{2},j})$

بنویسیم خواهیم داشت:

$$u \left( \frac{k_{i+1,j} - k_{i,j}}{\Delta x} \right) + m_1' \left( \frac{k_{i+1,j+1} - k_{i+1,j-1} + k_{i,j+1} - k_{i,j-1}}{4\Delta\eta} \right) - m_1^2 \left( \frac{v_t}{\sigma_k} + \alpha \right) \left( \frac{k_{i+1,j+1} - 2k_{i,j} + k_{i+1,j-1} + k_{i,j+1} - 2k_{i,j} + k_{i,j-1}}{2\Delta\eta^2} \right) - v_t m_1^2 \left( \frac{u_{i+1,j+1} - u_{i+1,j-1} + u_{i,j+1} - u_{i,j-1}}{4\Delta\eta} \right)^2 + \varepsilon + \frac{\alpha m_1^3}{0.3} \left( \frac{\partial v_t}{\partial \eta} \right) \left( \frac{u_{i+1,j+1} - 2u_{i,j} + u_{i+1,j-1} + u_{i,j+1} - 2u_{i,j} + u_{i,j-1}}{2\Delta\eta^2} \right) = 0$$

$$(2-34-3)$$

در این حالت نیز به شکل منظم شده این معادله را می توان به صورت زیر نوشت:

$$A'_{i+\frac{1}{2},j} k_{i+1,j+1} + B'_{i+\frac{1}{2},j} k_{i+1,j} + C'_{i+\frac{1}{2},j} k_{i+1,j-1} + D'_{i+\frac{1}{2},j} = 0 \quad (2-34-4)$$

که ضرایب ماتریسی در این قسمت اندکی متفاوت خواهد بود:

$$A'_{i+\frac{1}{2},j} = \left[ \begin{array}{c} -m'_{\Pi} + \frac{m_1^2 \left( \frac{v_t}{\sigma_k} + \alpha \right)}{2(\Delta\eta)^2} \\ 4\Delta\eta \end{array} \right]_{j+\frac{1}{2},j} \quad (2-34-5)$$

$$B'_{i+\frac{1}{2},j} = \left[ \begin{array}{c} -u - \frac{m_1^2 \left( \frac{v_t}{\sigma_k} + \alpha \right)}{(\Delta\eta)^2} \\ \Delta x \end{array} \right]_{j+\frac{1}{2},j} \quad (2-34-6)$$

$$C'_{i+\frac{1}{2},j} = \left[ \begin{array}{c} +m'_{\Pi} + \frac{m_1^2 \left( \frac{v_t}{\sigma_k} + \alpha \right)}{2(\Delta\eta)^2} \\ 4\Delta\eta \end{array} \right]_{j+\frac{1}{2},j} \quad (2-34-7)$$

$$\bar{B}'_{i+\frac{1}{2},j} = \left[ \begin{array}{c} +u - \frac{m_1^2 \left( \frac{v_t}{\sigma_k} + \alpha \right)}{(\Delta\eta)^2} \\ \Delta x \end{array} \right]_{j+\frac{1}{2},j} \quad (2-34-8)$$

بیشترین تفاوت در ضریب ماتریسی زیر صورت می گیرد:

$$D'_{i+\frac{1}{2},j} = A'_{i+\frac{1}{2},j} k_{i,j+1} + \bar{B}'_{i+\frac{1}{2},j} k_{i,j} + C'_{i+\frac{1}{2},j} k_{i,j-1} + L'_{i+\frac{1}{2},j} \left( N_{i+\frac{1}{2},j} \right)^2 - \varepsilon_{i+\frac{1}{2},j} - G'_{i+\frac{1}{2},j} \left( M_{i+\frac{1}{2},j} \right) \quad (2-34-9)$$

بطوریکه:

$$G'_{i+\frac{1}{2},j} = \left( \frac{\alpha m_1^3 \left( \frac{\partial v_t}{\partial \eta} \right)}{0.3} \right)_{i+\frac{1}{2},j} \quad (2-34-10)$$

بعد از منفصل کردن معادلات دوباره شاهد عدم محاسبه مستقیم  $(k_{i+1,j})$  هستیم در این مرحله ما دو روش را معرفی می کنیم:

روش اول: بعد از آن که معادله مومنتوم (معادله ۳۱-۲) براساس مقادیر مورد نیاز در نقطه  $(p_{i,j})$  میزان پروفیل های سرعت را در مرحله اول از تکرار برای نقطه  $(p_{i+1,j})$  بدست آورد بدون توجه به همگرا شدن سرعت در معادله مومنتوم از این مقادیر سرعت استفاده شده و ضرایب ماتریسی معادلات  $(k, \mathcal{E})$  در این مرحله همانند معادله مومنتوم در نقطه  $(p_{i,j})$  بدست آید در مرحله بعدی از تکرار با استفاده از حل معادلات  $(k, \mathcal{E})$  و در نتیجه آن مقادیر بدست آمده  $(k_{i+1,j}$  و  $\mathcal{E}_{i+1,j})$  و متوسط گیری از آنها در بدست آوردن مقادیر مورد نیاز برای ضرایب ماتریسی و با همان پروفیل های سرعت قبلی مرحله دیگر تکرار را برای معادله  $(k)$  و بصورت مشابه برای  $(\mathcal{E})$  انجام دهیم و این عمل تا زمانی که مقادیر مذکور همگرا نشدند ادامه می یابد در صورت همگرا شدن مقادیر  $(k, \mathcal{E})$  این بار در معادله اصلی مومنتوم در جهت بدست سرعت در نقطه  $(p_{i+1,j})$  و به تبع آن همگرا شدن سرعت از مقادیر همگرا شده  $(k, \mathcal{E})$  استفاده گردد یعنی مراحل همگرایی ابتدا برای  $(k)$  و  $(\mathcal{E})$  و در مرحله نهایی برای پروفیل سرعت در معادله مومنتوم (معادله ۳۱-۲) اعمال شود در این روش احتمال همگرا شدن سریعتر وجود دارد هر چند که ما در محاسبه مقادیر  $(k, \mathcal{E})$  به احتمال زیاد با خطا روبه رو خواهیم شد چرا که تنها از یک مرحله تکرار در مورد سرعت های بکار برده شده در معادلات مومنتوم استفاده شده است .

روش دوم: در این روش برخلاف مرحله قبلی در هر مرحله پروفیل های سرعت بدست آمده بعد هر تکرار در معادلات  $(k, \mathcal{E})$  دخالت داده شده و مقادیر جدید بدست آمده از  $(k, \mathcal{E})$  بعد از بررسی همگرایی در جهت محاسبه مقادیر جدید  $(u_{i+1,j})$  در معادله مومنتوم دخالت داده میشوند و می توان گفت مقادیر  $(k, \mathcal{E})$  سریعتر از پروفیل های سرعت همگرا خواهند شد.

روش سوم: در این روش شرط همگرایی فقط بر روی پروفیل های سرعت اعمال میشود و فرض میگردد که با همگرا شدن مقادیر سرعت مقادیر  $(k, \mathcal{E})$  نیز همگرا شده اند. [۲]

برای معادلات ( $\varepsilon$ ) می توان همانند دو مرحله قبلی اقدام کرد به طوریکه:

$$u \frac{\partial \varepsilon}{\partial x} + -m_\lambda u \frac{\partial \varepsilon}{\partial \eta} + vm_1 \frac{\partial \varepsilon}{\partial \eta} = m_1^2 \frac{\partial}{\partial \eta} \left( \left( v + \frac{v_t}{\sigma_e} \right) \frac{\partial \varepsilon}{\partial \eta} \right) + \frac{c_{\varepsilon 1} \varepsilon}{k} v_t m_1^2 \left( \frac{\partial u}{\partial \eta} \right)^2 - f_2 c_{\varepsilon 2} \frac{\varepsilon^2}{k} + 2v v_t m_1^4 \left( \frac{\partial^2 u}{\partial \eta^2} \right)^2 \quad (2-35)$$

ضرایب برای معادله فوق به صورت زیر تعریف شده است:

$$c_{\varepsilon 1} = 1.44, c_{\varepsilon 2} = 1.92, \sigma_e = 1.3 \quad (2-35-10)$$

$$f_2 = 1 - 0.3 \exp(-R_t^2)$$

یا در حالت منفصل شده خواهیم داشت:

$$\left[ \frac{-m_{\Pi}^*}{4\Delta\eta} + \frac{m_1^2 \left( \frac{v_t}{\sigma_e} + \alpha \right)}{2(\Delta\eta)^2} \right]_{i+\frac{1}{2},j} \varepsilon_{i+1,j+1} + \left[ \frac{-u}{\Delta x} - \frac{m_1^2 \left( \frac{v_t}{\sigma_e} + \alpha \right)}{(\Delta\eta)^2} - \left( f_2 c_{\varepsilon 2} \frac{\varepsilon}{2k} \right) \right]_{i+\frac{1}{2},j} \varepsilon_{i+1,j} + \left[ \frac{+m_{\Pi}^*}{4\Delta\eta} + \frac{m_1^2 \left( \frac{v_t}{\sigma_e} + \alpha \right)}{2(\Delta\eta)^2} \right]_{i+\frac{1}{2},j} \varepsilon_{i+1,j-1} + \left[ \frac{-m_{\Pi}^*}{4\Delta\eta} + \frac{m_1^2 \left( \frac{v_t}{\sigma_e} + \alpha \right)}{2(\Delta\eta)^2} \right]_{i+\frac{1}{2},j} \varepsilon_{i,j+1} + \left[ \frac{+u}{\Delta x} - \frac{m_1^2 \left( \frac{v_t}{\sigma_e} + \alpha \right)}{(\Delta\eta)^2} - \left( f_2 c_{\varepsilon 2} \frac{\varepsilon}{2k} \right) \right]_{i+\frac{1}{2},j} \varepsilon_{i,j} + \left[ \frac{+m_{\Pi}^*}{4\Delta\eta} + \frac{m_1^2 \left( \frac{v_t}{\sigma_e} + \alpha \right)}{2(\Delta\eta)^2} \right]_{i+\frac{1}{2},j} \varepsilon_{i,j-1} + \left( c_{\varepsilon 1} \frac{\varepsilon}{k} v_t m_1^2 \right)_{i+\frac{1}{2},j} \left( N_{i+\frac{1}{2},j} \right)^2 + \left( 2\alpha m_1^4 (v_t) \right)_{i+\frac{1}{2},j} \left( \frac{u_{i+1,j+1} - 2u_{i,j} + u_{i+1,j-1} + u_{i,j+1} - 2u_{i,j} + u_{i,j-1}}{2\Delta\eta^2} \right)^2 = 0 \quad (2-35-1)$$

در نهایت به صورت منظم شده و ماتریسی خواهیم داشت:

$$A_{i+\frac{1}{2},j}^* \varepsilon_{i+1,j+1} + B_{i+\frac{1}{2},j}^* \varepsilon_{i+1,j} + C_{i+\frac{1}{2},j}^* \varepsilon_{i+1,j-1} + D_{i+\frac{1}{2},j}^* \varepsilon_{i,j+1} = 0 \quad (2-35-2)$$

ضرایب ماتریسی نیز به صورت زیر تعریف خواهند شد:

$$A_{i+\frac{1}{2},j}^* = \left[ \frac{-m_{\Pi}^*}{4\Delta\eta} + \frac{m_1^2 \left( \frac{v_t}{\sigma_e} + \alpha \right)}{2(\Delta\eta)^2} \right]_{i+\frac{1}{2},j} \quad (2-35-3)$$

$$B''_{i+\frac{1}{2},j} = \left[ \frac{-u}{\Delta x} - \frac{m_1^2 \left( \frac{v_t}{\sigma_c} + \alpha \right)}{(\Delta\eta)^2} - \left( f_2 c_{r2} \frac{\varepsilon}{2k} \right) \right]_{i+\frac{1}{2},j} \quad (2-35-4)$$

$$C''_{i+\frac{1}{2},j} = \left[ \frac{+m''_{\eta}}{4\Delta\eta} + \frac{m_1^2 \left( \frac{v_t}{\sigma_c} + \alpha \right)}{2(\Delta\eta)^2} \right]_{i+\frac{1}{2},j} \quad (2-35-5)$$

$$\bar{B}''_{i+\frac{1}{2},j} = \left[ \frac{+u}{\Delta x} - \frac{m_1^2 \left( \frac{v_t}{\sigma_c} + \alpha \right)}{(\Delta\eta)^2} - \left( f_2 c_{e2} \frac{\varepsilon}{2k} \right) \right]_{i+\frac{1}{2},j} \quad (2-35-6)$$

$$D''_{i+\frac{1}{2},j} = A''_{i+\frac{1}{2},j} \varepsilon_{i,j+1} + \bar{B}''_{i+\frac{1}{2},j} \varepsilon_{i,j} + C''_{i+\frac{1}{2},j} \varepsilon_{i,j-1} + L''_{i+\frac{1}{2},j} \left( N_{i+\frac{1}{2},j} \right)^2 + G''_{i+\frac{1}{2},j} \left( M_{i+\frac{1}{2},j} \right)^2 \quad (2-35-7)$$

$$L''_{i+\frac{1}{2},j} = \left( c_{e1} \frac{\varepsilon}{k} v_t m_1^2 \right)_{i+\frac{1}{2},j} \quad (2-35-8)$$

$$G''_{i+\frac{1}{2},j} = \left( 2\alpha m_1^4 (v_t) \right)_{i+\frac{1}{2},j} \quad (2-35-9)$$

برای حل معادلات فوق می توان همانند معادله مومنتوم رابطه های زیر را بیان کرد:

$$k_{i+1,j} = E'_{i+\frac{1}{2},j} k_{i+1,j+1} + F'_{i+\frac{1}{2},j} \quad (2-36)$$

$$\varepsilon_{i+1,j} = E''_{i+\frac{1}{2},j} \varepsilon_{i+1,j+1} + F''_{i+\frac{1}{2},j} \quad (2-37)$$

$$E'_{i+\frac{1}{2},j} = - \frac{A'_{i+\frac{1}{2},j}}{B'_{i+\frac{1}{2},j} + C'_{i+\frac{1}{2},j} E'_{i+\frac{1}{2},j-1}} \quad (2-36-1)$$

$$F'_{i+\frac{1}{2},j} = -\frac{D'_{i+\frac{1}{2},j} + C'_{i+\frac{1}{2},j} F'_{i+\frac{1}{2},j-1}}{B'_{i+\frac{1}{2},j} + C'_{i+\frac{1}{2},j} E'_{i+\frac{1}{2},j-1}} \quad (2-36-2)$$

$$E''_{i+\frac{1}{2},j} = -\frac{A''_{i+\frac{1}{2},j}}{B''_{i+\frac{1}{2},j} + C''_{i+\frac{1}{2},j} E''_{i+\frac{1}{2},j-1}} \quad (2-37-1)$$

$$F''_{i+\frac{1}{2},j} = -\frac{D''_{i+\frac{1}{2},j} + C''_{i+\frac{1}{2},j} F''_{i+\frac{1}{2},j-1}}{B''_{i+\frac{1}{2},j} + C''_{i+\frac{1}{2},j} E''_{i+\frac{1}{2},j-1}} \quad (2-37-2)$$

شرایط مرزی برای حل معادلات توربولانسی به این قرار است:

$$\eta_1 = 0 \rightarrow k_{i+1,j=1} = 0, \varepsilon_{i+1,j=1} = 0 \quad (2-38)$$

$$\eta_j = 1, k_{i+1,j} = k_e(x_{i+1}), \varepsilon_{i+1,j} = \varepsilon_e(x_{i+1})$$

بعد از تکرار اول باید مقادیر متوسط در ضرایب ماتریسی از طریق فرمول های متوسط گیری همانند (2-33-1) این بار برای  $k, \varepsilon$  با همین ساختار محاسبه و تعیین گردد.

۳-۳-۲) نحوه ی شبکه بندی:

در حل عددی جریانهای متلاطم نسبت به جریانهای آرام یک تفاوت اساسی می توان بیان کرد و آن در نحوه شبکه بندی می باشد از آنجا که گرادیان سرعت در نزدیکی دیواره در جریان متلاطم بسیار بزرگتر از مقدار این پارامتر در موقعیت مشابه در جریان آرام میباشد بنابراین باید سعی کرد که در نزدیکی دیواره فاصله بین شبکه کوچکتر و در عین حال در فواصل دورتر از دیواره این فواصل بزرگتر باشد بنابراین باید از یک نوع شبکه بندی متغییر در جهت  $(\eta)$  باید استفاده کرد به عبارتی باید گامهای فواصل در جهت  $(\eta)$  با دور شدن از دیواره تغییر نماید بر این اساس آنچه را در کتابها و منابع مختلف در جهت بدست آوردن این فواصل اعلام شده به شکل زیر می توان بیان کرد: [۲]

$$\begin{aligned} \eta_1 &= 0 \\ \eta_j &= \eta_2 \frac{K^{j-1} - 1}{K - 1} \quad j = 2, 3, 4, \dots, J \quad (2-39) \\ \eta_J &= 1 \end{aligned}$$

بطوریکه:

$$\Delta \eta_{i,j} = \eta_2 K^{j-2} \quad (2-40)$$

$$\eta_2 = \frac{(k-1)}{(k^{J-1} - 1)} \quad (2-41)$$

تعداد نقاط کل  $(J)$

$$J = \frac{\ln \left[ 1 + (k-1) \left( \frac{\eta_e}{\eta_2} \right) \right]}{\ln k} \quad (2-42)$$

که:  $k = 1.1$



براین اساس ضرایب ماتریسی بکار رفته در معادلات اصلی مربوط به مومنتوم و  $(k, \mathcal{E})$  نیز دستخوش تغییراتی به شکل زیر خواهند شد که به دلیل شباهت در تغییرات ایجاد شده به عنوان نمونه ضرایب تغییر یافته معادله منفصل شده مومنتوم را در اینجا بیان میکنیم [۱،۵]:

به عنوان مثال می توان نوشت:

$$\left(\frac{\partial u}{\partial \eta}\right)_{i+1,j} = (g_1)_{i,j} u_{i+1,j+1} - \left[ (g_1)_{i,j} - (g_2)_{i,j} \right] u_{i+1,j} - (g_2)_{i,j} u_{i+1,j-1}$$

$$\left(\frac{\partial^2 u}{\partial \eta^2}\right)_{i+1,j} = 2 \left\{ (g_3)_{i,j} u_{i+1,j+1} - \left[ (g_3)_{i,j} + (g_4)_{i,j} \right] u_{i+1,j} + (g_4)_{i,j} u_{i+1,j-1} \right\}$$

در نتیجه:

$$A_{i+\frac{1}{2},j} = \left[ \frac{-m_{\pi}}{2} g_1 + m_1^2 (\nu_i + \alpha) g_3 \right]_{i+\frac{1}{2},j} \quad (2-27-2-1)$$

$$B_{i+\frac{1}{2},j} = \left[ \frac{-u}{\Delta x} - m_1^2 (\nu_i + \alpha) (g_3 + g_4) + \frac{m_{\pi}}{2} (g_1 - g_2) \right]_{i+\frac{1}{2},j} \quad (2-27-3-1)$$

$$C_{i+\frac{1}{2},j} = \left[ \frac{+m_{\pi}}{2} g_2 + m_1^2 (\nu_i + \alpha) g_4 \right]_{i+\frac{1}{2},j} \quad (2-27-4-1)$$

$$\bar{B}_{i+\frac{1}{2},j} = \left[ \frac{+u}{\Delta x} - m_1^2 (\nu_i + \alpha) (g_3 + g_4) + \frac{m_{\pi}}{2} (g_1 - g_2) \right]_{i+\frac{1}{2},j} \quad (2-27-5-1)$$

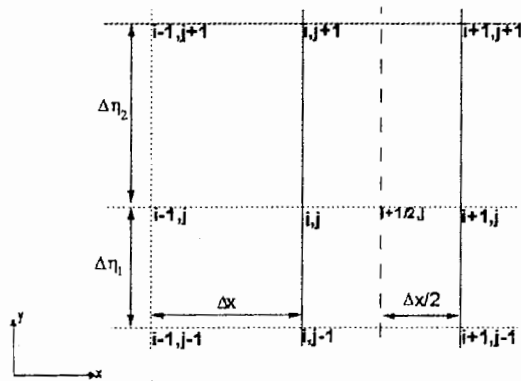
که ضرایب جدید بکار رفته به صورت زیر بیان می گردد:

$$(g_1)_{i,j} = \frac{1}{\eta_2} \frac{K}{1+K} \quad (2-43)$$

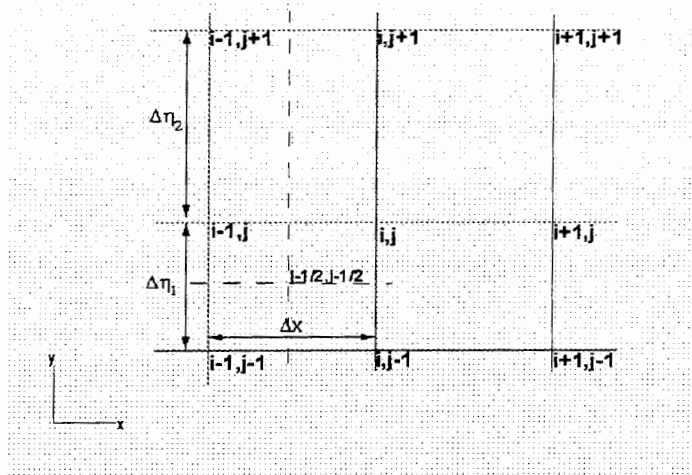
$$(g_2)_{i,j} = K^2 (g_1)_{i,j} \quad (2-44)$$

$$(g_3)_{i,j} = \frac{1}{\eta_2^2} \frac{K^{3-2j}}{1+K} \quad (2-45)$$

$$(g_4)_{i,j} = K^2 (g_3)_{i,j} \quad (2-46)$$



شکل (۲-۱۱): نحوه شبکه بندی جهت حل عددی با استفاده از ساختار Crank-Nicolson در روی صفحات بدون انحنا



شکل (۲-۱۲): نحوه شبکه بندی جهت حل عددی با استفاده از ساختار Keller's box در روی صفحات بدون انحنا

۴-۳-۲) نحوه ی بدست آوردن ترمهای توربولانسی:

برای بدست آوردن ترمهای توربولانسی روابط مختلفی بیان شده است که از آن جمله به روابط اساسی زیر اشاره کرد:

Boussinesq eddy viscosity, Speziale eddy viscosity, Launder eddy viscosity که از میان این روابط رابطه [۲] Launder eddy viscosity می توان گفت دقیقترین جوابها را در مورد ترمهای توربولانسی بدست می آورد اما رابطه Boussinesq eddy viscosity نیز کاربرد وسیعی دارد که در اینجا از این رابطه استفاده شده است البته این روابط نیاز به اصلاحاتی دارند به خصوص زمانی که در مورد جریانهای برشی ساده از آنها استفاده می شود. بنابراین خواهیم داشت [۲, ۳]:

$$-\rho \overline{u'_i u'_j} = 2\mu_t S_{ij} - \frac{2}{3} \rho k \delta_{ij} \quad (۲-۴۷)$$

که تانسورهای کرنش به صورت زیر تعریف می شوند:

$$S_{xx} = \frac{\partial u}{\partial x} - \frac{1}{3} \operatorname{div} \vec{V} \quad (۲-۴۸)$$

$$S_{yy} = \frac{\partial v}{\partial y} - \frac{1}{3} \operatorname{div} \vec{V} \quad (۲-۴۹)$$

که برای سیال تراکم ناپذیر  $\operatorname{div} \vec{V} = 0$  است.

در صورتی که معادلات فوق در مختصات خواسته شده نوشته شود داریم:

$$-\rho \overline{u'^2} = 2\mu_t \left( \frac{\partial u}{\partial x} + \left( -m_\Delta \frac{\partial u}{\partial \eta} \right) \right) - \frac{2}{3} \rho k \quad (۲-۵۰)$$

$$-\rho \overline{v'^2} = 2\mu_t m_1 \left( \frac{\partial v}{\partial \eta} \right) - \frac{2}{3} \rho k \quad (۲-۵۱)$$

که انرژی جنبشی توربولانسی به صورت زیر تعریف خواهد شد:

$$k = \frac{1}{2} (\overline{v'^2} + \overline{u'^2} + \overline{w'^2})$$

اگر معادلات فوق را بخواهیم به شکل ماتریسی در جهت حل بکار بریم معادلات به صورت زیر خلاصه خواهند شد:

$$\left(\overline{u'^2}\right)_{i,j} = (2\nu_i)_{i,j} \left(\frac{\partial u}{\partial x}\right)_{i,j} + (-m_\Delta 2\nu_i)_{i,j} \left(\frac{\partial u}{\partial \eta}\right)_{i,j} - \frac{2}{3} k_{i,j} \quad (2-50-1)$$

$$\left(\overline{v'^2}\right)_{i,j} = (2\nu_i m_1)_{i,j} \left(\frac{\partial v}{\partial \eta}\right)_{i,j} \quad (2-51-1)$$

$$\left(\overline{w'^2}\right)_{i,j} = 2k_{i,j} - \left(\left(\overline{v'^2}\right)_{i,j} + \left(\overline{u'^2}\right)_{i,j}\right) \quad (2-52)$$

$$(\nu_i)_{i,j} = (f_\mu c_\mu) \frac{(k_{i,j})^2}{\varepsilon_{i,j}} \quad \text{با تاکید مجدد بر این نکته که داریم:}$$

بر طبق آنچه که در ابتدای این قسمت بیان شد ما جهت اصلاح روابط گفته شده و بدست آوردن تنشهای

نرمال توربولانسی مجبور شدیم که ضرایبی از تنش برشی آشفتگی به عنوان ترم اصلاحی به معادلات

(2-50) و (2-51) اضافه نماییم البته این ترمها به صورت ضریب دلخواه وبدون منطق خاصی در معادلات

مذکور دخالت داده نشده اند چرا که این ضرایب اصلاحی به کمک رابطه غیر خطی Launder eddy

viscosity بدست آمده اند. [۲]

۴-۲) بررسی نتایج مربوط به حل عددی معادلات لایه مرزی بر روی صفحه مسطح:

از آنجا که اعتبار هر حل عددی از معادلات مختلف در نحوه ی مقایسه ای است که با حل های تجربی و یا حل های تحلیلی انجام می گیرد بنابراین ما در این مرحله سعی می کنیم حداقل برای پروفیل های سرعت بدست آمده و در صورت امکان تنش برشی توربولانسی مقایسه درستی از مقادیر بدست آمده از حل عددی و مقادیر تجربی داشته باشیم :

توضیحاتی در مورد ساختار کارهای تجربی مورد استفاده و هندسه حل:

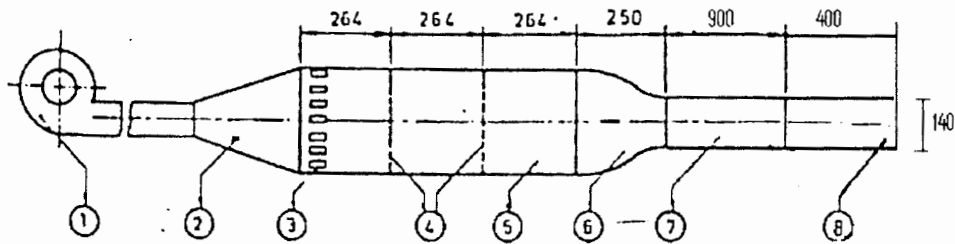
آنچه که از آن به عنوان داده های تجربی در انجام این پروژه جهت مقایسه با مقادیر بدست آمده از حل عددی مورد استفاده قرار می گیرد شامل دو گروه از کارهای تجربی است که توضیحاتی در مورد آن همراه با هندسه مسئله مورد نظر در طی دو قسمت آورده می شود:

قسمت اول از مقادیر تجربی مورد استفاده مربوط به دستگاه تونل بادی است که دارای ویژگیهایی به شرح زیر میباشد [۶]:

ناحیه test section دارای سطح مقطعی مربعی شکل با ابعاد  $140\text{mm} \times 140\text{mm}$  بوده و طول این قسمت  $900\text{mm}$  می باشد همچنین شدت توربولانسی و سرعت جریان آزاد در این ناحیه به ترتیب برابر با  $13\frac{m}{s}, 0.01$  است در ادامه این ناحیه یک صفحه مسطح به طول  $400\text{mm}$  که به صورت یک مجرا مسطح (straight

duct) است قرار دارد سرعت جریان آزاد و شدت توربولانسی نیز در این قسمت برابر با مقدار  $13\frac{m}{s}, 0.01$  در نظر

گرفته شده است شکل شماتیک این دستگاه در زیر نشان داده شده است:



1. Centrifugal blower 2. Diffuser 3. Honey comb 4. Nylon screen  
5. Settling chamber 6. Contraction 7. Test section 8. straight duct

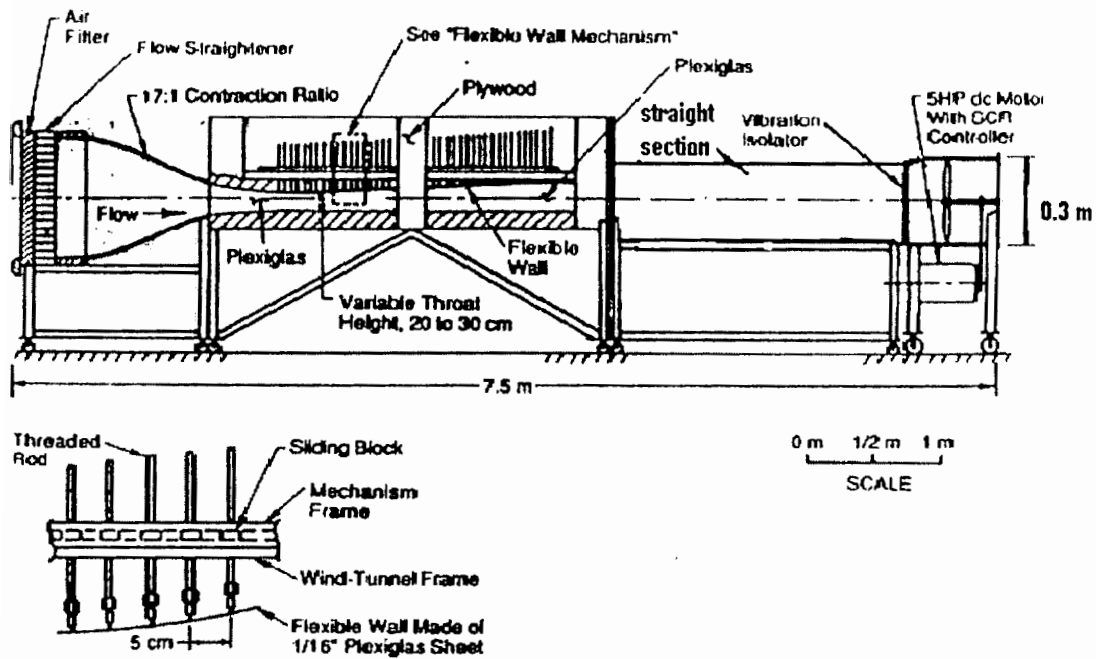
All dimensions in mm

شکل (۱۳-۲): نمایی از ساختار و جزئیات دستگاه تجربی توضیح داده شده

برای اینکه بتوانیم از لحاظ هندسی شرایطی را که مطابق با ساختار دستگاه تجربی است جهت حل عددی مورد استفاده قرار دهیم یک صفحه مسطح با طول  $1300\text{mm}$  و عرض  $70\text{mm}$  که جریان آزاد با سرعت  $13\frac{m}{s}$  و شدت توربولانسی  $0.01$  بر روی صفحه مذکور جریان دارد در نظر گرفتیم. توجه به این نکته الزامی است که حل فوق به صورت دو بعدی بوده و در کار تجربی فوق بر دو بعدی بودن تاکید شده زیرا تمام مقادیر تجربی بدست آمده در امتداد خط مرکز یا همان centerline بدست آمده است.

قسمت دوم از کارهای تجربی از لحاظ ساختار و شکل نیز تا حدودی شبیه به دستگاه قبلی است ولی با ابعادی متفاوت مقادیر تجربی مورد استفاده مربوط به دستگاه تونل بادی است که در دانشگاه کالیفرنیا مورد استفاده قرار گرفته است این دستگاه بطور خلاصه دارای طولی به اندازه  $7.5\text{m}$  بوده که طول کل قسمت test section برابر با  $3\text{m}$  میباشد عرض ناحیه مورد آزمایش نیز برابر با  $0.3\text{m}$  است سرعت جریان آزاد در این ناحیه برابر با  $17.5\frac{m}{s}$  و شدت توربولانسی نیز  $0.01$  است. در حالت اول از اندازه گیریهای صورت گرفته که بر روی یک صفحه مسطح بوده طول این صفحه  $2.3\text{m}$  از طول کل ناحیه test section را در بر گرفته است. در این قسمت نیز سرعت

جریان آزاد برابر با  $17.5\frac{m}{s}$  و شدت توربولانسی  $0.01$  می باشد. [۹]



Flexible Wall Mechanism

شکل (۲-۱۴): نمایی از ساختار دستگاه تجربی

برای حل عددی صفحه مسطحی را که دارای طول  $3\text{ m}$  و عرض  $0.3\text{ m}$  را در نظر گرفتیم سرعت جریان آزاد در این قسمت برابر با  $17.5 \frac{\text{m}}{\text{s}}$  و شدت توربولانسی نیز  $0.01$  است. در تمامی موارد فوق تعیین نقطه گذر از جریان آرام به متلاطم توسط رابطه زیر داده شده است:

$$Re_{x,tr}^{\frac{1}{2}} = \frac{-1 + \sqrt{1 + 132500T^2}}{39.2T^2} \quad (2-54)$$

که  $T$  در اینجا شدت توربولانسی جریان آزاد است.

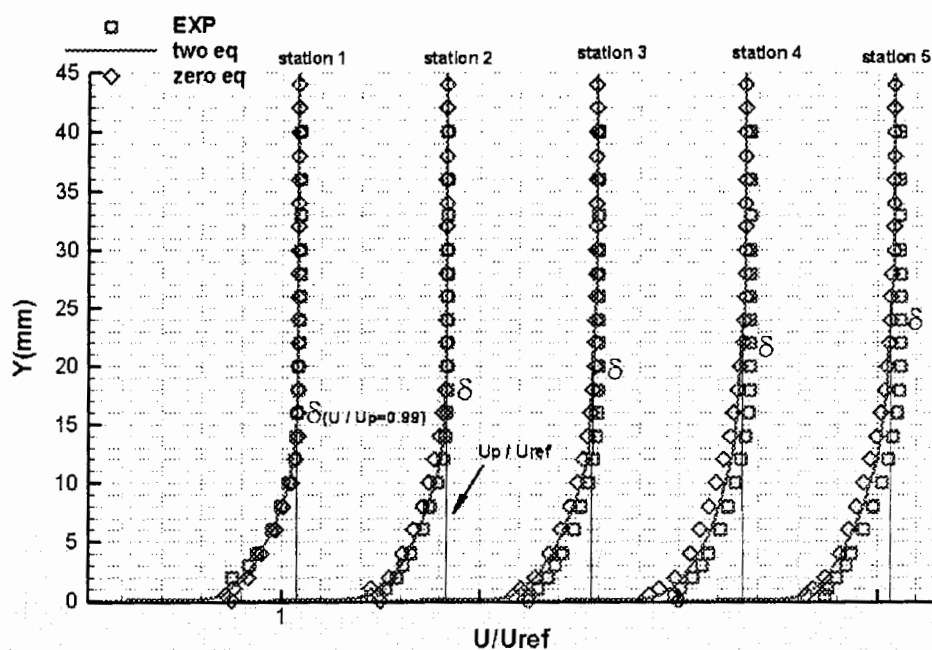
موقعیت ۷	موقعیت ۶	موقعیت ۵	موقعیت ۴	موقعیت ۳	موقعیت ۲	موقعیت ۱	سرعت جریان آزاد
-	-	۱,۳m	۱,۲m	۱,۱m	۱,۰۵m	۱m	$u_{\infty} = 13 \frac{m}{s}$ $u_{ref} = 12 \frac{m}{s}$
۲,۵m	۲,۲۵m	۲m	۱,۷۵m	۱,۲۵m	۱m	۰,۷m	$u_{\infty} = 17.5 \frac{m}{s}$

جدول (۱-۲): بیان وضعیت قرارگرفتن موقعیت های مختلف ذکرشده در نمودارهای مربوط به بخش نتایج

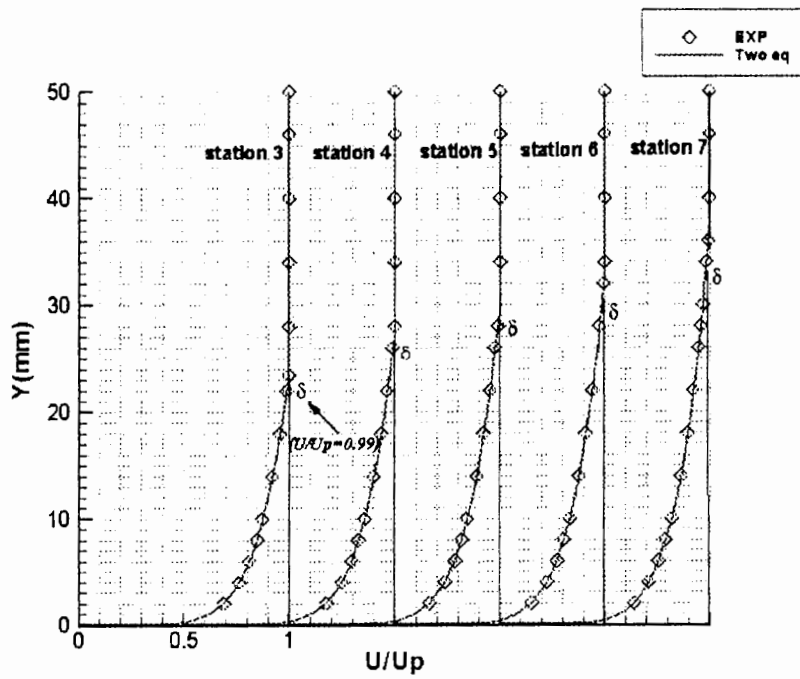


در این مرحله نتایج بدست آمده را به صورت نمودار که نحوه ی مقایسه با کارهای تجربی نیز در آن مشخص است بیان می گردد. از آنجا که مقادیر  $(\delta^*, \theta, H)$  در فصل های بعدی به صورت نمودار در مقایسه با شرایط بیان شده در آن فصل ها آورده شده است بنا بر این از ذکر مجدد این مقادیر به صورت نمودار خودداری کرده و فقط به بیان نتایج آن در قسمت بعدی خواهیم پرداخت:

(۲-۴-۱) نتایج مربوط به پروفیل های سرعت:



شکل (۲-۱): نحوه ی توزیع پروفیل های سرعت در جریان آشفته بر روی صفحه مسطح ( $u_e = 13 m/s$ )



شکل (۲-۲): نحوه ی توزیع پروفیل های سرعت در جریان آشفته بر روی صفحه مسطح ( $u_e = 17.5 \text{ m/s}$ )

(۱) از مقایسه پروفیل های سرعت بدست آمده برای حالت های مختلف می توان به یک نتیجه مشترک رسید یعنی مقدار ضخامت لایه مرزی در امتداد حرکت در جهت صفحه افزایش می یابد که امری است بدیهی همچنین مقدار  $(\frac{\partial u}{\partial y})$  در عرض لایه مرزی سیری نزولی خواهد داشت همچنانکه در جهت طولی لایه مرزی شاهد کاهش  $(\frac{\partial u}{\partial y})$  خواهیم بود البته در یک  $y$  یکسان نه در یک  $(\frac{y}{\delta})$  مشابه.

(۲) در حالت کلی می توان گفت که در یک صفحه مسطح مقدار  $\frac{\partial u}{\partial x}$  نیز مقداری منفی است در حالی که  $(\frac{\partial u}{\partial y})$  مقداری مثبت می باشد.

(۳) اگر فرض بقای مومنتم را مورد توجه قرار دهیم می توان این گونه استنباط نمود که با کاهش میزان مومنتم ناشی از سرعت متوسط در جهت صفحه (طول لایه مرزی) مقدار باقیمانده آن صرف غلبه بر ناپایداریهای ناشی از ترمهای توربولانسی می شود.

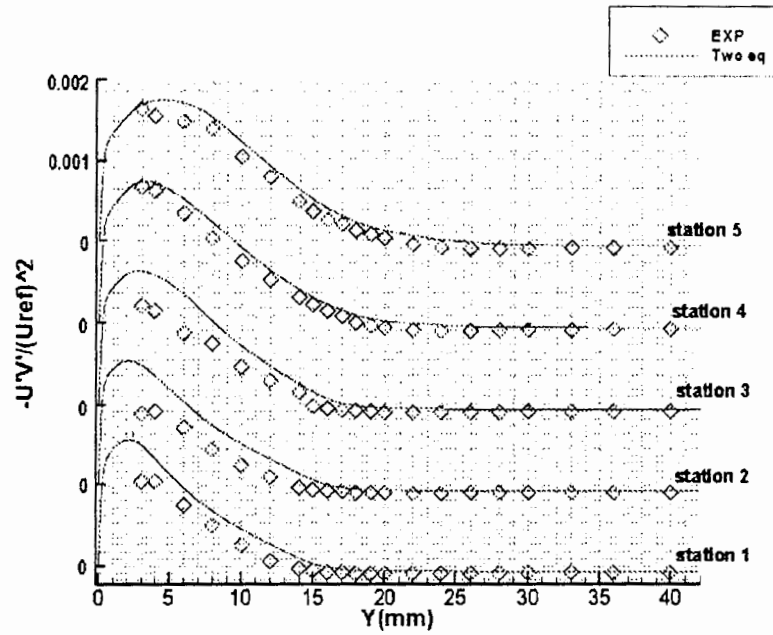
(۴) مقدار  $(\frac{\partial u}{\partial y})$  در  $(y=0)$  نیز در طول لایه مرزی کاهش می یابد و این امر در بدست آوردن مقدار  $u_\tau$  (سرعت توربولانسی) و همچنین  $(C_f$  و  $\tau_w$ ) از اهمیت ویژه ای برخوردار است هر چند که این مقدار کاهش بر روی صفحه مسطح تا حدودی کم میباشد.

(۵) درمقادیر  $(\delta, \delta^*, \theta)$  همگی شاهد افزایش آنها خواهیم بود البته افزایش ضخامت لایه مرزی در جهت حرکت در امتداد صفحه امری مشخص است و به تبع آن ضخامت مومنتمومی و جابجایی نیز افزایش می یابد. و به این خاطر است که خطوط جریان خارجی باید به اندازه  $\delta^*$  به سمت خارج منحرف شوند که اصل بقای جرم ارضا گردد. [۴]  
در یک  $Re$  یکسان در روی یک صفحه مسطح مقدار  $\delta$  تابعی است از  $x$  یعنی اگر دو جریان داشته باشیم با دوسرعت آزاد متفاوت آن جریانی که دارای سرعت بیشتری است دارای ضخامت لایه مرزی کمتری خواهد بود البته در یک  $(Re_x)$  یکسان زیرا این جریان با طی مسافت کمتری به مقدار  $Re$  مورد نظرمیرسد همچنین همین شرایط تقریباً برای  $(\delta^*, \theta)$  برقرار است. [۴]

۶) مقدار  $C_f$  در یک صفحه مسطح با توجه به کاهش تنش برشی ناشی از لزجت در روی دیواره کاهش خواهد یافت اما این میزان کاهش تقریباً زیاد چشمگیر نخواهد بود. می توان گفت  $C_f$  با  $(Re_x)$  نسبت عکس دارد اما در  $(Re_x)$  برای جریانهای مختلف با سرعت های آزاد متفاوت مقدار  $C_f$  تا حدودی یکسان خواهد بود.

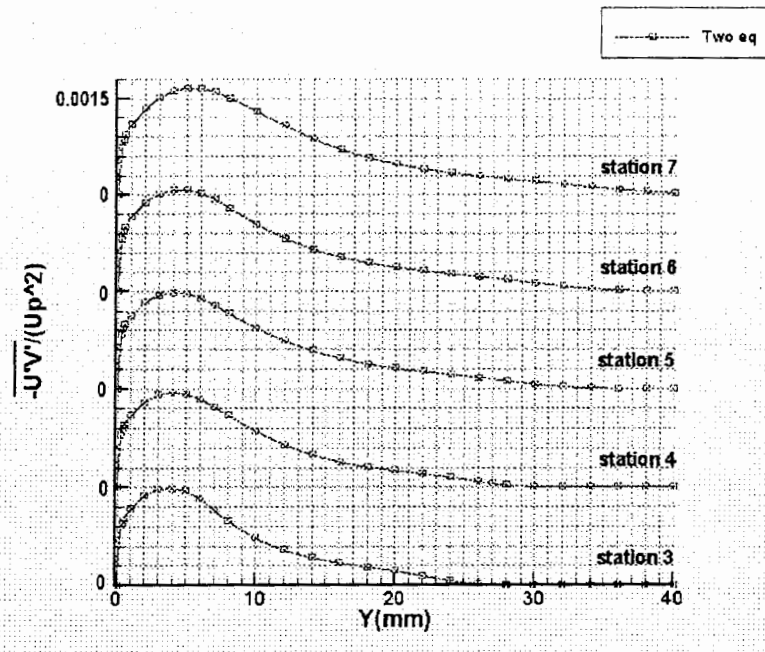
۷) تغییرات  $H$  (ضریب شکل) در طول یک صفحه مسطح بسیار ناچیز خواهد بود اما این مقدار به صورت جزئی تمایل به کاهش دارد. به طور کلی می توان گفت تغییرات  $H$  با تغییرات  $(C_f)$  نسبت مستقیم دارد.

۲-۴-۲) نتایج مربوط به مقادیر توربولانسی:



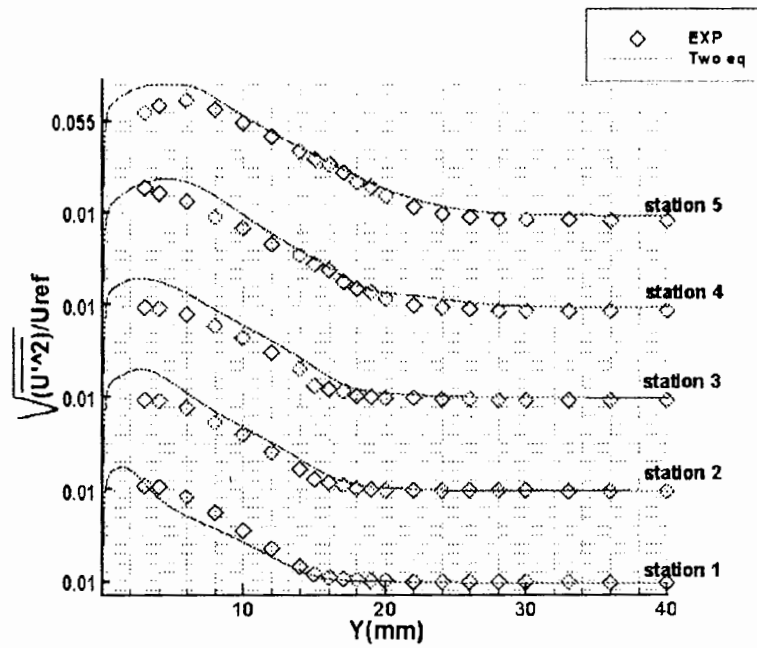
شکل (۲-۳): نحوه ی توزیع تنش برشی توربولانسی (turbulence shear stress)

برروی صفحه مسطح ( $u_e = 13 \text{ m/s}$ )



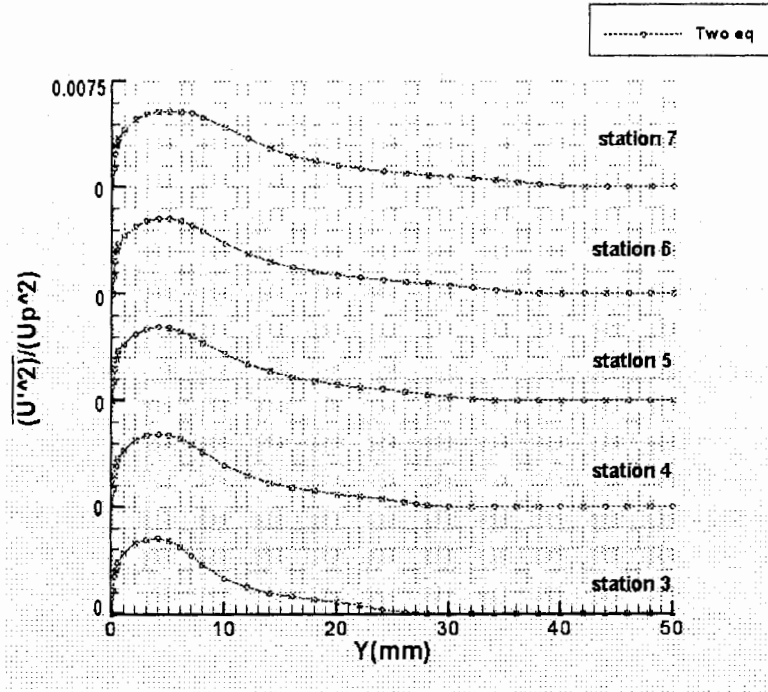
شکل (۲-۴): نحوه ی توزیع تنش برشی توربولانسی (turbulence shear stress)

برروی صفحه مسطح ( $u_e = 17.5 \text{ m/s}$ )



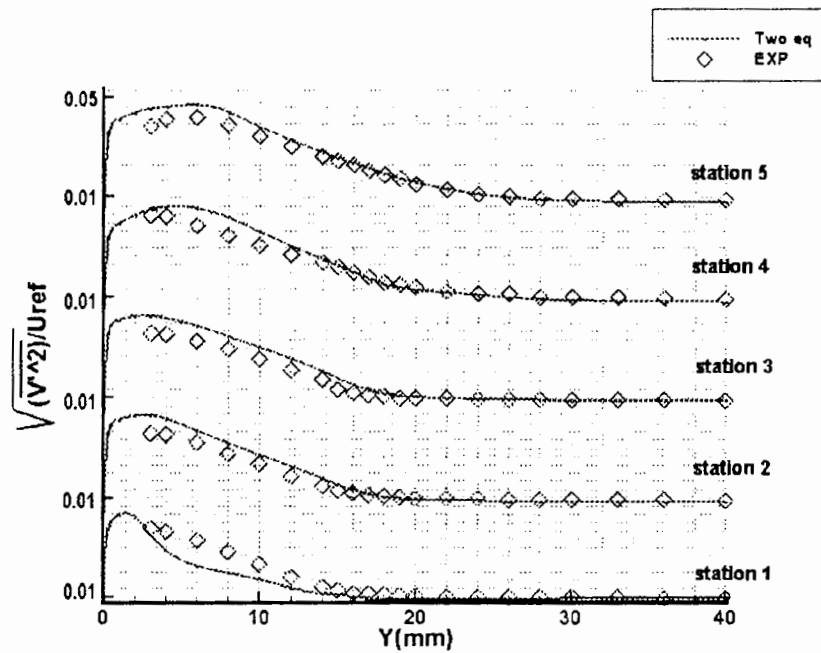
شکل (۲-۵): نحوه ی توزیع شدت توربولانسی (turbulence intensity)

برروی صفحه مسطح ( $u_e = 13 m/s$ )



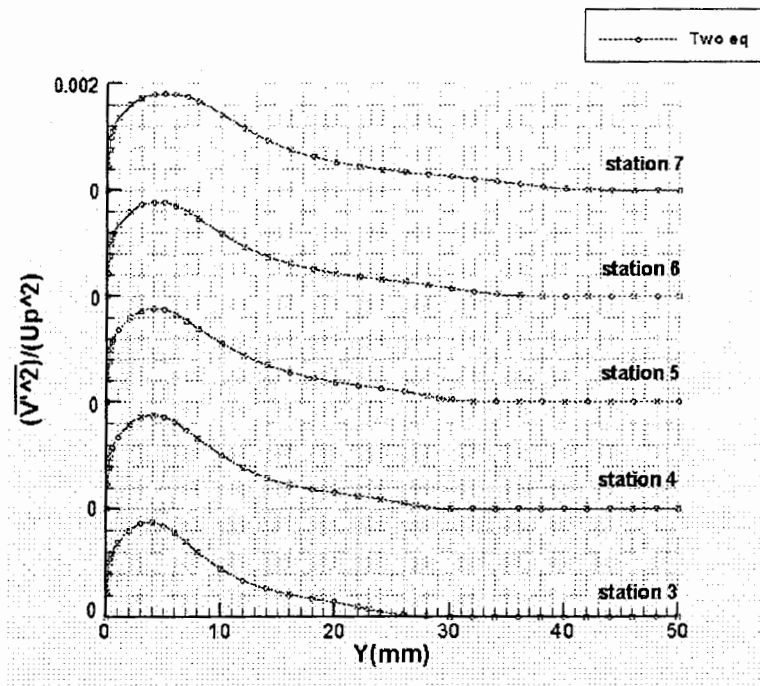
شکل (۲-۶): نحوه ی توزیع شدت توربولانسی (turbulence intensity)

برروی صفحه مسطح ( $u_e = 17.5 m/s$ )



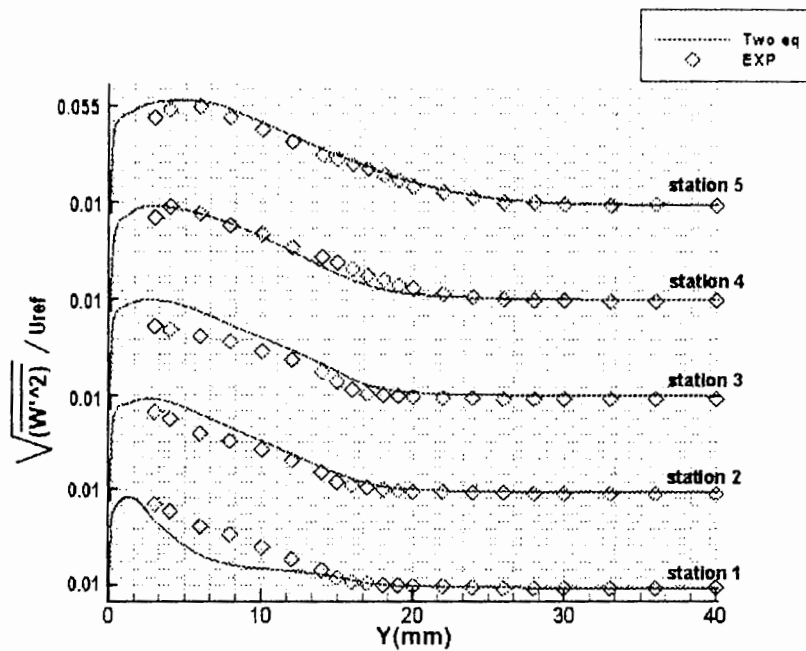
شکل (۲-۷): نحوه ی توزیع شدت توربولانسی (turbulence intensity)

روی صفحه مسطح ( $u_e = 13 \text{ m/s}$ )



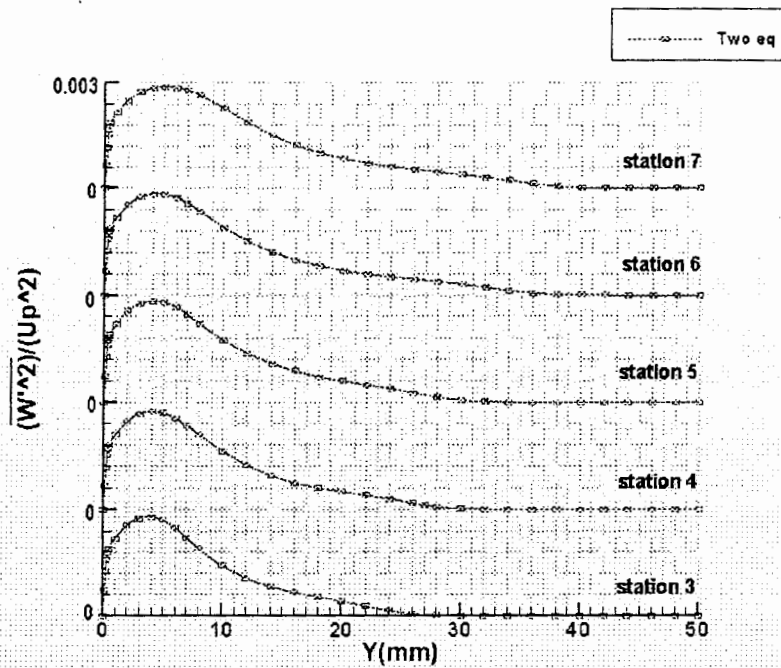
شکل (۲-۸): نحوه ی توزیع شدت توربولانسی (turbulence intensity)

برروی صفحه مسطح ( $u_e = 17.5 \text{ m/s}$ )



شکل (۹-۲): نحوه ی توزیع شدت توربولانسی (turbulence intensity)

بر روی صفحه مسطح ( $u_e = 13 \text{ m/s}$ )



شکل (۱۰-۲): نحوه ی توزیع شدت توربولانسی (turbulence intensity)

بر روی صفحه مسطح ( $u_e = 17.5 \text{ m/s}$ )



۱) مقادیر و تغییرات  $\frac{-u'v'}{u''}$  در عرض لایه مرزی شامل دو موقعیت کاملاً متفاوت است در یک محدوده شامل رشد و در محدوده  $y \leq \frac{y}{\delta} \leq 0.2 - 0.3$  دیگر کاهش این مقادیر را خواهیم دید. دلیل رفتار اول که در محدوده  $0.02 \leq \frac{y}{\delta} \leq 0.2 - 0.3$  اتفاق می افتد به این خاطر است که در ناحیه viscous sub layer که ناحیه ای است که لزجت اهمیت دارد و ترمهای توربولانسی مقداری برابر با صفر خواهند داشت اما وقتی از این ناحیه وارد ناحیه Buffer layer میشویم ترمهای توربولانسی و لزجت از یک درجه و اهمیت بر خودار هستند. که در کارهای عددی اکثراً ضخامت اولین المان به گونه ای در نظر گرفته میشود که این دو ناحیه را در تمامی موقعیت ها تحت پوشش قرار دهد. اما در محدوده ناحیه لگاریتمی که در آن قانون لگاریتمی سرعت برقرار است شاهد رشد مقادیر تنش برشی توربولانسی هستیم براساس آنچه که در نتیجه انجام این پروژه صورت گرفته و بر فیزیک جریان نیز منطبق است مقدار تنش برشی توربولانسی ابتدا تا حد ماکزیمی رشد خواهد داشت سپس در مقطعی دارای مقدار ثابتی خواهد شد که در آن مقطع شیب رشد تنش برشی توربولانسی کم میشود بطوریکه می توان آن مقادیر را ثابت در نظر گرفت که این ناحیه ثابت ( constant region ) محدوده اش برای موقعیت های گوناگون متفاوت خواهد بود و تا قسمتی از ناحیه ی (outer layer) نیز میتواند رشد پیدا کند. ولی در ناحیه (outer layer) شاهد کاهش مقادیر توربولانسی در عرض لایه مرزی میشویم. (مقایسه صورت گرفته در موقعیت طولی یکسان ولی در مقادیر عرضی متفاوت خواهد بود.) بنابراین سیر نزولی تنش برشی توربولانسی و شدتهای توربولانسی در ناحیه (outer layer) خواهد بود.

۲) همانطور که در قسمت قبلی توضیح داده شد ناحیه ثابت ( constant region ) برای موقعیت های گوناگون در طول لایه مرزی متفاوت خواهد بود. این ناحیه با توجه به حرکت در امتداد لایه مرزی گسترش پیدا می کند اما فاصله این ناحیه در عرض لایه مرزی نسبت به دیواره نیز متفاوت است. به بیان دیگر آنچه که بدیهی است اینست فاصله ای که در آن مقدار ماکزیم تنش برشی توربولانسی اتفاق می افتد متفاوت خواهد بود و این فاصله از دیواره

بیشتر میشود وقتی که در جهت طولی لایه مرزی حرکت کنیم. اما برای یک صفحه مسطح وقتی در حالت بی بعد شده ( $\frac{y}{\delta}$ ) این فواصل از دیواره مورد بررسی قرار می‌گیرد محدوده‌ای در حدود ۰,۱ الی ۰,۱۵ را در بر می‌گیرد.

(۳) در ناحیه (outer layer) هر چند مقدار تنش برشی توربولانسی در عرض لایه مرزی کاهش می‌یابد ولی وقتی مقادیر ذکر شده در این ناحیه با نواحی (outer layer) در موقعیت‌های طولی دیگر مورد بررسی قرار می‌گیرد شاهد رشد مقادیر توربولانسی در طول لایه مرزی در ناحیه (outer layer) خواهیم بود در حالی که عکس این موضوع برای ناحیه (inner layer) وجود دارد. دلیل این امر هم واضح است چرا که با افزایش ضخامت لایه مرزی مقادیر توربولانسی دیرتر به مقدار صفر میرسد.

(۴) مقادیر شدت توربولانسی نیز از نظر چگونگی توزیع شرایط مشابهی با تنش برشی توربولانسی خواهند داشت در این شرایط  $\frac{+u'^2}{u_p^2}$  از سایر شدتهای توربولانسی مقداری بیشتر خواهد داشت و در میان مقدار  $(\frac{+v'^2}{u_p^2})$  از همه ی مقادیر

شدتهای توربولانسی کمتر خواهد بود. چنانچه نسبت  $(\frac{+v'^2}{u_p^2})$  در دو حالت متفاوت یکی بر روی صفحه مسطح و دیگری در حالت گرادیان فشار معکوس در نظر گرفته شود شاهد افزایش این نسبت در اثر عوامل ناپایداری (گرادیان فشار معکوس) خواهیم بود.

(۵) نکته جالب توجه شباهت نمودارهای تنش برشی توربولانسی و شدتهای توربولانسی با همدیگر میباشد. به خصوص نمودارهای  $(\frac{+v'^2}{u_p^2})$  و  $(\frac{-u'v'}{u_p^2})$  بسیار به هم شبیه هستند از طرفی میتوان گفت نسبت  $(\frac{+v'^2}{k})$  تا حدودی مشابه نسبت

تنش برشی توربولانسی به  $k$  (انرژی جنبشی توربولانسی) میباشد البته این میزان نسبت برای  $(\frac{+v'^2}{k})$  تا اندازه ای بیشتر خواهد بود.

(۶) آنچه که میتوان در مورد نحوه ی تغییر مقادیر ماکزیمم تنش برشی توربولانسی در طول لایه مرزی بدین صورت است که در نگاه اول با توجه به کاهش  $\frac{\partial u}{\partial y}$  در جهت  $x$  این گونه به نظر میرسد که با کاهش این مقادیر روبه رو

هستیم اما در اینجا یک ترم متغیر دیگر ( $V_r$ ) نیز وجود دارد که این ترم با توجه به افزایش آن در جهت ( $x$ ) باعث میشود که مقدار ماکزیمم ( $\frac{-\overline{u'v'}}{u_p^2}$ ) در جهت ( $x$ ) ثابت و حتی در بعضی مراحل شاهد افزایش جزئی نیز باشیم. در صورتی که بخواهیم از این فرض استفاده کنیم که مقدار ( $\frac{-\overline{u'v'}_{\max}}{u_p^2}$ ) در ناحیه لگاریتمی مقدار ثابتی و برابر با یک است در این حالت با یک تناقض روبه رو خواهیم شد زیرا مقدار  $u_p$  در طول لایه مرزی همراه با کاهش است یعنی مقدار ماکزیمم تنش برشی توربولانسی نیز دچار کاهش خواهد شد اما آنچه در انجام این پروژه به آن دست یافتیم اینست که در هر موقعیت نمی توان دقیقا گفت که مقدار  $-\overline{u'v'}_{\max}$  نسبت به  $u_p^2$  برابر با یک خواهد شد زیرا بر اساس یافته های ما این نسبت در موقعیت های طولی مختلف متفاوت خواهد بود و با حرکت در طول لایه مرزی این نسبت افزایش می یابد و توجه داشته باشیم این تناقض ذکر شده بر این اساس بدست آمده است که مقدار تنش برشی مقدار ثابتی باشد در حالیکه ثابت بودن تنش برشی تنها برای نواحی بسیار نزد یک به دیواره قابل قبول است همانطور که در قسمتهای قبلی نیز توضیح داده شد حتی در ناحیه ثبات (constant region) باز هم شاهد رشد بسیار جزئی این مقادیر هستیم بنابراین ثابت بودن به معنای مطلق وجود ندارد.

۷) دلیل اینکه محدوده (constant region) در جهت طولی لایه مرزی افزایش می یابد بدین خاطر است قانون سرعت لگاریتمی سرعت محدوده ی بیشتری را در بر میگیرد.

۸) توجه به این نکته الزامی است هر چه قدر شروع ناحیه لگاریتمی در فاصله دورتری از دیواره باشد میزان گسترش آن نیز بیشتر خواهد بود به همین دلیل شاهد رشد تنش برشی توربولانسی در فاصله دورتری نسبت به دیواره خواهیم بود. هر چه قدر مقدار این ناحیه توسعه یابد رشد ترمهای توربولانسی بیشتر خواهد شد اگر چه بعضی از تحقیقات تجربی این گونه میخوانند القاء کنند که این مقادیر در این ناحیه ثابت هستند که باز هم تاکید می کنیم که این با شرایط فیزیکی جریان اصلا سازگاری ندارد.

۹) مقادیر ماکزیمم تنش برشی توربولانسی را برای حالت‌های مختلف با جریان‌هایی که سرعت آزاد متفاوت دارند را بدست آوریم در نهایت این مقادیر بدست آمده تا حدودی ثابت نشان میدادند در حالی که تفاوت آنها چیزی در ۰,۰۰۰۱ تا ۰,۰۰۰۱۵ می باشد اما اگر در حالت غیر بی بعد شده یعنی  $(\overline{u'v'})$  در نظر گرفته شوند هر چقدر سرعت جریان خارجی بیشتر مقدار  $(\overline{u'v'})$  نیز بیشتر خواهد شد. این شرایط برای مقادیر شدت توربولانسی نیز برقرار است.

۱۰) برای جلوگیری از بیان مجدد آنچه که در تنش برشی توربولانسی و نحوه رشد آن توضیح داده شد در مورد شدت‌های توربولانسی نیز صادق خواهد بود با این تفاوت که رابطه مقدار ماکزیمم تنش برشی توربولانسی نسبت به مجذور سرعت توربولانسی که برابر با یک در نظر گرفته شد در اینجا در مورد ترم‌های شدت توربولانسی درست نیست.

محاسبه خطای موجود بین مقادیر بدست آمده از حل عددی در مقایسه با کارهای تجربی:

از آنجا که بیشتر مقادیر تجربی مورد استفاده مربوط به کار تجربی توضیح داده شده در قسمت اول بخش (۲-۴) می باشد لذا خطای موجود بین حل عددی و مقادیر تجربی فوق به صورت میانگین خطا در موقعیت های بیان شده به صورت جدولی در زیر آورده شده است. از محاسبه میانگین خطای بدست آمده می توان اینگونه نتیجه گیری کرد که خطای موجود بین مقادیر تجربی و عددی در مورد پروفیل های سرعت تا حدودی کمتر از خطای محاسبه شده در مورد مقادیر توربولانسی است (تنش برشی و شدتهای توربولانسی) و این به دلیل کوچک بودن این مقادیر از لحاظ مقداری در مقایسه با مقادیر پروفیل سرعت است.

موقعیتهای طولی				
۱m	۱,۰۵m	۱,۱m	۱,۲m	۱,۳m
میانگین خطای محاسبه شده برای پروفیل های سرعت در مقایسه با مقادیر تجربی (مقادیر برحسب درصد)				
۱,۱۷۶	۲,۴۴۴	۳,۰۷۵	۴,۶۸۷	۵,۲۴۹
میانگین خطای محاسبه شده تنش برشی توربولانسی در مقایسه با مقادیر تجربی (مقادیر برحسب درصد)				
۱۰,۲۵۳	۱۰,۵۱۷	۱۰,۳۴۸	۳,۴۴۵	۵,۸۸۹
میانگین خطای محاسبه شده $u'^2$ در مقایسه با مقادیر تجربی (مقادیر برحسب درصد)				
۵,۲۳۷	۶,۸۱۸	۸,۵۴۵	۴,۱۶۶	۵,۱۲۶
میانگین خطای محاسبه شده $v'^2$ در مقایسه با مقادیر تجربی (مقادیر برحسب درصد)				
۱۰,۲۰۸	۴,۹۶۷	۴,۷۴۴	۴,۸۵۷	۲,۷۵۴
میانگین خطای محاسبه شده $w'^2$ در مقایسه با مقادیر تجربی (مقادیر برحسب درصد)				
۱۰,۷۱۴	۴,۷۴۰	۷,۶۲۶	۱,۲۲۶	۱,۹۹۷

جدول (۲-۲): خطای محاسبه شده برای مقادیر عددی بدست آمده در مقایسه با کار تجربی در روی

$$\text{صفحه مسطح } (u_e = 13 \text{ m/s})$$

فصل سوم:

اثرات گرادیان فشار معکوس بر روی لایه مرزی متلاطم

## اثرات گرادیان فشار معکوس بر روی لایه مرزی متلاطم

۳-۱ بیان معادلات لایه مرزی همراه با ترم گرادیان فشار

معادله پیوستگی در این حالت نیز همانند شرایط صفحه مسطح است بنابراین:

$$\frac{\partial u}{\partial x} + \frac{\partial v}{\partial y} = 0 \quad (۲-۱)$$

اما معادله مومنتوم دارای یک تفاوت اساسی است و آن وجود ترم گرادیان فشار است که در حالت صفحه مسطح برابر با صفر در نظر گرفته می شد که در این حالت مقداری غیر از صفر خواهد داشت در بیشتر کارهای تجربی از

پارامتری به نام  $(\beta)$  استفاده می شود (closure's parameter) که به صورت  $(\beta = \left(\frac{\delta^*}{u_\tau}\right) \frac{dp}{dx})$  نشان داده میشود

در این شرایط ما معمولاً با دو حالت کاملاً متفاوت از مسائل روبه رو هستیم در مسائل اول مقدار  $(\beta)$  ثابت در نظر گرفته میشود که همه حالت های مورد بررسی در انجام این پروژه از این قبیل موارد هستند در حالی که در مسائلی که بیشتر هدف بدست آوردن موقعیتی است که در نتیجه آن جدایی اتفاق بیفتد در این حالت مقدار  $(\beta)$  روندی افزایشی خواهد داشت طبیعی است که با افزایش این پارامتر ما شاهد افزایش گرادیان فشار و به تبع آن ایجاد شرایط مناسب در جهت جدائی جریان خواهیم بود. که این قبیل مسائل بیشتر در ناحیه (wake) مورد بررسی قرار می گیرد. بنا بر این همانطور که گفته شد ما با مقدار ثابت  $(\beta)$  مواجه هستیم که در نتیجه آن باید شرایط زیر را در نظر گرفت [۱]:

از این قبیل مسائل به عنوان equilibrium boundary layer که مشخصه آنها مقدار  $\beta$  است یاد می کند در این

حالت سرعت جریان آزاد به صورت زیر تعریف می گردد:

$$u_e = u_1 (x^*)^m \quad (۳-۱)$$

$u_1$  مقدار سرعت در  $x^* = 1$  است و  $x^* = 1 + \frac{x}{L}$  که مقدار  $x$  عبارت است از ناحیه ای که اثرات گرادیان فشار معکوس از آن ناحیه شروع می شود در حالیکه مقدار  $L$  طول ناحیه ای است که گرادیان فشار در آن وجود نداشته و به تبع آن مقدار سرعت جریان آزاد مقداری ثابت خواهد بود وقتی از همان ابتدای شروع حرکت جریان ما شاهد اعمال گرادیان فشار باشیم در این شرایط باید مقدار  $L$  طول کل صفحه باشد و  $u_1$  نیز مقدار سرعت جریان آزاد در انتهای صفحه خواهد بود [۱].

که  $m$  از طریق:

$$m = -\frac{\beta}{1+3\beta} \quad (3-2)$$

بدست می آید. یا

$$\beta = -\frac{m}{1+3m} \quad (3-2-1)$$

بنابراین معادله مومنتوم در این شرایط در صورتی که با دو روش متفاوت گفته شده بی بعد گردد خواهیم داشت :

در صورتی که از روش Falkner Skan استفاده شود [۲]:

$$f' \zeta \frac{\partial f'}{\partial \zeta} + \left[ \frac{1}{2} \eta (m-1) f' + V \right] \frac{\partial f'}{\partial \eta} = (1-f'^2) m + \frac{\partial}{\partial \eta} \left[ (1+v_t) \frac{\partial f'}{\partial \eta} \right] \quad (2-4)$$

شرایط مرزی:

$$\eta = 0 \rightarrow f' = 0 \quad f = f_w = -\frac{1}{\sqrt{u_e \nu x}} \int_0^x v_w(x) dx \quad (2-14)$$

$$\eta = \eta_e \rightarrow f' = 1$$

در صورتی که فقط در جهت  $y$  بی بعد گردد [۱]

می توان نوشت:

معادله مومنتوم:

$$u \frac{\partial u}{\partial x} + m_{\pi} \frac{\partial u}{\partial \eta} - m U_1^2 \left( 1 + \frac{x}{L} \right)^{2m-1} - m_1^2 (v_t + \alpha) \frac{\partial^2 u}{\partial \eta^2} = 0 \quad (2-6-1)$$



معادله پیوستگی:

$$\frac{\partial u}{\partial x} + m_1 \frac{\partial v}{\partial \eta} - m_2 \frac{\partial u}{\partial \eta} = 0 \quad (۲-۷)$$

شرایط مرزی:

$$\eta = 0 \rightarrow u = 0 \quad v = 0 \quad (۲-۱۲)$$

$$\eta = 1 \rightarrow u = u_e$$

۳-۲) تفاوت استفاده از روش طول اختلاطی در مدل کردن ترم توربولانسی و چگونگی حل معادلات

آنچه که به عنوان معادلات اساسی در فصل دوم برای روش مذکور آوردیم برای جریان همراه با گرادیان فشار معکوس نیز به همین ترتیب خواهد بود و الگوریتم حل نیز تفاوتی نخواهد داشت فقط در چند مورد تفاوتی وجود دارد که عبارتند از: [۲]

۱. مقدار  $m$  مقداری غیر از صفر است که باید از طریق معادله (۳-۲) بدست آید.

۲. مقدار  $N$  که در مدل توربولانسی مورد استفاده قرار گرفت باید از طریق معادله

$$N = (1 - 11.8P^+)^{\frac{1}{2}} \quad (3-3)$$

بدست آید و  $N=1$  فقط برای صفحه مسطح قابل اعتبار است. با توجه به اینکه:

$$P^+ = m \operatorname{Re}_x^{\frac{1}{4}} (f_w'') \quad (3-4)$$

$$f_w'' = v_w \quad (3-4-1)$$

توضیحاتی در مورد الگوریتم حل:

از آنجا که باید در ابتدا مقادیری از  $(f_j, u_j, v_j)$  رابه صورت مقادیر اولیه در اختیار برنامه قرار دهیم در این حالت می توان مقادیر ورودی را برای مرحله ابتدائی به صورت زیر برای هر دو حالت صفحه مسطح و گرادیان فشار معکوس در نظر گرفت بنابراین خواهیم داشت: [۲]

$$u_j = \frac{3}{2} \frac{\eta_j}{\eta_e} - \frac{1}{2} \left( \frac{\eta_j}{\eta_e} \right)^3 \quad (3-5)$$

$$f_j = \frac{\eta_e}{4} \left( \frac{\eta_j}{\eta_e} \right)^2 \left( 3 - \frac{1}{2} \left( \frac{\eta_j}{\eta_e} \right)^2 \right) \quad (3-6)$$

$$v_j = \frac{3}{2} \frac{1}{\eta_e} \left( 1 - \left( \frac{\eta_j}{\eta_e} \right)^2 \right) \quad (3-7)$$

بدیهی است که مقادیر بدست آمده توسط این فرمولها در مرحله اول جهت بدست آوردن  $\delta v_j, \delta u_j, \delta f_j$  در اولین تکرار مورد استفاده قرار خواهند گرفت در مراحل و تکرارهای بعدی مقادیر جدید بدست آمده از این پارامترها جایگزین مقادیر مذکور شده و این عمل ادامه می یابد تا زمانی که شرط همگرایی برقرار شود.

۳-۳) نحوه ی استفاده از روش  $(k - \varepsilon)$  در مدل کردن ترم توربولانسی و چگونگی حل معادلات

از آنجا که روش بکار برده شده در حل معادلات لایه مرزی بر روی صفحه مسطح چه از لحاظ الگوریتم حل چه از لحاظ معادلات بدست آمده تفاوتی وجود نخواهد داشت مگر در ترم گرادیان فشار که در قسمت (۳-۱) در مورد آن توضیح داده شد. بنا براین از ذکر مجدد معادلات (۲-۳۴) و (۲-۳۵) صرف نظر می کنیم .

۳-۴) نتایج بدست آمده (پروفیل های سرعت، تنش برشی توربولانسی، شدتهای توربولانسی و پارامترهای دیگر لایه مرزی)

در جریان همراه با گرادیان فشار معکوس:

در این قسمت نیز باید به این نکته اشاره کرد که شاهد تفاوت های بیشتری در مقایسه حل عددی با کارهای تجربی می باشیم که این نشان میدهد هر چقدر میزان ناپایداریها در یک جریان بیشتر می شود شاید این میزان تفاوت بیشتر باشد البته کارهای تجربی در این مورد بسیار کم میباشد اما آنچه را که جهت مقایسه استفاده کردیم را به صورت زیر بیان کنیم:

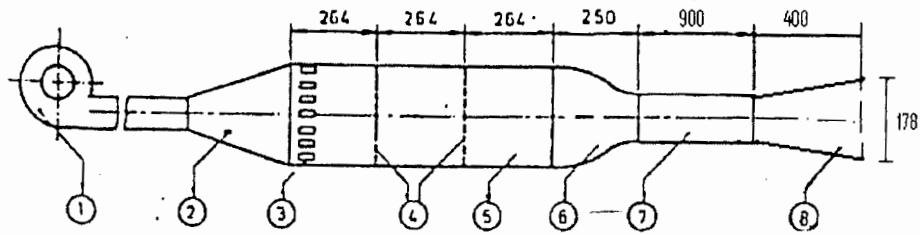
توضیحاتی در مورد ساختار کارهای تجربی مورد استفاده و هندسه حل:

کارهای تجربی مورد استفاده در این قسمت از لحاظ ساختار و شکل کلی دستگاه تا حدود زیادی شبیه به کارهایی است که توضیحات آن در فصل دوم آورده شده است با تفاوت هایی که از لحاظ ابعاد و ناحیه مورد آزمایش وجود دارد.

قسمت اول از مقادیر تجربی مورد استفاده مربوط به دستگاه تونل بادی است که دارای ویژگیهایی به شرح زیر میباشد [۶]:

ناحیه test section دارای سطح مقطعی مربعی شکل با ابعاد  $140 \times 140 \text{ mm}$  بوده که طول این قسمت  $900 \text{ mm}$  می باشد همچنین شدت توربولانسی و سرعت جریان آزاد در این ناحیه به ترتیب برابر با  $0.01$ ،  $13 \frac{m}{s}$  است در ادامه این ناحیه یک دیفیوزر که  $400 \text{ mm}$  طول دارد و دارای نسبت سطح  $1.54$  است (سطح خروجی دیفیوزر نسبت به سطح ورودی) قرار دارد سرعت جریان آزاد در ابتدای ورود به دیفیوزر برابر با  $13 \frac{m}{s}$  و شدت توربولانسی نیز مقدار  $0.01$  در نظر گرفته شده است. تفاوت ساختار بیان شده در این قسمت با مورد مشابه در فصل دوم اینست که در ادامه ناحیه test section به جای قراردادن یک مجرا مسطح (straight duct) یک دیفیوزر با مشخصات فوق قرارداده شده است.

شکل شماتیک این دستگاه در زیر نشان داده شده است:



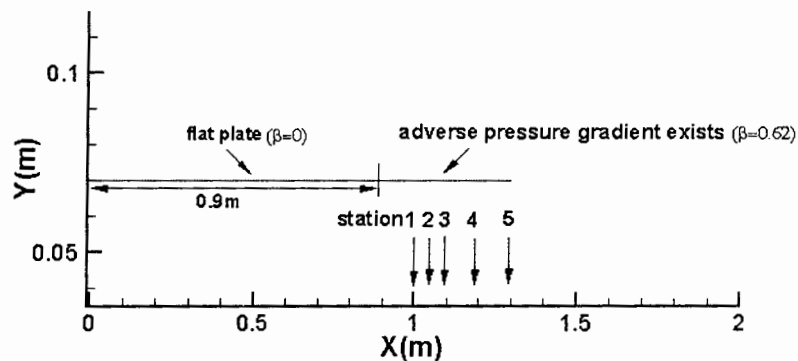
1. Centrifugal blower 2. Diffuser 3. Honey comb 4. Nylon screen  
5. Settling chamber 6. Contraction 7. Test section 8. straight diffuser

All dimensions in mm

شکل (۳-۲۷): نمایی از ساختار و اجزای دستگاه تجربی مورد استفاده

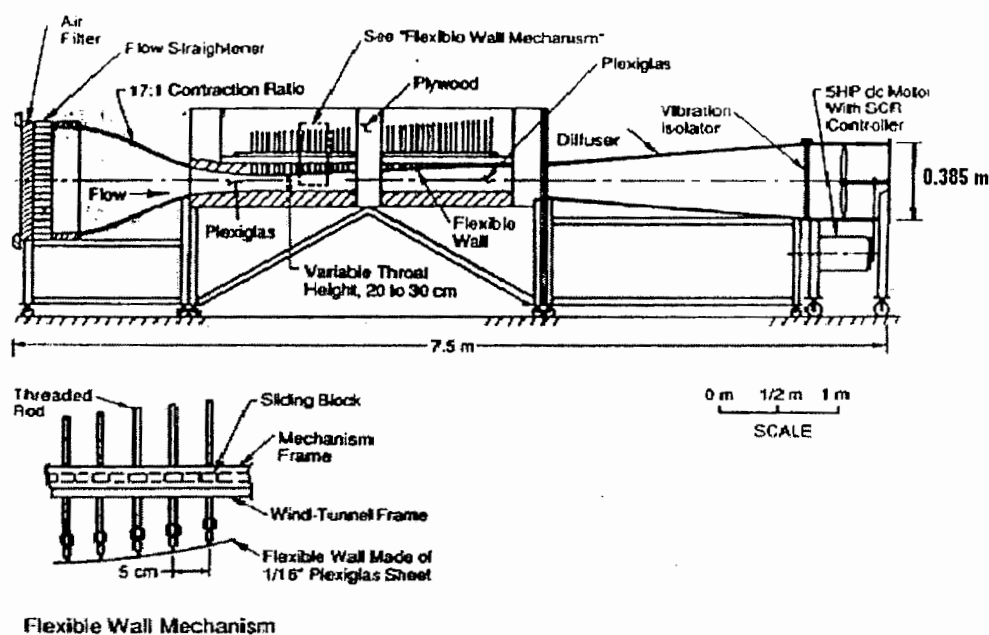
جهت حل عددی در ابتدا یک صفحه مسطح با طول  $900\text{mm}$  و عرض  $70\text{mm}$  که جریان آزاد با سرعت  $13\frac{m}{s}$  و شدت توربولانسی  $0.01$  بر روی صفحه مذکور جریان دارد در نظر گرفتیم در انتهای این صفحه ترم گرادیان فشار را که تا قبل از شروع این ناحیه صفر بود در معادلات مومنوم مطابق با مقدار کار تجربی انجام گرفته ( $\beta = 0.62$ ) وارد کرده و این حل برای ناحیه ای به طول  $400\text{mm}$  صورت می گیرد. در این قسمت نیز سرعت جریان آزاد در ابتدای ورود به ناحیه ای که دارای ترم گرادیان فشار معکوس است برابر با  $13\frac{m}{s}$  بوده مقادیر سرعت جریان آزاد در موقعیتهای مورد نظر در جدول (۳-۱) آمده است. مقدار شدت توربولانسی نیز در این ناحیه برابر با  $0.01$  است.

شکل شماتیک این حل در زیر نشان داده شده است:



شکل (۳-۲۸): نمایی از موقعیتهای مهندسه مورد استفاده جهت حل عددی

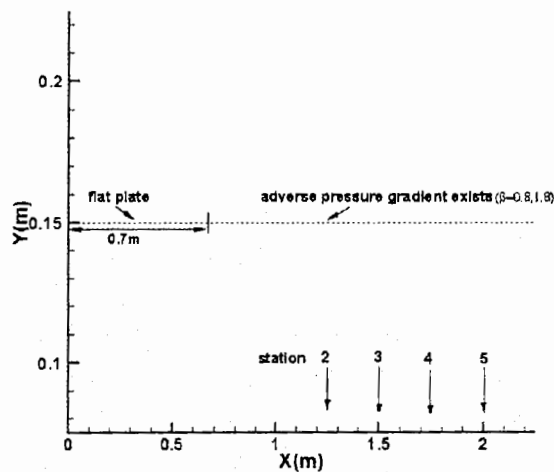
قسمت دوم از کارهای تجربی مورد استفاده دوباره مربوط به دستگاه تونل بادی است که در دانشگاه کالیفرنیا مورد استفاده قرار گرفته است این دستگاه بطور خلاصه دارای طولی به اندازه  $7.5\text{ m}$  بوده که طول کل قسمت test section برابر با  $3\text{ m}$  میباشد همچنین طول دیفیوزر که در ادامه ناحیه test section و بعد از  $0.7\text{ m}$  آورده می شود برابر با  $2.3\text{ m}$  است عرض ناحیه test section برابر با  $0.3\text{ m}$  است سرعت جریان آزاد در این ناحیه برابر با  $17.5 \frac{\text{m}}{\text{s}}$  و شدت توربولانسی نیز  $0.01$  است در ناحیه ای که ترم گرادیان فشار معکوس فعال است شدت توربولانسی تغییر کرده و برابر با  $0.015$  می باشد. مقادیر  $\beta$  به عنوان نماینده گرادیان فشار معکوس برای سه حالت متفاوت به ترتیب برابر با  $0.8, 1.3, 1.8$  میباشد. [۸،۹]



شکل (۲۹-۳): نمایی از ساختار و اجزای دستگاه تجربی مورد استفاده

در این قسمت نیز برای حل عددی ابتدا صفحه مسطحی را که دارای طول  $0.7m$  و عرض  $0.3m$  را در نظر گرفتیم سرعت جریان آزاد در این قسمت برابر با  $17.5 \frac{m}{s}$  و شدت توربولانسی نیز  $0.01$  است در ادامه ناحیه ای را که ترم گرادیان فشار معکوس در آن فعال است را به طول  $2.3m$  فرض کرده بطوریکه شدت توربولانسی در آن ناحیه برای جریان آزاد برابر با  $0.015$  است. سرعت جریان آزاد نیز برای این قسمت در موقعیتهای مورد نظر در جدول (۳-۱) آورده شده است.

شکل شماتیک این حل در زیر نشان داده شده است:



شکل (۳-۳۰): نمایی از موقعیتهای مهندسی مورد استفاده جهت حل عددی

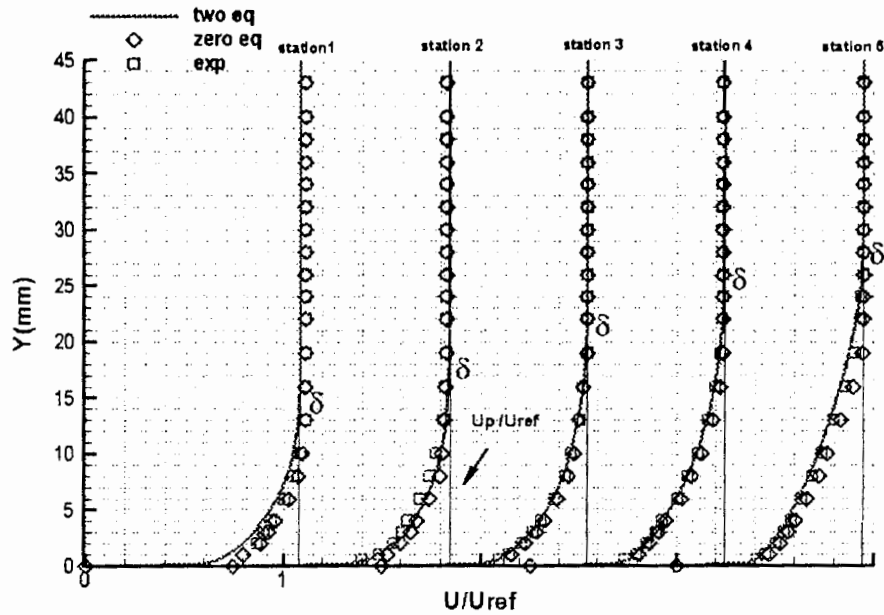
البته ذکر این نکته الزامی است که در بعضی از موارد فقط مقادیر تجربی پروفیل های سرعت را در اختیار داشتیم که در نمودارها نیز بیان شده است.

موقعیت ۵	موقعیت ۴	موقعیت ۳	موقعیت ۲	موقعیت ۱	سرعت جریان آزاد
۱,۳m	۱,۲m	۱,۱m	۱,۰۵m	۱m	$\beta = 0.62$ $u_{ref} = 12 \frac{m}{s}$ $u_{\infty 1} = 13 \frac{m}{s}$
$11.6607 \frac{m}{s}$	$11.9098 \frac{m}{s}$	$12.3871 \frac{m}{s}$	$12.2167 \frac{m}{s}$	$12.5742 \frac{m}{s}$	سرعت محاسبه شده برای جریان آزاد تحت تاثیر گرادیان فشار معکوس
۲m	۱,۷۵m	۱,۵m	۱,۲۵m	صفحه مسطح	$u_{\infty 1} = 17.5 \frac{m}{s}$ $\beta = 0.8$
$13.6739 \frac{m}{s}$	$14.1098 \frac{m}{s}$	$14.6303 \frac{m}{s}$	$15.3871 \frac{m}{s}$	$17.5 \frac{m}{s}$	سرعت محاسبه شده برای جریان آزاد تحت تاثیر گرادیان فشار معکوس
۲,۲۵m	۱,۷۵m	۱,۵m	۱,۲۵m	صفحه مسطح	$u_{\infty 1} = 17.5 \frac{m}{s}$ $\beta = 1.8$
$12.6014 \frac{m}{s}$	$13.5243 \frac{m}{s}$	$14.1236 \frac{m}{s}$	$14.8667 \frac{m}{s}$	$17.5 \frac{m}{s}$	سرعت محاسبه شده برای جریان آزاد تحت تاثیر گرادیان فشار معکوس
*	*	۲,۱m	۱,۵m	صفحه مسطح	$u_{\infty 1} = 26.5 \frac{m}{s}$ $\beta = 1.3$
*	*	$21.1705 \frac{m}{s}$	$23.1449 \frac{m}{s}$	$26.5 \frac{m}{s}$	سرعت محاسبه شده برای جریان آزاد تحت تاثیر گرادیان فشار معکوس

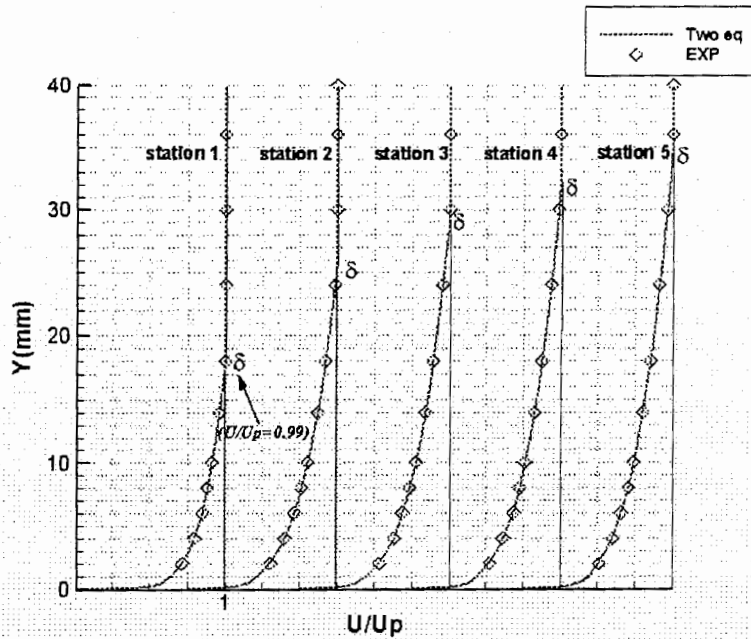
جدول (۱-۳): مقادیر بدست آمده از سرعت جریان آزاد در موقعیتهای مختلف مورد بررسی



۳-۴-۱) نتایج مربوط به پروفیل های سرعت بدست آمده با استفاده از حل عددی معادلات لایه مرزی همراه با گرادیان فشار معکوس:

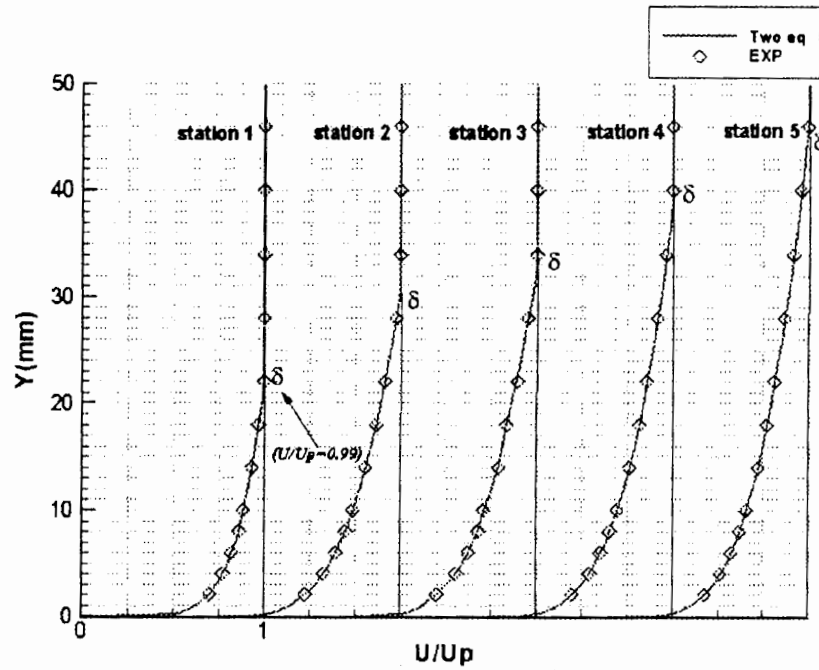


شکل (۳-۱): نحوه ی توزیع پروفیل های سرعت در جریان آشفته همراه با گرادیان فشار معکوس ( $u_{e1} = 13 \text{ m/s}$ ,  $\beta = 0.62$ )

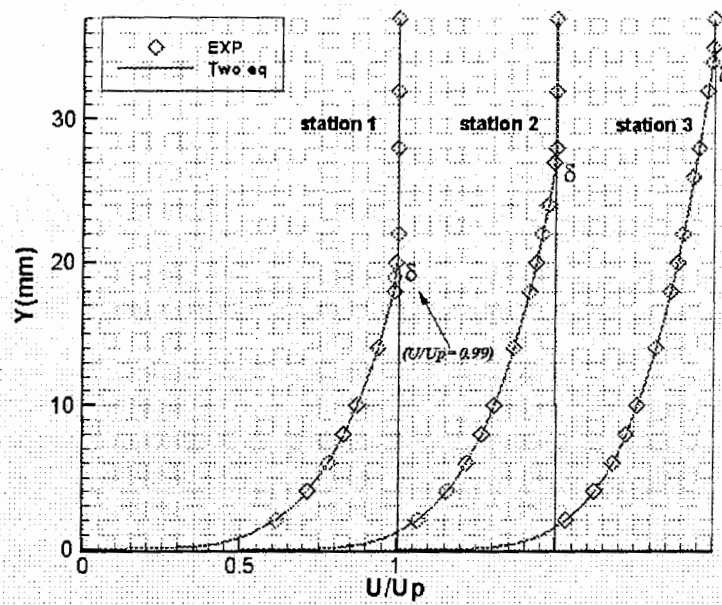


شکل (۳-۲): نحوه ی توزیع پروفیل های سرعت در جریان آشفته همراه با گرادیان فشار معکوس

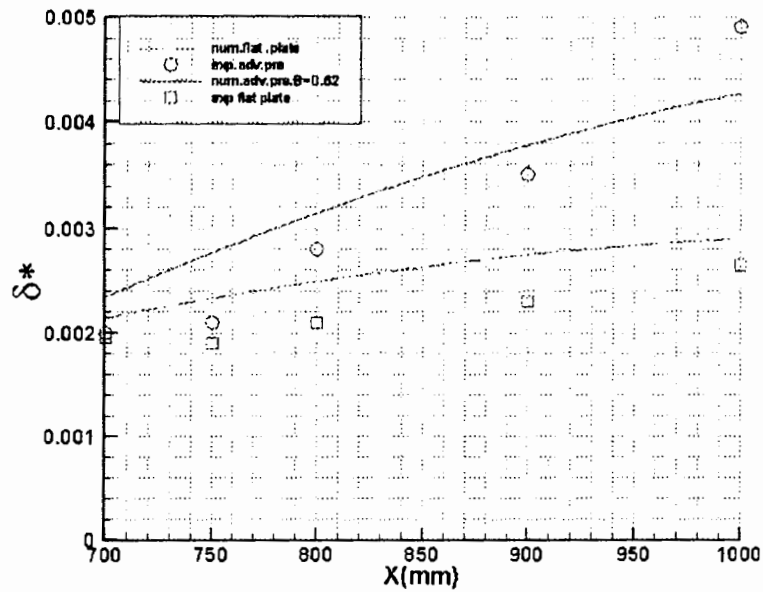
$$(u_{e1} = 17.5 \text{ m/s}, \beta = 0.8)$$



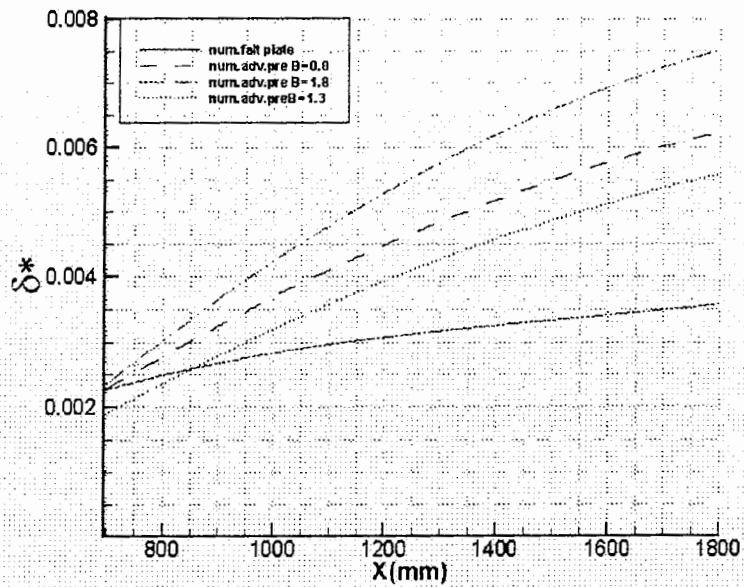
شکل (۳-۳): نحوه ی توزیع پروفیل های سرعت در جریان آشفته همراه با گرادیان فشار معکوس  
 $(u_{e1} = 17.5, \beta = 1.8)$



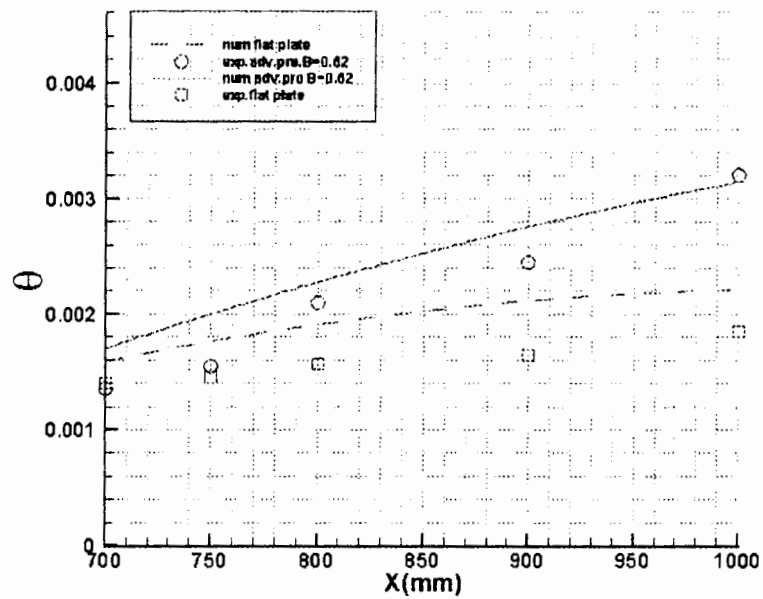
شکل (۳-۴): نحوه ی توزیع پروفیل های سرعت در جریان آشفته همراه با گرادیان فشار معکوس  
 $(u_{e1} = 26.5, \beta = 1.3)$



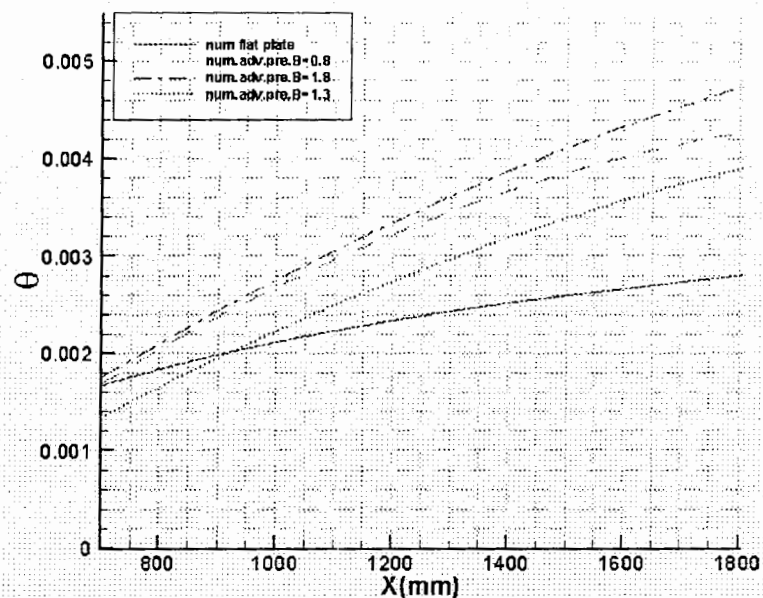
شکل (۳-۵): نحوه ی توزیع ضخامت جابجایی (displacement thickness) جریان آشفته همراه با گرادیان فشار معکوس در مقایسه با صفحه مسطح ( $u_{e1} = 13, \beta = 0.62$ )



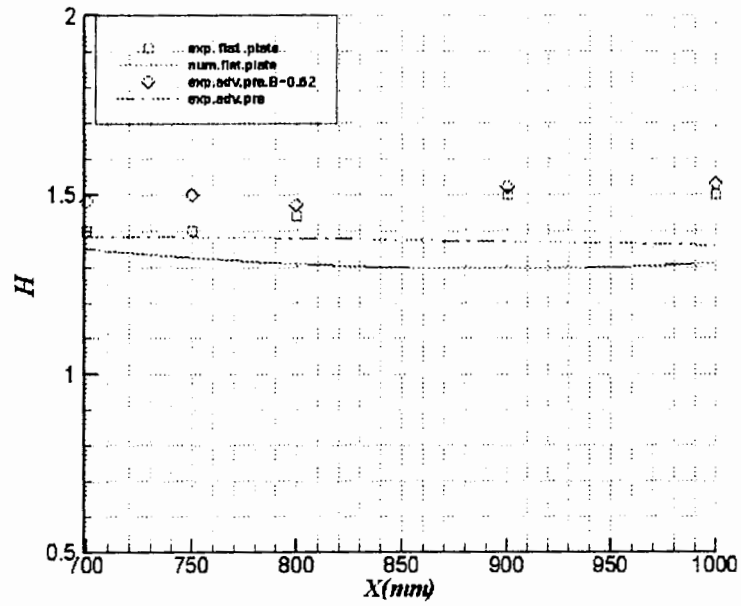
شکل (۳-۶): نحوه ی توزیع ضخامت جابجایی (displacement thickness) جریان آشفته همراه با گرادیان فشار معکوس در مقایسه با صفحه مسطح ( $u_{e1} = 17.5, \beta = 0.8, 1.3, 1.8$ )



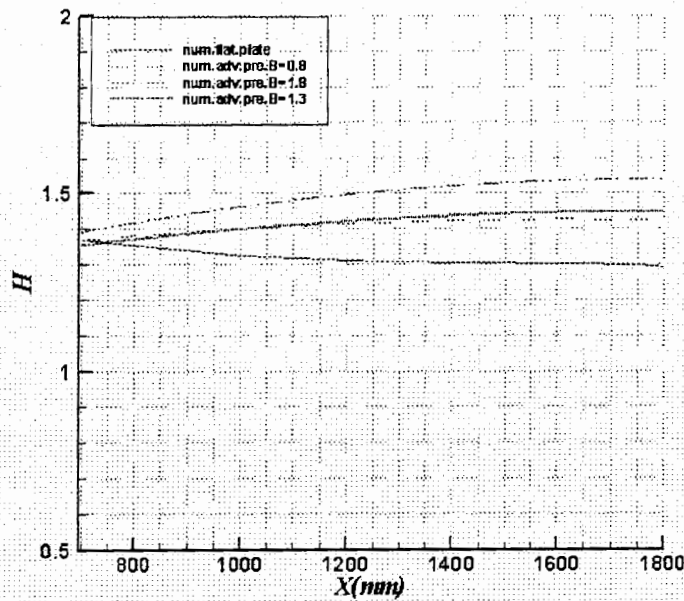
شکل (۳-۷): نحوه ی توزیع ضخامت مومنتوم (momentum thickness) جریان آشفته همراه با گرادیان فشار معکوس در مقایسه با صفحه مسطح ( $u_{e1} = 13, \beta = 0.62$ )



شکل (۳-۸): نحوه ی توزیع ضخامت مومنتوم (momentum thickness) جریان آشفته همراه با گرادیان فشار معکوس در مقایسه با صفحه مسطح ( $u_{e1} = 17.5, \beta = 0.8, 1.3, 1.8$ )



شکل (۳-۹): نحوه ی توزیع ضریب شکل (shape factor) جریان آشفته همراه با گرادیان فشار معکوس در مقایسه با صفحه مسطح ( $u_{e1} = 13, \beta = 0.62$ )



شکل (۳-۱۰): نحوه ی توزیع ضریب شکل (shape factor) جریان آشفته همراه با گرادیان فشار معکوس در مقایسه با صفحه مسطح ( $u_{e1} = 17.5, \beta = 0.8, 1.3, 1.8$ )

۱. مقایسه اثرات گرادیان فشار معکوس بر لایه مرزی زمانی قابل درک است که با شرایط مشابه بر روی صفحه مسطح مورد تجزیه و تحلیل قرار گیرد.

از مقایسه پروفیل های سرعت بدست آمده برای حالت های مختلف می توان گفت که در اثر گرادیان فشار معکوس ضخامت لایه مرزی افزایش بیشتری نسبت به موقعیت مشابه بر روی صفحه مسطح دارد از طرفی هر چقدر میزان گرادیان فشار معکوس بیشتر شود ضخامت لایه مرزی افزایش چشمگیرتری خواهد داشت. همانند صفحه مسطح مقدار  $(\frac{\partial u}{\partial y})$  دوباره دچار سیر نزولی شده و حداکثر مقدار آن بر روی دیواره تشکیل میشود همچنین  $(\frac{\partial u}{\partial y})$  در

مقایسه با سطوح صاف میزان کمتری در موقعیت مشابه دارد. [۲۲]

۲. در این شرایط نیز مقدار  $(\frac{\partial u}{\partial y})$  مثبت خواهد بود در حالی که  $(\frac{\partial u}{\partial x})$  منفی است و در عین حال از لحاظ قدر

مطلق نیز  $(\frac{\partial u}{\partial x})$  از مقدار آن در شرایط مشابه با سطح مسطح بیشتر است یعنی منفی تر است.

۳. از آنجا که میزان کاهش مومنوم ناشی از سرعت متوسط در اثر گرادیان فشار بیشتر است می توان این گونه استباط کرد که این مقدار نقصان یافته از مومنوم صرف غلبه بر ناپایداریهایی میشود که در اثر گرادیان فشار معکوس ایجاد میشود و به عاملی در جهت تبادل بیشتر ترمهای توربولانسی بین اجزای سیال عمل می کند .

۴. در صورتی که گرادیان فشار قوی اعمال شود شرایط برای جدائی جریان یعنی (separation) فراهم میگردد. که

این تاثیر شگرف گرادیان فشار معکوس بر روی مومنوم جریان را به خودی خود نشان میدهد. [۲۳، ۱۰]

۵. میزان کاهش  $(\tau_w)$  (تنش برشی در روی دیواره) باعث کاهش بیشتری در میزان  $(u_r)$  خواهد شد این میزان کاهش نسبت به صفحه ی مسطح بیشتر خواهد بود.

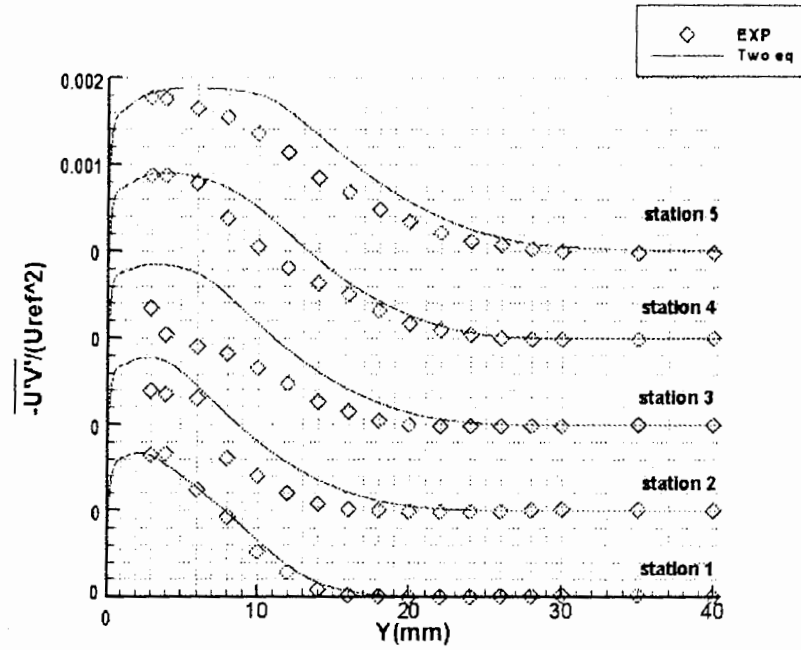
۶. مقادیر  $(\delta, \delta^*, \theta)$  در حالت گرادیان فشار دارای سرعت رشد بیشتری هستند هر چقدر میزان  $\beta$  به عنوان پارامتری که نماینده گرادیان فشار محسوب میشود بیشتر شود در این حالت این مقادیر هم بزرگتر خواهند بود و

هم دارای سرعت رشد بیشتری نسبت به حالت‌های دیگر خواهد بود. باز هم با توجه به کاهش شدید مومنوم ناشی از سرعت متوسط این شرایط قابل توجیه می‌باشد.

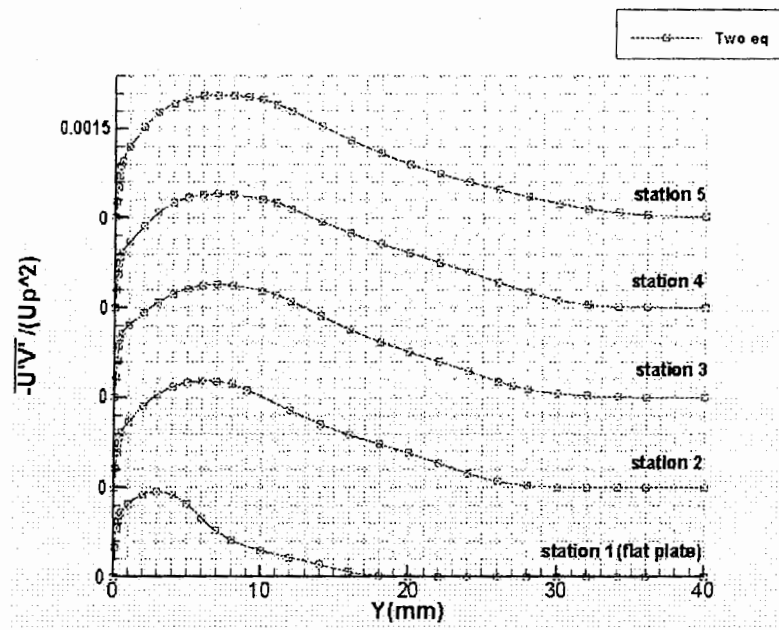
۷. پارامتر  $C_f$  باید به دقت مورد تجزیه و تحلیل قرار گیرد چرا که هر چند  $\tau_w$  همراه با کاهش جزئی در امتداد صفحه است اما توجه شود که میزان سرعت جریان خارجی یا همان ( $u_e$ ) نیز در امتداد صفحه در حال کاهش است و باید دید که اثرات کاهش کدام شدیدتر است. در شرایط مشابه با صفحه مسطح معمولاً  $C_f$  بدست آمده بر اثر گرادیان فشار معکوس تا اندازه ای بیشتر خواهد بود. دلیل این امر اینست که در ابتدای اعمال گرادیان فشار معکوس میزان کاهش  $\tau_w$  نسبت به توان ۲ سرعت جریان خارجی کمتر است و این شرایط برای بزرگتر شدن ( $C_f$ ) در موقعیت مشابه با صفحه مسطح فراهم می‌کند. هر چند در ادامه برای هر دو حالت شاهد کاهش نسبی این مقادیر خواهیم بود. میزان روند کاهش ( $C_f$ ) در حالت گرادیان فشار معکوس نسبت به شرایط دیگر کمتر می‌باشد.

۸. پارامتر ضریب شکل (H) کمک بسیار زیادی در جهت تشخیص جدائی جریان می‌کند بطوریکه هر چقدر میزان ( $\beta$ ) بیشتر شود در این حالت شرایط برای جدائی جریان فراهم می‌گردد. بنابراین می‌توان انتظار داشت که با افزایش  $\beta$  میزان (H) نیز افزایش پیدا میکند.

۳-۴-۲) نتایج مربوط به ترمهای توربولانسی لایه مرزی همراه باگرادیان فشار معکوس:

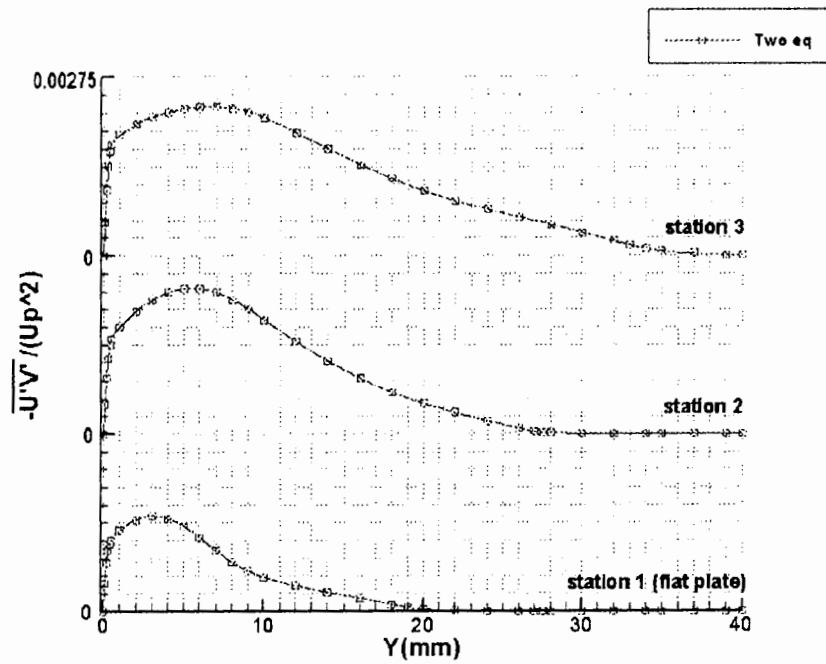


شکل (۳-۱۱): نحوه ی توزیع تنش برشی توربولانسی (turbulent shear stress) جریان آشفته همراه با گرادیان فشار معکوس  
 $(u_{e1} = 13, \beta = 0.62)$

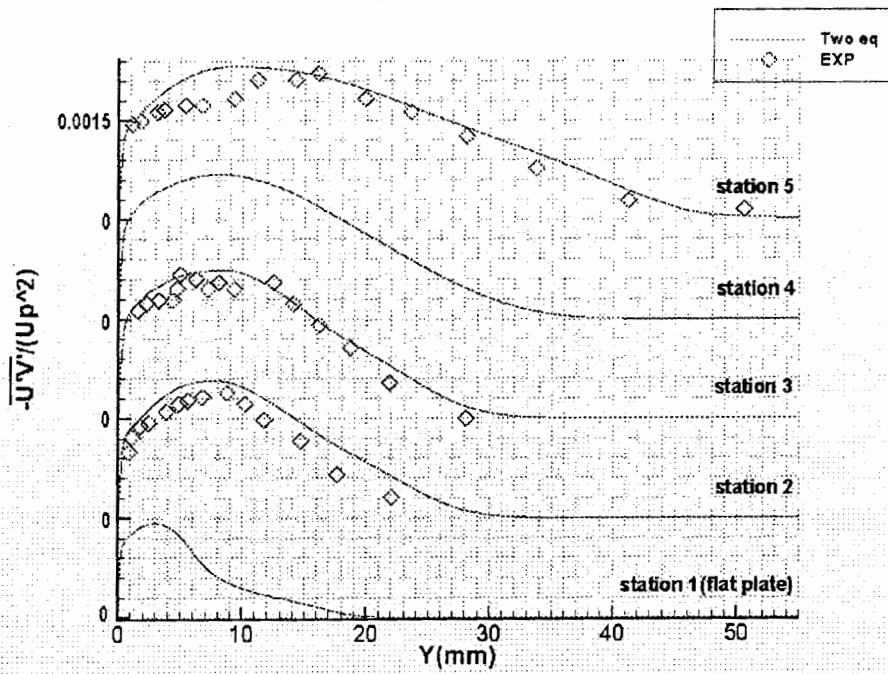


شکل (۳-۱۲): نحوه ی توزیع تنش برشی توربولانسی (turbulent shear stress) جریان آشفته همراه با گرادیان فشار معکوس  
 $(u_{e1} = 17.5, \beta = 0.8)$

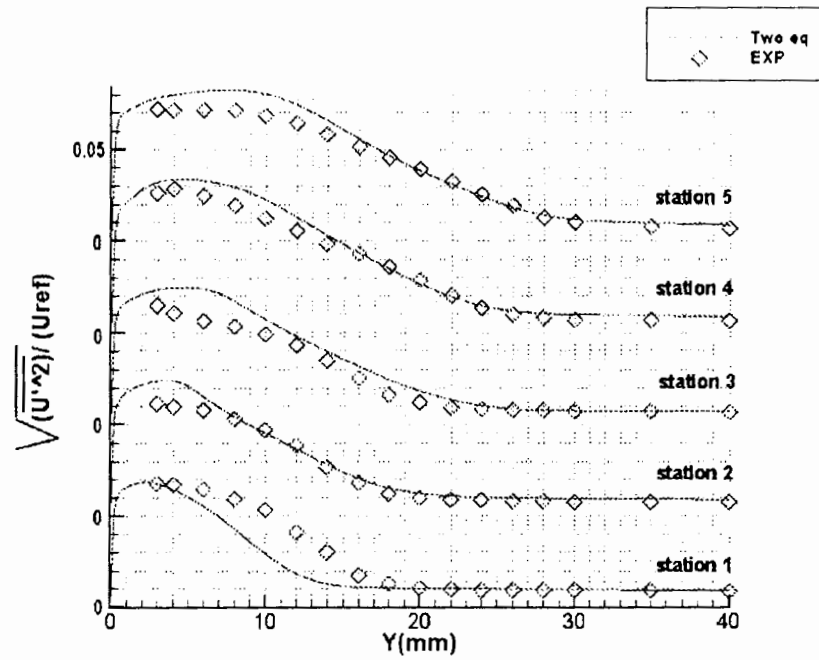




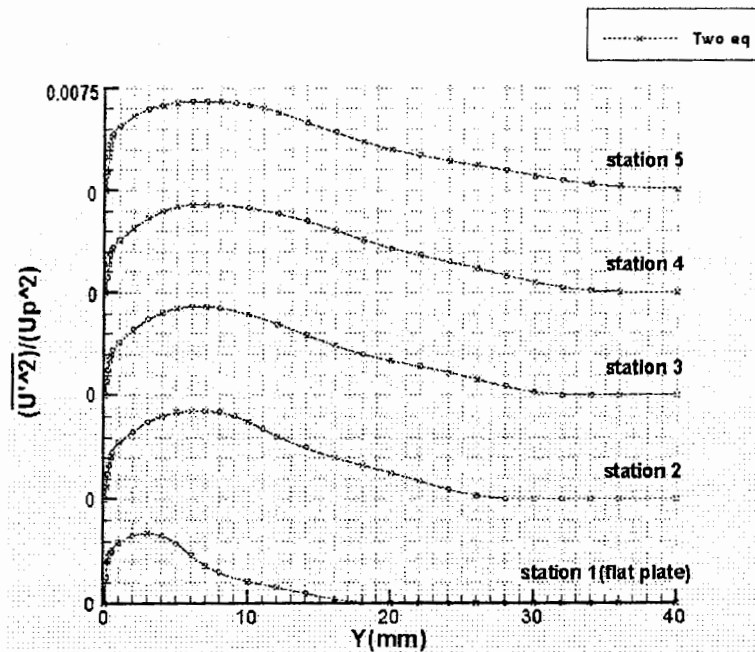
شکل (۱۳-۳): نحوه ی توزیع تنش برشی توربولانسی (turbulent shear stress) جریان آشفته همراه با گرادیان فشار معکوس ( $u_{e1} = 26.5, \beta = 1.3$ )



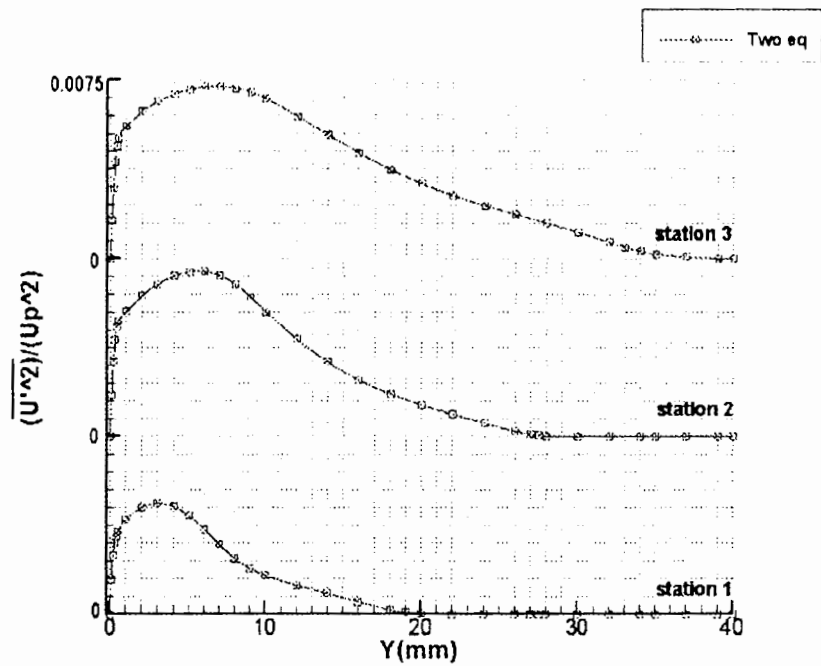
شکل (۱۴-۳): نحوه ی توزیع تنش برشی توربولانسی (turbulent shear stress) جریان آشفته همراه با گرادیان فشار معکوس ( $u_{e1} = 17.5, \beta = 1.8$ )



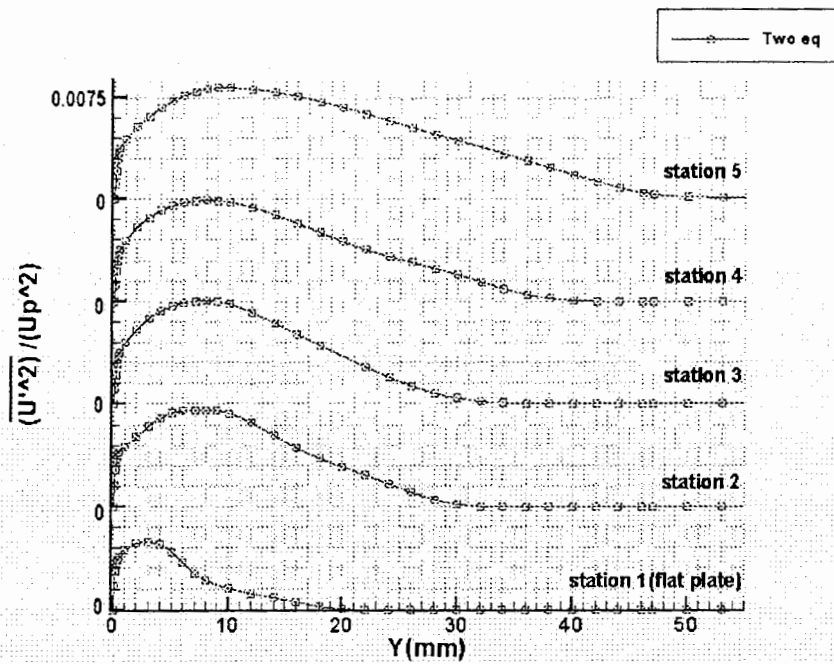
شکل (۳-۱۵): نحوه ی توزیع شدت توربولانسی (turbulent intensity) جریان آشفته همراه با گرادیان فشار معکوس  
 $(u_{e1} = 13, \beta = 0.62)$



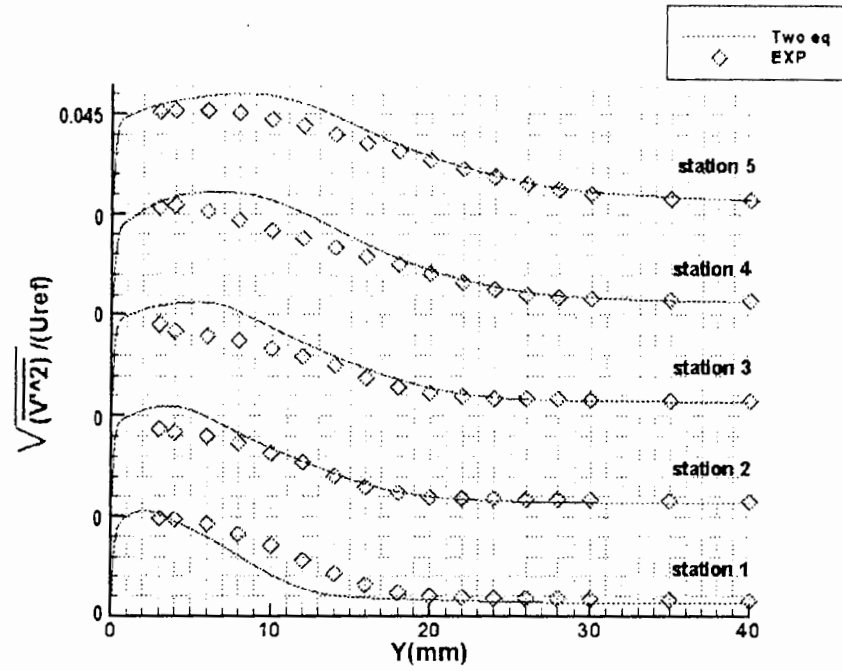
شکل (۳-۱۶): نحوه ی توزیع شدت توربولانسی (turbulent intensity) جریان آشفته همراه با گرادیان فشار معکوس  
 $(u_{e1} = 17.5, \beta = 0.8)$



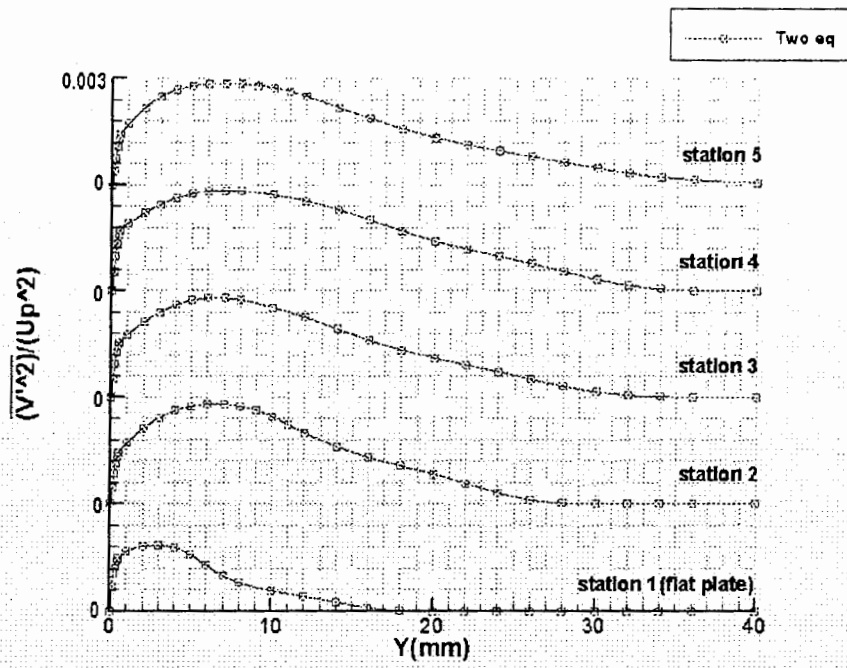
شکل (۳-۱۷): نحوه ی توزیع شدت توربولانسی (turbulent intensity) جریان آشفته همراه با گرادیان فشار معکوس  
 $(u_{e1} = 26.5\beta = 1.3)$



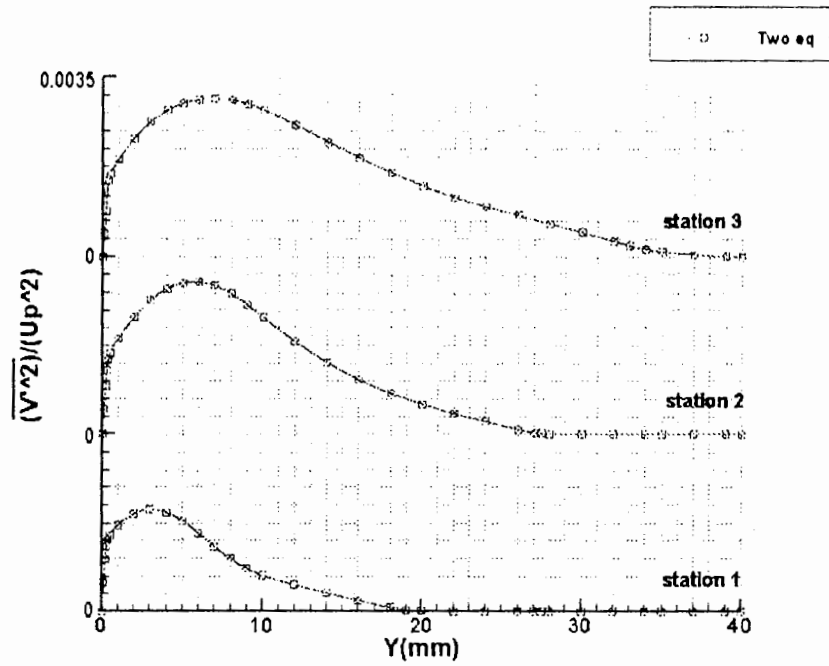
شکل (۳-۱۸): نحوه ی توزیع شدت توربولانسی (turbulent intensity) جریان آشفته همراه با گرادیان فشار معکوس  
 $(u_{e1} = 17.5, \beta = 1.8)$



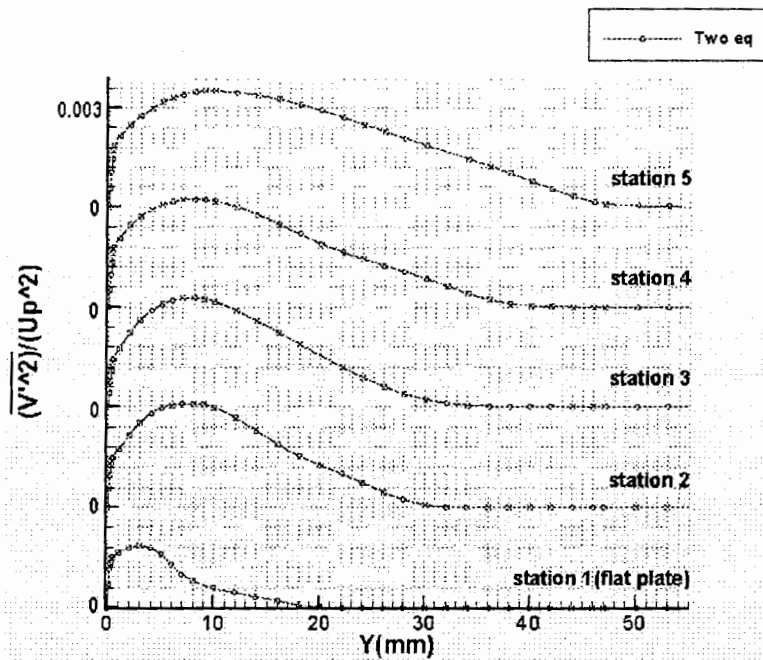
شکل (۱۹-۳): نحوه ی توزیع شدت توربولانسی (turbulent intensity) جریان آشفته همراه با گرادیان فشار معکوس ( $u_{e1} = 13, \beta = 0.62$ )



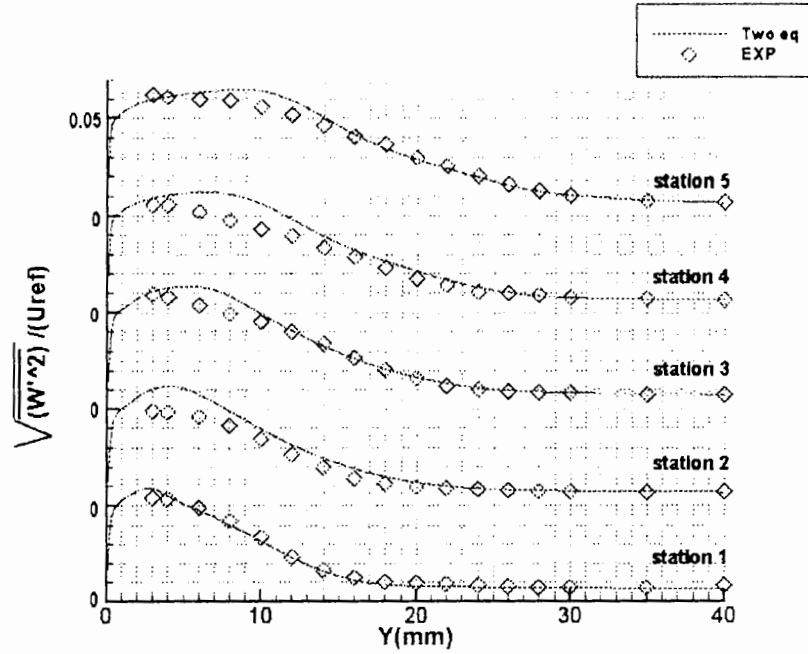
شکل (۲۰-۳): نحوه ی توزیع شدت توربولانسی (turbulent intensity) جریان آشفته همراه با گرادیان فشار معکوس ( $u_{e1} = 17.5, \beta = 0.8$ )



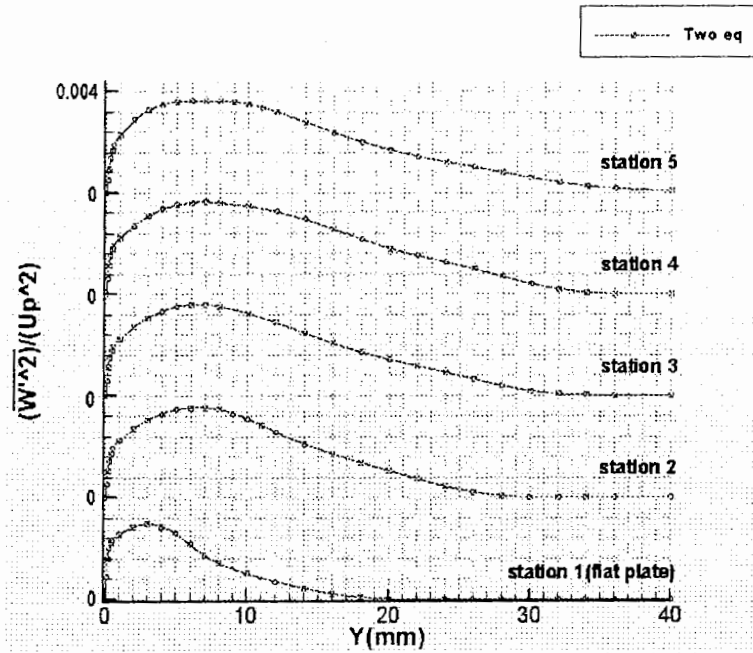
شکل (۳-۲۱): نحوه ی توزیع شدت توربولانسی (turbulent intensity) جریان آشفته همراه با گرادیان فشار معکوس  
 $(u_{e1} = 26.5, \beta = 1.3)$



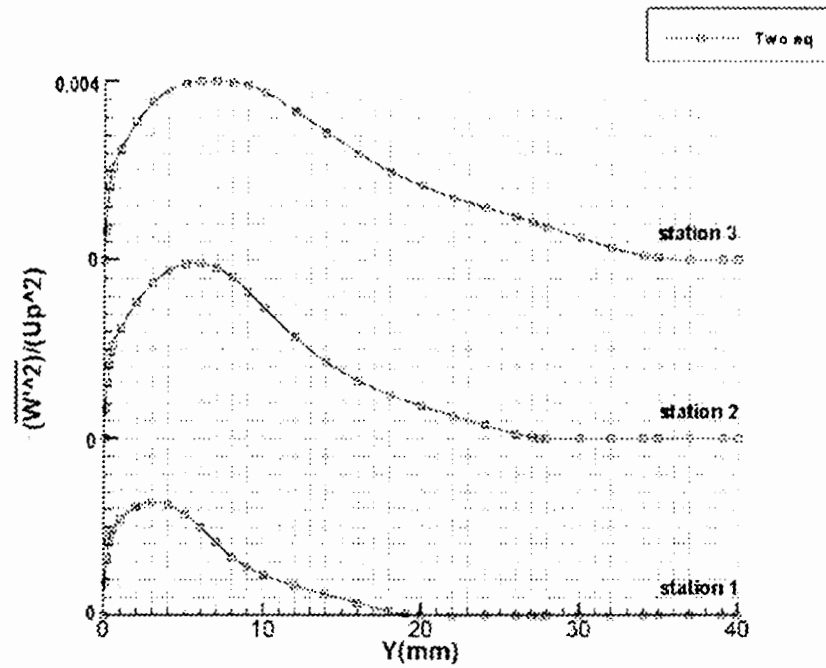
شکل (۳-۲۲): نحوه ی توزیع شدت توربولانسی (turbulent intensity) جریان آشفته همراه با گرادیان فشار معکوس  
 $(u_{e1} = 17.5, \beta = 1.8)$



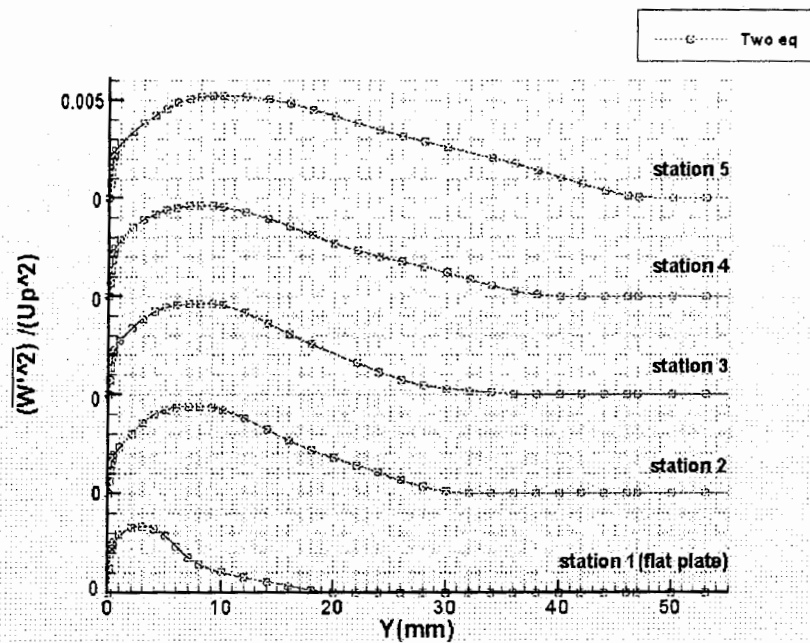
شکل (۳-۲۳): نحوه ی توزیع شدت توربولانسی (turbulent intensity) جریان آشفته همراه با گرادیان فشار معکوس ( $u_{e1} = 13, \beta = 0.62$ )



شکل (۳-۲۴): نحوه ی توزیع شدت توربولانسی (turbulent intensity) جریان آشفته همراه با گرادیان فشار معکوس ( $u_{e1} = 17.5, \beta = 0.8$ )



شکل (۳-۲۵): نحوه ی توزیع شدت توربولانسی (turbulent intensity) جریان آشفته همراه با گرادیان فشار معکوس  
 $(u_{e1} = 26.5, \beta = 1.3)$



شکل (۳-۲۶): نحوه ی توزیع شدت توربولانسی (turbulent intensity) جریان آشفته همراه با گرادیان فشار معکوس  
 $(u_{e1} = 17.5, \beta = 1.8)$

مقادیر تنش برشی توربولانسی و شدت های توربولانسی و نحوه توزیع آنها در دو جهت طولی و عرضی لایه مرزی مورد تجزیه و تحلیل قرار میگیرد:

(۱) در عرض لایه مرزی توزیع تنش برشی توربولانسی نیز مانند صفحه مسطح دارای دو موقعیت متفاوت خواهد بود: در حالت اول و همانند صفحه مسطح مقادیر تنش برشی توربولانسی در ناحیه Inner layer رشد و در مرحله بعد در ناحیه Outer layer شاهد سیر نزولی این مقادیر خواهیم بود. نکته مهم در مورد نقطه ماکزیمم تنش برشی توربولانسی اینست که همانطور که در صفحه مسطح ( $\frac{-\overline{u'v'}_{\max}}{u_{\tau}^2} = 1$ ) در نظر گرفته شد برای شرایطی که دارای گرادیان فشار معکوس هستیم مقدار ماکزیمم ترم توربولانسی تنش برشی به صورت  $(1 + \frac{3}{4}\beta)$  معرفی میگردد. در صورتی که در معادله ذکر شده مقدار  $\beta = 0$  آنگاه همان رابطه مربوط به صفحه مسطح بدست می آید.

(۲) نحوه ی توزیع تنش برشی توربولانسی در جهت طولی لایه مرزی:

نکته مهم اینست که می تواند به عنوان یک سوال مطرح باشد که چگونه جریان گرادیان فشار که باعث کاهش در  $\frac{\partial u}{\partial y}$  میشود ما شاهد افزایش نسبی مقادیر تنش برشی توربولانسی و شدت های توربولانسی هستیم. از لحاظ ریاضی می توان به این سوال پاسخ داد در ترمهای توربولانسی بطور مثال تنش برشی توربولانسی ما شاهد دو ترم متغیر هستیم اولی  $\frac{\partial u}{\partial y}$  که سیر نزولی در جهت  $\square$  دارد در حالی که ترم  $(v_{\tau})$  سیری افزایشی در این جهت خواهد داشت که ترم اخیر ذکر شده سبب افزایش مقادیر تنش برشی توربولانسی شده است. اما از لحاظ فیزیکی می توان گفت که گرادیان فشار چون باعث افزایش در تبادل مومنتوم توربولانسی بین اجزا و ذرات سیال می گردد در نتیجه شاهد رشد این مقادیر هستیم.

(۳) در مورد نحوه توزیع مقدار ماکزیمم ترمهای توربولانسی در طول لایه مرز باید به چند مورد اشاره کرد اولاً مقدار ماکزیمم تنش برشی توربولانسی هر چند به صورت  $(1 + \frac{3}{4}\beta)$   $\frac{-\overline{u'v'}_{\max}}{u_{\tau}^2}$  تعریف شده است اما باید گفت در



موقعیت های اولیه ما شاهد ضریب و درصدی از مقداری هستیم که از این رابطه بدست می آید به بیان واضح تر اگر

رابطه فوق را به صورت  $(\frac{-\overline{u'v'_{max}}}{u_r^2} = \alpha(1 + \frac{3}{4}\beta))$  در نظر بگیریم برای موقعیت های طولی اولیه مقدار  $0.9 \leq \alpha \leq 1$

در بر می گیرد چنانچه با طی فاصله بیشتر در جهت طولی لایه مرزی این ضریب مقداری برابر با یک خواهد داشت.

(۴) مسئله مهم دیگر تاثیر گرادیان فشار معکوس در تحت پوشش قرار دادن محدوده ی بیشتری از ناحیه constant

region می باشد به گونه ای که برای صفحه مسطح این ناحیه در محدوده ای  $0.1\delta \leq y \leq 0.15\delta$  گسترش پیدا

می کرد در حالی که برای حالت گرادیان فشار معکوس این محدوده تا  $0.35\delta$  نیز می تواند گسترش پیدا کند. و این

به خودی خود نشان میدهد هر چند  $(\frac{\partial u}{\partial y})$  سیری نزولی دارد اما میزان افزایش  $(v_r)$  به گونه ای است که شرایط

برای گسترش این ناحیه تا حدود  $(0.35\delta)$  نیز ادامه فراهم می کند بدیهی است افزایش ضخامت این ناحیه در

نتیجه افزایش میزان گرادیان فشار معکوس (به شرط عدم جدایی) قابل توجیه می باشد.

(۵) در مورد نمودارهای شدت توربولانسی باید گفت که تمامی موارد مربوط به تنش برشی توربولانسی در مورد

چگونگی نحوه توزیع صادق است به جزء تعیین مقدار ماکزیمم این پارامترها که نمی توان از رابطه گفته شده برای

این مقادیر توربولانسی استفاده کرد.

(۶) همچنین در اثر وجود گرادیان فشار معکوس نسبت  $(\frac{\overline{v'^2}}{\overline{u'^2}})$  مقدار بیشتری در مقایسه با حالت صفحه مسطح نشان

می دهد به عبارت دیگر در اثر وجود گرادیان فشار معکوس مقدار سهم تعلق گرفته به  $(\overline{v'^2})$  از انرژی جنبشی بیشتر

شده و بر عکس سهم  $(\overline{u'^2}$  و  $\overline{w'^2})$  کاهش می یابد هر چند این عامل باعث نمی شود که مقدار  $(\overline{u'^2}$  و  $\overline{w'^2})$  در

مقایسه با صفحه مسطح افزایشی نداشته باشد لازم به توضیح است که این شرایط شباهت زیادی با جریان بر روی

صفحه تحت انحنا مقعر دارد.

۷) کلیه شرایط ذکر شده در نهایت سبب افزایش ناپایداری در اثر گرادیان فشار معکوس میشود بدیهی است هرچقدر میزان گرادیان فشار معکوس بیشتر باشد این ناپایداریها محسوس تر و در این حالت شرایط برای جدایی جریان فراهم خواهد شد.

۸) به عنوان آخرین مورد ذکر شده باید گفت در طول لایه مرزی وقتی مقادیر شدتهای توربولانسی و تنش برشی توربولانسی در ناحیه Inner layer مورد بررسی قرار می گیرند شاهد کاهش این مقادیر در جهت طولی لایه مرزی خواهیم شد در حالی که مقایسه ناحیه Outer layer برای موقعیت های متفاوت حاکی از افزایش مقادیر ذکر شده در طول لایه مرزی را دارد. به بیان دیگر وقتی بطور مثال موقعیتهای ۱ و ۲ مورد بررسی قرار گیرد تا زمانی که در موقعیت ۱ مقادیر ترمهای توربولانسی به حد ماکزیمم خود برسند مقادیرشان در ۷ مشابه با موقعیت بیشتر خواهد بود اما بعد رسیدن موقعیت ۱ به حالت ماکزیمم از آن به بعد این ترمهای توربولانسی در موقعیت ۲ هستند که دارای مقادیر بیشتری میباشند.

محاسبه خطای موجود بین مقادیر بدست آمده از حل عددی در مقایسه با کارهای تجربی:

خطای موجود بین حل عددی و مقادیر تجربی به صورت میانگین خطا در موقعیت های بیان شده که به صورت جدولی در این قسمت آورده شده است از مقایسه ای که بین حل عددی با کار تجربی بیان شده در قسمت اول و دوم مربوط به توضیحات کارهای تجربی صورت گرفته بدست آمده است. از محاسبه میانگین خطای بدست آمده می توان اینگونه نتیجه گیری کرد که خطای موجود بین مقادیر تجربی و عددی در این قسمت در مقایسه با صفحه مسطح بیشتر بوده به خصوص این مورد در ارتباط با ترمهای توربولانسی و به طور دقیقتر در مورد تنش برشی توربولانسی صادق است.

موقعیتهای طولی				
۱m	۱,۰۵m	۱,۱m	۱,۲m	۱,۳m
میانگین خطای محاسبه شده برای پروفیل های سرعت در مقایسه با مقادیر تجربی (مقادیر بر حسب درصد)				
۱,۸۷۵	۲,۳۱۲۵	۱,۴۳۷۵	۲,۲۷۵	۳,۴۳۷
میانگین خطای محاسبه شده تنش برشی توربولانسی در مقایسه با مقادیر تجربی (مقادیر بر حسب درصد)				
۲,۴۵۷	۱۱,۴۲۸	۱۶,۵۹۸	۹,۲۸۶	۱۲,۰۶۳
میانگین خطای محاسبه شده $\overline{u'^2}$ در مقایسه با مقادیر تجربی (مقادیر بر حسب درصد)				
۱۰,۱۰۸	۳,۹۱۶	۸,۱۴۴	۴,۱۶۶	۴,۲۸۶
میانگین خطای محاسبه شده $\overline{v'^2}$ در مقایسه با مقادیر تجربی (مقادیر بر حسب درصد)				
۱۰,۳۱۲	۵,۲۴۷	۱۰,۹۹۵	۸,۸۹۴	۷,۴۵۸
میانگین خطای محاسبه شده $\overline{w'^2}$ در مقایسه با مقادیر تجربی (مقادیر بر حسب درصد)				
۲,۳۴۵	۵,۰۳۵	۴,۵۳۲	۵,۱۰۵	۳,۷۴۷

جدول (۲-۳): خطای محاسبه شده برای مقادیر عددی بدست آمده در مقایسه با کار تجربی در جریان همراه با گرادیان فشار معکوس

$$(u_{e1} = 13, \beta = 0.62)$$

موقعیتهای طولی				
۱m	۱,۲۵m	۱,۵m	۱,۷۵m	۲,۲۵m
میانگین خطای محاسبه شده برای پروفیل های سرعت در مقایسه با مقادیر تجربی برای صفحه منسطح $U_e = 17.5 \frac{m}{s}$ (مقادیر برحسب درصد)				
۱,۰۱۵	۱,۰۱۷۵	۱,۰۰۵	۲,۰۱۴	۱,۴۱۵
میانگین خطای محاسبه شده برای پروفیل های سرعت در مقایسه با مقادیر تجربی برای جریان همراه با گرادیان فشار معکوس $U_{e1} = 17.5 \frac{m}{s}, \beta = 0.8$ (مقادیر برحسب درصد)				
۱,۴۵۷	۱,۰۲۸	۱,۱۹۸	۰,۹۰۸	۱,۰۶۳
میانگین خطای محاسبه شده برای پروفیل های سرعت در مقایسه با مقادیر تجربی برای جریان همراه با گرادیان فشار معکوس $U_{e1} = 17.5 \frac{m}{s}, \beta = 1.8$ (مقادیر برحسب درصد)				
۱,۱۰۸	۱,۹۰۶	۱,۱۴۴	۱,۰۰۶	۱,۰۲۰۶

جدول (۳-۳): خطای محاسبه شده برای مقادیر عددی بدست آمده در مقایسه با کار تجربی در جریان همراه با گرادیان فشار معکوس  
( $u_{e1} = 17.5, \beta = 1.8, 0.8$ )

اثرات انحنای بر روی لایه مرزی متلاطم

## اثرات انحنا بر روی لایه مرزی متلاطم

### ۴-۱) بیان معادلات لایه مرزی در روی سطوح منحنی

در این قسمت معادلات لایه مرزی بر روی سطوح منحنی بیان میشود. معادلات مذکور در مختصات  $(X, Y)$  تعریف شده اند به گونه ای که محور  $(X)$  در جهت خط جریان مرجع و محور  $(Y)$  نیز عمود بر این خط جریان خواهد بود. اما آنچه که میتوان بیان کرد این مختصات می تواند به عنوان یک مختصات کلی در نظر گرفته شود زیرا اگر به معادلات لایه مرزی در این مختصات دقت شود اگر شعاع انحنا را برابر با بی نهایت فرض کنیم در این شرایط معادلات به شکل ساده شده در مختصات کارتزین تبدیل خواهند شد مزیت این مختصات امکان ایجاد شبکه بندی مناسب در جهت خطوط جریان می باشد البته در بیشتر مراجع مهم این مختصات به مختصات  $(S-\Pi)$  مشهور است. [۱،۱۴،۲۵].

معادلات لایه مرزی به صورت زیر تعریف میشوند:

معادله پیوستگی:

$$\frac{\partial u}{\partial x} + \frac{\partial}{\partial y}(vh_t) = 0 \quad (4-1)$$

معادله مومنوم در جهت  $X$ :

$$\frac{u}{h} \frac{\partial u}{\partial x} + v \frac{\partial u}{\partial y} + \frac{k_r}{h} uv = -\frac{1}{h\rho} \frac{\partial p}{\partial x} + \left[ \frac{\partial v_t}{\partial y} \left( \frac{\partial u}{\partial y} - \frac{k_r u}{h} \right) \right] + \left[ (v + v_t) \left( \frac{\partial^2 u}{\partial y^2} + \frac{k_r}{h} \frac{\partial u}{\partial y} - \frac{k_r^2 u}{h^2} \right) \right] \quad (4-2-1)$$

یا:

$$\frac{u}{h} \frac{\partial u}{\partial x} + v \frac{\partial u}{\partial y} + \frac{k_r}{h} uv = -\frac{1}{h\rho} \frac{\partial p}{\partial x} + \frac{1}{h^2} \frac{\partial}{\partial y} (h^2 \tau_{xy}) \quad (4-2-2)$$

معادله مومنوم در جهت  $y$ :

$$\frac{k_r u^2}{h_1} = \frac{1}{\rho} \frac{\partial p}{\partial y} \quad (4-2-3)$$

شرایط مرزی نیز به صورت زیر تعریف خواهند شد:

$$\begin{aligned} y=0, u=0, v=0 \\ y \rightarrow \delta, u \rightarrow u_e(x, y) \end{aligned} \quad (4-2-4)$$

در این معادلات شاهد دو پارامتر جدید هستیم که  $k$  به عنوان معکوس شعاع انحنا یا  $k_r(x) = \pm \frac{1}{R(x)}$  تعریف می شود و پارامتر جدید دیگر  $h$  می باشد که آن را می توان اینگونه بیان کرد:  $h_1 = 1 \pm k_r(x)y$  این پارامترها نقش بسیار اساسی در حل معادلات و همچنین نحوه ی شبکه بندی برای حل عددی دارند از طرفی این دو پارامتر هستند که تفاوت بین سطوح محدب و مقعر را برای ما مشخص می کنند به طوریکه علامت مثبت برای سطح محدب و علامت منفی برای سطح مقعر میباشد دلیل این بسیار واضح است چون در حالت محدب شعاع انحنا در جهت مثبت محور  $y$  و در حالت مقعر این شعاع در جهت عکس محور مذکور خواهد بود. اما تفاوت دیگر عدم صفر شدن گرادیان فشار در جهت  $y$  می باشد به گونه ای که حل عددی این معادلات در شرایطی که گرادیان فشار غیر صفر در نظر گرفته شود تا حدودی غیر ممکن خواهد بود البته در بعضی از کارهای تجربی فرض می کردند که گرادیان فشار فقط تابعی از  $x$  و آن هم فقط در نزدیکی دیواره که باز هم فرض قابل اعتمادی نخواهد بود. نکته مهم دیگر عدم یکسان بودن سرعت در جهت عمود بر خط جریان است آنچه که ما تا پیش از این عادت داشتیم وجود سرعت پتانسیلی (potential velocity) یکسان در جهت  $y$  است اما باید گفت که چنین فرضی در اینجا قابل بیان نیست. در این پروژه ما به عینه توانستیم دریابیم که سرعت پتانسیل در روی دیواره برای حالت انحنا محدب بیشتر مقدار سرعت پتانسیل برای صفحه مسطح خواهد بود در صورتی که یک خط فرضی به عنوان خط مرکزی (center line) در نظر گرفته شده و برای هر دو حالت در آن خط سرعت پتانسیلی یکسانی فرض گردد و عکس این

موضوع برای انحنا مقعر نیز صادق خواهد بود به طوریکه مقدار سرعت پتانسیلی یکسان در روی یک خط مرکزی به ما سرعت کمتری را در روی دیواره در حالت انحنا مقعر نسبت به صفحه مسطح می دهد. بیان مطالب بیشتر را در قسمت نتیجه گیری این فصل عنوان خواهیم کرد. [۱۶, ۲۴, ۲۶]

در صورتی که از رابطه زیر برای بی بعد کردن در جهت  $y$  استفاده شود [۱] می توان نوشت:

$$\eta = \frac{y}{\delta} \quad (۲-۵)$$

که معادله مومنتوم بعد از بی بعد کردن در جهت عمود بر خط جریان به صورت زیر در دو جهت  $(X, \eta)$  نوشته خواهد شد [۲]:  
معادله مومنتوم در جهت  $X$ :

$$\frac{u}{h_1} \frac{\partial u}{\partial x} + \frac{v}{\delta} \frac{\partial u}{\partial \eta} + \frac{k_r}{h_1} uv + \frac{u}{h_1} \frac{d\delta}{dx} (-\eta m_1) \frac{\partial u}{\partial \eta} = -\frac{1}{h_1 \rho} \frac{\partial p}{\partial x} + \left[ \frac{\partial v_t}{\partial \eta} \left( \frac{\partial u}{\partial \eta} - \frac{k_r u}{h_1} \right) \right] + \left[ (\alpha + v_t) \left( \frac{\partial^2 u}{\delta^2 \partial \eta^2} + \frac{k_r}{h_1} \frac{\partial u}{\partial \eta} - \frac{k_r^2 u}{h_1^2} \right) \right] \quad (۴-۳)$$

وبه شکل منظم تر:

$$\frac{u}{h_1} \frac{\partial u}{\partial x} + \underbrace{\left[ v m_1 - \frac{u}{h_1} \frac{d\delta}{dx} (+\eta m_1) - m_1^2 \frac{\partial v_t}{\partial \eta} - (\alpha + v_t) \frac{k_r m_1}{h_1} \right]}_{m_\eta} \frac{\partial u}{\partial \eta} + \underbrace{\left[ \frac{k_r}{h_1} v + \frac{k_r^2 u}{h_1^2} + \frac{\partial v_t}{\partial \eta} \frac{k_r m_1}{h_1} \right]}_{m_x} u + \frac{1}{h_1 \rho} \frac{\partial p}{\partial x} - \left[ (\alpha + v_t) m_1^2 \left( \frac{\partial^2 u}{\delta^2 \partial \eta^2} \right) \right] = 0 \quad (۴-۳-۱)$$

معادله مومنتوم در جهت  $\eta$ :

$$\frac{k_r u^2}{h_1} = \frac{m_1}{\rho} \frac{\partial p}{\partial \eta} \quad (۴-۳-۲)$$

شرایط مرزی بدین گونه تعریف می شود:

$$\begin{aligned} \eta = 0 &\rightarrow u = 0, v = 0 \\ \eta = 1 &\rightarrow u = u_e \end{aligned} \quad (۴-۳-۳)$$



۴-۲) نحوه ی استفاده از روش ( $k - \varepsilon$ ) در مدل ترم توربولانسی وچگونگی حل معادلات

در این قسمت می خواهیم به معرفی مدل توربولانسی مورد استفاده در روی سطوح منحنی در جهت مدل کردن لزجت توربولانسی بپردازیم اما آنچه که باید به آن اشاره کرد اینست که بر اساس تحقیقات صورت گرفته در زمینه استفاده از مدل های توربولانسی بر روی سطوح منحنی و آنچه که مقالات مختلف در این زمینه نیز نشان می دهند باید گفت که در این شرایط باید از مدل های دو معادله ای استفاده شود اما باید اعتراف کرد هر چند ما در انجام این پروژه از مدل تغییر یافته ( $k - \varepsilon$ ) استفاده کردیم اما می توان با مقایسه با نتایج حاصل از حل های عددی که در آن ترم های توربولانسی از طریق مدل (RSM) بدست آمده اند این مدل نتایج بهتری نسبت مدل تغییر یافته ( $k - \varepsilon$ ) خواهد داشت اما هر چند ممکن است معادلات مدل در ابتدا کمی غریب به نظر برسند اما در صورتی که پارامتر انحنا صفر در نظر گرفته شود در این شرایط می توان گفت مدل مذکور به حالت اول آن که در دو فصل قبل مورد استفاده قرار گرفت تبدیل خواهد شد اما مدل معرفی شده از منابعی که در آخر همین پایان نامه ذکر شده مورد استفاده قرار گرفته است. با این توضیحات می توان نوشت [۲، ۱۸، ۲۱]:

در این حالت از طریق معادله (۱-۱۳-۱) و ضرایب آن نیز از طریق رابطه (۲-۱۳-۲) تعریف خواهند شد

معادله انرژی جنبشی توربولانسی [۲]:

$$\frac{u}{h_t} \frac{\partial k}{\partial x} + v \frac{\partial k}{\partial y} = \frac{1}{h_t} \frac{\partial}{\partial y} \left( \nu_t h_t \frac{\partial k}{\partial y} \right) + \nu_t \left( \frac{\partial u}{\partial y} - \frac{u}{R h_t} \right)^2 - \varepsilon - 2\nu \left( \frac{\partial k^{1/2}}{\partial y} \right)^2 \quad (4-4)$$

ضرایب بکار رفته در این معادله از طریق رابطه (۱-۱۱-۳۴-۲) قابل دسترسی می باشد.

در صورتی که بی بعد کردن در جهت  $y$  را نیز برای این معادله همانند معادلات قبل انجام دهیم :

$$\frac{u}{h_t} \frac{\partial k}{\partial x} + -\frac{m_\Delta}{h_t} u \frac{\partial k}{\partial \eta} + \nu m_1 \frac{\partial k}{\partial \eta} = \frac{m_1^2}{h_t} \frac{\partial}{\partial \eta} \left( h_t \left( \alpha + \frac{\nu_t}{\sigma_k} \right) \frac{\partial k}{\partial \eta} \right) + \nu_t \left( m_1^2 \frac{\partial u}{\partial \eta} - \frac{ku}{h_t} \right)^2 - \varepsilon - 2\nu m_1^2 \left( \frac{\partial k^{(1/2)}}{\partial \eta} \right)^2 \quad (4-4-1)$$

یا:

$$\begin{aligned} \frac{u}{h_1} \frac{\partial k}{\partial x} - \frac{m_\Delta}{h_1} u \frac{\partial k}{\partial \eta} + v m_1 \frac{\partial k}{\partial \eta} = m_1^2 \left( \alpha + \frac{v_r}{\sigma_k} \right) \frac{\partial^2 k}{\partial \eta^2} + m_1^2 \frac{\partial v_r}{\partial \eta} \frac{\partial k}{\partial \eta} + m_1 \frac{k_r}{h_1} \left( \alpha + \frac{v_r}{\sigma_k} \right) \frac{\partial k}{\partial \eta} \\ + v_r \left( m_1 \frac{\partial u}{\partial \eta} - \frac{k_r u}{h_1} \right)^2 - \varepsilon - \frac{\alpha}{0.3} m_1^3 \left( \frac{\partial v_r}{\partial \eta} \right) \left( \frac{\partial^2 u}{\partial \eta^2} \right) + \frac{\alpha}{0.3} m_1^2 \frac{k_r}{h} \left( \frac{\partial v_r}{\partial \eta} \right) \frac{\partial u}{\partial \eta} - \frac{\alpha k_r^2 u}{0.3 h^2} m_1' \left( \frac{\partial v_r}{\partial \eta} \right) \end{aligned} \quad (4-4-2)$$

در شرایط مشابه می توان برای معادله (E) نیز نوشت [۲]:

$$\frac{u}{h_1} \frac{\partial \varepsilon}{\partial x} + v \frac{\partial \varepsilon}{\partial y} = \frac{1}{h_1} \frac{\partial}{\partial y} \left( \frac{v_r}{\sigma_\varepsilon} h_1 \frac{\partial \varepsilon}{\partial y} \right) - f_2 c_{\varepsilon 2} \frac{\varepsilon^2}{k} + c_{\varepsilon 1} \frac{\varepsilon}{k} \nu_r \left( \frac{\partial u}{\partial y} - \frac{u}{R h_1} \right)^2 + 2 \nu \nu_r \left( \frac{\partial^2 u}{\partial y^2} \right)^2 \quad (4-5)$$

بطوریکه:

$$\begin{aligned} \frac{u}{h_1} \frac{\partial \varepsilon}{\partial x} - m_\Delta \frac{u}{h_1} \frac{\partial \varepsilon}{\partial \eta} + v m_1 \frac{\partial \varepsilon}{\partial \eta} = m_1^2 \left( \alpha + \frac{v_r}{\sigma_\varepsilon} \right) \frac{\partial^2 \varepsilon}{\partial \eta^2} + \frac{k_r}{h_1} m_1 \left( \alpha + \frac{v_r}{\sigma_\varepsilon} \right) \frac{\partial \varepsilon}{\partial \eta} + \frac{1}{\sigma_\varepsilon} \frac{\partial v_r}{\partial \eta} \frac{\partial \varepsilon}{\partial \eta} m_1^2 \\ + \frac{c_{\varepsilon 1} \varepsilon}{k} \nu_r m_1^2 \left( \frac{\partial u}{\partial \eta} \right)^2 + c_{\varepsilon 1} \nu_r \left( \frac{k_r u}{h_1} \right)^2 \frac{\varepsilon}{k} - 2 \frac{c_{\varepsilon 1} \varepsilon}{k} \nu_r \left( \frac{\partial u}{\partial \eta} \right) \left( \frac{k_r u}{h_1} \right) - f_2 c_{\varepsilon 2} \frac{\varepsilon^2}{k} + 2 \alpha \nu_r m_1^4 \left( \frac{\partial^2 u}{\partial \eta^2} \right)^2 \end{aligned}$$

(4-5-1)

ضرایب بکار رفته در این معادله از طریق رابطه (۱۰-۳۵-۲) قابل دسترسی می باشد.

شرایط مرزی جهت حل معادلات فوق به صورت زیر است:

$$\begin{aligned} \eta = 0 \rightarrow k = 0, \varepsilon = 0 \\ \eta = 1 \rightarrow k = k_e, \varepsilon = \varepsilon_e \end{aligned} \quad (4-4-3)$$

در این مرحله نحوه منفصل کردن معادلات لایه مرزی و همچنین معادلات مدل توربولانسی بیان میشود.

ذکر این نکته لازم است که نحوه انفصال معادلات و در حالت کلی الگوریتم حل د راین شرایط دقیقاً شبیه

به حالت صفحه مسطح خواهد بود و انفصال معادلات نیز در نقطه  $P_{i+\frac{1}{2},j}$  انجام گرفته است با این تفاوت که

در اینجا شبکه بندی تا حدودی متفاوت خواهد شد که بعد از این قسمت نیز در مورد آن توضیح داده میشود .

[۵].

معادله مومنوم در حالت منفصل شده در جهت X به صورت زیر خواهد بود:

$$\begin{aligned} & \left[ \frac{-m_{11}}{4\Delta\eta} + \frac{m_1^2(v_i + \alpha)}{2(\Delta\eta)^2} \right]_{i+\frac{1}{2},j} u_{i+1,j+1} + \left[ \frac{-u}{h_1\Delta x} - \frac{m_1^2(v_i + \alpha)}{(\Delta\eta)^2} \right]_{i+\frac{1}{2},j} u_{i+1,j} + \left[ \frac{+m_{11}}{4\Delta\eta} + \frac{m_1^2(v_i + \alpha)}{2(\Delta\eta)^2} \right]_{i+\frac{1}{2},j} u_{i+1,j-1} + \\ & \left[ \frac{-m_{11}}{4\Delta\eta} + \frac{m_1^2(v_i + \alpha)}{2(\Delta\eta)^2} \right]_{i+\frac{1}{2},j} u_{i,j+1} + \left[ \frac{+u}{h_1\Delta x} - \frac{m_1^2(v_i + \alpha)}{(\Delta\eta)^2} \right]_{i+\frac{1}{2},j} u_{i,j} + \left[ \frac{+m_{11}}{4\Delta\eta} + \frac{m_1^2(v_i + \alpha)}{2(\Delta\eta)^2} \right]_{i+\frac{1}{2},j} u_{i,j-1} \\ & - \left( \frac{1}{\rho h_1} \frac{\partial p}{\partial x} \right)_{i+\frac{1}{2},j} - \left( \frac{k_r}{h_1} v + \frac{k_r^2 u}{h_1^2} + \frac{\partial v_i}{\partial \eta} \frac{k_r m_1}{h_1} \right)_{i+\frac{1}{2},j} u_{i+\frac{1}{2},j} = 0 \end{aligned} \quad (4-6-1)$$

در صورتی که به صورت منظم نوشته شود:

$$A_{i+\frac{1}{2},j} u_{i+1,j+1} + B_{i+\frac{1}{2},j} u_{i+1,j} + C_{i+\frac{1}{2},j} u_{i+1,j-1} + D_{i+\frac{1}{2},j} = 0 \quad (4-6-2)$$

ضرایب ماتریسی در اینجا تا اندازه ای متفاوت خواهد بود:

$$A_{i+\frac{1}{2},j} = \left[ \frac{-m_{11}}{4\Delta\eta} + \frac{m_1^2(v_i + \alpha)}{2(\Delta\eta)^2} \right]_{i+\frac{1}{2},j} \quad (4-6-3)$$

$$B_{i+\frac{1}{2},j} = \left[ \frac{-u}{h_1\Delta x} - \frac{m_1^2(v_i + \alpha)}{(\Delta\eta)^2} \right]_{i+\frac{1}{2},j} \quad (4-6-4)$$

$$C_{i+\frac{1}{2},j} = \left[ \frac{+m_{11}}{4\Delta\eta} + \frac{m_1^2(v_i + \alpha)}{2(\Delta\eta)^2} \right]_{i+\frac{1}{2},j} \quad (4-6-5)$$

$$\bar{B}_{i+\frac{1}{2},j} = \left[ \frac{+u}{h_1\Delta x} - \frac{m_1^2(v_i + \alpha)}{(\Delta\eta)^2} \right]_{i+\frac{1}{2},j} \quad (4-6-6)$$

بیشترین تفاوت مربوط به ضریب  $D_{i+\frac{1}{2},j}$  میباشد:

$$D_{i+\frac{1}{2},j} = A_{i+\frac{1}{2},j} u_{i,j+1} + \bar{B}_{i+\frac{1}{2},j} u_{i,j} + C_{i+\frac{1}{2},j} u_{i,j-1} - \left( \frac{1}{\rho} \frac{\partial p}{\partial x} \right)_{i+\frac{1}{2},j} - \left( \frac{k_r}{h_1} v + \frac{k_r^2 u}{h_1^2} + \frac{\partial v_i}{\partial \eta} \frac{k_r m_1}{h_1} \right)_{i+\frac{1}{2},j} u_{i+\frac{1}{2},j} \quad (4-6-7)$$

همانطور که در فصل قبلی نیز بیان شد این معادلات به صورت مستقیم نمی توانند مقدار پروفیل سرعت را در  $(u_{i+1,j})$  به ما بدهند بنابراین ابتدا ضرایب ماتریسی را در نقطه  $(p_{i,j})$  بدست آورده و با این فرض که ما پروفیلهای سرعت را در نقطه  $(p_{i,j})$  داریم محاسبات اولیه برای بدست آوردن  $(u_{i+1,j})$  انجام میگیرد اما با توجه به تقارنی که در جهت محور در شبکه بندی انجام شده برای حل معادلات داریم در این قسمت نیز می توان از روش متوسط گیری استفاده کرد. بنابراین معادلات را می توان به صورت تعمیم یافته و شکل ساده تری نوشت: [۵]

$$u_{i+1,j} = E_{i+\frac{1}{2},j} u_{i+1,j+1} + F_{i+\frac{1}{2},j} \quad 2 \leq j \leq J-1 \quad (4-6-8)$$

$$E_{i+\frac{1}{2},j} = -\frac{A_{i+\frac{1}{2},j}}{B_{i+\frac{1}{2},j} + C_{i+\frac{1}{2},j} E_{i+\frac{1}{2},j-1}} \quad (4-6-9)$$

$$F_{i+\frac{1}{2},j} = -\frac{D_{i+\frac{1}{2},j} + C_{i+\frac{1}{2},j} F_{i+\frac{1}{2},j-1}}{B_{i+\frac{1}{2},j} + C_{i+\frac{1}{2},j} E_{i+\frac{1}{2},j-1}} \quad (4-6-10)$$

که دارای شرایط مرزی زیر است:

$$\begin{aligned} \eta = \eta_1 &\rightarrow u_{i+1,1} = 0, v_{i+1,1} = 0 \\ \eta = \eta_J &\rightarrow u_{i+1,J} = u_{eJ} \end{aligned} \quad (4-6-11)$$

که:

$$\begin{aligned} \eta_1 &= 0 \\ \eta_J &= 1 \end{aligned}$$

معادله پیوستگی که در تکرار دوم جهت محاسبه  $(v_{i+1,j+1})$  مورد استفاده قرار میگیرد را نیز میتوان به شکل منفصل شده زیر بیان کرد:

$$\left(\frac{2\Delta\eta}{m_i h_i \Delta x}\right)(u_{i,j} - u_{i+1,j}) + \left(\frac{m_\Delta}{m_i h_i}\right)(u_{i+1,j+1} - u_{i+1,j} + u_{i,j+1} - u_{i,j}) + (v_{i,j} - v_{i,j+1} + v_{i+1,j}) - \left(\frac{\delta}{R}\right)(v_{i+1,j} + v_{i,j}) = v_{i+1,j+1} \quad (4-7-1)$$

که در محدوده  $1 \leq j \leq J-1$  باید مورد حل قرار گیرد. که شرط اساسی در حل این معادله استفاده از شرط مرزی زیر می باشد:

$$\eta = \eta_1 \rightarrow u_{i+1,1} = 0, v_{i+1,1} = 0$$

نحوه انفصال معادلات مدل توربولانسی نیز همانند قسمت قبلی در نقطه  $(P_{i+\frac{1}{2},j})$  با استفاده از روش تفاضل مرکزی به صورت زیر نوشته میشود:

$$\begin{aligned} & \left[ \frac{-m'_{\Pi}}{4\Delta\eta} + \frac{m_1^2 \left( \frac{v_i}{\sigma_k} + \alpha \right)}{2(\Delta\eta)^2} \right]_{i+\frac{1}{2},j} k_{i+1,j+1} + \left[ \frac{-u}{h_i \Delta x} - \frac{m_1^2 \left( \frac{v_i}{\sigma_k} + \alpha \right)}{(\Delta\eta)^2} \right]_{i+\frac{1}{2},j} k_{i+1,j} + \left[ \frac{+m'_{\Pi}}{4\Delta\eta} + \frac{m_1^2 \left( \frac{v_i}{\sigma_k} + \alpha \right)}{2(\Delta\eta)^2} \right]_{i+\frac{1}{2},j} k_{i+1,j-1} + \left[ \frac{-m'_{\Pi}}{4\Delta\eta} + \frac{m_1^2 \left( \frac{v_i}{\sigma_k} + \alpha \right)}{2(\Delta\eta)^2} \right]_{i+\frac{1}{2},j} k_{i,j+1} \\ & + \left[ \frac{+u}{h_i \Delta x} - \frac{m_1^2 \left( \frac{v_i}{\sigma_k} + \alpha \right)}{(\Delta\eta)^2} \right]_{i+\frac{1}{2},j} k_{i,j} + \left[ \frac{+m'_{\Pi}}{4\Delta\eta} + \frac{m_1^2 \left( \frac{v_i}{\sigma_k} + \alpha \right)}{2(\Delta\eta)^2} \right]_{i+\frac{1}{2},j} k_{i,j-1} + L'_{i+\frac{1}{2},j} \left( N_{i+\frac{1}{2},j} \right)^2 + \left( N'_{i+\frac{1}{2},j} \right)^2 \\ & - N_{i+\frac{1}{2},j} - \varepsilon_{i+\frac{1}{2},j} - G'_{i+\frac{1}{2},j} \underbrace{\left( \frac{u_{i+1,j+1} - 2u_{i+1,j} + u_{i+1,j-1} + u_{i,j+1} - 2u_{i,j} + u_{i,j-1}}{2\Delta\eta^2} \right)}_{M_{i+\frac{1}{2},j}} + G''_{i+\frac{1}{2},j} N_{i+\frac{1}{2},j} - G''_{i+\frac{1}{2},j} = 0 \end{aligned} \quad (4-8-1)$$

و به شکل منظم تر خواهیم داشت:

$$A'_{i+\frac{1}{2},j} k_{i+1,j+1} + B'_{i+\frac{1}{2},j} k_{i+1,j} + C'_{i+\frac{1}{2},j} k_{i+1,j-1} + D'_{i+\frac{1}{2},j} = 0 \quad (4-8-2)$$

ضرایب ماتریسی فوق دچار تغییراتی خواهند شد که بیشترین تغییر مربوط به  $(D_{i+\frac{1}{2},j})$  میباشد:

$$A'_{i+\frac{1}{2},j} = \left[ \frac{-m'_{\pi}}{4\Delta\eta} + \frac{m_1^2 \left( \frac{v_t}{\sigma_k} + \alpha \right)}{2(\Delta\eta)^2} \right]_{i+\frac{1}{2},j} \quad (4-8-3)$$

$$B'_{i+\frac{1}{2},j} = \left[ \frac{-u}{h_1\Delta x} - \frac{m_1^2 \left( \frac{v_t}{\sigma_k} + \alpha \right)}{(\Delta\eta)^2} \right]_{i+\frac{1}{2},j} \quad (4-8-4)$$

$$C'_{i+\frac{1}{2},j} = \left[ \frac{+m'_{\pi}}{4\Delta\eta} + \frac{m_1^2 \left( \frac{v_t}{\sigma_k} + \alpha \right)}{2(\Delta\eta)^2} \right]_{i+\frac{1}{2},j} \quad (4-8-5)$$

$$\bar{B}'_{i+\frac{1}{2},j} = \left[ \frac{+u}{h_1\Delta x} - \frac{m_1^2 \left( \frac{v_t}{\sigma_k} + \alpha \right)}{(\Delta\eta)^2} \right]_{i+\frac{1}{2},j} \quad (4-8-3)$$

$$D'_{i+\frac{1}{2},j} = A'_{i+\frac{1}{2},j} k_{i,j+1} + \bar{B}'_{i+\frac{1}{2},j} k_{i,j} + C'_{i+\frac{1}{2},j} k_{i,j-1} + L'_{i+\frac{1}{2},j} \left( N_{i+\frac{1}{2},j} \right)^2 + \left( N'_{i+\frac{1}{2},j} \right)^2 \quad (4-8-4)$$

$$-N''_{i+\frac{1}{2},j} - \varepsilon_{i+\frac{1}{2},j} - G'_{i+\frac{1}{2},j} \left( M_{i+\frac{1}{2},j} \right) + G''_{i+\frac{1}{2},j} N_{i+\frac{1}{2},j} - G'''_{i+\frac{1}{2},j}$$

وبه شکل ساده تر داریم:

$$k_{i+1,j} = E'_{i+\frac{1}{2},j} k_{i+1,j+1} + F'_{i+\frac{1}{2},j} \quad 2 \leq j \leq J-1 \quad (4-8-5)$$

که:

$$E'_{i+\frac{1}{2},j} = \frac{A'_{i+\frac{1}{2},j}}{B'_{i+\frac{1}{2},j} + C'_{i+\frac{1}{2},j} E'_{i+\frac{1}{2},j-1}} \quad (4-8-6)$$

$$F'_{i+\frac{1}{2},j} = -\frac{D'_{i+\frac{1}{2},j} + C'_{i+\frac{1}{2},j} F'_{i+\frac{1}{2},j-1}}{B'_{i+\frac{1}{2},j} + C'_{i+\frac{1}{2},j} E'_{i+\frac{1}{2},j-1}} \quad (۴-۸-۷)$$

به طور مشابه برای معادله ( $\mathcal{E}$ ) می توان نوشت:

$$\begin{aligned} & \left[ \frac{-m_{11}''}{4\Delta\eta} + \frac{m_1^2 \left( \frac{v_t}{\sigma_e} + \alpha \right)}{2(\Delta\eta)^2} \right]_{i+\frac{1}{2},j} \varepsilon_{i+1,j+1} + \left[ \frac{-u}{h_1\Delta x} - \frac{m_1^2 \left( \frac{v_t}{\sigma_e} + \alpha \right)}{(\Delta\eta)^2} - \left( f_2 c_{\varepsilon 2} \frac{\varepsilon}{2k} \right) \right]_{i+\frac{1}{2},j} \varepsilon_{i+1,j} + \left[ \frac{+m_{11}''}{4\Delta\eta} + \frac{m_1^2 \left( \frac{v_t}{\sigma_e} + \alpha \right)}{2(\Delta\eta)^2} \right]_{i+\frac{1}{2},j} \varepsilon_{i+1,j-1} + \left[ \frac{-m_{11}''}{4\Delta\eta} + \frac{m_1^2 \left( \frac{v_t}{\sigma_e} + \alpha \right)}{2(\Delta\eta)^2} \right]_{i+\frac{1}{2},j} \varepsilon_{i,j+1} \\ & + \left[ \frac{-m_{11}''}{4\Delta\eta} + \frac{m_1^2 \left( \frac{v_t}{\sigma_e} + \alpha \right)}{2(\Delta\eta)^2} \right]_{i+\frac{1}{2},j} \varepsilon_{i,j} + \left[ \frac{+u}{h_1\Delta x} - \frac{m_1^2 \left( \frac{v_t}{\sigma_e} + \alpha \right)}{(\Delta\eta)^2} - \left( f_2 c_{\varepsilon 2} \frac{\varepsilon}{2k} \right) \right]_{i+\frac{1}{2},j} \varepsilon_{i,j} + \left[ \frac{+m_{11}''}{4\Delta\eta} + \frac{m_1^2 \left( \frac{v_t}{\sigma_e} + \alpha \right)}{2(\Delta\eta)^2} \right]_{i+\frac{1}{2},j} \varepsilon_{i,j-1} + \left( c_{\varepsilon 1} \frac{\varepsilon}{k} v_t m_1^2 \right)_{i+\frac{1}{2},j} \left( N_{i+\frac{1}{2},j} \right)^2 + \\ & (2\alpha m_1^4 (v_t))_{i+\frac{1}{2},j} \underbrace{\left( \frac{u_{i+1,j+1} - 2u_{i,j} + u_{i+1,j-1} + u_{i,j+1} - 2u_{i,j} + u_{i,j-1}}{2\Delta\eta^2} \right)^2}_{M_{i+\frac{1}{2},j}} - \left[ 2 \frac{c_{\varepsilon 1} \varepsilon}{k} v_t \left( \frac{k_t u}{h_1} \right) \right]_{i+\frac{1}{2},j} \left( \frac{u_{i+1,j+1} - u_{i+1,j-1} + u_{i,j+1} - u_{i,j-1}}{4\Delta\eta} \right) + \left[ c_{\varepsilon 1} \frac{\varepsilon}{k} v_t m_1^2 \left( \frac{k_t u}{h_1} \right)^2 \right]_{i+\frac{1}{2},j} = 0 \end{aligned} \quad (۴-۹-۱)$$

یا:

$$A''_{i+\frac{1}{2},j} \varepsilon_{i+1,j+1} + B''_{i+\frac{1}{2},j} \varepsilon_{i+1,j} + C''_{i+\frac{1}{2},j} \varepsilon_{i+1,j-1} + D''_{i+\frac{1}{2},j} = 0 \quad (۴-۹-۲)$$

$$A''_{i+\frac{1}{2},j} = \left[ \frac{-m_{11}''}{4\Delta\eta} + \frac{m_1^2 \left( \frac{v_t}{\sigma_e} + \alpha \right)}{2(\Delta\eta)^2} \right]_{i+\frac{1}{2},j} \quad (۴-۹-۳)$$

$$B''_{i+\frac{1}{2},j} = \left[ \frac{-u}{h_1\Delta x} - \frac{m_1^2 \left( \frac{v_t}{\sigma_e} + \alpha \right)}{(\Delta\eta)^2} - \left( f_2 c_{\varepsilon 2} \frac{\varepsilon}{2k} \right) \right]_{i+\frac{1}{2},j} \quad (۴-۹-۴)$$

$$C''_{i+\frac{1}{2},j} = \left[ \frac{-m_{11}''}{4\Delta\eta} + \frac{m_1^2 \left( \frac{v_t}{\sigma_e} + \alpha \right)}{2(\Delta\eta)^2} \right]_{i+\frac{1}{2},j} \quad (۴-۹-۵)$$

$$\bar{B}''_{i+\frac{1}{2},j} = \left[ \frac{+u}{h_1 \Delta x} - \frac{m_1^2 \left( \frac{v_i}{\sigma_c} + \alpha \right)}{(\Delta \eta)^2} - \left( f_2 c_{r2} \frac{\varepsilon}{2k} \right) \right]_{j+\frac{1}{2},i} \quad (4-9-6)$$

$$D''_{i+\frac{1}{2},j} = A''_{i+\frac{1}{2},j} \varepsilon_{i,j+1} + \bar{B}''_{i+\frac{1}{2},j} \varepsilon_{i,j} + C''_{i+\frac{1}{2},j} \varepsilon_{i,j-1} + L''_{i+\frac{1}{2},j} \left( N_{i+\frac{1}{2},j} \right)^2 + G''_{1+\frac{1}{2},j} \left( M_{i+\frac{1}{2},j} \right)^2 - G''_{2+\frac{1}{2},j} \left( N_{i+\frac{1}{2},j} \right) + G''_{3+\frac{1}{2},j} \quad (4-9-7)$$

به شکل ساده تر برای این معادلات خواهیم داشت:

$$\varepsilon_{i+1,j} = E''_{i+\frac{1}{2},j} \varepsilon_{i+1,j+1} + F''_{i+\frac{1}{2},j} \quad 2 \leq j \leq J-1 \quad (4-9-8)$$

$$E''_{i+\frac{1}{2},j} = -\frac{A''_{i+\frac{1}{2},j}}{B''_{i+\frac{1}{2},j} + C''_{i+\frac{1}{2},j} E''_{i+\frac{1}{2},j-1}} \quad (4-9-9)$$

$$F''_{i+\frac{1}{2},j} = -\frac{D''_{i+\frac{1}{2},j} + C''_{i+\frac{1}{2},j} F''_{i+\frac{1}{2},j-1}}{B''_{i+\frac{1}{2},j} + C''_{i+\frac{1}{2},j} E''_{i+\frac{1}{2},j-1}} \quad (4-9-10)$$

در نهایت شرایط مرزی نیز اینگونه بیان می شود:

$$\eta_1 = 0 \rightarrow k_{i+1,j=1} = 0, \varepsilon_{i+1,j=1} = 0 \quad (4-9-11)$$

$$\eta_J = 1, k_{i+1,J} = k_e(x_{i+1}), \varepsilon_{i+1,J} = \varepsilon_e(x_{i+1})$$



۴-۲-۱) نحوه ی شبکه بندی:

شبکه بندی در این حالت در جهت محور X و محور عمود بر آن یعنی  $\eta$  صورت می گیرد در این قسمت هم با توجه به این نکته که باید در جهت ( $\eta$ ) گامهای انتخابی متغییر باشد لذا مشابه با حالت های قبلی خواهیم داشت [۲].

$$\begin{aligned} \eta_1 &= 0 \\ \eta_j &= \eta_2 \frac{K^{j-1} - 1}{K - 1} & j = 2, 3, 4, \dots, J \\ \eta_j &= 1 \end{aligned} \quad (۲-۳۹)$$

بطوریکه:

$$\Delta \eta_{i,j} = \eta_2 K^{j-2} \quad (۲-۴۰)$$

$$\eta_2 = \frac{(k-1)}{(k^{J-1} - 1)} \quad (۲-۴۱)$$

تعداد نقاط کل (J)

$$J = \frac{\ln \left[ 1 + (k-1) \left( \frac{\eta_v}{\eta_2} \right) \right]}{\ln k} \quad (۲-۴۲)$$

که:  $k = 1.1$

براین اساس ضرایب ماتریسی بکار رفته در معادلات اصلی مربوط به مومنتوم و ( $k, \mathcal{E}$ ) نیز دستخوش تغییراتی به شکل زیر خواهند شد که به دلیل شباهت در تغییرات ایجاد شده به عنوان نمونه ضرایب تغییر یافته معادله منفصل شده مومنتوم را در اینجا بیان میکنیم:

به عنوان مثال می توان نوشت:

$$A_{i+\frac{1}{2},j} = \left[ \frac{-m_{\pi}}{2} g_1 + m_i^2 (v_i + \alpha) g_3 \right]_{i+\frac{1}{2},j} \quad (۴-۶-۳-۱)$$

$$B_{i+\frac{1}{2},j} = \left[ \frac{-u}{\Delta x} - m_i^2 (v_i + \alpha) (g_3 + g_4) + \frac{m_{\pi}}{2} (g_1 - g_2) \right]_{i+\frac{1}{2},j} \quad (۴-۶-۴-۱)$$

$$C_{i+\frac{1}{2},j} = \left[ \frac{+m_{\Pi}}{2} g_2 + m_1^2 (v_i + \alpha) g_4 \right]_{i+\frac{1}{2},j} \quad (4-6-5-1)$$

$$\bar{B}_{i+\frac{1}{2},j} = \left[ \frac{+u}{\Delta x} - m_1^2 (v_i + \alpha) (g_3 + g_4) + \frac{m_{\Pi}}{2} (g_1 - g_2) \right]_{i+\frac{1}{2},j} \quad (4-6-6-1)$$

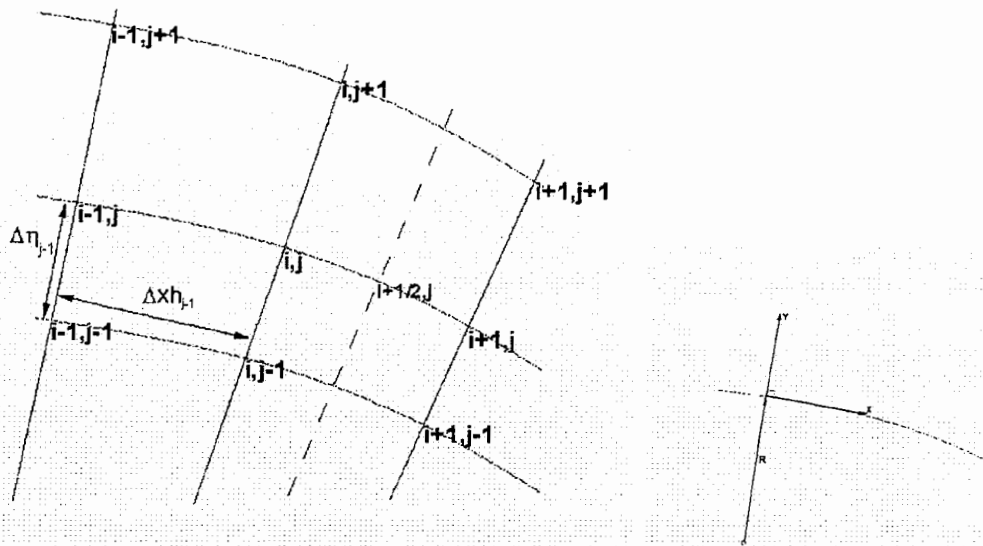
که ضرایب جدید بکار رفته به صورت زیر بیان می گردد:

$$(g_1)_{i,j} = \frac{1}{\eta_2} \frac{K}{1+K} \quad (2-43)$$

$$(g_2)_{i,j} = K^2 (g_1)_{i,j} \quad (2-44)$$

$$(g_3)_{i,j} = \frac{1}{\eta_2^2} \frac{K^{3-2j}}{1+K} \quad (2-45)$$

$$(g_4)_{i,j} = K^2 (g_3)_{i,j} \quad (2-46)$$



شکل (۴-۲۷): نحوه شبکه بندی مورد استفاده جهت حل عددی در جریان بر روی سطوح منحنی

نحوه ی بدست آوردن ترمهای توربولانسی: (۴-۲-۲)

آنچه که در مورد بدست آوردن ترمهای توربولانسی بیان در فصل دوم بیان شد در این قسمت نیز به نوعی می توان آنرا تعمیم داد فقط بعضی از تانسورهای کرنش در اینجا شکلی متفاوت خواهند داشت: [۱,۲,۱۸]

$$-\rho \overline{u'_i u'_j} = 2\mu_t S_{ij} - \frac{2}{3} \rho k \delta_{ij} \quad (۲-۴۷)$$

که تانسورهای کرنش به صورت زیر تعریف می شوند:

$$S_{xx} = \left[ \frac{1}{1+k_r y} \left( \frac{\partial u}{\partial x} + k_r v \right) - \frac{1}{3} \text{div} \vec{V} \right] \quad (۴-۱۰)$$

$$S_{yy} = \frac{\partial v}{\partial y} - \frac{1}{3} \text{div} \vec{V} \quad (۴-۱۱)$$

که برای سیال تراکم ناپذیر  $\text{div} \vec{V} = 0$  است.

در صورتی که معادلات فوق در مختصات خواسته شده نوشته شود داریم:

$$-\rho \overline{u'^2} = 2\mu_t \left( \frac{1}{h_1} \left( \frac{\partial u}{\partial x} + \left( -m_\Delta \frac{\partial u}{\partial \eta} \right) \right) \right) - \frac{2}{3} \rho k \quad (۴-۱۲)$$

$$-\rho \overline{v'^2} = 2\mu_t m_1 \left( \frac{\partial v}{\partial \eta} \right) - \frac{2}{3} \rho k \quad (۴-۱۳)$$

در معادله (۴-۱۲) از ترم  $(k_r v)$  صرفنظر شده است و این به دلیل کوچک بودن این ترم در مقایسه با ترم اول می باشد.

با تعریف مجدد انرژی توربولانسی خواهیم داشت:

$$k = \frac{1}{2} (\overline{v'^2} + \overline{u'^2} + \overline{w'^2})$$

اگر معادلات فوق را بخواهیم به شکل ماتریسی در جهت حل بکار بریم معادلات به صورت زیر خلاصه خواهند شد:

$$\left( \overline{u'^2} \right)_{i,j} = \left( \frac{2\nu_t}{h_1} \right)_{i,j} \left( \frac{\partial u}{\partial x} \right)_{i,j} + \left( \frac{-m_\Delta 2\nu_t}{h_1} \right)_{i,j} \left( \frac{\partial u}{\partial \eta} \right)_{i,j} - \frac{2}{3} k_{i,j} \quad (۴-۱۲-۱)$$

$$\left( \overline{v'^2} \right)_{i,j} = (2\nu_t m_1)_{i,j} \left( \frac{\partial v}{\partial \eta} \right)_{i,j} \quad (۴-۱۳-۱)$$

$$\left( \overline{w'^2} \right)_{i,j} = 2k_{i,j} - \left( \left( \overline{v'^2} \right)_{i,j} + \left( \overline{u'^2} \right)_{i,j} \right) \quad (۴-۱۴)$$

با تاکید مجدد بر این نکته که داریم:  $(\nu_t)_{i,j} = (f_\mu c_\mu) \frac{(k_{i,j})^2}{\varepsilon_{i,j}}$

البته تنش برشی در این حالت به صورت زیر بیان خواهد شد:

$$-\overline{u'v'} = \nu_r \left( m_1 \frac{\partial u}{\partial \eta} - \frac{k_r u}{h_1} \right)$$

که از رابطه (۲-۴۷) و با جایگذاری معادله زیر در آن بدست آمده است:

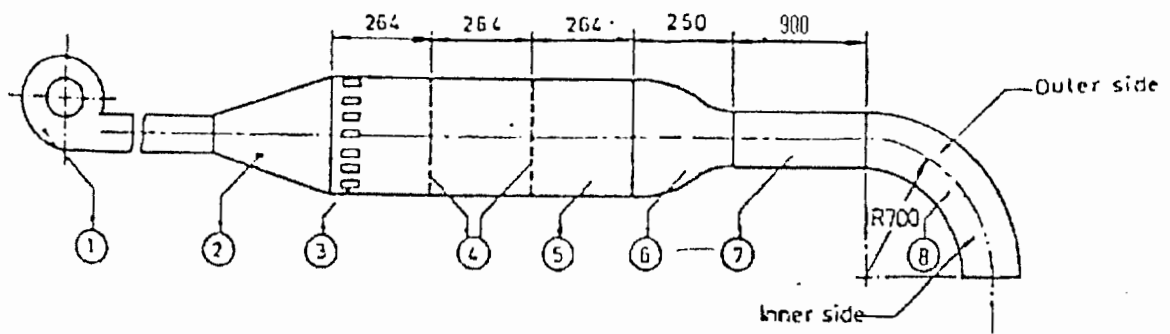
$$S_{xy} = \frac{1}{2} \left( \frac{\partial u}{\partial y} + \frac{1}{1+k_r y} \left( \frac{\partial v}{\partial x} \right) - \frac{k_r u}{1+k_r y} \right)$$

در این رابطه باید توجه شود که ترم دوم به خاطر ناچیز بودن و همچنین فرض صورت گرفته در بدست آوردن معادلات لایه مرزی قابل صرف نظر کردن است. همچنین بیان دوباره این نکته الزامی است که ترمهای اصلاحی در این قسمت نیز همانند فصول دوم و سوم باید در جهت بدست آوردن تنشهای نرمال آشفتگی مورد استفاده قرار گیرند و در غیر این صورت شاهد اشتباهات و خطاهای فاحشی در هنگام بدست آوردن موارد مذکور خواهیم بود. [۲، ۱۸]

### ۳-۴) ساختار کارهای تجربی مورد استفاده و هندسه حل:

کارهای تجربی که در این قسمت در مورد آن توضیح داده خواهد شد در حقیقت شامل چهار گروه مقادیر تجربی است که دو مورد در ارتباط با انحنا محدب و دومورد دیگر مربوط به انحنا مقعر خواهد بود. که به ترتیب توضیحاتی در مورد آنها آورده خواهد شد.

گروه اول از مقادیر تجربی مورد استفاده این بار نیز مربوط به دستگاه تونل بادی است که دارای ویژگیهایی شبیه به آنچه است که در فصول دوم و سوم به آن پرداختیم اما تفاوت‌های کلی در قسمت test section دارد. ناحیه test section در ابتدا دارای سطح مقطعی مربعی شکل با ابعاد  $140 \times 140 \text{ mm}$  بوده که طول این قسمت مشابه با کارهای قبلی  $900 \text{ mm}$  است همچنین شدت توربولانسی و سرعت جریان آزاد در این ناحیه نیز به ترتیب برابر با  $13 \frac{m}{s}, 0.01$  است تا این مرحله هیچ گونه انحنای سطحی وجود ندارد در ادامه این ناحیه یک مجرای منحنی شکل (curved duct) که در امتداد خط مرکزی دارای  $400 \text{ mm}$  طول و شعاع انحنای  $700 \text{ mm}$  می باشد قرار دارد سرعت جریان آزاد در این ناحیه در امتداد خط مرکزی  $13 \frac{m}{s}$  و شدت توربولانسی نیز مقدار  $0.01$  در نظر گرفته شده است. نکته قابل توجه این که شعاع انحنا سطح محدب  $630 \text{ mm}$  و شعاع انحنا سطح مقعر برابر با  $770 \text{ mm}$  می باشد. پارامتر انحنا در تمامی موقعیت ها برابر با مقدار ثابت  $0.023 = \frac{\delta}{R}$  فرض گردیده است. شکل شماتیک این دستگاه در زیر نشان داده شده است: [۶]



1. Centrifugal blower 2. Diffuser 3. Honey comb 4. Nylon screen  
5. Settling chamber 6. Contraction 7. Test section 8. Curved section

All dimensions in mm

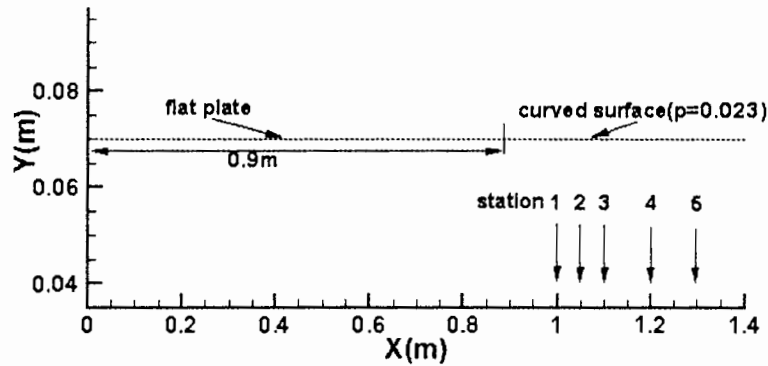
شکل (۲۸-۴): نمایی از ساختار و جزئیات دستگاه تجربی معرفی شده

برای حل عددی در ابتدا یک صفحه مسطح با طول  $900\text{mm}$  و عرض  $70\text{mm}$  که جریان آزاد با سرعت  $13\frac{m}{s}$  و شدت توربولانسی  $0.01$  بر روی صفحه مذکور جریان دارد در نظر گرفتیم تا این مرحله معادلات لایه مرزی از لحاظ شکل و ساختار همان معادلات لایه مرزی بر روی صفحه مسطح می باشد اما در انتهای این صفحه پارامتر انحنای که تا قبل از این ناحیه مقدارش صفر بوده و همچنین شعاع انحنای که در روی سطوح مسطح برابر با بی نهایت میباشد با توجه به حالت محدب یا مقعر بودن سطح مقدارش در معادلات لایه مرزی دخالت داده می شود از طرفی از آنجا که خط مرکزی به عنوان خط مرجع که در فاصله  $70\text{mm}$  از دیواره قرار دارد در نظر گرفته شده است این حل در امتداد خط مرکزی و تا طول  $400\text{mm}$  ادامه می یابد. در این قسمت نیز سرعت جریان آزاد در امتداد خط مرکزی برابر با  $13\frac{m}{s}$  بوده و همچنین شدت توربولانسی جریان آزاد نیز  $0.01$  است.

اما سطح محدب در این قسمت مشابه با کار تجربی صورت گرفته دارای شعاع انحنای  $630\text{mm}$  است و سطح مقعر دارای شعاع انحنای  $770\text{mm}$  می باشد. برای ایجاد تفاوت در حالت انحنای محدب و مقعر شعاع انحنای در حالت محدب مثبت و در حالت مقعر منفی در نظر گرفته می شود. نکته مهم دیگر اینکه پارامتر انحنای در تمامی این حالتها ثابت

$$\text{و برابر با } \frac{\delta}{R} = 0.023 \text{ می باشد.}$$

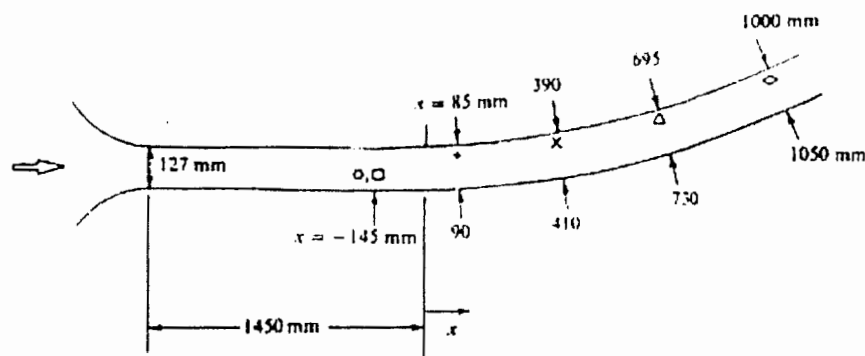
شکل شماتیک این حل در زیر نشان داده شده است:



شکل (۲۹-۴): نمایی از موقعیتها و هندسه مورد استفاده جهت حل عددی

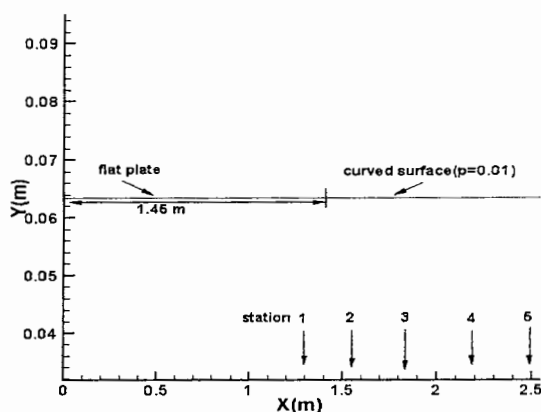
اما گروهی دیگر از اندازه گیریهای بدست آمده مقادیر تجربی جهت مقایسه با حل عددی مورد استفاده قرار گرفته توسط Meroney, Bradshaw در سال ۱۹۷۵ از دستگاه تونل بادی در کالج Imperial استخراج شده است. مشخصات کلی این دستگاه به صورت زیر می باشد. [۷, ۱۵, ۱۶]

قسمت test section دارای طولی به اندازه ۱۴۵۰mm بوده و عرض و ارتفاع آن به ترتیب ۱۲۷mm, ۷۶۲mm می باشد. قسمت انحنای محدب به صورت سطحی محدب مانند با شعاع انحنای ۲۴۱۰mm و با طولی که برابر با ۱۰۰۰mm است در ادامه test section آورده شده است سرعت جریان آزاد در ناحیه test section برابر با  $33 \frac{m}{s}$  و شدت توربولانسی نیز ۰.۰۰۱ است همچنین ضخامت لایه مرزی در ابتدای ورود به ناحیه محدب برابر با ۲۲mm بوده و  $\frac{\delta}{R}$  پارامتر انحنای نیز برابر با ۰.۰۱ است و شعاع انحنای نیز ثابت می باشد. در این حالت خط مرکزی که در ارتفاع ۶۳.۵mm از دیواره قرار دارد به عنوان خط مرجع بوده و سرعت جریان آزاد در امتداد آن برابر با  $33 \frac{m}{s}$  می باشد. در حالت انحنای مقعر تمامی موارد فوق برقرار است فقط شعاع انحنای مقدار ثابت ۲۵۳۷mm است.



شکل (۳۰-۴): نمایی از موقعیتها و جزئیاتی دیگر از دستگاه تجربی معرفی شده

برای ایجاد شرایط مشابه با حالت تجربی جهت حل عددی ابتدا صفحه مسطحی را به طول  $1450\text{ mm}$  که برابر با طول ناحیه test section در نظر گرفته و سرعت جریان آزاد در این شرایط برابر با  $33 \frac{m}{s}$  بوده همچنین شدت توربولانسی در این قسمت  $0.001$  می باشد. در قسمت انحنا محدب یک خط مرکزی را در نظر گرفته و با این فرض که سرعت جریان آزاد روی این خط که ارتفاع  $63.5\text{ mm}$  نسبت به دیواره قرار دارد برابر با  $33 \frac{m}{s}$  است می توان مقدار سرعت پتانسیل را بر روی دیواره محاسبه نمود همچنین در قسمت محدب شعاع انحنا برابر با  $2410\text{ mm}$  بوده و پارامتر انحنا  $\frac{\delta}{R} = 0.01$  نیز می باشد در این مرحله نیز سطح مقعر با توجه به اینکه دارای شعاع ثابت  $2537\text{ mm}$  است با قرار دادن مقدار منفی شعاع برای این سطح از سطح محدب متمایز می شود.



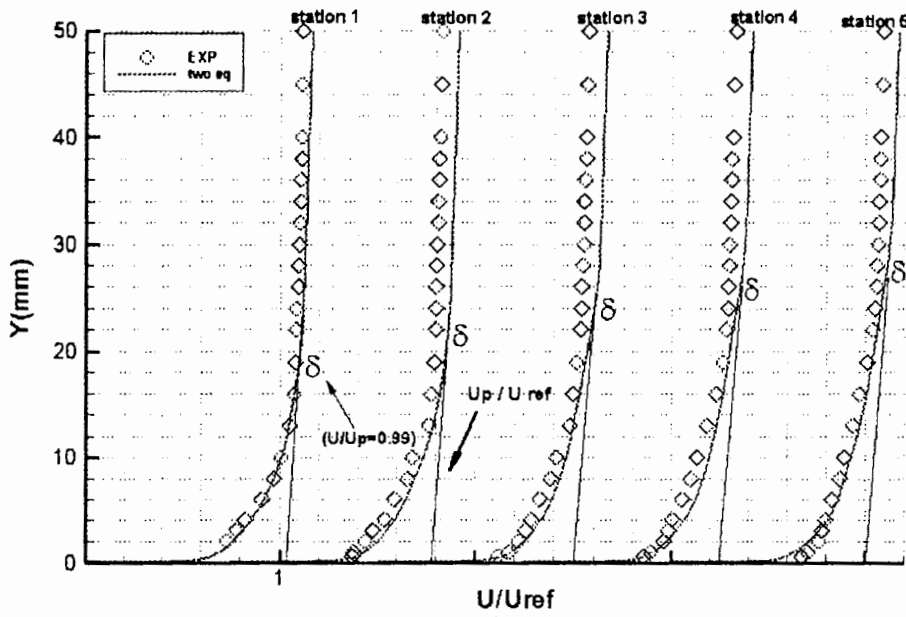
شکل (۳۱-۴): نمایی از موقعیتها و هندسه مورد استفاده جهت حل عددی



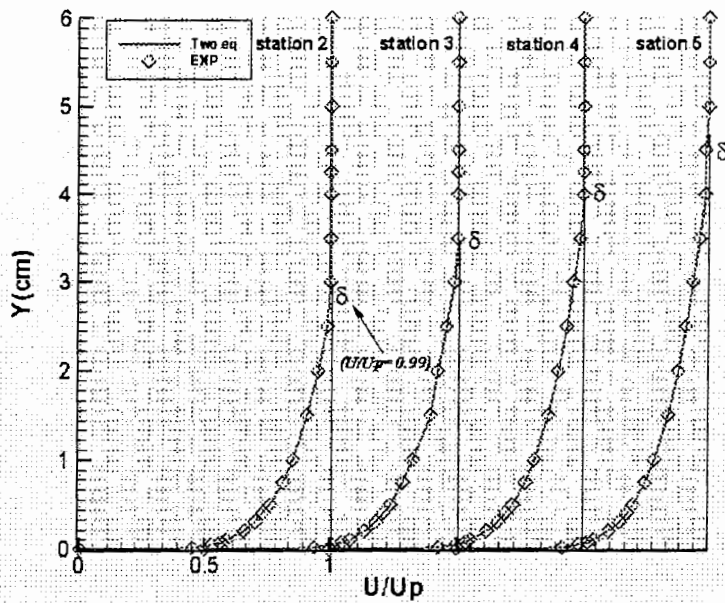
سرعت جریان آزاد	موقعیت ۱	موقعیت ۲	موقعیت ۳	موقعیت ۴	موقعیت ۵	میزان پارامتر انحنا	نوع انحنا سطح
$u_{ref} = 12 \frac{m}{s}$  $u_{so} = 13 \frac{m}{s}$	۰,۹۹m	۱,۰۳۵m	۱,۰۸m	۱,۱۷m	۱,۲۶m	$\frac{\delta}{R} = 0.023$	محدب وگرادیان فشار در روی دیواره وجود ندارد
$u_{so} = 13 \frac{m}{s}$  $u_{ref} = 12 \frac{m}{s}$	۱,۰۱m	۱,۰۶۵m	۱,۱۲m	۱,۲۳m	۱,۳۴m	$\frac{\delta}{R} = 0.023$	مقعرو گرادیان فشار در روی دیواره وجود ندارد.
$u_{ref} = 33 \frac{m}{s}$	صفحه مسطح	۱,۵۴m	۱,۸۶m	۲,۱۸m	۲,۵m	$\frac{\delta}{R} = 0.01$	مقعرو گرادیان فشار در روی دیواره وجود ندارد.
$u_{ref} = 33 \frac{m}{s}$	صفحه مسطح	۱,۵۳۵m	۱,۸۴m	۲,۱۴۵ m	۲,۴۵m	$\frac{\delta}{R} = 0.01$	محدب وگرادیان فشار در روی دیواره وجود ندارد.

جدول (۱-۴): بیان وضعیت قرارگرفتن موقعیت های مختلف ذکرشده در نمودارهای مربوط به بخش نتایج

شکل (۴-۳-۱) بررسی نتایج مربوط به پروفیل های سرعت بر روی صفحه ی منحنی با انحنا مقعر:



شکل (۴-۱): نحوه ی توزیع پروفیل های سرعت در جریان آشفته بر روی صفحه مقعر ( $u_{e1} = 13 m/s, P_{cv} = 0.023$ )



شکل (۴-۲): نحوه ی توزیع پروفیل های سرعت در جریان آشفته بر روی صفحه مقعر ( $u_{e1} = 33 m/s, P_{cv} = 0.01$ )

۱) در ابتدای بررسی پروفیل های سرعت بر روی صفحه مقعر و در حالت کلی صفحات دارای انحنا (محدب و مقعر) باید به این نکته اشاره کرد که مقدار سرعت ناحیه پتانسیل (potential velocity) تابعی از  $y$  نیز هستند بنابراین سرعت پتانسیل در عین حال که می تواند تابعی از  $x$  باشد باید حتما با  $(y)$  و در این پروژ به حالت بی بعد شده یعنی  $\eta$  نیز تغییر کند یعنی با حرکت در امتداد عرضی لایه مرزی سرعت پتانسیل بر خلاف حالتهای قبلی ثابت نبوده و تغییر می کند که این سرعت در حات انحنا مقعر دارای روند افزایشی و برای انحنا محدب دارای سیر کاهشی خواهد بود. در تحلیل نحوه اهمیت و تاثیر تغییرات سرعت پتانسیل در امتداد عرضی لایه مرزی همین بس که این تغییرات سبب افزایش یا کاهش پایداری جریان و همچنین بر سایر پارامترهای دیگر لایه مرزی تاثیر بسیار زیادی خواهند داشت. در صفحاتی که انحنا مقعر دارند براساس نتایج بدست آمده از حل عددی و مقایسه با کارهای تجربی می توان به این نتیجه مهم دست یافت که ضخامت لایه مرزی در اثر انحنا مقعر نسبت به صفحه مسطح در حالت شرایط مشابه بیشتر خواهد بود بطوریکه آن را می توان با شرایط موجود برای گرادیان فشار معکوس مقایسه کرد. نکته حائز اهمیت اینست که هر چقدر میزان انحنا مقعر بیشتر باشد در این حالت شاهد افزایش ناپایداریها و به دنبال آن افزایش در پارامترهای دیگر لایه مرزی خواهیم بود.

۲) در حالت انحنا مقعر نیز می توان گفت که شرایط مشابهی از لحاظ نحوه توزیع مومنتوم های جریان با گرادیان فشار معکوس وجود دارد که این امر لزوم بررسی اثرات ناپایداری را به خوبی نشان می دهد.

۳) نکته دیگر در مورد سرعت پتانسیل باید گفت که سرعت پتانسیل حداقل مقدار خود را در حالت انحنا مقعر بروی دیواره و حداکثر مقدار آن بر روی خط مرکزی (center line) وجود دارد. [۱۶، ۲۴]

بنابراین نمودار مربوط به این سرعت به جای آنکه در جهت  $(\eta)$  یا  $(y)$  بصورت یک خط مستقیم و قائم باشد دارای زاویه ای بیشتر از  $(90)$  با محور مذکور خواهد بود. این تغییرات سبب شده است که شرایطی ایجاد گردد که نتوان از تغییرات فشار در جهت  $(y)$  چشم پوشی کرد. آنچه که در جرایان همراه با گرادیان فشار معکوس مورد توجه بود اینست که می توانستیم تغییرات فشار را به صورت تابعی از سرعت جریان آزاد در نظر گرفت بطوریکه

برای جریان همراه با گرادیان فشار معکوس خواهیم داشت:

$$\left(-\frac{1}{\rho} \frac{dp}{dx} = u_c \frac{du_c}{dx}\right)$$

در حالی که نوشتن چنین رابطه ای برای جریانهای روی سطوح منحنی کاملاً اشتباه بوده و این به خاطر وجود تغییرات فشار در جهت (y) می باشد این تفاوت عمده باعث شده که حل عددی جریان های همراه با گرادیان فشار بر روی صفحات منحنی با مشکلات بسیاری همراه باشد.

۴) در جریان بر روی صفحات منحنی همراه با انحنا مقعر نیز شاهد رشد چشمگیرتر مقادیر  $\delta, \delta^*, \theta$  خواهیم بود به گونه ای که این مقادیر در موقعیت مشابه با صفحات مسطح بزرگتر و قابل توجه تر هستند و همانطور که گفته شد می توان آنها را با مقادیر بدست آمده از لایه مرزی همراه با گرادیان فشار معکوس مقایسه کرد تا حدودی مشابه دانست. به طور مثال تغییر در انحنا سطح به اندازه  $\left(\frac{\delta}{R} = 0.01\right)$  باعث تغییر و افزایشی در حدود ده درصد کپی بیشتر شاید در مقادیر انتگرالی  $(\delta^*, \theta)$  خواهد شد (انحنا مقعر).

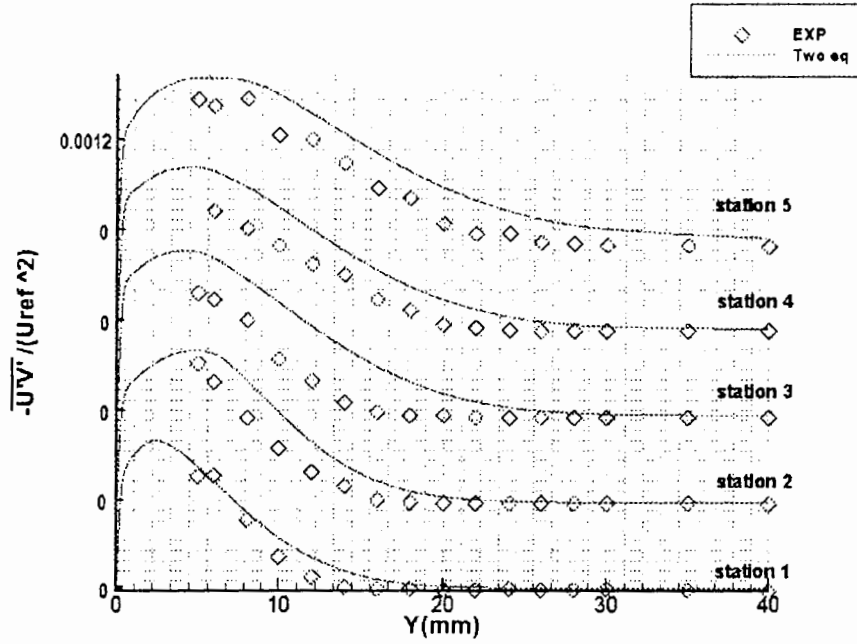
از طرفی هر چقدر پارامتر انحنا بزرگتر باشد در این شرایط باید انتظار رشد بیشتری از مقادیر ذکر شده را داشته باشیم البته بیان دقیق تر باید گفت که پارامتر انحنا برای شرایط انحنا مقعر باید به صورت منفی  $\left(-\frac{\delta}{R}\right)$  نوشته شود و این به دلیل عکس بودن جهت محور فرضی y و شعاع می باشد.

۵) مقدار  $(C_f)$  در جریان بر روی صفحات منحنی شکل می تواند دچار کاهش یا افزایش گردد چرا که در این حالت نقش اساسی را  $(u_{pw})$  سرعت پتانسیل در روی دیواره ایفاء می کند هر چند که میزان  $\tau_w$  همراه با کاهش نسبی است اما چنانچه  $u_{pw}$  دارای سیر نزولی باشد یعنی در روی دیواره نیز گرادیان فشار معکوس وجود داشته باشد در این حالت باید گفت که کاهش  $u_{pw}$  بر کاهش  $(\tau_w)$  برتری داشته و سبب افزایش در میزان  $(C_f)$  خواهد شد همچنین مقادیر  $(C_f)$  بدست آمده در حالتی که  $(u_{pw})$  حتی مقدار ثابتی باشد بیشتر

از مقادیر ( $C_f$ ) در شرایط مشابه با صفحه مسطح است. زیرا مقادیر سرعت پتانسیل در روی دیواره سطح مقعرمانند به مراتب کمتر از سرعت پتانسیل در جریان بر روی صفحه مسطح در شرایط یکسان می باشد. [۷]

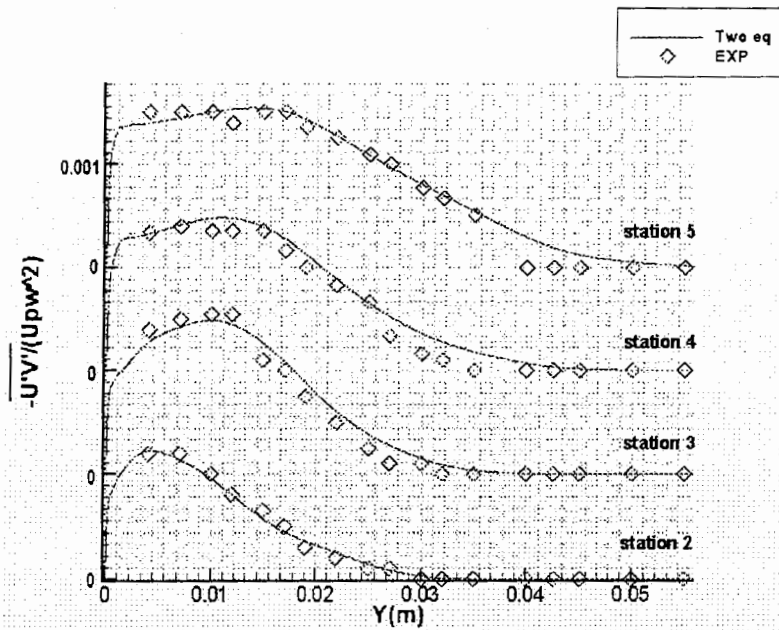
۶) در مورد توزیع  $H$  در طول لایه مرزی باید با شک و تردید سخن گفت آنچه پیدا است میزان  $H$  در حالت انحنا مقربیشتر از مقدار آن در روی صفحه مسطح میباشد اما در عین حال روند کاهش ضریب شکل در طول لایه مرزی با افزایش پارامتر انحنا مقعر کند تر شده و در حالت کلی از سیر نزولی آن بر روی صفحه مسطح بیشتر از صفحه مقعر می باشد.

۴-۳-۲) اثرات انحنای مقعر بر ترمهای توربولانسی لایه مرزی:



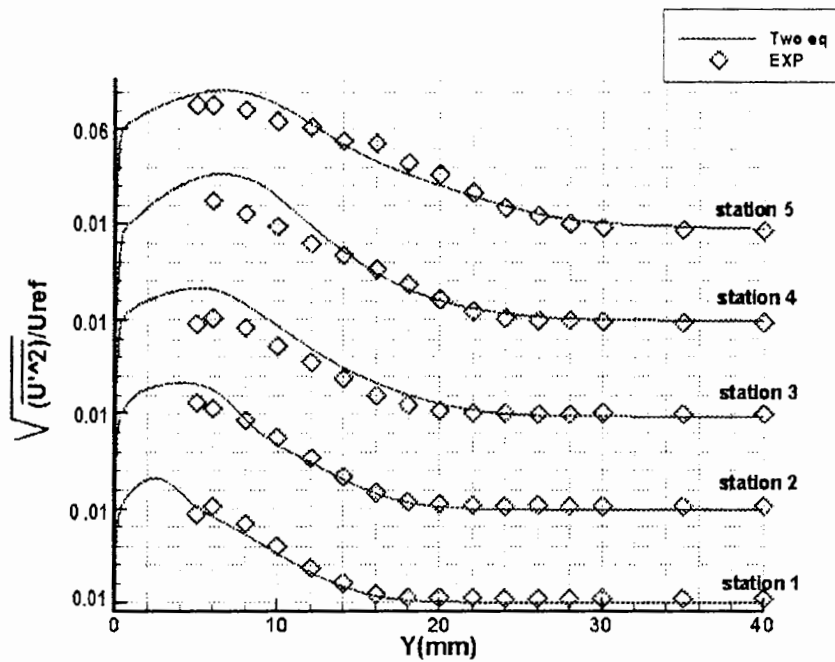
شکل (۴-۳): نحوه ی توزیع تنش برشی توربولانسی (Turbulent shear stress) در جریان آشفتهد بر روی صفحه مقعر

$$(u_{e1} = 13 \text{ m/s}, P_{cv} = 0.023)$$



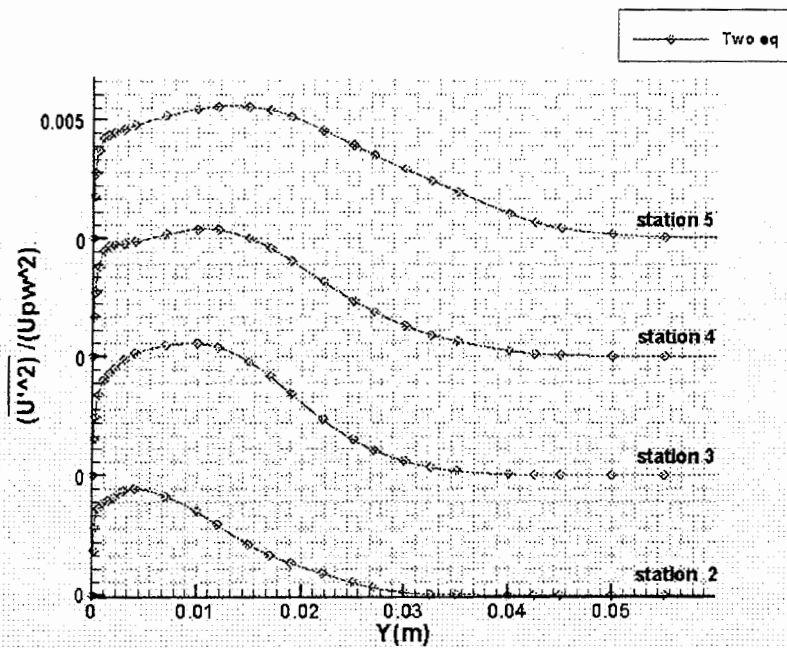
شکل (۴-۴): نحوه ی توزیع تنش برشی توربولانسی (Turbulent shear stress) در جریان آشفتهد بر روی صفحه مقعر

$$(u_{e1} = 33 \text{ m/s}, P_{cv} = 0.01)$$



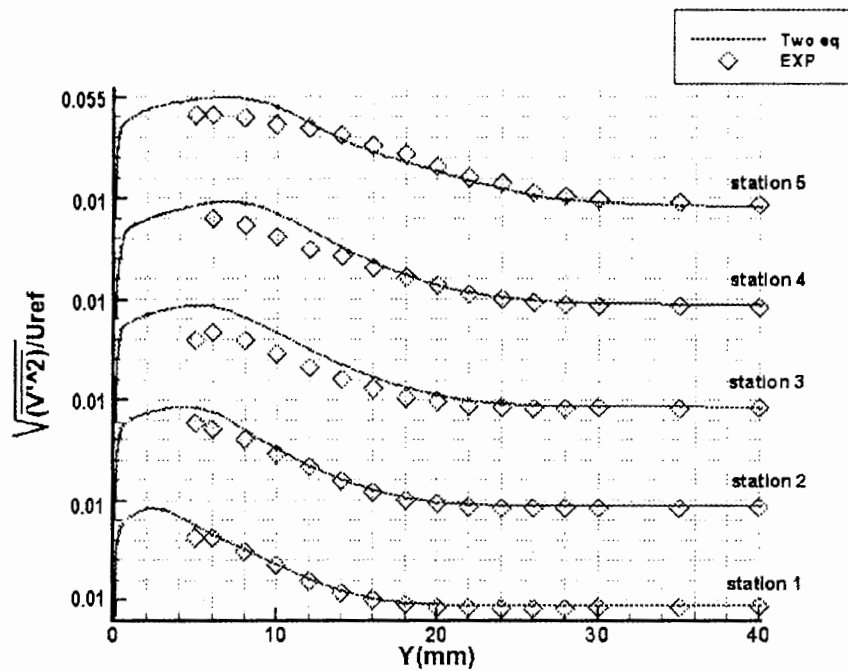
شکل (۴-۵): نحوه ی توزیع شدت توربولانسی (Turbulent intensity) در جریان آشفته بر روی صفحه مقعر

$$(u_{e1} = 13 \text{ m/s}, P_{cv} = 0.023)$$



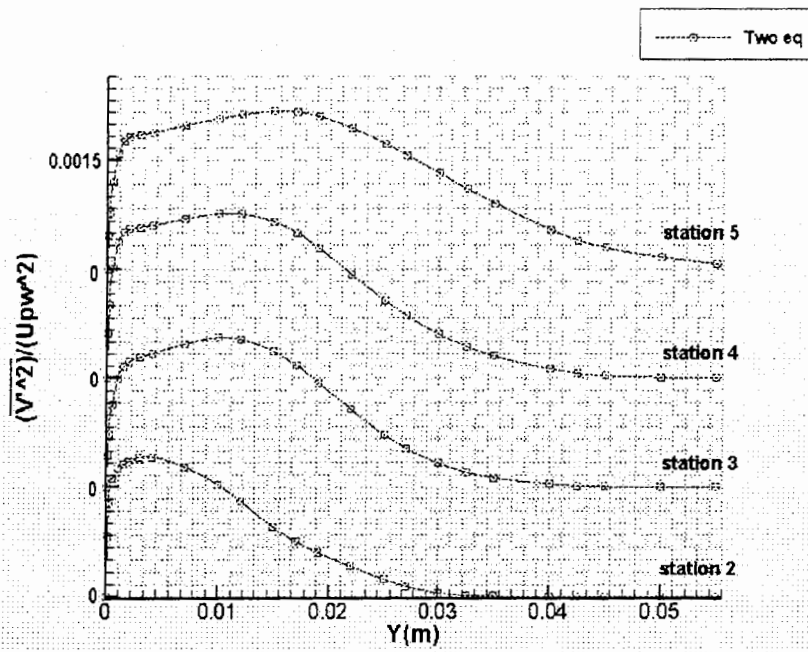
شکل (۴-۶): نحوه ی توزیع شدت توربولانسی (Turbulent intensity) در جریان آشفته بر روی صفحه مقعر

$$(u_{e1} = 33 \text{ m/s}, P_{cv} = 0.01)$$



شکل (۷-۴): نحوه ی توزیع شدت توربولانسی (Turbulent intensity) در جریان آشفته بر روی صفحه مقعر

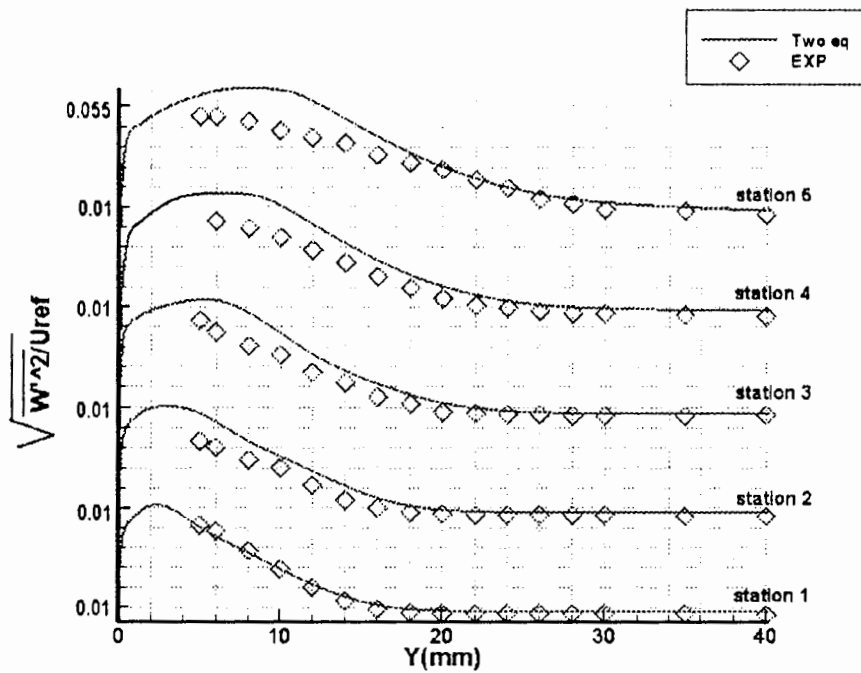
$$(u_{e1} = 13 \text{ m/s}, P_{cv} = 0.023)$$



شکل (۸-۴): نحوه ی توزیع شدت توربولانسی (Turbulent intensity) در جریان آشفته بر روی صفحه مقعر

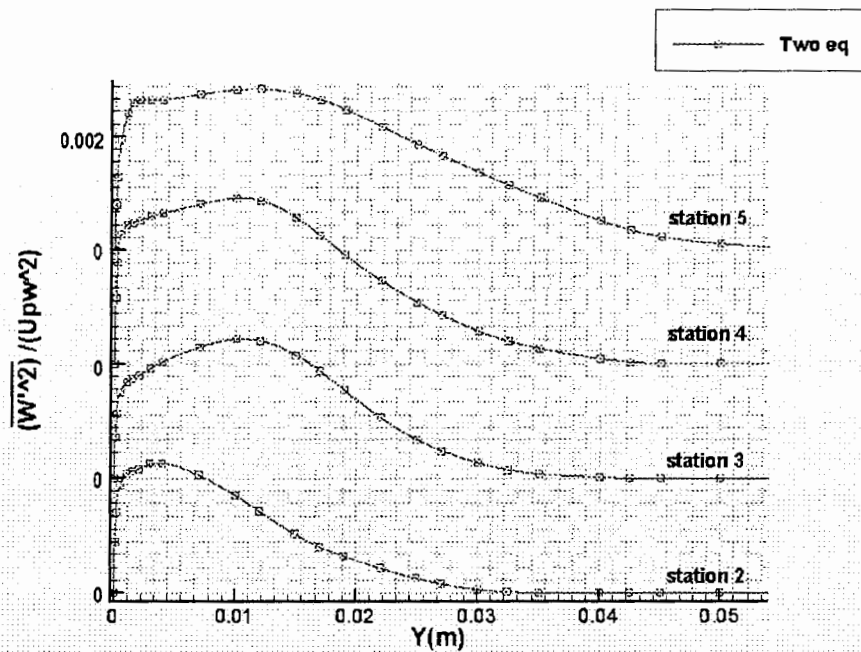
$$(u_{e1} = 33 \text{ m/s}, P_{cv} = 0.01)$$





شکل (۴-۹): نحوه ی توزیع شدت توربولانسی (Turbulent intensity) در جریان آشفته بر روی صفحه مقعر

$$(u_{e1} = 13 \text{ m/s}, P_{cv} = 0.023)$$



شکل (۴-۱۰): نحوه ی توزیع شدت توربولانسی (Turbulent intensity) در جریان آشفته بر روی صفحه مقعر

$$(u_{e1} = 33 \text{ m/s}, P_{cv} = 0.01)$$

۱) مقادیر تنش برشی توربولانسی و شدت توربولانسی در اثر وجود انحنا مقعر دچار افزایش خواهند شد که این عامل نشان دهنده افزایش ناپایداریها در اثر وجود انحنا مقعر است نکته جالب توجه در مورد نحوه توزیع پارامترهای توربولانسی اینست که در این قسمت نیز توزیع مقادیر توربولانسی دارای دو مرحله کاملاً متفاوت از لحاظ کاهش و یا افزایش این مقادیر می باشد. که دقیقاً نحوه ی توزیع آنها شبیه حالت گرادیان فشار معکوس می باشد یعنی در عرض لایه مرزی و در ناحیه Inner layer روند صعودی و برعکس بعد از رسیدن این مقادیر به نقطه ی ماکزیمم وطی ناحیه ثبات (Constant region) شاهد کاهش تنش برشی توربولانسی و شدت توربولانسی در ناحیه Outer layer هستیم میزان گسترش ناحیه ثبات (Constant region) در این شرایط تا  $(\frac{y}{\delta} \approx (0.35 \sim 0.4))$  می تواند ادامه پیدا کند. این افزایش ناحیه مذکور به این معنی است که افزایش  $V_i$  شرایط را به گونه ای فراهم کرده است که بر کاهش  $\frac{\partial u}{\partial y}$  غلبه کرده و ناحیه ثبات را تا حدودی گسترش دهد.

۲) آنچه که توسط مولفان این پایان نامه به عنوان رابطه ای در جهت محاسبه مقدار ماکزیمم تنش برشی توربولانسی و شدت توربولانسی برای حالت‌های گرادیان فشار معکوس و صفحه مسطح آورده شد برای این قسمت به صورت زیر تعمیم داده میشود:

$$\frac{-\overline{u'v'_{\max}}}{u_{pw}^2} = \frac{C_f}{2\left(1 + \frac{\delta}{R}\right)} \quad \text{یا} \quad \frac{-\overline{u'v'_{\max}}}{u_{\tau}^2} = \frac{1}{\left(1 + \frac{\delta}{R}\right)}$$

که در حالت انحنا مقعر  $\left(\frac{\delta}{R}\right)$  به صورت منفی در نظر گرفته میشود.

۳) در بیان چگونگی توزیع مقدار ماکزیمم  $(-\overline{u'v'_{\max}})$  آنچه را که در مورد گرادیان فشار معکوس ذکر کردیم در اینجا نیز صادق است یعنی ما در حالت کلی شاهد افزایش درصدی از مقادیر در جهت طولی لایه مرزی هستیم و این به خاطر وجود  $V_i$  به عنوان یک پارامتر مهم در محاسبه مقادیر توربولانسی است. همچنین با

زهم تاکید می کنیم که اثرات پارامتر انحنا مقعر نیز همانند گرادیان فشار معکوس سبب افزایش تبادل مومنوم توربولانسی در بین اجزای سیال میگردد.

۴) در حالت انحنا مقعر نیز شاهد سهم بیشتری از  $\frac{\overline{v'^2}}{u_{pw}^2}$  نسبت به حالت صفحه مسطح هستیم به عبارت دیگر

با کاهش سهم  $(\overline{u'^2}$  و  $\overline{w'^2})$  از انرژی جنبشی توربولانسی درصد بیشتری در اختیار  $\overline{v'^2}$  قرار گرفته هر چند باز هم تاکید می کنیم که میزان  $(\overline{w'^2}$  و  $\overline{u'^2})$  از مقادیر رابطه های مذکور در صفحه مسطح به مراتب بیشتر است.

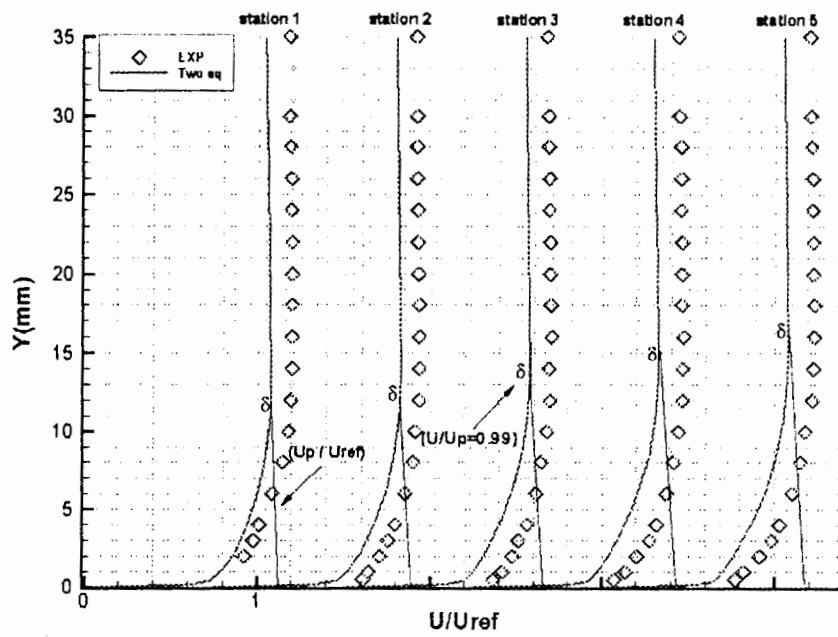
۵) افزایش  $(\frac{\delta}{R})$  باعث افزایش در مقادیر تنش برشی توربولانسی و شدت توربولانسی می گردد بطوریکه این پارامتر می تواند به عنوان یک عامل ناپایداری معرفی شود.

۶) در رسم نمودارهای مربوط به شدت های توربولانسی نیز شاهد شباهت این نمودارها به نمودار تنش برشی

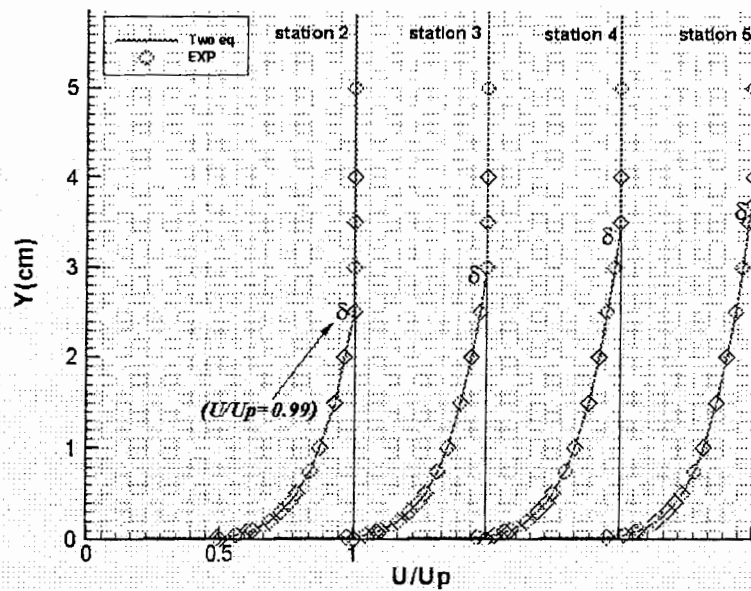
توربولانسی هستیم هر چند شباهت  $(\frac{\overline{v'^2}}{u_{pw}^2})$  تا حدودی به  $(\frac{-\overline{u'v'}}{u_{pw}^2})$  بیشتر خواهد بود که این به دلیل

نزدیکی مقادیر این دو پارامتر به همدیگر است از طرفی با زهم تاکید می کنیم که در میان مقادیر توربولانسی  $(\overline{u'^2})$  بیشترین مقدار و  $(\overline{w'^2})$  در مرحله بعدی و  $(\overline{v'^2})$  کمترین مقدار را خواهد داشت.

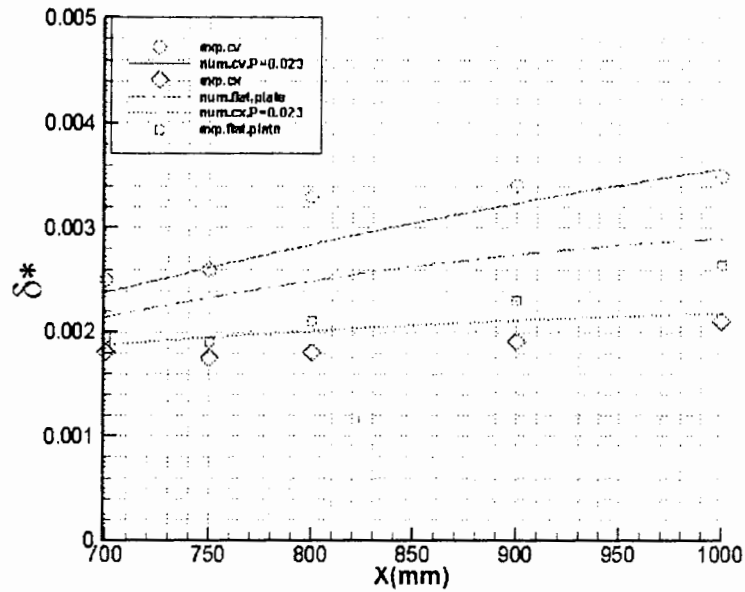
شکل (۴-۳-۳) بررسی نتایج مربوط به پروفیل های سرعت بر روی صفحه ی منحنی با انحنا محذب:



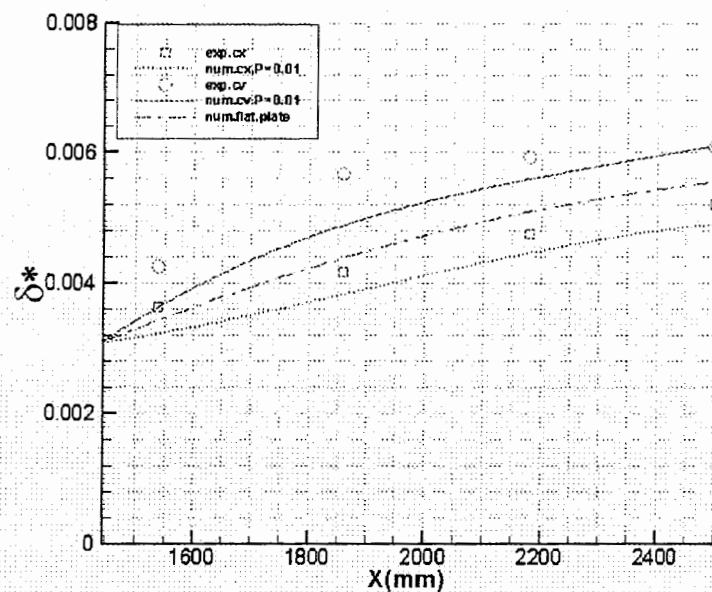
شکل (۴-۱۱): نحوه ی توزیع پروفیل های سرعت در جریان آشفته بر روی صفحه محذب ( $u_{el} = 13 \text{ m/s}, P_{cx} = 0.023$ )



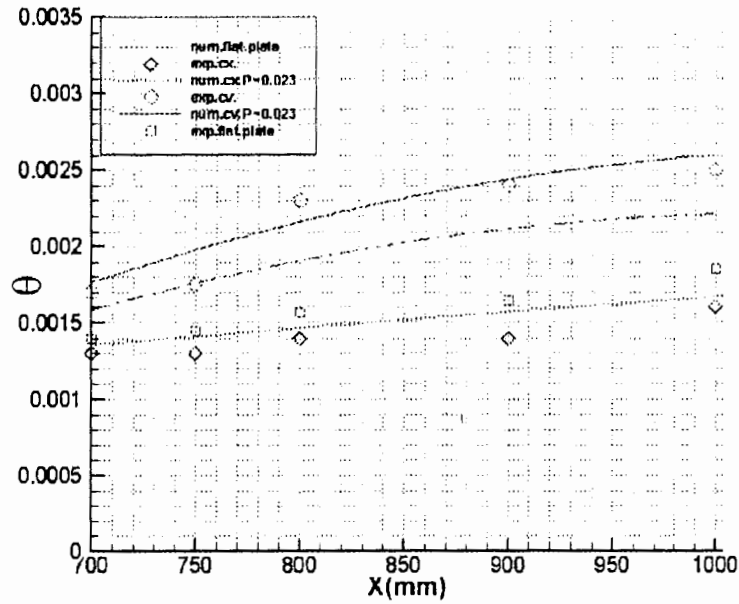
شکل (۴-۱۲): نحوه ی توزیع پروفیل های سرعت در جریان آشفته بر روی صفحه محذب ( $u_{el} = 33 \text{ m/s}, P_{cx} = 0.01$ )



شکل (۴-۱۳): نحوه ی توزیع ضخامت جابجایی (displacement thickness) در جریان آشفته بر روی صفحات محدب و مقعر  
 در مقایسه با صفحه مسطح ( $u_{e1} = 13 m/s, P_{cx} = 0.023$ )

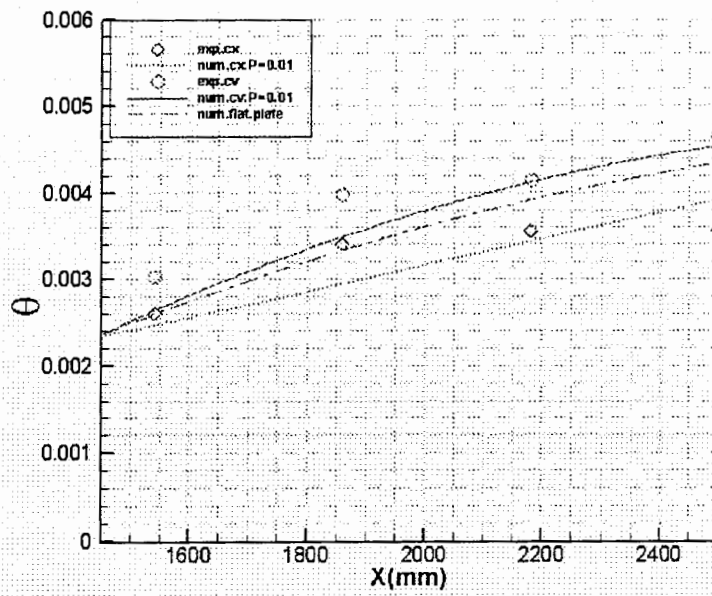


شکل (۴-۱۴): نحوه ی توزیع ضخامت جابجایی (displacement thickness) در جریان آشفته بر روی صفحات محدب و مقعر  
 در مقایسه با صفحه مسطح ( $u_{e1} = 33 m/s, P_{cx} = 0.01$ )



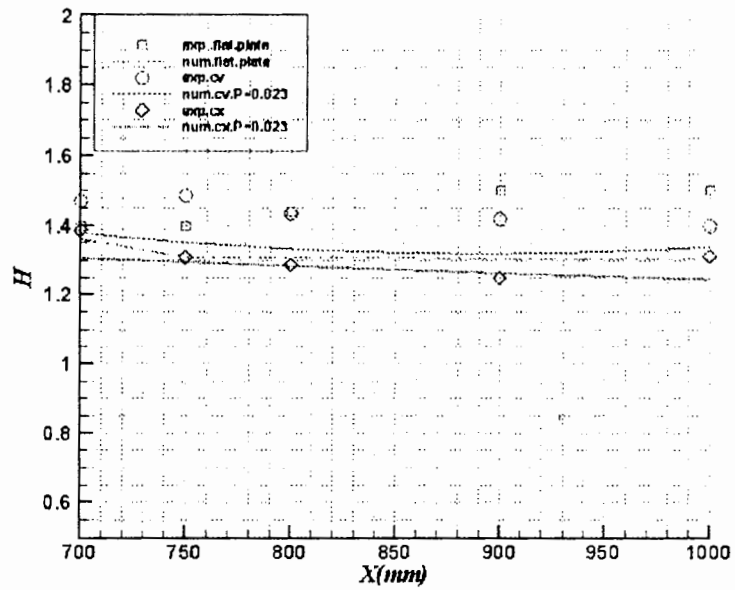
شکل (۴-۱۵): نحوه ی توزیع ضخامت مومنتوم (Momentum thickness) در جریان آشفته بر روی صفحات محدب و مقعر

( در مقایسه با صفحه مسطح  $(u_{e1} = 13 \text{ m/s}, P_{cx} = 0.023)$  )

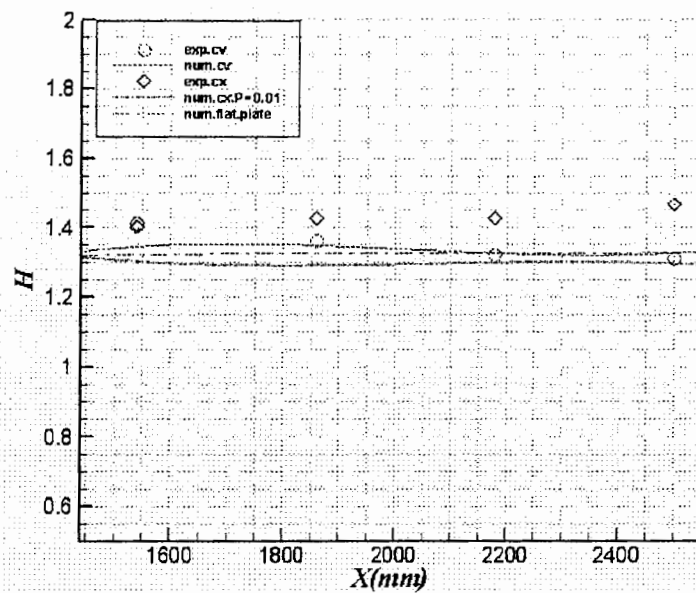


شکل (۴-۱۶): نحوه ی توزیع ضخامت مومنتوم (Momentum thickness) در جریان آشفته بر روی صفحات محدب و مقعر

( در مقایسه با صفحه مسطح  $(u_{e1} = 33 \text{ m/s}, P_{cx} = 0.01)$  )



شکل (۴-۱۷): نحوه ی توزیع ضریب شکل (shape factor) در جریان آشفته بر روی صفحات محدب و مقعر در مقایسه با صفحه مسطح ( $u_{e1} = 13 \text{ m/s}, P_{cx} = 0.023$ )



شکل (۴-۱۸): نحوه ی توزیع ضریب شکل (shape factor) در جریان آشفته بر روی صفحات محدب و مقعر در مقایسه با صفحه مسطح ( $u_{e1} = 33 \text{ m/s}, P_{cx} = 0.01$ )

۱) برخلاف آنچه که در مورد انحنا مقعروهمچنین جریان همراه با گرادیان فشار معکوس و جریان بر روی صفحه مسطح شاهد رشد نسبتاً زیاد لایه مرزی به خصوص در دو مورد اول هستیم در این جریان رشد ضخامت لایه مرزی بسیا کم مشود ولی نمی توان گفت کاهش ویا متوقف میشود هر چند بعضی از کارهای تجربی این گونه نشان میدهند که تا حدود با کارها ونتایج عددی در این زمینه تناقض وجود دارد اما میتوان این گونه تفسیر کرد که سطوح محدب از رشد زیاد ضخامت لایه مرزی جلوگیری میکنند. اما نکته حائز اهمیت در اینجا روند کاهش سرعت پتانسیل در عرض لایه مرزی است بدین صورت که حداکثر سرعت پتانسیل بر روی دیواره یا همان سطح محدب مانند تشکیل میشود و حداقل مقدار سرعت مذکور بر روی center line یا همان خط مرکزی ایجاد می گردد.

۲) افزایش پارامتر انحنا ( $\frac{\delta}{R}$ ) در حالت محدب سبب افزایش پایداری و کاهش در مقادیر ( $\delta, \delta^*, \theta$ ) می گردد و آنچه که در انجام این پروژه به آن دست یافتیم اینست که اثرات انحنا محدب نسبت به میزان پارامتر انحنا یکسان در حالت انحنا مقعر بیشتر است. [۶]

۳) همانطور که برای انحنا مقعر ذکر کردیم در این حالت هم گرادیان فشار در جهت (y) یا ( $\eta$ ) باعث میشود که مدل کردن ترم گرادیان فشار بسیار سخت دشوار باشد. که به دلیل تغییرات سرعت پتانسیل در دو جهت (X, Y) میباشد.

۴) اثرات مثبتی که انحنا محدب در کاهش ناپایداری جریان دارد در نحوه توزیع ترمهای توربولانسی به خوبی قابل درک است .

۵) هما نطور که در قسمتهای قبلی توضیح داده شد می توان گفت که سطوح محدب تمایل زیادی به کاهش روند افزایشی ضخامت لایه مرزی دارند که این تاثیرات (در میزان انحنا مشابه با حالت مقعر) بسیار بیشتر است یعنی کاهش که در ضخامت لایه مرزی وسایر پارامترهای لایه مرزی در اثر انحنا محدب ایجاد میشود به مراتب بیشتر از مقدار افزایشی است که توسط انحنا مقعر در مورد این پارامترها به وجود می آید. بنابراین می توان گفت که انحنا



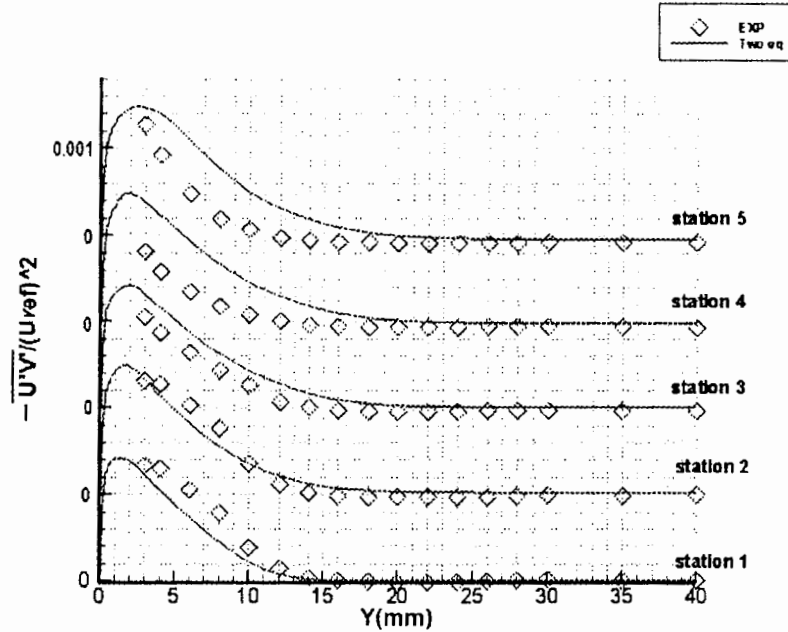
محدب موثرتر عمل می کند که باز هم تاکید می کنیم این تاثیرات به عینه در مورد توزیع ترمهای توربولانسی قابل تشخیص است .

همچنین ذکر این نکته الزامی است که پارامتر انحنا باید به صورت مثبت در نظر گرفته شود. [۱۵]

۶) مقدار  $(C_f)$  در حالت انحنا محدب روند کاهشی که تمایل به ثابت بودن دارد پیدا می کند دلیل این امر به خاطر تغییرات کم در  $(\tau_w)$  می باشد در صورتی که میزان  $(u_{pw})$  ثابت باقی بماند در این حالت میزان تغییرات  $(C_f)$  ناچیز خواهد بود اما در حالتی که  $(u_{pw})$  روند افزایشی داشته باشد در این شرایط شاهد کاهش شدید تر در مقادیر  $(u_{pw})$  در امتداد طولی لایه مرزی خواهیم بود. همچنین مقادیر  $(u_{pw})$  در مقایسه با سطوح صاف کمتر خواهد بود که این به دلیل وجود سرعت پتانسیلی بزرگتر در روی دیواره در حالت انحنا محدب می باشد که این تا حدودی به توجه کم بودن مقادیر  $(u_{pw})$  در روی سطوح محدب کمک می کند.

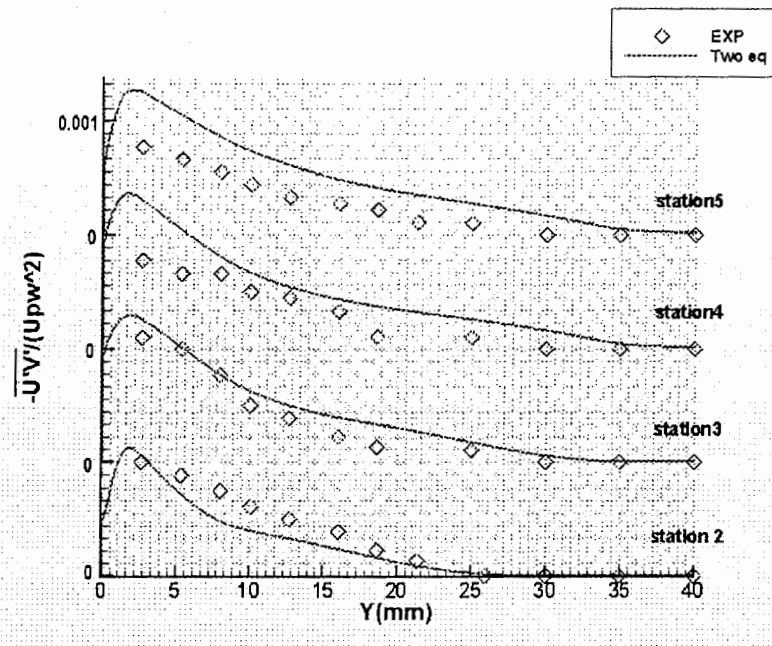
۷) توزیع H در طول لایه مرزی با توجه به رشد ناچیز  $(\delta^*, \theta)$  را می توان تا حدودی ثابت در نظر گرفت اما واقعیت اینست که در شرایطی که  $(\delta^*, \theta)$  دارای روند افزایشی بیشتری باشند در این شرایط کاهش H دور از انتظار نخواهد بود که در مقایسه با صفحه مسطح این مقادیر تا اندازه ای کوچکتر خواهند بود اما بعضی از کارهای تجربی در شرایطی که مقدار  $(C_f)$  توسط انحنا محدب به شدت کاهش یابد (افزایش حداکثری در سرعت پتانسیل بر روی دیواره) رشد ناچیزی را در مقادیر پارامتر مذکور نشان میدهند که این می تواند به عنوان تناقضی بین حل های عددی و تحقیقات تجربی باشد.

۴-۳-۴) اثرات انحنا محدب بر ترمهای توربولانسی لایه مرزی:



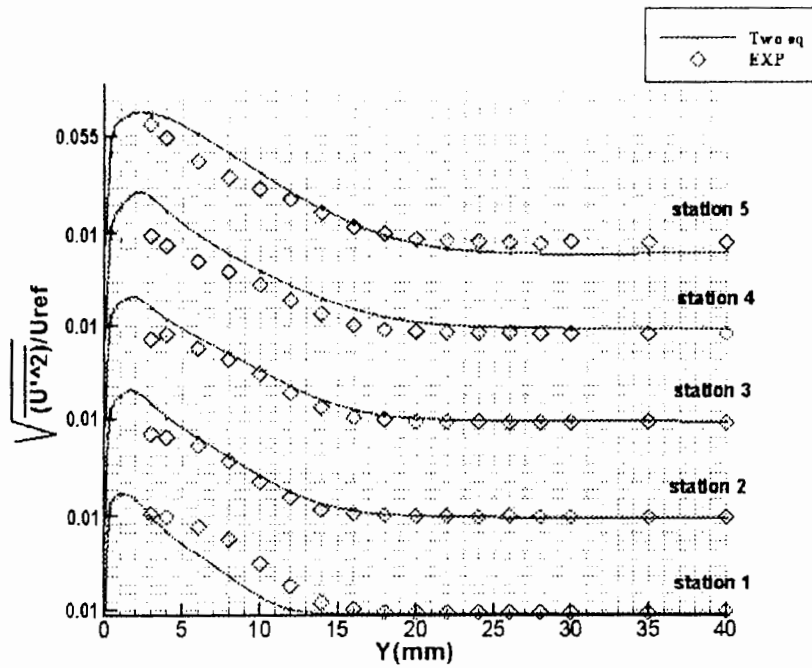
شکل (۴-۱۹): نحوه ی توزیع تنش برشی توربولانسی (Turbulent shear stress) در جریان آشفته بر روی صفحه محدب

$$(u_{e1} = 13 \text{ m/s}, P_{cx} = 0.023)$$



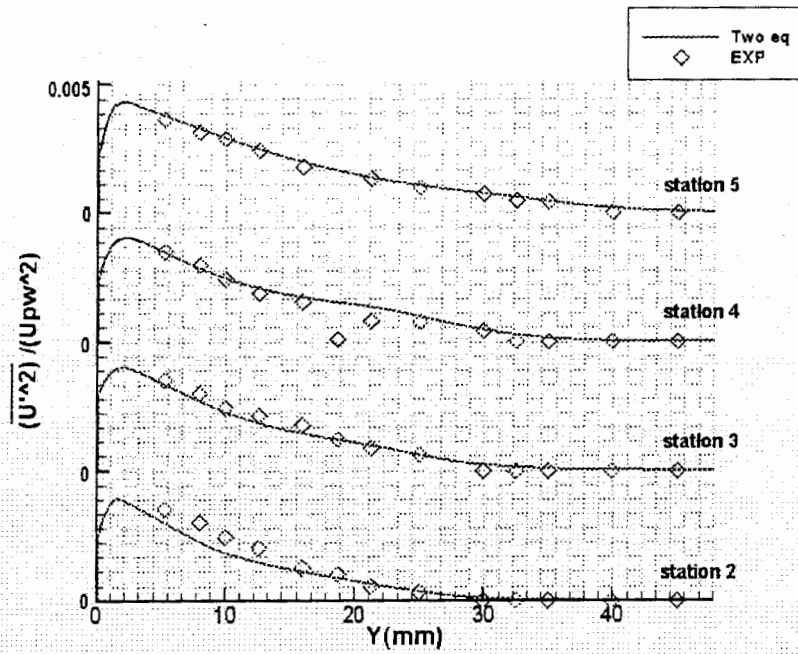
شکل (۴-۲۰): نحوه ی توزیع تنش برشی توربولانسی (Turbulent shear stress) در جریان آشفته بر روی صفحه محدب

$$(u_{e1} = 33 \text{ m/s}, P_{cx} = 0.01)$$



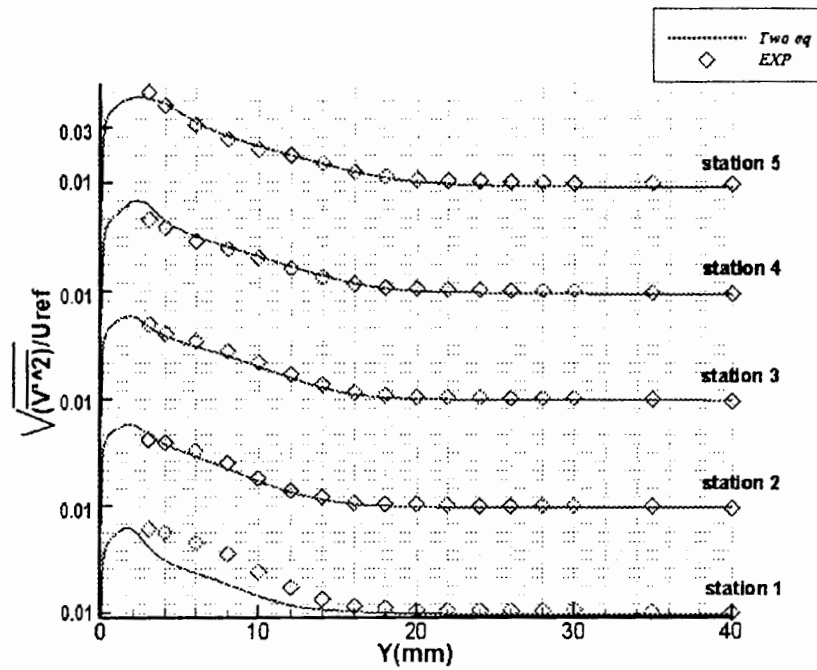
شکل (۴-۲۱): نحوه ی توزیع شدت توربولانسی (Turbulent intensity) در جریان آشفته بر روی صفحه محدب

$$(u_{e1} = 13 \text{ m/s}, P_{cx} = 0.023)$$



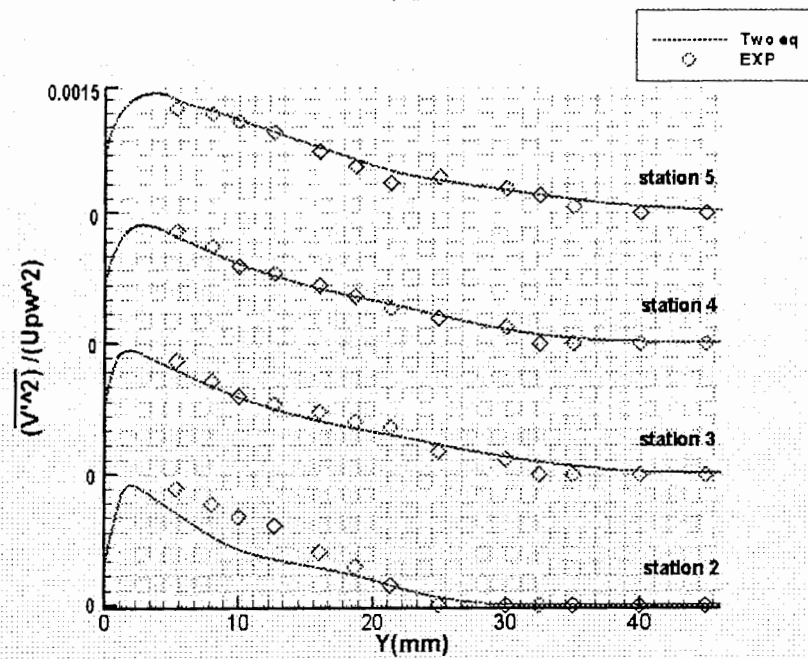
شکل (۴-۲۲): نحوه ی توزیع شدت توربولانسی (Turbulent intensity) در جریان آشفته بر روی صفحه محدب

$$(u_{e1} = 33 \text{ m/s}, P_{cx} = 0.01)$$



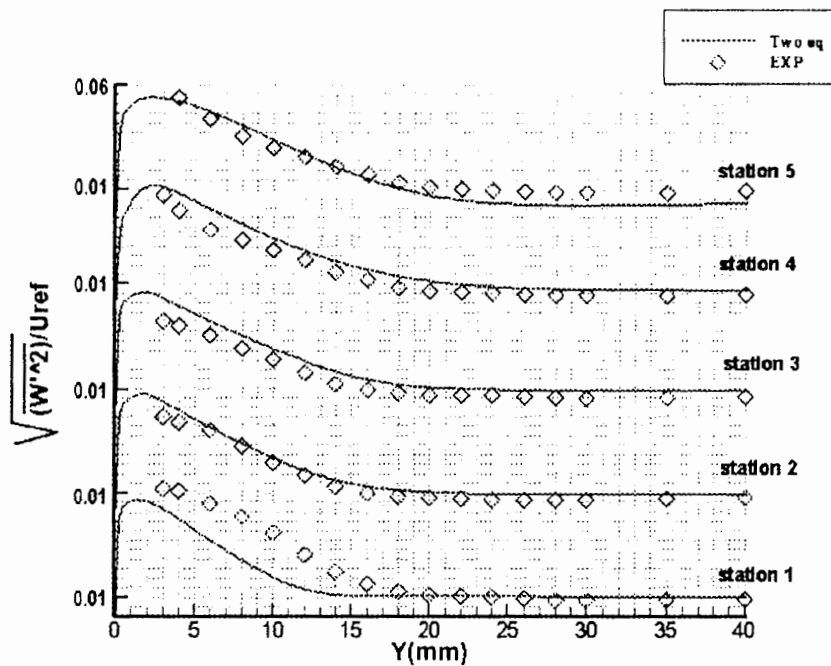
شکل (۴-۲۳): نحوه ی توزیع شدت توربولانسی (Turbulent intensity) در جریان آشفته بر روی صفحه محدب

$$(u_{e1} = 13 \text{ m/s}, P_{cx} = 0.023)$$



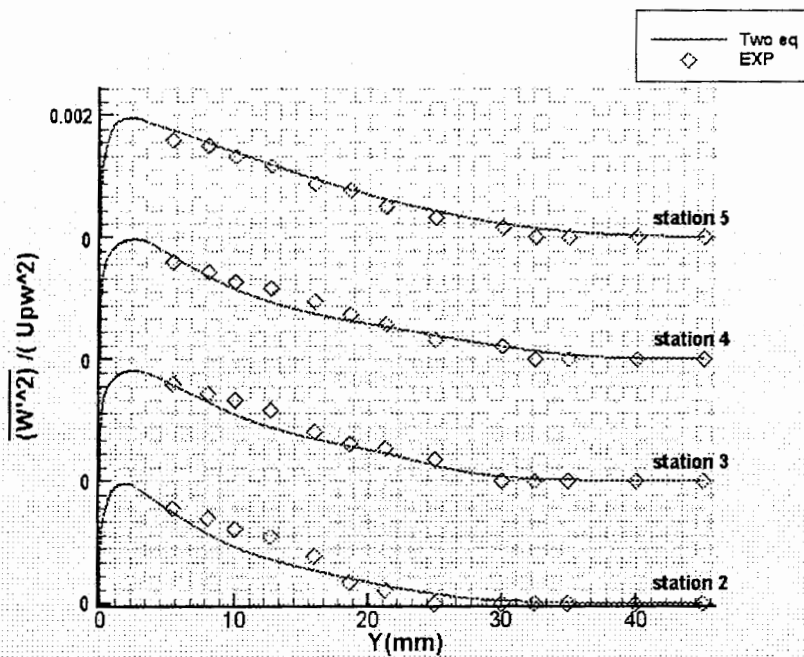
شکل (۴-۲۴): نحوه ی توزیع شدت توربولانسی (Turbulent intensity) در جریان آشفته بر روی صفحه محدب

$$(u_{e1} = 33 \text{ m/s}, P_{cx} = 0.01)$$



شکل (۴-۲۵): نحوه ی توزیع شدت توربولانسی (Turbulent intensity) در جریان آشفته بر روی صفحه محدب

$$(u_{e1} = 13 \text{ m/s}, P_{cx} = 0.023)$$



شکل (۴-۲۶): نحوه ی توزیع شدت توربولانسی (Turbulent intensity) در جریان آشفته بر روی صفحه محدب

$$(u_{e1} = 33 \text{ m/s}, P_{cx} = 0.01)$$

۱) با توجه به اثرات مهم سطوح با انحنا محدب در کاهش ناپایداریهای توربولانسی مقادیر تنش برشی توربولانسی و شدت توربولانسی دچار تغییراتی اساسی در لایه مرزی خواهند شد برخلاف انحنا مقعر که مقدار ماکزیمم ترمهای توربولانسی ذکر شده بزرگتر از مقادیر این ترمها در صفحه مسطح بود در این حالت (انحنا محدب) شاهد کاهش این مقادیر ماکزیمم هستیم بطوریکه این کاهش بیشتر از افزایش صورت گرفته توسط انحنا مقعر می باشد.

۲) توزیع ترمهای توربولانسی در حالت انحنا محدب نیز همانند سایر موارد قبلی شامل دو مرحله افزایشی و کاهشی در عرض لایه مرزی می باشد. اما ضخامت ناحیه افزایشی یا همان (inner layer) بسیار کم خواهد بود از طرفی میتوان گفت محدوده ناحیه ثبات (constant region) نیز بسیار ناچیز است. در حالت انجام شده برای این پروژه تقریباً ضخامت ناحیه گفته شده کمتر از  $(0.07\delta)$  می باشد.

۳) میزان ماکزیمم تنش برشی توربولانسی و شدت توربولانسی حدوداً برای یک پارامتر انحنا ثابت مقداری ثابت در طول لایه مرزی خواهد بود. تنها مسئله مهم در هنگام بررسی پروفیل های توربولانسی در موقعیت های مختلف میزان افزایش این مقادیر در ناحیه (outer layer) نسبت به موقعیت های طولی قبلی می باشد اما مهمترین نکته که در این جا قابل بیان است تفاوت حل های عددی و کارهای تجربی است که در زمینه مطلب پیشین با تناقض دارند یعنی اینکه کارهای تجربی در حالت انحنا محدب کاهش مقادیر توربولانسی در ناحیه (outer layer) را با حرکت در امتداد طولی لایه مرزی نشان میدهند اما همانطور که گفتیم در حل های عددی که صورت گرفت این مسئله نقض شده و افزایش جزئی را در این مورد نشان میدهد. این نتیجه اخیر با حل DNS صورت گرفته توسط گروهی از محققان در دانشگاه توکیو ژاپن تطابق کامل دارد [۷].

۴) در حالی که شباهت زیادی بین منحنی های  $(\frac{\overline{u'^2}}{u_{pw}^2}, \frac{\overline{v'^2}}{u_{pw}^2}, \frac{\overline{w'^2}}{u_{pw}^2})$  وجود دارد باید این را خاطر نشان کرد

که بر خلاف کارهای قبلی که شاهد افزایش نسبت  $(\frac{\overline{v'^2}}{u'^2})$  در مقایسه با صفحه مسطح بودیم اما در این قسمت

شاهد تقریبا کاهش نسبت مذکور در مقایسه با حالت صفحه مسطح هستیم در این حالت البته طبق شرایط قبلی بیشترین مقدار شدت توربولانسی مربوط به  $(\overline{u'^2})$  و در مراحل بعدی  $(\overline{v'^2}$  و  $\overline{w'^2})$  به ترتیب قرار دارند. (۵) فرمول جدیدی که در اینجا برای تعیین مقدار ماکزیمم  $(-\overline{u'v'}_{\max})$  برای حالت انحنا محدب بیان میشود دقیقا شبیه به حالت مقعر است با این تفاوت که به جای  $(\frac{\delta}{R})$  منفی باید مقدار مثبت آن در نظر گرفته شود.

$$\left( \frac{-\overline{u'v'}_{\max}}{u_{\mu\mu}^2} = \frac{C_f}{2 \left( 1 + \frac{\delta}{R} \right)} \right)$$

یا:

$$\frac{-\overline{u'v'}_{\max}}{u_{\tau}^2} = \frac{1}{\left( 1 + \frac{\delta}{R} \right)}$$

محاسبه خطای موجود بین مقادیر بدست آمده از حل عددی در مقایسه با کارهای تجربی:

جهت بدست آوردن خطاهای محاسباتی و تفاوتی که بین مقادیر عددی و تجربی وجود دارد چهار گروه از کارهای تجربی توضیح داده شده در قسمت (۳-۴) که شامل مقادیر تجربی مربوط به سطوح محدب و مقعر با پارامتر انحنا  $\frac{\delta}{R} = 0.023$  و سطح محدب و مقعر با پارامتر انحنا  $\frac{\delta}{R} = 0.01$  می باشد جهت بدست آوردن خطا مورد استفاده قرار گرفته اند که در چهار جدول جداگانه به ترتیب آورده شده است. از مقایسه مقادیر میانگین خطای بدست آمده در مورد سطوح محدب و مقعر با پارامتر انحنا  $\frac{\delta}{R} = 0.023$  مشاهده شد که میزان خطا در حالت انحنا مقعر در ارتباط با ترمهای توربولانسی و به خصوص تنش برشی توربولانسی نسبت به انحنا محدب بیشتر بوده و از طرفی عکس این موضوع در مورد سطوح منحنی با انحنا  $\frac{\delta}{R} = 0.01$  برقرار است که می توان این را به نحوه بدست آوردن مقادیر تجربی نسبت داد.

موقعیتهای طولی				
۱,۰۱m	۱,۰۶۵m	۱,۱۲m	۱,۲۳m	۱,۳۴m
میانگین خطای محاسبه شده برای پروفیل های سرعت در مقایسه با مقادیر تجربی (مقادیر برحسب درصد)				
۲,۱۰۹	۴,۲۸۳	۵,۱۸۷	۶,۲۸۷	۴,۸۰۵
میانگین خطای محاسبه شده تنش برشی توربولانسی در مقایسه با مقادیر تجربی (مقادیر برحسب درصد)				
۴,۳۷۵	۱۱,۵۸۳	۱۴,۶۶۶	۱۲,۰۳۳	۱۲,۶۲۸
میانگین خطای محاسبه شده $\overline{u'^2}$ در مقایسه با مقادیر تجربی (مقادیر برحسب درصد)				
۲,۳۳۳	۳,۹۰۹	۵,۱۶۶	۶,۶۵۳	۲,۶۷۸
میانگین خطای محاسبه شده $\overline{v'^2}$ در مقایسه با مقادیر تجربی (مقادیر برحسب درصد)				
۱,۲۵۰	۲,۹۳۴	۵,۱۳۶	۵,۹۱۳	۴,۴۲۳
میانگین خطای محاسبه شده $\overline{w'^2}$ در مقایسه با مقادیر تجربی (مقادیر برحسب درصد)				
۱,۷۶۶	۵,۰۶۲	۵,۲۶۶	۶,۱۶۳	۸,۷۸۲

جدول (۲-۴): خطای محاسبه شده برای مقادیر عددی بدست آمده در مقایسه با کار تجربی در روی

$$\text{صفحه مقعر} (P_{ex} = 0.023, u_{e1} = 13 \text{ m/s})$$



موقعیتهای طولی				
۰,۹۹m	۱,۰۳۵m	۱,۰۸m	۱,۱۷m	۱,۲۶m
میانگین خطای محاسبه شده برای پروفیل های سرعت در مقایسه با مقادیر تجربی (مقادیر برحسب درصد)				
۸,۳۷۵	۸,۰۷۵	۹,۶۶۷	۹,۸۷۵	۹,۲۸۷
میانگین خطای محاسبه شده تنش برشی توربولانسی در مقایسه با مقادیر تجربی (مقادیر برحسب درصد)				
۹,۷۵۰	۴,۳۷۵	۵,۲۶۷	۱۱,۶۶۶	۱۰,۷۸۸
میانگین خطای محاسبه شده $\overline{u^2}$ در مقایسه با مقادیر تجربی (مقادیر برحسب درصد)				
۱۰,۸۶۸	۴,۵۸۷	۶,۰۱۸	۸,۵۲۸	۷,۶۸۷
میانگین خطای محاسبه شده $\overline{v^2}$ در مقایسه با مقادیر تجربی (مقادیر برحسب درصد)				
۸,۲۶۷	۲,۴۴۴	۲,۶۱۴	۲,۸۴۶	۲,۰۳۹
میانگین خطای محاسبه شده $\overline{w^2}$ در مقایسه با مقادیر تجربی (مقادیر برحسب درصد)				
۱۰,۸۷۸	۳,۸۶۶	۴,۰۸۵۷	۴,۶۱۵	۳,۱۶۸

جدول (۳-۴): خطای محاسبه شده برای مقادیر عددی بدست آمده در مقایسه با کار تجربی در روی

$$\text{صفحه محدب} (u_{cl} = 13 \text{ m/s}, P_{cx} = 0.023)$$

موقعیتهای طولی				
۱,۳۰۵m	۱,۵۳۵m	۱,۸۴m	۲,۱۴۵m	۲,۴۵m
میانگین خطای محاسبه شده برای پروفیل های سرعت در مقایسه با مقادیر تجربی (مقادیر برحسب درصد)				
۱,۰۱۲	۰,۹۱۴	۱,۰۶۲	۱,۰۷۱	۱,۰۰۷
میانگین خطای محاسبه شده تنش برشی توربولانسی در مقایسه با مقادیر تجربی (مقادیر برحسب درصد)				
۴,۵۲۱	۱۰,۰۱۲	۴,۲۶۷	۱۲,۱۵۶	۱۰,۷۷۷
میانگین خطای محاسبه شده $u'^2$ در مقایسه با مقادیر تجربی (مقادیر برحسب درصد)				
۳,۱۴۵	۵,۰۴۸	۲,۷۹۰	۴,۴۵۷	۳,۰۹۴
میانگین خطای محاسبه شده $v'^2$ در مقایسه با مقادیر تجربی (مقادیر برحسب درصد)				
۳,۹۶۰	۹,۱۵۹	۲,۷۵۳	۳,۰۲۱۵	۴,۱۴۹
میانگین خطای محاسبه شده $w'^2$ در مقایسه با مقادیر تجربی (مقادیر برحسب درصد)				
۴,۰۱۷	۷,۷۰۲	۲,۰۸۰۱	۲,۷۵۶	۴,۵۹۸

جدول (۴-۴): خطای محاسبه شده برای مقادیر عددی بدست آمده در مقایسه با کار تجربی در روی

$$\text{صفحه محدب} (u_{e1} = 33 \text{ m/s}, P_{cx} = 0.01)$$

موقعیتهای طولی				
۱,۳۰۵m	۱,۵۴m	۱,۸۶m	۲,۱۸m	۲,۵m
میانگین خطای محاسبه شده برای پروفیل های سرعت در مقایسه با مقادیر تجربی (مقادیر برحسب درصد)				
۱,۰۱۲	۱,۰۳۵	۱,۷۴۷	۰,۸۵۶	۰,۷۹۲
میانگین خطای محاسبه شده تنش برشی توربولانسی در مقایسه با مقادیر تجربی (مقادیر برحسب درصد)				
۴,۵۲۱	۳,۳۵۸	۴,۰۷۴۹	۶,۷۸۲	۶,۹۳۵

جدول (۴-۵): خطای محاسبه شده برای مقادیر عددی بدست آمده در مقایسه با کار تجربی در روی

$$\text{صفحه مقعر} (u_{e1} = 33 \text{ m/s}, P_{cx} = 0.01)$$

فصل پنجم:

نکاتی دیگر در مورد حل عددی معادلات لایه مرزی

### نکاتی دیگر در مورد حل عددی معادلات لایه مرزی

واضح است که برای مدلسازی جریان‌ات آشفته لازم است که دانش و آگاهی کافی راجع به این جریان‌ات و نیز مدل‌های موجود و توانائی هر یک وجود داشته باشد. این دانش ما را قادر خواهد ساخت که مدل آشفته‌گی بهینه را بر مبنای دقت مورد نیاز انتخاب نمود. این دانش همچنین این توانائی را به ما خواهد داد تا بتوان ارزیابی صحیحی از جواب داشت و بتوان در مورد واقعی و فیزیکی بودن جواب‌های بدست آمده اظهار نظر نمود. این چنین ارزیابی‌هایی بر روی جواب به دست آمده اغلب مستلزم انجام دادن عملیات‌های اضافی نظیر چک کردن حساسیت جواب به دست آمده و شرایط مرزی انتخاب شده و نیز شکل و توزیع المانهای میدان و دیگر پارامترهای عددی یا فیزیکی مساله می باشد. [۲]

(۵-۱) شرایط اولیه برای مدل‌های دو معادله‌ای:

تجربه نشان داده است که ویژگی‌های همگرایی برای مسائل درگیر با مدل‌های دو معادله‌ای، چنانچه از مقادیر غیر صفر به عنوان حدس اولیه برای  $k, \varepsilon$  استفاده می‌شود. به طرز قابل توجهی بهبود می‌یابد. بنابراین روش پیشنهادی آن است که از میدانهای اولیه غیر صفر برای کمیت‌های  $k, \varepsilon$  استفاده گردد. این امر مستقل از این است که مدل‌سازی صورت گرفته در شرایط جریان دائمی است یا جریان گذرا. [۲]

مقادیر اولیه برای  $k$  را می‌توان برابر مقادیر مشخصه به دست آمده از معادلات زیر:

$$k = \tau u_{\infty}^2 \quad (۵-۱)$$

که در آن  $\tau$  شدت آشفستگی می‌باشد.

یا در مورد مسائل درگیر با تونل باد:

$$k = 1.5(\overline{u'^2}) = 1.5(\tau u_{\infty})^2 \quad (۵-۲)$$

و برای  $\varepsilon$ :

$$\varepsilon = \frac{k^{\frac{3}{2}}}{0.1\delta} \quad (۵-۳)$$

یا

$$\varepsilon = \rho c_{\mu} \frac{k^1}{R_{\mu}\mu} \quad (۵-۴)$$

که

$$R_{\mu} = \frac{\mu_t}{\mu} \quad (۵-۴-۱)$$

اما آنچه که ما در انجام پروژه مذکور از آن استفاده کردیم به صورت زیر است:

$$k = \frac{\left( l_m \frac{\partial u}{\partial y} \right)^2}{c_{\mu}^{\frac{1}{2}}} \quad (۵-۵)$$

$$\varepsilon = c_{\mu} k^2 \left( l_m^2 \frac{\partial u}{\partial y} \right)^{-1} \quad (۵-۶)$$

که  $l_m$  همان طول اختلاطی جریان است.

۵-۲) چند نکته دیگر در مورد شبکه بندی:

۵-۲-۱) تراکم شبکه و توزیع فضائی آن:

واضح است که برای مدلسازی جریانات آشفته با استفاده از مدل‌های دو معادله‌ای در مقایسه با جریانات آرام و با مدل‌های صفر معادله‌ای نیاز به شبکه محاسباتی ریزتری می‌باشد. این امر به این خاطر است که در جریانات معمولی متغیرهای آشفته‌گی تحت تغییرات شدیدتر مکانی قرار داشته و لذا این متغیرها و المانهای مربوط به آنها حاوی جزئیات بسیار بیشتر در بطن خود به نسبت متغیرهای جریان متوسط می‌باشند.

بنابراین چنانچه حتی جواب مستقل از شبکه میدان جریان متوسط به دست آمده باشد شبکه محاسباتی ایجاد شده بایستی به منظور به دست آوردن جزئیات دقیق میدان  $k, \epsilon$  به اندازه کافی ریز باشد. یعنی چه بسا با تقسیم یک المان به چند المان کوچکتر، تغییر چندانی در میدان جریان متوسط موضعی مشاهده نشود لیکن تغییرات قابل توجهی در متغیرهای جریان آشفته موضعی می‌تواند به وجود آید.

از طرفی در طراحی و ساخت شبکه محاسباتی دقت داشت که توزیع مکانی یکنواختی از نودها در داخل میدان جریان به دست آید. جهشهای ناگهانی در تراکم شبکه می‌تواند باعث نوسانات مکانی غیر واقعی در متغیرهای میدان جریان گردد، بالاخص چنانچه این تغییرات ناگهانی در راستای جریان و در نواحی با عدد رینولدز بزرگ رخ داده باشد. در موارد خیلی حاد، آنچه که اصطلاحاً Wiggles نامیده می‌شود باعث واگرا شدن حل خواهد شد. [۵]

۲-۵) کنترل ضخامت المانها (سلولها) در نزدیکی دیواره در صورتی که از مدل رینولدز بالا استفاده شود:

برای مدل‌های رینولدز بالا نظیر مدل  $k-\epsilon$  برای اطمینان یافتن از اینکه لایه اول المانها به قدر کافی ضخیم می باشد تا بتوان با اطمینان از قرار گرفتن زیر لایه لزج و ناحیه گذرا در داخل آن از توابع دیواره استفاده نمود بهتر است نمودار  $y^+$  روی دیواره ها ترسیم گردد. چنانچه مقدار برای تمام یا بخش عمده‌ای از المانها ( یا سلولها) نزدیک دیواره بزرگتر از ۳۰ باشد در این صورت میتوان گفت که این المانها ( یا سلولها) به قدر کافی ضخیم می باشند. چنانچه برای برخی از المانها ( یا سلولها) مقدار کوچکتر از ۳۰ درآمده باشد در صورتیکه این اتفاق در نواحی بحرانی و مهم جریان رخ نداده باشد، در این صورت می توان با دیده اغماض از کنار این مساله گذشت. (البته همچنانکه بارها گفته شد حد بالای محدوده گذرا، یعنی  $y^+ = 30$  تنها یک عدد تقریبی است و این حد می تواند در مسائل مختلف تغییر قابل توجهی داشته باشد).

در مسائلی که شامل پدیده های جدایش آرام و ملایم می باشند ( نظیر آنچه در روی سطوح با شیب ملایم ، مثلا در دیفیوزرها ، رخ می دهد و یا بر روی سطوح منحنی وار ، مثلا جریان درون کانالهای پیچیده شده و یا اتصالات U شکل) میدان جریان پیش بینی شده به مقادیر  $y^+$  بالا دست نقطه جدایش حساس می باشد. در این موارد دقیقترین جوابها هنگامی به دست می آیند که مقادیر  $y^+$  در بالادست نقطه جدایش جریان پتانسیل در محدوده  $30 \leq y^+ \leq 100$  حفظ شده باشد. [۱،۲]

برای مدل‌های رینولدز پائین ، نظیر مدل  $k-\epsilon$  ، بهترین راه برای چک کردن اینکه آیا المانهای نزدیک دیواره به حد کافی ریز هستند یا نه ؟ آن است که مقدار ویسکوزیته مولکولی را با مقدار ویسکوزیته آشفته بر روی نودهای مجاور دیواره مقایسه نمائیم. به صورت تئوریک نبایستی مقدار ویسکوزیته آشفته فراتر از مقدار ویسکوزیته مولکولی برود. چنانچه این اتفاق بیافتد، بایستی از المانهای ریزتر در نزدیکی دیواره استفاده نمود.

۳-۵) منابع ناپایداری حل:

چندین منبع اصلی ناپایداری وجود دارد که چنانچه مورد توجه قرار نگیرند باعث خراب شدن اثرات مفید استفاده از مدل‌های دو معادله‌ای می‌شوند اما مهمترین آن بدین صورت ظاهر میشود:

ناپایداریهای جریانات حاوی نواحی آرام و آشفته در کنار یکدیگر:

ناپایداریها گاهی خود را به صورت مقادیر غیر فیزیکی و حتی مقادیر  $k, \varepsilon$  منفی نشان می‌دهند. (کمیت‌های  $k, \varepsilon$  کمیت‌هایی هستند که از لحاظ فیزیکی همواره مثبت بوده و هیچگاه نمی‌توانند مقدار منفی اختیار نمایند) گاهی نیز ناپایداریها خود را به صورت مقادیر بسیار غیر واقعی طول مقیاس و زمان مقیاس جریان آشفته ناشی از مقادیر بسیار کوچک در میدان جریان و در نواحی از میدان جریان که سطح آشفتگی جریان در عمل ناگهان کاهش چشمگیری می‌یابد نشان میدهند. علت این ناپایداریها در داخل معادلات نهفته است.

منبع ناپایداری هنگامی رخ می‌دهد که از یک مدل دو معادله‌ای برای پیش بینی جریاناتی استفاده شود که هم دارای نواحی آرام و هم دارای نواحی آشفته همزمان در کنار یکدیگر در یک مساله فیزیکی باشند.

در مدل‌های استاندارد  $k, \varepsilon$  رینولدز بالای از آنجا که به کرات با نسبت‌های مختلف بین  $k, \varepsilon$  مواجه می‌گردیم مثلا  $\frac{k^2}{\varepsilon}, \frac{k}{\varepsilon}, \frac{\varepsilon}{k}$  با ترم‌هایی مانند مواجه می‌شویم و اندازه ترم‌های  $k, \varepsilon$  در نواحی عاری از آشفتگی هر یک نزدیک به صفر می‌باشند لذا نسبت‌های مذکور معنای ریاضی خود را از دست می‌دهند و یا به عبارت دیگر دارای مقدار مبهم و نامشخصی خواهند شد. از سوی دیگر در این نواحی، از آنجا که مقادیر بسیار نزدیک به صفر می‌باشند لذا این نسبتها نسبت به هر گونه تغییرات اغتشاشی در اندازه بسیار حساس بوده و شروع به نوسانات شدید و غیر عادی از یک نود به نود بعدی می‌کنند. این امر میتواند بر روی پایداری عددی محاسباتی تأثیر تخریبی داشته و این رفتار ناپایدار به سرعت به داخل نواحی تماما آشفته انتشار یات و ظرف چند تکرار به سرعت حل عددی را آلوده سازد.



۱-۳-۵) روش پایدارسازی:

برای پایدارسازی باید برای هر یک از این ترمهای گفته شده باید برای مقادیر  $k, \varepsilon$  یک حد پایین در نظر گرفته شود که این مقادیر از این حد مثبت در نظر گرفته شده به پایین تر سقوط نکند یعنی می توان با در نظر گرفتن مقداری برای  $k, \varepsilon$  در جریان آزاد هر چند بسیار کوچک هم باشد از مبهم شدن مثالهای بیان شده در قسمت قبلی جلوگیری کرد. البته در بعضی از کتابها برای تخمین این حد پایین حدوداً ده هزار بار کوچکتر از ماکزیمم مقادیر  $k, \varepsilon$  پیشنهاد میشود. [۲]

۴-۵) لزوم استفاده از مدل رینولدز پایین و مدلسازی ناحیه زیر لایه لزج نزدیک دیواره:

جریانات آشفته به شدت متأثر از حضور دیواره های جامد می باشند. واضح است که سرعت متوسط جریان به واسطه شرط عدم لغزش متأثر از حضور دیواره خواهد شد. آشفتگی در نزدیکی دیواره به طرق مختلفی متأثر می گردد. در فاصله بسیار نزدیک به دیواره اثرات میرائی لزجت سیال باعث کاهش نوسانات سرعت در راستای مماسی می گردد. در حالیکه انسداد دیواره باعث کاهش نوسانات در راستای عمود بر دیواره می گردد. کمی بالاتر از دیواره در حوالی ناحیه ای که اثرات میرائی لزجت کاهش یافته است، آشفتگی به سرعت و به واسطه تولید انرژی جنبشی آشفتگی ناشی از گرادیانهای شدید سرعت متوسط افزایش می یابد. مدلسازی نواحی نزدیک دیواره به شدت صحت و سقم مسائل عددی را متأثر از خود می سازد تا آنجائیکه می توان دیوارها را منبع اصلی ایجاد آشفتگی جریان نام برد، از طرفی این ناحیه نزدیک دیوار است که متغیرهای جریانی در آن نواحی با گرادیانهای بالا تغییر می نمایند، انتقال ممنتوم و سایر کمیت های اسکالر از طریق این ناحیه صورت می پذیرد. لذا هرچه حضور فیزیکی دیوارها و جریان سیال مجاور آنها در مسائل عددی بهتر و دقیقتر مورد توجه قرار گیرند مدلسازی عددی انجام شده به نتایج فیزیکی و تجربی نزدیکتر خواهد بود.

از طرفی می دانیم که معادلات حاکم بر مدلهائی همچون مدلهای دو معادله ای  $k, \epsilon$  استاندارد براساس فرض جریان کاملاً آشفته نوشته شده اند لذا این قبیل مدلها اغلب برای هسته مرکزی آشفته جریان مناسب هستند و استفاد از مدلهای مزبور برای نواحی نزدیک دیواره که جریان آرام می باشد مناسب نبوده و اغلب با مشکل عدم دقت و خطای بالای محاسباتی مواجه می شوند. بنابراین برای به دست

آوردن پروفیل خواص در نزدیک دیواره از دو روش استفاده می گردد: [۱،۴]

الف - استفاده از توابع دیواره

ب - استفاده از مدلهای دو معادله ای رینولدز پائین

استفاد از توابع دیواره نیاز به اصلاح مدل‌های آشفتگی را برطرف می‌سازد لیکن مشکل اصلی این توابع محدودیت استفاد از آنها در جریان‌ات مختلف می‌باشد.

استفاده از مدل‌های دو معادله‌ای رینولدز پائین اگرچه حجم محاسباتی بیشتری را می‌طلبد لیکن به واسطه حل معادله به جای استفاده از معادلات پروفیل ثابت دقیقتر خواهد بود.

همانطور که می‌دانیم توابع دیواره توابعی هستند که تغییرات خاصی نظیر  $k, \epsilon, u, T$  را در ناحیه نزدیک دیواره بیان می‌کنند. در استفاده از توابع دیواره بایستی دقت داشت اگرچه برای تمام نواحی زیر لایه لزج، ناحیه گذرا و ناحیه تماما آشفته صادق هستند ولی به واسطه محدود بودن دقت این توابع و حساسیت جواب نهایی به خطاهای عددی تنها برای نواحی زیر لایه لزج و ناحیه گذرا مورد استفاده قرار گیرند. یعنی حل معادلات جریات آشفته از ابتدای ناحیه جریان تماما آشفته مثلا  $y^+ \geq 30$  آغاز شوند.  $y^+ \geq 50$

به عبارت دیگر اولین المان بهتر است در  $y^+ = 50$  یا  $y^+ = 30$  قرار داشته باشد (متغیر بودن محدوده ۳۰ تا ۵۰ به واسطه متغیر بودن نقطه شروع جریان تماما در مسائل مختلف می‌باشد). [۲،۵]

استفاده از روش توابع دیواره تنها در جریان‌ات غیر جدایشی دو بعدی به گفته محققان اعتبار دارد و برای جریان‌ات جدایشی، لایه مرزی آشفته در اعداد رینولدز گذرا و پائینتر از گذرا جریان‌ات جدایشی، جریان‌ات غیر دائمی و وابسته به زمان، جریان روی سطوح دوار، جریان روی سطوح با انتقال حرارت و یا جریان بر روی سطوح با انتقال جرم (ناشی از دمش یا مکش یا غیره) استفاده از توابع دیواره خطای قابل توجهی را باعث می‌شود.

بدین منظور سعی شده است که نسخه‌های رینولدز پائین معادله به عنوان مدل اصلاح شده به دست آیند. با بررسی جریان دیواره با استفاده از روشهای همچون DNS به این نتیجه رسیدند که مدل اصلاح شده به عنوان مدل آشفتگی رینولدز پائین مقدار  $\epsilon$  حداکثر را بر روی دیواره پیش بینی می‌نماید که

یک نتیجه کاملاً فیزیکی است اما در مدل‌های قبلی، همانند توابع دیواره مقدار حداکثر بر روی دیوار واقع نمی‌شد که ناکارآمدی این مدل‌ها در نزدیک دیواره را نشان می‌دهد. [۷]

در مورد این مدل در فصل‌های قبل و نحوه استفاده از آن در حل مدل ترم توربولانسی معادلات لایه مرزی توضیحاتی ارائه شد.

اما در ادامه با تاکید مجدد بر این نکته که اگر برای مدلسازی جریان در نزدیکی دیواره از توابع دیواره استفاده نمائیم، اولین المان یا اولین گره به کار رفته در گسسته سازی میدان بایستی در خارج ناحیه زیر لایه لزج و ناحیه گذرا، یعنی در محدوده  $50 \leq y^+ \leq 500$  (یا خارج از محدوده مجاز برای استفاده از توابع دیواره) قرار داشته باشد. استفاده از المانی که نود مرکزی آن در فواصل نزدیکتر به دیواره قرار دارد می‌تواند باعث حل معادلات مدل‌های آشفته رینولدز بالا نظیر مدل استاندارد در نواحی نزدیک دیواره با جریانات با رینولدز موضعی و آشفتگی کم گردد که این امر میتواند باعث به وجود آمدن خطای محاسباتی گردد. یعنی معادلاتی را که برای هسته آشفته جریان ارائه شده اند را در ناحیه نزدیک دیواره (با جریان آرام) حل نموده ایم که باعث خطای مدلسازی خواهد شد.

اما آنچه که به آن در انجام این پروژه رسیدیم اینست که چون از مدل رینولدز پائین استفاده کرده ایم بایستی شبکه بندی میدان درست تا لب دیواره امتداد یابد یعنی شبکه عددی ایجاد شده بایستی ناحیه زیر لایه لزج و ناحیه گذر را توما ببوشاند.

اما آنچه که توسط کاربران حرفه‌ای CFD بیان شده است اینست که:

به طور کلی استفاده از توابع دیواره در جریانات ذیل خطای قابل توجهی را در مدلسازی‌ها باعث می‌شود [۲]:

(۱) جریاناتی که بخش عمده آن جریان رینولدز پائین می‌باشد و یا دارای اثرات نزدیکی دیواره شدیدی می‌باشد مانند جریان درون یک شکاف کوچک و یا جریان سیال با ویسکوزیته خیلی بالا و یا سرعت پائین و با فواصل اولیه جریان برخوردی به یک دیواره.

۲) وقتی انحراف زیادی از یک بعدی بودن جریان در ناحیه نزدیک دیواره وجود داشته باشد این نواحی در نزدیکی نقاط جدایش جریان، اتصال مجدد نقطه سکون جریان و نیز در مواردی که شتابدهی سریع جریان یا توقف سریع جریان و نیز در مورد نیروهای حجمی رخ می دهد مشاهده می گردد.

۳) انتقال حرارت وانتقال جرم به طور همزمان

۴) گرادیان شدید فشار که منجر به جدایش جریان گردد.

۵) نیروهای حجمی قوی (نظیر جریان در نزدیکی صفحات دوار و یا جریانات ناشی از نیروهای شناوری) گاهی مشاهده شده است که در برخی از نرم افزارهای تجارتي نظیر (Fluent Star CD , Ansys) در مدلسازی نواحی نزدیک دیواره از مدلی با نام مدل منطقه ای دولایه استفاده می شود. در این مدل تمام دامنه مساله به دو قسمت کلی ناحیه متأثر از لزجت و ناحیه تمام آشفته تقسیم می گردد. این دو ناحیه را میتوان با استفاده از تعریف عدد رینولدز در راستای عمود بر صفحه از یکدیگر تمیز داد. بر مبنای معیارهای به کار رفته در این مدل . ناحیه متأثر از لزجت ناحیه ای است که  $Re_{\nu} \leq 200$  باشد از سوی دیگر ناحیه تمام آشفته ناحیه ای است که  $Re_{\nu} \geq 200$  باشد در ناحیه متأثر از لزجت برای به دست آوردن تغییرات کمیت های آشفتگی مدل طول اختلاطی استفاده می شود و یا آنکه از مدل یک معادله ای استفاده می گردد . در ناحیه تمام آشفته نیز از مدل های  $k-\epsilon, RSM$  استفاده می شود.

اما نکته آخر اینکه اگرچه میتوان از توابع دیواره برای طیف وسیعی از مقادیر استفاده نمود لیکن به واسطه فرضیات ساده کننده استفاده شده در توابع دیواره برای جلوگیری از خطای مدلسازی ، بهتر آن است که استفاده از این توابع را تنها به نواحی نزدیک دیواره محدود نمائیم و از گسترش خطای مدلسازی این توابع به نواحی مرکزی و هسته اصلی آشفتگی جریان جلوگیری به عمل آید.

فصل ششم

نتیجه گیری نهایی

در این فصل به جمع بندی کلی از آنچه که در فصل های قبلی بیان شد می پردازیم لذا به ترتیب به نتایج نهایی گرفته شده در مورد جریان متلاطم همراه با گرادیان فشار معکوس و جریان بر روی سطوح مقعر و محدب خواهیم پرداخت.

اثرات گرادیان فشار معکوس:

بر طبق آنچه که در فصل سوم از پایان نامه گفته شد گرادیان فشار معکوس تاثیرات بسیار واضح و مهمی را بر روی تمامی خصوصیات لایه مرزی خواهد گذاشت آنچه بیشتر از همه در مورد این گونه جریانات خودنمایی می کند افزایش ضخامت لایه مرزی است که نمی توان به سادگی از کنار آن گذشت. ما در انجام این پروژه شاهد افزایش چشمگیر این پارامتر به ازای مقادیر بزرگتر  $\beta$  بودیم به طوریکه در یک موقعیت یکسان از جریان مقدار ضخامت لایه مرزی در جریان همراه با گرادیان فشار معکوس حدودا ۵،۱ الی ۲ حالت مشابه با صفحه مسطح بود. از طرفی این افزایش در ضخامت لایه مرزی سبب شد که شاهد افزایش پارامتر دیگری از جمله ضخامت جابجایی و ضخامت مومنتومی باشیم شاید ذکر مجدد این نکته لازم باشد که سیر افزایشی دو پارامتر اخیر باعث افزایش در پارامتر ضریب شکل می شود که در نتیجه آن می توان این گونه استنباط کرد افزایش  $H$  سبب این خواهد شد که به ما نشان دهد که جریان تا چه اندازه آماده جدایی است.

اما در مورد پروفیل های سرعت بدست آمده در جریان همراه با گرادیان فشار معکوس باید گفت که در این حالت شاهد این هستیم که هر چند در جریان متلاطم پروفیل های سرعت نسبت به جریان آرام مسطح تر هستند اما در جریان متلاطم همراه با گرادیان فشار معکوس این مسطح بودن تا حدودی کمتر خواهد شد که نمودارهای بیان شده در فصل سوم در مورد پروفیل های سرعت به عینه این موضوع را تصدیق می کنند.

در این مرحله نگاه خود را معطوف به پارامتر های توربولانسی یعنی تنش برشی توربولانسی و شدتهای توربولانسی خواهیم کرد. بر طبق آن چه که در قسمت قبلی بیان شد رشد لایه مرزی تاثیرات فراوانی

خواهد داشت زمانی که یک گرادیان فشار معکوس به عنوان یک عامل ناپایداری و منفی برای یک جریان سیال اعمال می شود شاهد افزایش در مقادیر توربولانسی خواهیم بود حال چه تنش برشی توربولانسی باشد و یا شدتهای توربولانسی. این افزایش زمانی که در مقایسه با صفحه مسطح باشد بسیار واضح تر خواهد بود چه بسا زمانی که بخواهیم این میزان گرادیان فشار قوی تری اعمال کنیم این افزایش در مقادیر توربولانسی بسیار شگرف خواهد بود که این شرایط به خودی خود جریان جهت ایجاد ناپایداری و حتی در شرایطی حاد برای جدایی مستعد می سازد.

اثرات انحنا مقعر و محدب بر روی لایه مرزی متلاطم:

در این بخش از نتیجه گیری بار دیگر توجه خود را به ضخامت لایه مرزی و افزایش و یا کاهش آن در مقایسه با صفحه مسطح معطوف می کنیم.

ضخامت لایه مرزی در اثر انحنا مقعر یا به بیان بهتر ضخامت لایه مرزی بر روی سطوح مقعر در مقایسه با سطوح مسطح بیشتر است این افزایش همانطور که در قسمت های قبلی نیز بیان شد سبب افزایش در پارامترهای دیگر لایه مرزی یعنی  $\delta^*$  و  $\theta$  نیز خواهد شد شاید از بسیاری جهات بتوان اثرات انحنا مقعر و گرادیان فشار معکوس بر روی لایه مرزی را تا حدودی مشابه دانست چرا که در نتایجی که برای هر دو حالت ذکر شده داشتیم تقریباً می توان این گونه گفت که شرایط مشابه و مشترک زیادی در مورد این دو حالت وجود دارد در انحنا مقعر نیز تا حدودی حالت مسطح بودن پروفیل سرعت که در جریانهای متلاطم معمول است کم خواهد شد که در مقایسه با جریان همراه با گرادیان فشار معکوس تا حدودی این میزان کاهش کمتر خواهد بود. اما شاید عمده ترین تفاوت در جریان روی سطوح منحنی و در این حالت انحنا مقعر با جریان همراه با گرادیان فشار معکوس نحوه ی توزیع سرعت در ناحیه پتانسیلی می باشد که در حالت انحنا سرعت در جهت محور عمودی ثابت نخواهد بود در حالی که در جریان های تحت تاثیر گرادیان فشار معکوس سرعت در جهت محور عمودی  $y$  ثابت است که این به دلیل صفر فرض کردن گرادیان فشار در جهت  $y$  می باشد.



اما در مورد تر مه‌های توربولانسی دوباره باید گفت که انحنا مقعر نیز سبب افزایش در مقدار تنش برشی توربولانسی و شدت‌های توربولانسی خواهد شد که این در مورد گرادیان فشار معکوس و تاثیرات آن نیز صادق بود اما این میزان افزایش در مورد گرادیان فشار معکوس تا حدودی بیشتر خواهد بود. ناحیه ثبات (constant region) در جریان بر روی سطوح مقعر نیز رشد پیدا کرده و حتی در بعضی از موارد شاهد افزایش دو یا سه برابری ضخامت آن در مقایسه با صفحه مسطح خواهیم بود که این مورد در نمودارهای مربوط به ترم‌های توربولانسی در فصل چهارم قسمت انحنا مقعر دیده می‌شود.

اما انحنا محدب شاید بتوان گفت که تمامی آنچه که در مورد اثرات گرادیان فشار معکوس و انحنا مقعر گفته شد عکس آن در مورد جریان‌های روی سطوح محدب صادق است از جمله این که ضخامت لایه مرزی از نظر رشد در مقایسه با سطوح مسطح به مراتب کاهش پیدا خواهد کرد همچنانکه در مورد ضخامت مومنتومی و جابجایی نیز این موضوع صادق است در مورد تنش برشی توربولانسی و شدت‌های توربولانسی این میزان کاهش در مقادیر پارامترهای مذکور دیده می‌شود حتی ناحیه ثبات (constant region) و ضخامت این ناحیه نیز بسیار کم خواهد بود اما تنها نکته مشترک با انحنا مقعر تغییرات سرعت پتانسیلی در جهت  $y$  می باشد که برای انحنا محدب سیری نزولی و برای حالت مقعر سیری افزایشی و صعودی خواهد داشت.

بنابراین می توان به این صورت نتیجه گیری کرد که انحنا محدب به پایدار کردن جریان کمک میکند در حالی که انحنا مقعر و گرادیان فشار معکوس اثرات عکسی خواهند داشت هر چه قدر میزان گرادیان فشار معکوس بیشتر باشد در این شرایط افزایش تر مه‌های توربولانسی دور از انتظار نخواهد بود در حالی که افزایش پارامتر انحنا در شرایط انحنا مقعر نیز چنین تاثیری خواهد داشت. وقتی پارامتر انحنا در حالت مقعر و محدب یکسان فرض شود می توان اینگونه استنباط کرد که اثرات انحنا محدب بر روی لایه مرزی بیشتر خواهد بود.

پیوست ا):

**Dimension<sub>less</sub> of the B.L.E (no curvature)**

1. Dimensionless of boundary layer equation (no curvature): By using  $\eta = \frac{y}{\delta}$

1.1) Momentum equation:

$$\frac{\partial(\quad)}{\partial x_n} = \frac{\partial(\quad)}{\partial \eta} \left( -\frac{d\delta}{dx} \frac{\eta}{\delta} \right) + \frac{\partial(\quad)}{\partial x_n}$$

$$u \frac{\partial u}{\partial x} + v \frac{\partial u}{\partial y} = -\frac{1}{\rho} \frac{dp}{dx} + \frac{\partial}{\partial y} \left( (\nu + \nu_t) \frac{\partial u}{\partial y} \right)$$

$$u \frac{\partial u}{\partial x} + m_{\Pi} \frac{\partial u}{\partial \eta} + \frac{1}{\rho} \frac{dp}{dx} - m_1^2 (\nu_t + \alpha) \frac{\partial^2 u}{\partial \eta^2} = 0$$

$$m_{\Pi} = m_1 \nu - m_{\Delta} u - m_1^2 \frac{\partial \nu_t}{\partial \eta}$$

$$\frac{1}{\text{Re}_L} u_{\infty} L = \alpha$$

$$m_{\Delta} = \frac{d\delta}{dx} \frac{\eta}{\delta}$$

$$m_1 = \frac{1}{\delta}$$

$$\lim_{y \rightarrow \delta} (u_e - u) = a(x) (\delta - y)^n$$

$$\lim_{y \rightarrow \delta} (\nu_t) = b(x) (\delta - y)$$

$$\frac{du_e}{dx} - \frac{\partial u}{\partial x} = a(n) \left( \frac{d\delta}{dx} \right) (\delta - y)^{n-1}$$

$$\frac{\partial^2 u}{\partial y^2} = a(-n)(n-1) (\delta - y)^{n-2}$$

$$\frac{\partial u}{\partial y} = a(n) (\delta - y)^{n-1}$$

$$k - \varepsilon \rightarrow n = 1$$

$$\frac{d\delta}{dx} = \frac{\nu_e}{u_e} + \frac{b}{u_e}$$

1-1-1) Discretizing of momentum equation:

$$u \left( \frac{u_{i+1,j} - u_{i,j}}{\Delta x} \right) + m_{\Pi} \left( \frac{u_{i+1,j+1} - u_{i+1,j-1} + u_{i,j+1} - u_{i,j-1}}{4\Delta\eta} \right) - m_1^2 (v_i + \alpha) \left( \frac{u_{i+1,j+1} - 2u_{i+1,j} + u_{i+1,j-1} + u_{i,j+1} - 2u_{i,j} + u_{i,j-1}}{2(\Delta\eta)^2} \right) + \frac{1}{\rho} \frac{dp}{dx} = 0$$

$$\left[ \frac{-m_{\Pi}}{4\Delta\eta} + \frac{m_1^2 (v_i + \alpha)}{2(\Delta\eta)^2} \right]_{i+\frac{1}{2},j} u_{i+1,j+1} + \left[ \frac{-u}{\Delta x} - \frac{m_1^2 (v_i + \alpha)}{(\Delta\eta)^2} \right]_{i+\frac{1}{2},j} u_{i+1,j} + \left[ \frac{+m_{\Pi}}{4\Delta\eta} + \frac{m_1^2 (v_i + \alpha)}{2(\Delta\eta)^2} \right]_{i+\frac{1}{2},j} u_{i+1,j-1} +$$

$$\left[ \frac{-m_{\Pi}}{4\Delta\eta} + \frac{m_1^2 (v_i + \alpha)}{2(\Delta\eta)^2} \right]_{i+\frac{1}{2},j} u_{i,j+1} + \left[ \frac{+u}{\Delta x} - \frac{m_1^2 (v_i + \alpha)}{(\Delta\eta)^2} \right]_{i+\frac{1}{2},j} u_{i,j} + \left[ \frac{+m_{\Pi}}{4\Delta\eta} + \frac{m_1^2 (v_i + \alpha)}{2(\Delta\eta)^2} \right]_{i+\frac{1}{2},j} u_{i,j-1} - \left( \frac{1}{\rho} \frac{dp}{dx} \right)_{i+\frac{1}{2},j} = 0$$

$$A_{i+\frac{1}{2},j} u_{i+1,j+1} + B_{i+\frac{1}{2},j} u_{i+1,j} + C_{i+\frac{1}{2},j} u_{i+1,j-1} + D_{i+\frac{1}{2},j} = 0$$

$$A_{i+\frac{1}{2},j} = \left[ \frac{-m_{\Pi}}{4\Delta\eta} + \frac{m_1^2 (v_i + \alpha)}{2(\Delta\eta)^2} \right]_{i+\frac{1}{2},j}$$

$$B_{i+\frac{1}{2},j} = \left[ \frac{-u}{\Delta x} - \frac{m_1^2 (v_i + \alpha)}{(\Delta\eta)^2} \right]_{i+\frac{1}{2},j}$$

$$C_{i+\frac{1}{2},j} = \left[ \frac{+m_{\Pi}}{4\Delta\eta} + \frac{m_1^2 (v_i + \alpha)}{2(\Delta\eta)^2} \right]_{i+\frac{1}{2},j}$$

$$D_{i+\frac{1}{2},j} = A_{i+\frac{1}{2},j} u_{i,j+1} + \bar{B}_{i+\frac{1}{2},j} u_{i,j} + C_{i+\frac{1}{2},j} u_{i,j-1} - \left( \frac{1}{\rho} \frac{dp}{dx} \right)_{i+\frac{1}{2},j}$$

$$\bar{B}_{i+\frac{1}{2},j} = \left[ \frac{+u}{\Delta x} - \frac{m_1^2 (v_i + \alpha)}{(\Delta\eta)^2} \right]_{i+\frac{1}{2},j}$$

$$u_{i+1,j} = E_{i+\frac{1}{2},j} u_{i+1,j+1} + F_{i+\frac{1}{2},j}$$

$$\frac{\delta_{i+1} - \delta_i}{\Delta x} = \left( \frac{v_c}{u_c} \right)_i + \left( \frac{b}{u_c} \right)_i$$

$$b_i = \frac{(m_1)_i (v_i)_{i,J-1}}{1 - \eta_{J-1}}$$

1-2) Turbulence model equations:

1-2-1) k equation:

$$u \frac{\partial k}{\partial x} + u \left( -\frac{d\delta}{dx} \frac{\eta}{\delta} \right) \frac{\partial k}{\partial \eta} + \frac{v}{\delta} \frac{\partial k}{\partial \eta} = \frac{1}{\delta^2} \frac{\partial}{\partial \eta} \left( \left( \nu + \frac{\nu_t}{\sigma_k} \right) \frac{\partial k}{\partial \eta} \right) + \frac{\nu_t}{\delta^2} \left( \frac{\partial u}{\partial \eta} \right)^2 - \varepsilon - \frac{2\nu}{\delta^2} \left( \frac{\partial k}{\partial \eta} \right)^2$$

$$u \frac{\partial k}{\partial x} + \left( -m_\Delta u + \nu m_1 - \frac{m_1^2}{\sigma_k} \frac{\partial \nu_t}{\partial \eta} \right) \frac{\partial k}{\partial \eta} = m_1^2 \left( \left( \alpha + \frac{\nu_t}{\sigma_k} \right) \frac{\partial^2 k}{\partial \eta^2} \right) + \nu_t m_1^2 \left( \frac{\partial u}{\partial \eta} \right)^2 - \varepsilon - \frac{\alpha m_1^3}{0.3} \left( \frac{\partial \nu_t}{\partial \eta} \right) \left( \frac{\partial^2 u}{\partial \eta^2} \right)$$

1-2-2) Discretizing of (k) equation:

$$u \left( \frac{k_{i+1,j} - k_{i,j}}{\Delta x} \right) + m'_{11} \left( \frac{k_{i+1,j+1} - k_{i+1,j-1} + k_{i,j+1} - k_{i,j-1}}{4\Delta\eta} \right) - m_1^2 \left( \frac{\nu_t}{\sigma_k} + \alpha \right) \left( \frac{k_{i+1,j+1} - 2k_{i+1,j} + k_{i+1,j-1} + k_{i,j+1} - 2k_{i,j} + k_{i,j-1}}{2\Delta\eta^2} \right)$$

$$- \nu_t m_1^2 \left( \frac{u_{i+1,j+1} - u_{i+1,j-1} + u_{i,j+1} - u_{i,j-1}}{4\Delta\eta} \right)^2 + \varepsilon + \frac{\alpha m_1^3}{0.3} \left( \frac{\partial \nu_t}{\partial \eta} \right) \left( \frac{u_{i+1,j+1} - 2u_{i+1,j} + u_{i+1,j-1} + u_{i,j+1} - 2u_{i,j} + u_{i,j-1}}{2\Delta\eta^2} \right) = 0$$

$N_{i+\frac{1}{2},j}$

$$\left[ \frac{-m'_{11}}{4\Delta\eta} + \frac{m_1^2}{2(\Delta\eta)^2} \left( \frac{\nu_t}{\sigma_k} + \alpha \right) \right]_{j+\frac{1}{2},j} k_{i+1,j+1} + \left[ \frac{-u}{\Delta x} - \frac{m_1^2}{(\Delta\eta)^2} \left( \frac{\nu_t}{\sigma_k} + \alpha \right) \right]_{j+\frac{1}{2},j} k_{i+1,j} + \left[ \frac{+m'_{11}}{4\Delta\eta} + \frac{m_1^2}{2(\Delta\eta)^2} \left( \frac{\nu_t}{\sigma_k} + \alpha \right) \right]_{j+\frac{1}{2},j} k_{i+1,j-1} + \left[ \frac{-m'_{11}}{4\Delta\eta} + \frac{m_1^2}{2(\Delta\eta)^2} \left( \frac{\nu_t}{\sigma_k} + \alpha \right) \right]_{j+\frac{1}{2},j} k_{i,j+1}$$

$$+ \left[ \frac{+u}{\Delta x} - \frac{m_1^2}{(\Delta\eta)^2} \left( \frac{\nu_t}{\sigma_k} + \alpha \right) \right]_{j+\frac{1}{2},j} k_{i,j} + \left[ \frac{+m'_{11}}{4\Delta\eta} + \frac{m_1^2}{2(\Delta\eta)^2} \left( \frac{\nu_t}{\sigma_k} + \alpha \right) \right]_{j+\frac{1}{2},j} k_{i,j-1}$$

$$+ L'_{i+\frac{1}{2},j} \left( N_{i+\frac{1}{2},j} \right)^2 - \varepsilon_{i+\frac{1}{2},j} - G'_{i+\frac{1}{2},j} \left( \frac{u_{i+1,j+1} - 2u_{i+1,j} + u_{i+1,j-1} + u_{i,j+1} - 2u_{i,j} + u_{i,j-1}}{2\Delta\eta^2} \right) = 0$$

$$A'_{i+\frac{1}{2},j} k_{i+1,j+1} + B'_{i+\frac{1}{2},j} k_{i+1,j} + C'_{i+\frac{1}{2},j} k_{i+1,j-1} + D'_{i+\frac{1}{2},j} = 0$$

$$A'_{i+\frac{1}{2},j} = \left[ \frac{-m'_{11}}{4\Delta\eta} + \frac{m_1^2}{2(\Delta\eta)^2} \left( \frac{\nu_t}{\sigma_k} + \alpha \right) \right]_{j+\frac{1}{2},j}$$

$$B'_{i+\frac{1}{2},j} = \left[ \frac{-u}{\Delta x} - \frac{m_1^2 \left( \frac{v_i}{\sigma_k} + \alpha \right)}{(\Delta \eta)^2} \right]_{i+\frac{1}{2},j}$$

$$C'_{i+\frac{1}{2},j} = \left[ \frac{+m'_n}{4\Delta \eta} + \frac{m_1^2 \left( \frac{v_i}{\sigma_k} + \alpha \right)}{2(\Delta \eta)^2} \right]_{i+\frac{1}{2},j}$$

$$\bar{B}'_{i+\frac{1}{2},j} = \left[ \frac{+u}{\Delta x} - \frac{m_1^2 \left( \frac{v_i}{\sigma_k} + \alpha \right)}{(\Delta \eta)^2} \right]_{i+\frac{1}{2},j}$$

$$D'_{i+\frac{1}{2},j} = A'_{i+\frac{1}{2},j} k_{i,j+1} + \bar{B}'_{i+\frac{1}{2},j} k_{i,j} + C'_{i+\frac{1}{2},j} k_{i,j-1} + L'_{i+\frac{1}{2},j} \left( N_{i+\frac{1}{2},j} \right)^2 - \varepsilon_{i+\frac{1}{2},j} - G'_{i+\frac{1}{2},j} \left( M_{i+\frac{1}{2},j} \right)$$

$$G'_{i+\frac{1}{2},j} = \left( \frac{\alpha m_1^3}{0.3} \left( \frac{\partial v_i}{\partial \eta} \right) \right)_{i+\frac{1}{2},j}$$

$$k_{i+1,j} = E'_{i+\frac{1}{2},j} k_{i+1,j+1} + F'_{i+\frac{1}{2},j}$$

1-2-3) ( $\varepsilon$ ) equation:

$$u \frac{\partial \varepsilon}{\partial x} + v \frac{\partial \varepsilon}{\partial y} = \frac{\partial}{\partial y} \left( \left( \frac{v_t}{\sigma_e} + v \right) \frac{\partial \varepsilon}{\partial y} \right) + c_{\varepsilon 1} \frac{\varepsilon}{k} v_t \left( \frac{\partial u}{\partial y} \right)^2 - c_{\varepsilon 2} f_2 \frac{\varepsilon^2}{k} + 2\nu v_t \left( \frac{\partial^2 u}{\partial y^2} \right)^2$$

$$u \frac{\partial \varepsilon}{\partial x} + -m_\Delta u \frac{\partial \varepsilon}{\partial \eta} + \nu m_t \frac{\partial \varepsilon}{\partial \eta} = m_t^2 \frac{\partial}{\partial \eta} \left( \left( v + \frac{v_t}{\sigma_e} \right) \frac{\partial \varepsilon}{\partial \eta} \right) + \frac{c_{\varepsilon 1} \varepsilon}{k} v_t m_t^2 \left( \frac{\partial u}{\partial \eta} \right)^2 - f_2 c_{\varepsilon 2} \frac{\varepsilon^2}{k} + 2\nu v_t m_t^4 \left( \frac{\partial^2 u}{\partial \eta^2} \right)^2$$

$$u \frac{\partial \varepsilon}{\partial x} + \left( -m_\Delta u + \nu m_t - \frac{m_t^2 \partial v_t}{\sigma_e \partial \eta} \right) \frac{\partial \varepsilon}{\partial \eta} = m_t^2 \left( \left( \alpha + \frac{v_t}{\sigma_e} \right) \frac{\partial^2 \varepsilon}{\partial \eta^2} \right) + \frac{c_{\varepsilon 1} \varepsilon}{k} v_t m_t^2 \left( \frac{\partial u}{\partial \eta} \right)^2 - f_2 c_{\varepsilon 2} \frac{\varepsilon^2}{k} + 2\nu v_t m_t^4 \left( \frac{\partial^2 u}{\partial \eta^2} \right)^2$$

1-2-4) Discretizing of ( $\varepsilon$ ) equation:

$$\begin{aligned} & u \left( \frac{\varepsilon_{i+1,j} - \varepsilon_{i,j}}{\Delta x} \right) + m_{\Pi}^* \left( \frac{\varepsilon_{i+1,j+1} - \varepsilon_{i+1,j-1} + \varepsilon_{i,j+1} - \varepsilon_{i,j-1}}{4\Delta\eta} \right) \\ & - m_t^2 \left( \frac{v_t}{\sigma_e} + \alpha \right) \left( \frac{\varepsilon_{i+1,j+1} - 2\varepsilon_{i+1,j} + \varepsilon_{i+1,j-1} + \varepsilon_{i,j+1} - 2\varepsilon_{i,j} + \varepsilon_{i,j-1}}{2\Delta\eta^2} \right) \\ & - c_{\varepsilon 1} \frac{\varepsilon}{k} v_t m_t^2 \left( \frac{u_{i+1,j+1} - u_{i+1,j-1} + u_{i,j+1} - u_{i,j-1}}{4\Delta\eta} \right)^2 + f_2 c_{\varepsilon 2} \frac{\varepsilon \varepsilon_{i+1,j}}{2k} + \\ & f_2 c_{\varepsilon 2} \frac{\varepsilon \varepsilon_{i,j}}{2k} - 2\alpha m_t^4 (v_t) \left( \frac{u_{i+1,j+1} - 2u_{i+1,j} + u_{i+1,j-1} + u_{i,j+1} - 2u_{i,j} + u_{i,j-1}}{2\Delta\eta^2} \right)^2 = 0 \\ & \left[ \frac{-m_{\Pi}^*}{4\Delta\eta} + \frac{m_t^2 \left( \frac{v_t}{\sigma_e} + \alpha \right)}{2(\Delta\eta)^2} \right]_{j+\frac{1}{2}} \varepsilon_{i+1,j+1} + \left[ \frac{-u}{\Delta x} - \frac{m_t^2 \left( \frac{v_t}{\sigma_e} + \alpha \right)}{(\Delta\eta)^2} - \left( f_2 c_{\varepsilon 2} \frac{\varepsilon}{2k} \right) \right]_{j+\frac{1}{2}} \varepsilon_{i+1,j} \\ & + \left[ \frac{+m_{\Pi}^*}{4\Delta\eta} + \frac{m_t^2 \left( \frac{v_t}{\sigma_e} + \alpha \right)}{2(\Delta\eta)^2} \right]_{j+\frac{1}{2}} \varepsilon_{i+1,j-1} + \left[ \frac{-m_{\Pi}^*}{4\Delta\eta} + \frac{m_t^2 \left( \frac{v_t}{\sigma_e} + \alpha \right)}{2(\Delta\eta)^2} \right]_{j+\frac{1}{2}} \varepsilon_{i,j+1} \\ & + \left[ \frac{+u}{\Delta x} - \frac{m_t^2 \left( \frac{v_t}{\sigma_e} + \alpha \right)}{(\Delta\eta)^2} - \left( f_2 c_{\varepsilon 2} \frac{\varepsilon}{2k} \right) \right]_{j+\frac{1}{2}} \varepsilon_{i,j} + \left[ \frac{+m_{\Pi}^*}{4\Delta\eta} + \frac{m_t^2 \left( \frac{v_t}{\sigma_e} + \alpha \right)}{2(\Delta\eta)^2} \right]_{j+\frac{1}{2}} \varepsilon_{i,j-1} \\ & + \left( c_{\varepsilon 1} \frac{\varepsilon}{k} v_t m_t^2 \right)_{j+\frac{1}{2}} \left( N_{i+\frac{1}{2},j} \right)^2 + \left( 2\alpha m_t^4 (v_t) \right)_{i+\frac{1}{2},j} \left( \frac{u_{i+1,j+1} - 2u_{i+1,j} + u_{i+1,j-1} + u_{i,j+1} - 2u_{i,j} + u_{i,j-1}}{2\Delta\eta^2} \right)^2 = 0 \end{aligned}$$



$$A''_{i+\frac{1}{2},j} \varepsilon_{i+1,j+1} + B''_{i+\frac{1}{2},j} \varepsilon_{i+1,j} + C''_{i+\frac{1}{2},j} \varepsilon_{i+1,j-1} + D''_{i+\frac{1}{2},j} = 0$$

$$A''_{i+\frac{1}{2},j} = \left[ \frac{-m''_{\pi}}{4\Delta\eta} + \frac{m_1^2 \left( \frac{v_t}{\sigma_e} + \alpha \right)}{2(\Delta\eta)^2} \right]_{i+\frac{1}{2},j}$$

$$B''_{i+\frac{1}{2},j} = \left[ \frac{-u}{\Delta x} - \frac{m_1^2 \left( \frac{v_t}{\sigma_e} + \alpha \right)}{(\Delta\eta)^2} - \left( f_2 c_{e2} \frac{\varepsilon}{2k} \right) \right]_{i+\frac{1}{2},j}$$

$$C''_{i+\frac{1}{2},j} = \left[ \frac{+m''_{\pi}}{4\Delta\eta} + \frac{m_1^2 \left( \frac{v_t}{\sigma_e} + \alpha \right)}{2(\Delta\eta)^2} \right]_{i+\frac{1}{2},j}$$

$$D''_{i+\frac{1}{2},j} = A''_{i+\frac{1}{2},j} \varepsilon_{i,j+1} + \bar{B}''_{i+\frac{1}{2},j} \varepsilon_{i,j} + C''_{i+\frac{1}{2},j} \varepsilon_{i,j-1} + L''_{i+\frac{1}{2},j} \left( N_{i+\frac{1}{2},j} \right)^2 + G''_{i+\frac{1}{2},j} \left( M_{i+\frac{1}{2},j} \right)^2$$

$$\bar{B}''_{i+\frac{1}{2},j} = \left[ \frac{+u}{\Delta x} - \frac{m_1^2 \left( \frac{v_t}{\sigma_e} + \alpha \right)}{(\Delta\eta)^2} - \left( f_2 c_{e2} \frac{\varepsilon}{2k} \right) \right]_{i+\frac{1}{2},j}$$

$$L''_{i+\frac{1}{2},j} = \left( c_{e1} \frac{\varepsilon}{k} v_t m_1^2 \right)_{i+\frac{1}{2},j}$$

$$G''_{i+\frac{1}{2},j} = \left( 2\alpha m_1^4 (v_t) \right)_{i+\frac{1}{2},j}$$

$$\varepsilon_{i+1,j} = E''_{i+\frac{1}{2},j} \varepsilon_{i+1,j+1} + F''_{i+\frac{1}{2},j}$$

پیوست ۲:

**Dimension less of B.L.E(Curved surfaces)**

2. Dimensionless of boundary layer equation (Curved surfaces): By using  $\eta = \frac{y}{\delta}$

2-1) momentum equation:

$$\frac{u}{h} \frac{\partial u}{\partial x} + v \frac{\partial u}{\partial y} + \frac{k_r}{h} uv = -\frac{1}{h\rho} \frac{\partial p}{\partial x} + \frac{1}{h^2} \frac{\partial}{\partial y} (h^2 \tau_{xy})$$

$$\frac{u}{h} \frac{\partial u}{\partial x} + v \frac{\partial u}{\partial y} + \frac{k_r}{h} uv = -\frac{1}{h\rho} \frac{\partial p}{\partial x} + \left[ \frac{\partial}{\partial y} \left( (v+v_i) \left( \frac{\partial u}{\partial y} - \frac{k_r u}{h} \right) \right) \right] + \frac{2k_r}{h} \left[ (v+v_i) \left( \frac{\partial u}{\partial y} - \frac{k_r u}{h} \right) \right]$$

$$\frac{u}{h} \frac{\partial u}{\partial x} + v \frac{\partial u}{\partial y} + \frac{k_r}{h} uv = -\frac{1}{h\rho} \frac{\partial p}{\partial x} + \left[ \frac{\partial v_i}{\partial y} \left( \frac{\partial u}{\partial y} - \frac{k_r u}{h} \right) \right] + \left[ (v+v_i) \left( \frac{\partial^2 u}{\partial y^2} + \frac{k_r}{h} \frac{\partial u}{\partial y} - \frac{k_r^2 u}{h^2} \right) \right]$$

$$\frac{u}{h_1} \frac{\partial u}{\partial x} + \frac{v}{\delta} \frac{\partial u}{\partial \eta} + \frac{k_r}{h_1} uv + \frac{u}{h_1} \frac{d\delta}{dx} (-\eta m_1) \frac{\partial u}{\partial \eta} = -\frac{1}{h\rho} \frac{\partial p}{\partial x} + \left[ \frac{\partial v_i}{\partial \eta} \left( \frac{\partial u}{\partial \eta} - \frac{k_r u}{h_1} \right) \right] + \left[ (\alpha + v_i) \left( \frac{\partial^2 u}{\delta^2 \partial \eta^2} + \frac{k_r}{h_1} \frac{\partial u}{\delta \partial \eta} - \frac{k_r^2 u}{h_1^2} \right) \right]$$

$$\lim_{y \rightarrow \delta} (u_e - u) = a(x)(\delta - y)^n$$

$$\lim_{y \rightarrow \delta} (v_i) = b(x)(\delta - y)$$

$$\frac{\partial u_e}{\partial y} = \frac{-k_r}{h_1} u_e$$

$$\frac{\partial^2 u}{\partial y^2} = a(-n)(n-1)(\delta - y)^{n-2} + \frac{k_r^2}{h_1^2} u_e$$

$$\frac{d\delta}{dx} = \frac{v_e h_1}{u_e} + \frac{b h_1}{u_e} - \frac{k_r l}{Re_l} - \frac{k_r v_i}{u_e} \left[ \left( 1 + \frac{2}{1 - \frac{u}{u_e}} \right) \right]$$

$$\frac{u}{h_1} \frac{\partial u}{\partial x} + \underbrace{\left[ v m_1 - \frac{u}{h_1} \frac{d\delta}{dx} (+\eta m_1) - m_1^2 \frac{\partial v_i}{\partial \eta} - (\alpha + v_i) \frac{k_r m_1}{h_1} \right]}_{m_{11}} \frac{\partial u}{\partial \eta} + \underbrace{\left[ \frac{k_r}{h_1} v + \frac{k_r^2 u}{h_1^2} + \frac{\partial v_i}{\partial \eta} \frac{k_r m_1}{h_1} \right]}_{m_{1x}} u + \frac{1}{h_1 \rho} \frac{\partial p}{\partial x} - \left[ (\alpha + v_i) m_1^2 \left( \frac{\partial^2 u}{\partial \eta^2} \right) \right] = 0$$

2.1.2) Discretizing of momentum equation:

$$\frac{u}{h_1} \left( \frac{u_{i+1,j} - u_{i,j}}{\Delta x} \right) + m_{11} \left( \frac{u_{i+1,j+1} - u_{i+1,j-1} + u_{i,j+1} - u_{i,j-1}}{4\Delta\eta} \right) - m_1^2 (v_i + \alpha) \left( \frac{u_{i+1,j+1} - 2u_{i,j} + u_{i+1,j-1} + u_{i,j+1} - 2u_{i,j} + u_{i,j-1}}{2\Delta\eta^2} \right) + \frac{1}{\rho h_1} \frac{\partial p}{\partial x} + \underbrace{\left( \frac{k_r}{h_1} v + \frac{k_r^2 u}{h_1^2} + \frac{\partial v_i}{\partial \eta} \frac{k_r m_1}{h_1} \right)}_{m_x} u = 0$$

$$\left[ \frac{-m_{11}}{4\Delta\eta} + \frac{m_1^2 (v_i + \alpha)}{2(\Delta\eta)^2} \right]_{i+\frac{1}{2},j} u_{i+1,j+1} + \left[ \frac{-u}{h_1 \Delta x} - \frac{m_1^2 (v_i + \alpha)}{(\Delta\eta)^2} \right]_{i+\frac{1}{2},j} u_{i+1,j} + \left[ \frac{+m_{11}}{4\Delta\eta} + \frac{m_1^2 (v_i + \alpha)}{2(\Delta\eta)^2} \right]_{i+\frac{1}{2},j} u_{i+1,j-1} + \left[ \frac{-m_{11}}{4\Delta\eta} + \frac{m_1^2 (v_i + \alpha)}{2(\Delta\eta)^2} \right]_{i+\frac{1}{2},j} u_{i,j+1} + \left[ \frac{+u}{h_1 \Delta x} - \frac{m_1^2 (v_i + \alpha)}{(\Delta\eta)^2} \right]_{i+\frac{1}{2},j} u_{i,j} + \left[ \frac{+m_{11}}{4\Delta\eta} + \frac{m_1^2 (v_i + \alpha)}{2(\Delta\eta)^2} \right]_{i+\frac{1}{2},j} u_{i,j-1} - \left( \frac{1}{\rho h_1} \frac{\partial p}{\partial x} \right)_{i+\frac{1}{2},j} - \left( \frac{k_r}{h_1} v + \frac{k_r^2 u}{h_1^2} + \frac{\partial v_i}{\partial \eta} \frac{k_r m_1}{h_1} \right)_{i+\frac{1}{2},j} u_{i+\frac{1}{2},j} = 0$$

$$A_{i+\frac{1}{2},j} u_{i+1,j+1} + B_{i+\frac{1}{2},j} u_{i+1,j} + C_{i+\frac{1}{2},j} u_{i+1,j-1} + D_{i+\frac{1}{2},j} = 0$$

$$A_{i+\frac{1}{2},j} = \left[ \frac{-m_{11}}{4\Delta\eta} + \frac{m_1^2 (v_i + \alpha)}{2(\Delta\eta)^2} \right]_{i+\frac{1}{2},j}$$

$$B_{i+\frac{1}{2},j} = \left[ \frac{-u}{h_1 \Delta x} - \frac{m_1^2 (v_i + \alpha)}{(\Delta\eta)^2} \right]_{i+\frac{1}{2},j}$$

$$C_{i+\frac{1}{2},j} = \left[ \frac{+m_{11}}{4\Delta\eta} + \frac{m_1^2 (v_i + \alpha)}{2(\Delta\eta)^2} \right]_{i+\frac{1}{2},j}$$

$$\frac{\delta_{i+1} - \delta_i}{\Delta x} = \left( \frac{v_e h_1}{u_e} \right)_i + \left( \frac{b h_1}{u_e} \right)_i - \frac{k_r l}{\text{Re}_i} - \left( \frac{k_r v_i}{u_e} \right)_i \left[ \left( 1 + \frac{2}{1 - \frac{u_{i,j-1}}{(u_e)_i}} \right) \right]$$

$$\frac{\delta_{i+1} - \delta_i}{\Delta x} = \left( \frac{v_e h_1}{u_e} \right)_i + \left( \frac{b h_1}{u_e} \right)_i - \frac{k_r l}{\text{Re}_i} - \left( \frac{k_r v_i}{u_e} \right)_i [c_i]$$

$$c_i = \left( 1 + \frac{2}{1 - \frac{u_{i,j-1}}{(u_e)_i}} \right)$$

$$\bar{B}_{i+\frac{1}{2},j} = \left[ \frac{+u}{h_1 \Delta x} - \frac{m_1^2 (v_i + \alpha)}{(\Delta \eta)^2} \right]_{i+\frac{1}{2},j}$$

$$D_{i+\frac{1}{2},j} = A_{i+\frac{1}{2},j} u_{i,j+1} + \bar{B}_{i+\frac{1}{2},j} u_{i,j} + C_{i+\frac{1}{2},j} u_{i,j-1} - \left( \frac{1}{\rho} \frac{\partial p}{\partial x} \right)_{i+\frac{1}{2},j} - \left( \frac{k_r}{h_1} v + \frac{k_r^2 u}{h_1^2} + \frac{\partial v_i}{\partial \eta} \frac{k_r m_1}{h_1} \right)_{i+\frac{1}{2},j} u_{i+\frac{1}{2},j}$$

2-2) turbulence model equations:

2-2-1) k equation:

$$\frac{u}{h_1} \frac{\partial k}{\partial x} + \frac{m_\Delta}{h_1} u \frac{\partial k}{\partial \eta} + \nu m_1 \frac{\partial k}{\partial \eta} = \frac{m_1^2}{h_1} \frac{\partial}{\partial \eta} \left( h_1 \left( \alpha + \frac{v_t}{\sigma_k} \right) \frac{\partial k}{\partial \eta} \right) + v_t \left( m_1^2 \frac{\partial u}{\partial \eta} - \frac{ku}{h_1} \right)^2 - \varepsilon - 2\nu m_1^2 \left( \frac{\partial k}{\partial \eta} \right)^2$$

$$\frac{u}{h_1} \frac{\partial k}{\partial x} - \frac{m_\Delta}{h_1} u \frac{\partial k}{\partial \eta} + \nu m_1 \frac{\partial k}{\partial \eta} = m_1^2 \left( \alpha + \frac{v_t}{\sigma_k} \right) \frac{\partial^2 k}{\partial \eta^2} + m_1^2 \frac{\partial v_t}{\partial \eta} \frac{\partial k}{\partial \eta} + m_1 \frac{k_r}{h_1} \left( \alpha + \frac{v_t}{\sigma_k} \right) \frac{\partial k}{\partial \eta} + v_t \left( m_1 \frac{\partial u}{\partial \eta} - \frac{k_r u}{h_1} \right)^2 - \varepsilon - \frac{\alpha}{0.3} m_1^3 \left( \frac{\partial v_t}{\partial \eta} \right) \left( \frac{\partial^2 u}{\partial \eta^2} \right) + \frac{\alpha}{0.3} m_1^2 \frac{k_r}{h} \left( \frac{\partial v_t}{\partial \eta} \right) \frac{\partial u}{\partial \eta} - \frac{\alpha k_r^2}{0.3 h^2} m_1^1 \left( \frac{\partial v_t}{\partial \eta} \right)$$

$$\frac{u}{h_1} \frac{\partial k}{\partial x} + \underbrace{\left( -\frac{m_\Delta}{h_1} u + \nu m_1 - \frac{m_1^2}{\sigma_k} \frac{\partial v_t}{\partial \eta} - \frac{k_r}{h_1} m_1 \left( \alpha + \frac{v_t}{\sigma_k} \right) \right)}_{m_1} \frac{\partial k}{\partial \eta} = m_1^2 \left( \left( \alpha + \frac{v_t}{\sigma_k} \right) \frac{\partial^2 k}{\partial \eta^2} \right)$$

$$+ v_t \left( m_1 \frac{\partial u}{\partial \eta} - \frac{k_r u}{h_1} \right)^2 - \varepsilon - \frac{\alpha}{0.3} m_1^3 \left( \frac{\partial v_t}{\partial \eta} \right) \left( \frac{\partial^2 u}{\partial \eta^2} \right) + \frac{\alpha}{0.3} m_1^2 \frac{k_r}{h} \left( \frac{\partial v_t}{\partial \eta} \right) \frac{\partial u}{\partial \eta} - \frac{\alpha k_r^2}{0.3 h^2} m_1^1 \left( \frac{\partial v_t}{\partial \eta} \right)$$

2.2.2) Discretizing of (k) equation:

$$\frac{u}{h} \left( \frac{k_{i+1,j} - k_{i,j}}{\Delta x} \right) + m'_{11} \left( \frac{k_{i+1,j+1} - k_{i+1,j-1} + k_{i,j+1} - k_{i,j-1}}{4\Delta\eta} \right) - m_1^2 \left( \frac{v_t}{\sigma_k} + \alpha \right) \left( \frac{k_{i+1,j+1} - 2k_{i+1,j} + k_{i+1,j-1} + k_{i,j+1} - 2k_{i,j} + k_{i,j-1}}{2\Delta\eta^2} \right) - v_t m_1^2 \left( \frac{u_{i+1,j+1} - u_{i+1,j-1} + u_{i,j+1} - u_{i,j-1}}{4\Delta\eta} \right)^2 - v_t \left( \left( \frac{k_r}{h} \right) u \right)^2 + \left[ 2v_t m_1 \left( \frac{k_r}{h} \right) u \right] \left( \frac{u_{i+1,j+1} - u_{i+1,j-1} + u_{i,j+1} - u_{i,j-1}}{4\Delta\eta} \right) + \varepsilon + \frac{\alpha m_1^3}{0.3} \left( \frac{\partial v_t}{\partial \eta} \right) \left( \frac{u_{i+1,j+1} - 2u_{i+1,j} + u_{i+1,j-1} + u_{i,j+1} - 2u_{i,j} + u_{i,j-1}}{2\Delta\eta^2} \right) -$$

$$\frac{\alpha}{0.3} m_1^2 \frac{k_r}{h} \left( \frac{\partial v_t}{\partial \eta} \right) \left( \frac{u_{i+1,j+1} - u_{i+1,j-1} + u_{i,j+1} - u_{i,j-1}}{4\Delta\eta} \right) + \frac{\alpha k_r^2}{0.3 h^2} m_1' \left( \frac{\partial v_t}{\partial \eta} \right) u = 0$$

$$\left[ \frac{-m'_{11}}{4\Delta\eta} + \frac{m_1^2 \left( \frac{v_t}{\sigma_k} + \alpha \right)}{2(\Delta\eta)^2} \right]_{j+\frac{1}{2}} k_{i+1,j+1} + \left[ \frac{-u}{h\Delta x} - \frac{m_1^2 \left( \frac{v_t}{\sigma_k} + \alpha \right)}{(\Delta\eta)^2} \right]_{j+\frac{1}{2}} k_{i+1,j} + \left[ \frac{+m'_{11}}{4\Delta\eta} + \frac{m_1^2 \left( \frac{v_t}{\sigma_k} + \alpha \right)}{2(\Delta\eta)^2} \right]_{j+\frac{1}{2}} k_{i+1,j-1} + \left[ \frac{-m'_{11}}{4\Delta\eta} + \frac{m_1^2 \left( \frac{v_t}{\sigma_k} + \alpha \right)}{2(\Delta\eta)^2} \right]_{j+\frac{1}{2}} k_{i,j+1} + \left[ \frac{+u}{h\Delta x} - \frac{m_1^2 \left( \frac{v_t}{\sigma_k} + \alpha \right)}{(\Delta\eta)^2} \right]_{j+\frac{1}{2}} k_{i,j} + \left[ \frac{+m'_{11}}{4\Delta\eta} + \frac{m_1^2 \left( \frac{v_t}{\sigma_k} + \alpha \right)}{2(\Delta\eta)^2} \right]_{j+\frac{1}{2}} k_{i,j-1} + L'_{i+\frac{1}{2},j} \left( N_{i+\frac{1}{2},j} \right)^2 + \left( N'_{i+\frac{1}{2},j} \right)^2 - N''_{i+\frac{1}{2},j} - \varepsilon_{i+\frac{1}{2},j} - G'_{i+\frac{1}{2},j} \left( \frac{u_{i+1,j+1} - 2u_{i+1,j} + u_{i+1,j-1} + u_{i,j+1} - 2u_{i,j} + u_{i,j-1}}{2\Delta\eta^2} \right) + G''_{i+\frac{1}{2},j} N_{i+\frac{1}{2},j} - G'''_{i+\frac{1}{2},j} = 0$$

$$A'_{i+\frac{1}{2},j} k_{i+1,j+1} + B'_{i+\frac{1}{2},j} k_{i+1,j} + C'_{i+\frac{1}{2},j} k_{i+1,j-1} + D'_{i+\frac{1}{2},j} = 0$$

$$A'_{i+\frac{1}{2},j} = \left[ \frac{-m'_{11}}{4\Delta\eta} + \frac{m_1^2 \left( \frac{v_t}{\sigma_k} + \alpha \right)}{2(\Delta\eta)^2} \right]_{j+\frac{1}{2}}$$

$$B'_{i+\frac{1}{2},j} = \left[ \frac{-u}{h_1 \Delta x} - \frac{m_1^2 \left( \frac{v_i}{\sigma_k} + \alpha \right)}{(\Delta \eta)^2} \right]_{j+\frac{1}{2},j}$$

$$C'_{i+\frac{1}{2},j} = \left[ \frac{+m'_1}{4\Delta \eta} + \frac{m_1^2 \left( \frac{v_i}{\sigma_k} + \alpha \right)}{2(\Delta \eta)^2} \right]_{j+\frac{1}{2},j}$$

$$\bar{B}'_{i+\frac{1}{2},j} = \left[ \frac{+u}{h_1 \Delta x} - \frac{m_1^2 \left( \frac{v_i}{\sigma_k} + \alpha \right)}{(\Delta \eta)^2} \right]_{j+\frac{1}{2},j}$$

$$D'_{i+\frac{1}{2},j} = A'_{i+\frac{1}{2},j} k_{i,j+1} + \bar{B}'_{i+\frac{1}{2},j} k_{i,j} + C'_{i+\frac{1}{2},j} k_{i,j-1} + L'_{i+\frac{1}{2},j} \left( N_{i+\frac{1}{2},j} \right)^2 + \left( N'_{i+\frac{1}{2},j} \right)^2$$

$$-N''_{i+\frac{1}{2},j} - \varepsilon_{i+\frac{1}{2},j} - G'_{i+\frac{1}{2},j} \left( M_{i+\frac{1}{2},j} \right) + G''_{i+\frac{1}{2},j} N_{i+\frac{1}{2},j} - G'''_{i+\frac{1}{2},j}$$

$$k_{i+1,j} = E'_{i+\frac{1}{2},j} k_{i+1,j+1} + F'_{i+\frac{1}{2},j}$$



۲-۲-۳) (ε) equation:

$$\begin{aligned} \frac{u}{h_1} \frac{\partial \varepsilon}{\partial x} - m_\Lambda \frac{u}{h_1} \frac{\partial \varepsilon}{\partial \eta} + v m_1 \frac{\partial \varepsilon}{\partial \eta} &= m_1^2 \left( \alpha + \frac{v_t}{\sigma_e} \right) \frac{\partial^2 \varepsilon}{\partial \eta^2} + \frac{k_r}{h_1} m_1 \left( \alpha + \frac{v_t}{\sigma_e} \right) \frac{\partial \varepsilon}{\partial \eta} + \frac{1}{\sigma_e} \frac{\partial v_t}{\partial \eta} \frac{\partial \varepsilon}{\partial \eta} m_1^2 \\ &+ \frac{c_{\varepsilon 1} \varepsilon}{k} v_t m_1^2 \left( \frac{\partial u}{\partial \eta} \right)^2 + c_{\varepsilon 1} v_t \left( \frac{k_r u}{h_1} \right)^2 \frac{\varepsilon}{k} - 2 \frac{c_{\varepsilon 1} \varepsilon}{k} v_t \left( \frac{\partial u}{\partial \eta} \right) \left( \frac{k_r u}{h_1} \right) - f_2 c_{\varepsilon 2} \frac{\varepsilon^2}{k} + 2 \alpha v_t m_1^4 \left( \frac{\partial^2 u}{\partial \eta^2} \right)^2 \end{aligned}$$

۲-۲-۴) Discretizing of (ε) equation:

$$\begin{aligned} &\frac{u}{h_1} \left( \frac{\varepsilon_{i+1,j} - \varepsilon_{i,j}}{\Delta x} \right) + m_\Lambda \left( \frac{\varepsilon_{i+1,j+1} - \varepsilon_{i+1,j-1} + \varepsilon_{i,j+1} - \varepsilon_{i,j-1}}{4\Delta\eta} \right) \\ &- m_1^2 \left( \frac{v_t}{\sigma_e} + \alpha \right) \left( \frac{\varepsilon_{i+1,j+1} - 2\varepsilon_{i+1,j} + \varepsilon_{i+1,j-1} + \varepsilon_{i,j+1} - 2\varepsilon_{i,j} + \varepsilon_{i,j-1}}{2\Delta\eta^2} \right) \\ &- c_{\varepsilon 1} \frac{\varepsilon}{k} v_t m_1^2 \left( \underbrace{\frac{u_{i+1,j+1} - u_{i+1,j-1} + u_{i,j+1} - u_{i,j-1}}{4\Delta\eta}}_{N_{i+\frac{1}{2},j}} \right)^2 \\ &+ f_2 c_{\varepsilon 2} \frac{\varepsilon \varepsilon_{i+1,j}}{2k} + f_2 c_{\varepsilon 2} \frac{\varepsilon \varepsilon_{i,j}}{2k} - 2\alpha m_1^4 (v_t) \left( \underbrace{\frac{u_{i+1,j+1} - 2u_{i+1,j} + u_{i+1,j-1} + u_{i,j+1} - 2u_{i,j} + u_{i,j-1}}{2\Delta\eta^2}}_{M_{i+\frac{1}{2},j}} \right)^2 - \\ &c_{\varepsilon 1} \frac{\varepsilon}{k} v_t m_1^2 \left[ \frac{k_r u}{h_1} \right]^2 + 2 \frac{c_{\varepsilon 1} \varepsilon}{k} v_t \left( \frac{k_r u}{h_1} \right) \left( \underbrace{\frac{u_{i+1,j+1} - u_{i+1,j-1} + u_{i,j+1} - u_{i,j-1}}{4\Delta\eta}}_{N_{i+\frac{1}{2},j}} \right) = 0 \\ &\left[ \frac{-m_\Lambda}{4\Delta\eta} + \frac{m_1^2 \left( \frac{v_t}{\sigma_e} + \alpha \right)}{2(\Delta\eta)^2} \right]_{i+\frac{1}{2},j} \varepsilon_{i+1,j+1} + \left[ \frac{-u}{h_1 \Delta x} - \frac{m_1^2 \left( \frac{v_t}{\sigma_e} + \alpha \right)}{(\Delta\eta)^2} - \left( f_2 c_{\varepsilon 2} \frac{\varepsilon}{2k} \right) \right]_{i+\frac{1}{2},j} \varepsilon_{i+1,j} + \left[ \frac{+m_\Lambda}{4\Delta\eta} + \frac{m_1^2 \left( \frac{v_t}{\sigma_e} + \alpha \right)}{2(\Delta\eta)^2} \right]_{i+\frac{1}{2},j} \varepsilon_{i+1,j-1} + \left[ \frac{-m_\Lambda}{4\Delta\eta} + \frac{m_1^2 \left( \frac{v_t}{\sigma_e} + \alpha \right)}{2(\Delta\eta)^2} \right]_{i+\frac{1}{2},j} \varepsilon_{i,j+1} \\ &+ \left[ \frac{-m_\Lambda}{4\Delta\eta} + \frac{m_1^2 \left( \frac{v_t}{\sigma_e} + \alpha \right)}{2(\Delta\eta)^2} \right]_{i+\frac{1}{2},j} \varepsilon_{i,j+1} + \left[ \frac{+u}{h_1 \Delta x} - \frac{m_1^2 \left( \frac{v_t}{\sigma_e} + \alpha \right)}{(\Delta\eta)^2} - \left( f_2 c_{\varepsilon 2} \frac{\varepsilon}{2k} \right) \right]_{i+\frac{1}{2},j} \varepsilon_{i,j} + \left[ \frac{+m_\Lambda}{4\Delta\eta} + \frac{m_1^2 \left( \frac{v_t}{\sigma_e} + \alpha \right)}{2(\Delta\eta)^2} \right]_{i+\frac{1}{2},j} \varepsilon_{i,j-1} + \left( c_{\varepsilon 1} \frac{\varepsilon}{k} v_t m_1^2 \right)_{i+\frac{1}{2},j} \left( N_{i+\frac{1}{2},j} \right)^2 + \\ &\left( 2\alpha m_1^4 (v_t) \right)_{i+\frac{1}{2},j} \left( \underbrace{\frac{u_{i+1,j+1} - 2u_{i+1,j} + u_{i+1,j-1} + u_{i,j+1} - 2u_{i,j} + u_{i,j-1}}{2\Delta\eta^2}}_{M_{i+\frac{1}{2},j}} \right)^2 - \left[ 2 \frac{c_{\varepsilon 1} \varepsilon}{k} v_t \left( \frac{k_r u}{h_1} \right) \right]_{i+\frac{1}{2},j} \left( \underbrace{\frac{u_{i+1,j+1} - u_{i+1,j-1} + u_{i,j+1} - u_{i,j-1}}{4\Delta\eta}}_{N_{i+\frac{1}{2},j}} \right) + \left[ c_{\varepsilon 1} \frac{\varepsilon}{k} v_t m_1^2 \left[ \frac{k_r u}{h_1} \right]^2 \right]_{i+\frac{1}{2},j} = 0 \\ &m_\Lambda = -\frac{m_\Lambda}{h_1} u + v m_1 - \frac{m_1^2}{\sigma_e} \frac{\partial v_t}{\partial \eta} - \frac{k_r}{h_1} m_1 (\alpha + v_t) \end{aligned}$$

$$A''_{i+\frac{1}{2},j} \varepsilon_{i+1,j+1} + B''_{i+\frac{1}{2},j} \varepsilon_{i+1,j} + C''_{i+\frac{1}{2},j} \varepsilon_{i+1,j-1} + D''_{i+\frac{1}{2},j} = 0$$

$$B''_{i+\frac{1}{2},j} = \left[ \frac{-u}{h_1 \Delta x} - \frac{m_1^2 \left( \frac{v_t}{\sigma_c} + \alpha \right)}{(\Delta \eta)^2} - \left( f_2 c_{\varepsilon 2} \frac{\varepsilon}{2k} \right) \right]_{i+\frac{1}{2},j}$$

$$C''_{i+\frac{1}{2},j} = \left[ \frac{-m''_{\Pi}}{4\Delta \eta} + \frac{m_1^2 \left( \frac{v_t}{\sigma_c} + \alpha \right)}{2(\Delta \eta)^2} \right]_{i+\frac{1}{2},j}$$

$$\bar{B}''_{i+\frac{1}{2},j} = \left[ \frac{+u}{h_1 \Delta x} - \frac{m_1^2 \left( \frac{v_t}{\sigma_c} + \alpha \right)}{(\Delta \eta)^2} - \left( f_2 c_{\varepsilon 2} \frac{\varepsilon}{2k} \right) \right]_{i+\frac{1}{2},j}$$

$$D''_{i+\frac{1}{2},j} = A''_{i+\frac{1}{2},j} \varepsilon_{i,j+1} + \bar{B}''_{i+\frac{1}{2},j} \varepsilon_{i,j} + C''_{i+\frac{1}{2},j} \varepsilon_{i,j-1} + L''_{i+\frac{1}{2},j} \left( N_{i+\frac{1}{2},j} \right)^2 + G''_{i+\frac{1}{2},j} \left( M_{i+\frac{1}{2},j} \right)^2$$

$$-G''_{i+\frac{1}{2},j} \left( N_{i+\frac{1}{2},j} \right) + G''_{i+\frac{1}{2},j}$$

$$\varepsilon_{i+1,j} = E''_{i+\frac{1}{2},j} \varepsilon_{i+1,j+1} + F''_{i+\frac{1}{2},j}$$

پیوست ۳ :

**Falkner Skan transformation for boundary layer  
equation with no curvature terms**

3. Falkner skin transformation for boundary layer equation with no curvature terms:

3.1) Transformation parameters:

$$V = \frac{v}{u_c} \left[ \frac{u_c x}{\nu} \right]^{\frac{1}{2}}$$

$$\zeta = \frac{x}{L}$$

$$\eta = y \left[ \frac{\nu x}{U_c(x)} \right]^{\frac{1}{2}}$$

$$f' = \frac{u}{u_c}$$

$$\left( \frac{\partial(\cdot)}{\partial x} \right)_y = \frac{\eta}{2 \zeta L} [m-1] \left[ \frac{\partial(\cdot)}{\partial \eta} \right]_{\zeta} + \frac{1}{L} \left[ \frac{\partial(\cdot)}{\partial \zeta} \right]_{\eta}$$

$$\left[ \frac{\partial(\cdot)}{\partial y} \right]_x = \left( \frac{u_c}{\nu \zeta L} \right)^{\frac{1}{2}} \left( \frac{\partial(\cdot)}{\partial \eta} \right)_{\zeta}$$

3.2) momentum equation:

$$f' \zeta \frac{\partial f'}{\partial \zeta} + \left[ \frac{1}{2} \eta (m-1) f' + V \right] \frac{\partial f'}{\partial \eta} = (1-f'^2) m + \frac{\partial}{\partial \eta} \left[ (1+\nu_i^+) \frac{\partial f'}{\partial \eta} \right]$$

3.2.1) Discretizing of momentum equation:

$$f' \zeta \left( \frac{f'_{i+1,j} - f'_{i,j}}{\Delta \zeta} \right) + m_{\Pi} \left( \frac{f'_{i+1,j+1} - f'_{i+1,j-1} + f'_{i,j+1} - f'_{i,j-1}}{4 \Delta \eta} \right) -$$

$$(\nu_i^+ + 1) \left( \frac{f'_{i+1,j+1} - 2f'_{i+1,j} + f'_{i+1,j-1} + f'_{i,j+1} - 2f'_{i,j} + f'_{i,j-1}}{2 \Delta \eta^2} \right) + (f'(f'_{i,j} + f'_{i+1,j}) - 1) m = 0$$

$$m_{\Pi} = \left[ -\frac{\partial \nu_i^+}{\partial \eta} + V + \frac{\eta}{2} [m-1] f' \right]$$

$$A_{i+\frac{1}{2},j} = \left[ \frac{-m_{\Pi} + (\nu_i^+ + 1)}{4 \Delta \eta + 2(\Delta \eta)^2} \right]_{i+\frac{1}{2},j}$$

$$B_{i+\frac{1}{2},j} = \left[ \frac{-f' \zeta}{\Delta \zeta} - \frac{(\nu_i^+ + 1)}{(\Delta \eta)^2} - \frac{f'}{2} m \right]_{i+\frac{1}{2},j}$$

$$C_{i+\frac{1}{2},j} = \left[ \frac{+m_{\Pi}}{4\Delta\eta} + \frac{(\nu_i^+ + 1)}{2(\Delta\eta)^2} \right]_{i+\frac{1}{2},j}$$

$$\bar{B}_{i+\frac{1}{2},j} = \left[ \frac{+f'\zeta}{\Delta\zeta} - \frac{(\nu_i^+ + 1)}{(\Delta\eta)^2} - \frac{f'}{2}m \right]_{i+\frac{1}{2},j}$$

$$A_{i+\frac{1}{2},j} f'_{i+1,j+1} + B_{i+\frac{1}{2},j} f'_{i+1,j} + C_{i+\frac{1}{2},j} f'_{i+1,j-1} + D_{i+\frac{1}{2},j} = 0$$

$$D_{i+\frac{1}{2},j} = A_{i+\frac{1}{2},j} f'_{i,j+1} + \bar{B}_{i+\frac{1}{2},j} f'_{i,j} + C_{i+\frac{1}{2},j} f'_{i,j-1} + m_{i+\frac{1}{2},j}$$

$$u_{i+1,j} = E_{i+\frac{1}{2},j} u_{i+1,j+1} + F_{i+\frac{1}{2},j}$$

۳-۳) turbulence model equations:

۳-۳-۱) k equation:

$$f' \zeta \frac{\partial k^+}{\partial \zeta} + \left[ \frac{1}{2} \eta (m-1) f' \right] \frac{\partial k^+}{\partial \eta} + V \frac{\partial k^+}{\partial \eta} + 2f' \frac{\zeta}{u_c} \frac{du_c}{d\zeta} k^+ = \frac{\partial}{\partial \eta} \left[ \left( 1 + \frac{v_i^+}{\sigma_k} \right) \frac{\partial k^+}{\partial \eta} \right] -$$

$$\frac{\varepsilon \zeta l}{u_c^3} + v_i^+ \left[ \frac{\partial f'}{\partial \eta} \right]^2 - \left( \frac{1}{c_\mu \text{Re}} \right)^{\frac{1}{2}} \left( \frac{\partial v_i^+}{\partial \eta} \right) \left( \frac{\partial^2 f'}{\partial \eta^2} \right)$$

$$f' \zeta \frac{\partial k^+}{\partial \zeta} + \left[ \frac{1}{2} \eta (m-1) f' + V \right] \frac{\partial k^+}{\partial \eta} + 2f' m k^+ = \frac{\partial}{\partial \eta} \left[ \left( 1 + \frac{v_i^+}{\sigma_k} \right) \frac{\partial k^+}{\partial \eta} \right] - \varepsilon^+$$

$$+ v_i^+ \left[ \frac{\partial f'}{\partial \eta} \right]^2 - \left( \frac{1}{c_\mu \text{Re}} \right)^{\frac{1}{2}} \left( \frac{\partial v_i^+}{\partial \eta} \right) \left( \frac{\partial^2 f'}{\partial \eta^2} \right)$$

$$m'_{\Pi} = \frac{1}{2} \eta (m-1) f' + V - \frac{\partial v_i^+}{\sigma_k \partial \eta}$$

۳-۳-۲) Discretizing of k equation:

$$\left[ \frac{-m'_{\Pi}}{4\Delta\eta} + \frac{\left( \frac{v_i^+}{\sigma_k} + 1 \right)}{2(\Delta\eta)^2} \right]_{i+\frac{1}{2},j} k^+_{i+1,j+1} + \left[ \frac{-f' \zeta}{\Delta\zeta} - \frac{\left( \frac{v_i^+}{\sigma_k} + 1 \right)}{(\Delta\eta)^2} \right]_{i+\frac{1}{2},j} k^+_{i+1,j} + \left[ \frac{+m'_{\Pi}}{4\Delta\eta} + \frac{\left( \frac{v_i^+}{\sigma_k} + 1 \right)}{2(\Delta\eta)^2} \right]_{i+\frac{1}{2},j} k^+_{i+1,j-1} + \left[ \frac{-m'_{\Pi}}{4\Delta\eta} + \frac{\left( \frac{v_i^+}{\sigma_k} + 1 \right)}{2(\Delta\eta)^2} \right]_{i+\frac{1}{2},j} k^+$$

$$+ \left[ \frac{+f' \zeta}{\Delta\zeta} - \frac{\left( \frac{v_i^+}{\sigma_k} + 1 \right)}{(\Delta\eta)^2} \right]_{i+\frac{1}{2},j} k^+_{i,j} + \left[ \frac{+m'_{\Pi}}{4\Delta\eta} + \frac{\left( \frac{v_i^+}{\sigma_k} + 1 \right)}{2(\Delta\eta)^2} \right]_{i+\frac{1}{2},j} k^+_{i,j-1} + L'_{i+\frac{1}{2},j} \left( N_{i+\frac{1}{2},j} \right)^2 - \varepsilon^+_{i+\frac{1}{2},j}$$

$$- G'_{i+\frac{1}{2},j} \left( \frac{f'_{i+1,j+1} - 2f'_{i,j} + f'_{i+1,j-1} + f'_{i,j+1} - 2f'_{i,j} + f'_{i,j-1}}{2\Delta\eta^2} \right) - (2f'm) k^+_{i+\frac{1}{2},j} = 0$$

$$A'_{i+\frac{1}{2},j} k^+_{i+1,j+1} + B'_{i+\frac{1}{2},j} k^+_{i+1,j} + C'_{i+\frac{1}{2},j} k^+_{i+1,j-1} + D'_{i+\frac{1}{2},j} = 0$$

$$A'_{i+\frac{1}{2},j} = \left[ \frac{-m'_{\Pi}}{4\Delta\eta} + \frac{\left( \frac{v_i^+}{\sigma_k} + 1 \right)}{2(\Delta\eta)^2} \right]_{i+\frac{1}{2},j}$$

$$B'_{i+\frac{1}{2},j} = \left[ \frac{-f'\zeta}{\Delta\zeta} - \frac{\left(\frac{v_i^+}{\sigma_k} + 1\right)}{(\Delta\eta)^2} \right]_{i+\frac{1}{2},j}$$

$$C'_{i+\frac{1}{2},j} = \left[ \frac{-m'_{\Pi}}{4\Delta\eta} + \frac{\left(\frac{v_i^+}{\sigma_k} + 1\right)}{2(\Delta\eta)^2} \right]_{i+\frac{1}{2},j}$$

$$D'_{i+\frac{1}{2},j} = A'_{i+\frac{1}{2},j} k_{i,j+1} + \bar{B}'_{i+\frac{1}{2},j} k_{i,j} + C'_{i+\frac{1}{2},j} k_{i,j-1} + L'_{i+\frac{1}{2},j} \left( N_{i+\frac{1}{2},j} \right)^2 - \varepsilon^+_{i+\frac{1}{2},j} - G'_{i+\frac{1}{2},j} \left( M_{i+\frac{1}{2},j} \right) - (G^*)_{i+\frac{1}{2},j} k^+_{i+\frac{1}{2},j}$$

$$L'_{i+\frac{1}{2},j} = [+v_i]_{i+\frac{1}{2},j}$$

$$G'_{i+\frac{1}{2},j} = \left( \frac{1}{(0.3 \text{Re})} \left( \frac{\partial v_i^+}{\partial \eta} \right) \right)_{i+\frac{1}{2},j}$$

$$(G^*)_{i+\frac{1}{2},j} = (2f'm)_{i+\frac{1}{2},j}$$

$$k_{i+1,j} = E'_{i+\frac{1}{2},j} k_{i+1,j+1} + F'_{i+\frac{1}{2},j}$$

3-3-f) (  $\varepsilon$  ) equation:

$$u \frac{\partial \varepsilon}{\partial x} + v \frac{\partial \varepsilon}{\partial y} = \frac{\partial}{\partial y} \left( \left( \frac{v_t}{\sigma_e} + v \right) \frac{\partial \varepsilon}{\partial y} \right) + c_{e1} \frac{\varepsilon}{k} v_t \left( \frac{\partial u}{\partial y} \right)^2 - c_{e2} f_2 \frac{\varepsilon^2}{k} + 2v v_t \left( \frac{\partial^2 u}{\partial y^2} \right)$$

$$f' \zeta \frac{\partial \varepsilon^+}{\partial \zeta} + 3f' m \varepsilon^+ - f' \varepsilon^+ + \frac{f'}{2} \eta (m-1) \frac{\partial \varepsilon^+}{\partial \eta} + v \frac{\partial \varepsilon^+}{\partial \eta} = \frac{\partial}{\partial \eta} \left[ (1+v_t^+) \frac{\partial \varepsilon^+}{\partial \eta} \right] + c_{e1} \frac{\varepsilon^+}{k^+} v_t^+ \left( \frac{\partial f'}{\partial \eta} \right)^2$$

$$- c_{e2} f_2 \frac{(\varepsilon^+)^2}{k^+} + 2v_t^+ \left( \frac{\partial^2 f'}{\partial \eta^2} \right)^2$$

3-3-d) Discretizing of (  $\varepsilon$  ) equation:

$$f' \zeta \left( \frac{\varepsilon^+_{i+1,j} - \varepsilon^+_{i,j}}{\Delta \zeta} \right) + m_{\Pi}^+ \left( \frac{\varepsilon^+_{i+1,j+1} - \varepsilon^+_{i+1,j-1} + \varepsilon^+_{i,j+1} - \varepsilon^+_{i,j-1}}{4\Delta \eta} \right) - \left( \frac{v_t^+}{\sigma_e} + 1 \right) \left( \frac{\varepsilon^+_{i+1,j+1} - 2\varepsilon^+_{i,j} + \varepsilon^+_{i+1,j-1} + \varepsilon^+_{i,j+1} - 2\varepsilon^+_{i,j} + \varepsilon^+_{i,j-1}}{2\Delta \eta^2} \right)$$

$$- c_{e1} \frac{\varepsilon^+}{k^+} v_t^+ \left( \underbrace{\frac{f'_{i+1,j+1} - f'_{i+1,j-1} + f'_{i,j+1} - f'_{i,j-1}}{4\Delta \eta}}_{N_{i+\frac{1}{2},j}} \right)^2 + f_2 c_{e2} \frac{\varepsilon^+ \varepsilon^+_{i+1,j}}{2k^+} + f_2 c_{e2} \frac{\varepsilon^+ \varepsilon^+_{i,j}}{2k^+} -$$

$$2(v_t^+) \left( \frac{f'_{i+1,j+1} - 2f'_{i,j} + f'_{i+1,j-1} + f'_{i,j+1} - 2f'_{i,j} + f'_{i,j-1}}{2\Delta \eta^2} \right)^2 - f' \varepsilon^+ + 3f' m \varepsilon^+ = 0$$

$$\left[ \frac{-m_{\Pi}^+}{4\Delta \eta} + \frac{\left( \frac{v_t^+}{\sigma_e} + 1 \right)}{2(\Delta \eta)^2} \right]_{i+\frac{1}{2},j} \varepsilon^+_{i+1,j+1} + \left[ \frac{-f' \zeta}{\Delta \zeta} - \frac{\left( \frac{v_t^+}{\sigma_e} + 1 \right)}{(\Delta \eta)^2} - \left( f_2 c_{e2} \frac{\varepsilon^+}{2k^+} \right) \right]_{i+\frac{1}{2},j} \varepsilon^+_{i+1,j} + \left[ \frac{+m_{\Pi}^+}{4\Delta \eta} + \frac{\left( \frac{v_t^+}{\sigma_e} + 1 \right)}{2(\Delta \eta)^2} \right]_{i+\frac{1}{2},j} \varepsilon^+_{i+1,j-1} + \left[ \frac{-m_{\Pi}^+}{4\Delta \eta} + \frac{m_{\Pi}^+ \left( \frac{v_t^+}{\sigma_e} + 1 \right)}{2(\Delta \eta)^2} \right]_{i+\frac{1}{2},j} \varepsilon^+_{i,j+1}$$

$$+ \left[ \frac{+f' \zeta}{\Delta \zeta} - \frac{\left( \frac{v_t^+}{\sigma_e} + 1 \right)}{(\Delta \eta)^2} - \left( f_2 c_{e2} \frac{\varepsilon^+}{2k^+} \right) \right]_{i+\frac{1}{2},j} \varepsilon^+_{i,j} + \left[ \frac{+m_{\Pi}^+}{4\Delta \eta} + \frac{\left( \frac{v_t^+}{\sigma_e} + 1 \right)}{2(\Delta \eta)^2} \right]_{i+\frac{1}{2},j} \varepsilon^+_{i,j-1} + \left( c_{e1} \frac{\varepsilon^+ v_t^+}{k^+} \right)_{i+\frac{1}{2},j} \left( N_{i+\frac{1}{2},j} \right)^2 +$$

$$(2(v_t^+))_{i+\frac{1}{2},j} \left( \underbrace{\frac{f'_{i+1,j+1} - 2f'_{i,j} + f'_{i+1,j-1} + f'_{i,j+1} - 2f'_{i,j} + f'_{i,j-1}}{2\Delta \eta^2}}_{M_{i+\frac{1}{2},j}} \right)^2 + [f'(1-3m)]_{i+\frac{1}{2},j} \varepsilon^+_{i+\frac{1}{2},j} = 0$$

$$m_{\Pi}^+ = v + \frac{f'}{2} \eta (m-1) - \frac{\partial v_t^+}{\sigma_e \partial \eta}$$

$$A''_{i+\frac{1}{2},j} \varepsilon_{i+1,j+1} + B''_{i+\frac{1}{2},j} \varepsilon_{i+1,j} + C''_{i+\frac{1}{2},j} \varepsilon_{i+1,j-1} + D''_{i+\frac{1}{2},j} = 0$$

$$A''_{i+\frac{1}{2},j} = \left[ \frac{-m_{\Pi}^+}{4\Delta \eta} + \frac{\left( \frac{v_t^+}{\sigma_e} + 1 \right)}{2(\Delta \eta)^2} \right]_{i+\frac{1}{2},j}$$



$$B''_{i+\frac{1}{2},j} = \left[ \frac{-f''\zeta}{\Delta\zeta} - \frac{\left(\frac{\nu_i^+}{\sigma_c} + 1\right)}{(\Delta\eta)^2} - \left(f_2 c_{r2} \frac{\varepsilon^+}{2k^+}\right) \right]_{i+\frac{1}{2},j}$$

$$C''_{i+\frac{1}{2},j} = \left[ \frac{-m''_{\Pi}}{4\Delta\eta} + \frac{m_1^2 \left(\frac{\nu_i^+}{\sigma_c} + 1\right)}{2(\Delta\eta)^2} \right]_{i+\frac{1}{2},j}$$

$$D''_{i+\frac{1}{2},j} = A''_{i+\frac{1}{2},j} \varepsilon^+_{i,j+1} + \bar{B}''_{i+\frac{1}{2},j} \varepsilon^+_{i,j} + C''_{i+\frac{1}{2},j} \varepsilon^+_{i,j-1} + L''_{i+\frac{1}{2},j} \left(N_{i+\frac{1}{2},j}\right)^2 + G''_{i+\frac{1}{2},j} \left(M_{i+\frac{1}{2},j}\right)^2 + G''_{2,i+\frac{1}{2},j} \varepsilon^+_{i+\frac{1}{2},j}$$

$$\varepsilon_{i+1,j} = E''_{i+\frac{1}{2},j} \varepsilon_{i+1,j+1} + F''_{i+\frac{1}{2},j}$$

¶. Falkner skan transformation for curved surfaces:

¶-1) momentum equation:

$$f' \zeta \frac{\partial f'}{\partial \zeta} + \left[ \frac{1}{2} \eta (m-1) f' + V \right] \frac{\partial f'}{\partial \eta} + \frac{B}{h_1'} f' V = (-f'^2) m + \left( \frac{-\zeta}{u_w^2} \right) \frac{\partial p_e^+}{\partial \zeta} + h_1' \frac{\partial v_i^+}{\partial \eta} \frac{\partial f'}{\partial \eta} \\ + \frac{\partial v_i^+}{\partial \eta} B f' + h_1' (1+v_i^+) \frac{\partial^2 f'}{\partial \eta^2} + (1+v_i^+) B \frac{\partial f'}{\partial \eta} - \frac{B^2}{h_1'} (1+v_i^+) f'$$

$$f' \zeta \frac{\partial f'}{\partial \zeta} + \left[ \frac{1}{2} \eta (m-1) f' + V - h_1' \frac{\partial v_i^+}{\partial \eta} - (1+v_i^+) B \right] \frac{\partial f'}{\partial \eta} \\ + \left[ \frac{B}{h_1'} V + \frac{B^2 (1+v_i^+)}{h_1'} - \frac{\partial v_i^+}{\partial \eta} \right] f' + (f'^2) m + \left( \frac{+\zeta}{u_w^2} \right) \frac{\partial p_e^+}{\partial \zeta} - h_1' (1+v_i^+) \frac{\partial^2 f'}{\partial \eta^2} = 0$$

$$h_1' = 1 + B\eta$$

$$B = \left[ \frac{\left( \frac{x}{L} \right)^2}{\frac{u_w}{u_\infty} R_\infty} \right]^{1/2} Lk_r$$

¶-1-1) Discretizing of momentum equation:

$$\left[ \frac{-m_\pi}{4\Delta\eta} + \frac{h_1'(v_i^+ + 1)}{2(\Delta\eta)^2} \right]_{i+\frac{1}{2},j} f'_{i+1,j+1} + \left[ \frac{-f'\zeta}{\Delta\zeta} - \frac{h_1'(v_i^+ + 1)}{(\Delta\eta)^2} - \frac{f'm}{2} \right]_{i+\frac{1}{2},j} f'_{i+1,j} + \left[ \frac{+m_\pi}{4\Delta\eta} + \frac{h_1'(1+v_i^+)}{2(\Delta\eta)^2} \right]_{i+\frac{1}{2},j} f'_{i+1,j-1} +$$

$$\left[ \frac{-m_\pi}{4\Delta\eta} + \frac{h_1'(v_i^+ + 1)}{2(\Delta\eta)^2} \right]_{i+\frac{1}{2},j} f'_{i,j+1} + \left[ \frac{+f'\zeta}{\Delta\zeta} - \frac{h_1'(v_i^+ + 1)}{(\Delta\eta)^2} - \frac{f'm}{2} \right]_{i+\frac{1}{2},j} f'_{i,j} + \left[ \frac{+m_\pi}{4\Delta\eta} + \frac{h_1'(v_i^+ + 1)}{2(\Delta\eta)^2} \right]_{i+\frac{1}{2},j} f'_{i,j-1}$$

$$- \left( \left( \frac{+\zeta}{u_w^2} \right) \frac{\partial p_e^+}{\partial \zeta} \right)_{i+\frac{1}{2},j} - \left( \frac{B}{h_1'} V + \frac{B^2 (1+v_i^+)}{h_1'} - \frac{\partial v_i^+}{\partial \eta} \right)_{i+\frac{1}{2},j} f'_{i+\frac{1}{2},j} = 0$$

$$A_{i+\frac{1}{2},j} f'_{i+1,j+1} + B_{i+\frac{1}{2},j} f'_{i+1,j} + C_{i+\frac{1}{2},j} f'_{i+1,j-1} + D_{i+\frac{1}{2},j} = 0$$

$$A_{i+\frac{1}{2},j} = \left[ \frac{-m_\pi}{4\Delta\eta} + \frac{h_1'(v_i^+ + 1)}{2(\Delta\eta)^2} \right]_{i+\frac{1}{2},j}$$

$$B_{i+\frac{1}{2},j} = \left[ \frac{-f'\zeta}{\Delta\zeta} - \frac{h'_1(v_i^+ + 1)}{(\Delta\eta)^2} - \frac{f'm}{2} \right]_{i+\frac{1}{2},j}$$

$$C_{i+\frac{1}{2},j} = \left[ \frac{+m\pi}{4\Delta\eta} + \frac{h'_1(1+v_i^+)}{2(\Delta\eta)^2} \right]_{i+\frac{1}{2},j}$$

$$\bar{B}_{i+\frac{1}{2},j} = \left[ \frac{+f'\zeta}{\Delta\zeta} - \frac{h'(v_i^+ + 1)}{(\Delta\eta)^2} - \frac{f'm}{2} \right]_{i+\frac{1}{2},j}$$

$$D_{i+\frac{1}{2},j} = A_{i+\frac{1}{2},j} f'_{i,j+1} + \bar{B}_{i+\frac{1}{2},j} f'_{i,j} + C_{i+\frac{1}{2},j} f'_{i,j-1} - \left( \left( \frac{+\zeta}{u_w^2} \right) \frac{\partial p_e^+}{\partial \zeta} \right)_{i+\frac{1}{2},j} - \left( \frac{B}{h'_1} V + \frac{B^2(1+v_i^+)}{h'_1} - \frac{\partial v_i^+}{\partial \eta} \right)_{i+\frac{1}{2},j} f'_{i+\frac{1}{2},j}$$

$$u_{i+1,j} = E_{i+\frac{1}{2},j} u_{i+1,j+1} + F_{i+\frac{1}{2},j}$$

4-2) turbulence model equations:

4-2-1) k equation:

$$f' \zeta \frac{\partial k^+}{\partial \zeta} + \underbrace{\left( +V - \frac{h'_1}{\sigma_k} \frac{\partial v_i^+}{\partial \eta} - B \left( 1 + \frac{v_i^+}{\sigma_k} \right) + f' \eta \left( \frac{m-1}{2} \right) \right)}_{m'_n} \frac{\partial k^+}{\partial \eta} - h'_1 \left( \left( 1 + \frac{v_i^+}{\sigma_k} \right) \frac{\partial^2 k^+}{\partial \eta^2} \right) - v_i^+ h'_1 \left( \frac{\partial f'}{\partial \eta} - \frac{B f'}{h'_1} \right)^2 + \varepsilon^+ h'_1 + \frac{h'_1}{0.3 \text{Re}} \left( \frac{\partial v_i^+}{\partial \eta} \right) \left( \frac{\partial^2 f'}{\partial \eta^2} \right) - \frac{B_1}{0.3 \text{Re}} \left( \frac{\partial v_i^+}{\partial \eta} \right) \frac{\partial f'}{\partial \eta} + \frac{B^2 f'}{0.3 \text{Re} h'_1} \left( \frac{\partial v_i^+}{\partial \eta} \right) + 2 f' m k^+ = 0$$

4-2-2) Discretizing of k equation:

$$f' \zeta \left( \frac{k^+_{i+1,j} - k^+_{i,j}}{\Delta \zeta} \right) + m'_n \left( \frac{k^+_{i+1,j+1} - k^+_{i+1,j-1} + k^+_{i,j+1} - k^+_{i,j-1}}{4 \Delta \eta} \right) - h'_1 \left( \frac{v_i^+}{\sigma_k} + 1 \right) \left( \frac{k^+_{i+1,j+1} - 2k^+_{i+1,j} + k^+_{i+1,j-1} + k^+_{i,j+1} - 2k^+_{i,j} + k^+_{i,j-1}}{2 \Delta \eta^2} \right) - v_i^+ h'_1 \left( \frac{f'_{i+1,j+1} - f'_{i+1,j-1} + f'_{i,j+1} - f'_{i,j-1}}{4 \Delta \eta} \right)^2 - v_i^+ h'_1 \left( \left( \frac{B}{h'_1} \right) f' \right)^2 + \left[ 2v_i^+ h'_1 \left( \frac{B}{h'_1} \right) f' \right] \left( \frac{f'_{i+1,j+1} - f'_{i+1,j-1} + f'_{i,j+1} - f'_{i,j-1}}{4 \Delta \eta} \right) + \varepsilon^+ h'_1 + \frac{h'_1}{0.3 \text{Re}} \left( \frac{\partial v_i^+}{\partial \eta} \right) \left( \frac{f'_{i+1,j+1} - 2f'_{i+1,j} + f'_{i+1,j-1} + f'_{i,j+1} - 2f'_{i,j} + f'_{i,j-1}}{2 \Delta \eta^2} \right) - \frac{B}{0.3 \text{Re}} \left( \frac{\partial v_i^+}{\partial \eta} \right) \left( \frac{f'_{i+1,j+1} - f'_{i+1,j-1} + f'_{i,j+1} - f'_{i,j-1}}{4 \Delta \eta} \right) + \frac{B^2}{0.3 h'_1 \text{Re}} \left( \frac{\partial v_i^+}{\partial \eta} \right) f' + (2 f' m) k^+_{i+1,j} = 0$$

$$\left[ \frac{-m'_n}{4 \Delta \eta} + \frac{h'_1 \left( \frac{v_i^+}{\sigma_k} + 1 \right)}{2 (\Delta \eta)^2} \right]_{i+\frac{1}{2},j} k^+_{i+1,j+1} + \left[ \frac{-f' \zeta}{\Delta \zeta} - \frac{h'_1 \left( \frac{v_i^+}{\sigma_k} + 1 \right)}{(\Delta \eta)^2} \right]_{i+\frac{1}{2},j} k^+_{i+1,j} + \left[ \frac{+m'_n}{4 \Delta \eta} + \frac{h'_1 \left( \frac{v_i^+}{\sigma_k} + 1 \right)}{2 (\Delta \eta)^2} \right]_{i+\frac{1}{2},j} k^+_{i+1,j-1} + \left[ \frac{-m'_n}{4 \Delta \eta} + \frac{h'_1 \left( \frac{v_i^+}{\sigma_k} + 1 \right)}{2 (\Delta \eta)^2} \right]_{i+\frac{1}{2},j} k^+_{i,j+1} + \left[ \frac{+f' \zeta}{\Delta \zeta} - \frac{h'_1 \left( \frac{v_i^+}{\sigma_k} + 1 \right)}{(\Delta \eta)^2} \right]_{i+\frac{1}{2},j} k^+_{i,j} + \left[ \frac{+m'_n}{4 \Delta \eta} + \frac{h'_1 \left( \frac{v_i^+}{\sigma_k} + 1 \right)}{2 (\Delta \eta)^2} \right]_{i+\frac{1}{2},j} k^+_{i,j-1} + L'_{i+\frac{1}{2},j} \left( N_{i+\frac{1}{2},j} \right)^2 + \left( N'_{i+\frac{1}{2},j} \right)^2 - N''_{i+\frac{1}{2},j} - \varepsilon h'_{i+\frac{1}{2},j} - G'_{i+\frac{1}{2},j} \left( \frac{f'_{i+1,j+1} - 2f'_{i+1,j} + f'_{i+1,j-1} + f'_{i,j+1} - 2f'_{i,j} + f'_{i,j-1}}{2 \Delta \eta^2} \right) + G''_{i+\frac{1}{2},j} N_{i+\frac{1}{2},j} - G'''_{i+\frac{1}{2},j} - G''''_{i+\frac{1}{2},j} k^+_{i+\frac{1}{2},j} = 0$$

$$A'_{i+\frac{1}{2},j} k^+_{i+1,j+1} + B'_{i+\frac{1}{2},j} k^+_{i+1,j} + C'_{i+\frac{1}{2},j} k^+_{i+1,j-1} + D'_{i+\frac{1}{2},j} = 0$$

$$D'_{i+\frac{1}{2},j} = A'_{i+\frac{1}{2},j} k^*_{i,j+1} + \bar{B}'_{i+\frac{1}{2},j} k^*_{i,j} + C'_{i+\frac{1}{2},j} k^*_{i,j-1} + L'_{i+\frac{1}{2},j} \left( N_{i+\frac{1}{2},j} \right)^2 + \left( N'_{i+\frac{1}{2},j} \right)^2$$

$$- N''_{i+\frac{1}{2},j} - h'_1 \varepsilon^*_{i+\frac{1}{2},j} - G'_{i+\frac{1}{2},j} \left( M_{i+\frac{1}{2},j} \right) + G''_{i+\frac{1}{2},j} N_{i+\frac{1}{2},j} - G''_{1+\frac{1}{2},j} - G''_{2+\frac{1}{2},j} k^*_{i+\frac{1}{2},j}$$

$$A'_{i+\frac{1}{2},j} = \left[ \frac{-m'_{\Pi} + h'_1 \left( \frac{v'_i}{\sigma_k} + 1 \right)}{4\Delta\eta + 2(\Delta\eta)^2} \right]_{j+\frac{1}{2},j}$$

$$B'_{i+\frac{1}{2},j} = \left[ \frac{-f'\zeta - h'_1 \left( \frac{v'_i}{\sigma_k} + 1 \right)}{\Delta\zeta - (\Delta\eta)^2} \right]_{j+\frac{1}{2},j}$$

$$C'_{i+\frac{1}{2},j} = \left[ \frac{-m'_{\Pi} + h'_1 \left( \frac{v'_i}{\sigma_k} + 1 \right)}{4\Delta\eta + 2(\Delta\eta)^2} \right]_{j+\frac{1}{2},j}$$

$$\bar{B}'_{i+\frac{1}{2},j} = \left[ \frac{+f'\zeta - h'_1 \left( \frac{v'_i}{\sigma_k} + 1 \right)}{\Delta\zeta - (\Delta\eta)^2} \right]_{j+\frac{1}{2},j}$$

$$k_{i+1,j} = E'_{i+\frac{1}{2},j} k_{i+1,j+1} + F'_{i+\frac{1}{2},j}$$

4.2.3)  $\varepsilon$  equation:

$$\begin{aligned}
 & f' \zeta \frac{\partial \varepsilon^+}{\partial \zeta} + \eta f' \frac{(m-1)}{2} \frac{\partial \varepsilon^+}{\partial \eta} + V \frac{\partial \varepsilon^+}{\partial \eta} - f' \varepsilon^+ + 3mf' \varepsilon^+ = h_1' \left( 1 + \frac{v_i^+}{\sigma_c} \right) \frac{\partial^2 \varepsilon^+}{\partial \eta^2} + \\
 & B \left( 1 + \frac{v_i^+}{\sigma_c} \right) \frac{\partial \varepsilon^+}{\partial \eta} + \frac{h_1'}{\sigma_c} \frac{\partial v_i^+}{\partial \eta} \frac{\partial \varepsilon^+}{\partial \eta} + \frac{c_{\varepsilon 1} \varepsilon^+}{k^+} v_i^+ h_1' \left( \frac{\partial f'}{\partial \eta} \right)^2 + c_{\varepsilon 1} v_i^+ h_1' \left( \frac{B}{h_1'} f' \right)^2 \frac{\varepsilon^+}{k^+} - \\
 & 2 \frac{c_{\varepsilon 1} \varepsilon^+}{k^+} v_i^+ h_1' \left( \frac{\partial f'}{\partial \eta} \right) \left( \frac{B}{h_1'} f' \right) - f_2 c_{\varepsilon 2} h_1' \frac{\varepsilon^+}{k^+} + 2v_i^+ h_1' \left( \frac{\partial^2 f'}{\partial \eta^2} \right)^2 \\
 & f' \zeta \frac{\partial \varepsilon^+}{\partial \zeta} + \left[ V + \eta f' \frac{(m-1)}{2} - B \left( 1 + \frac{v_i^+}{\sigma_c} \right) - \frac{h_1'}{\sigma_c} \frac{\partial v_i^+}{\partial \eta} \right] \frac{\partial \varepsilon^+}{\partial \eta} - h_1' \left( 1 + \frac{v_i^+}{\sigma_c} \right) \frac{\partial^2 \varepsilon^+}{\partial \eta^2} \\
 & + f_2 c_{\varepsilon 2} h_1' \frac{\varepsilon^+}{k^+} - 2v_i^+ h_1' \left( \frac{\partial^2 f'}{\partial \eta^2} \right)^2 - c_{\varepsilon 1} v_i^+ h_1' \left( \frac{B}{h_1'} f' \right)^2 \frac{\varepsilon^+}{k^+} - f' \varepsilon^+ + 3mf' \varepsilon^+ - c_{\varepsilon 1} v_i^+ h_1' \left( \frac{B}{h_1'} f' \right)^2 \frac{\varepsilon^+}{k^+} \\
 & + 2 \frac{c_{\varepsilon 1} \varepsilon^+}{k^+} v_i^+ \left( \frac{\partial f'}{\partial \eta} \right) (Bf') = 0
 \end{aligned}$$

۴-۲-۴) Discretizing of  $\varepsilon$  equation:

$$\begin{aligned}
 & \left[ \frac{-m_{11}''}{4\Delta\eta} + \frac{h_1' \left( \frac{v_i^*}{\sigma_e} + 1 \right)}{2(\Delta\eta)^2} \right]_{i+\frac{1}{2},j} \varepsilon^*_{i+1,j+1} + \left[ \frac{-f'\zeta}{\Delta\zeta} - \frac{h_1' \left( \frac{v_i^*}{\sigma_e} + 1 \right)}{(\Delta\eta)^2} - \left( f_2 c_{r2} \frac{\varepsilon^*}{2k^*} \right) \right]_{i+\frac{1}{2},j} \varepsilon^*_{i+1,j} \\
 & + \left[ \frac{+m_{11}''}{4\Delta\eta} + \frac{h_1' \left( \frac{v_i^*}{\sigma_e} + 1 \right)}{2(\Delta\eta)^2} \right]_{i+\frac{1}{2},j} \varepsilon^*_{i+1,j-1} + \left[ \frac{-m_{11}''}{4\Delta\eta} + \frac{h_1' \left( \frac{v_i^*}{\sigma_e} + 1 \right)}{2(\Delta\eta)^2} \right]_{i+\frac{1}{2},j} \varepsilon^*_{i,j+1} \\
 & + \left[ \frac{-m_{11}''}{4\Delta\eta} + \frac{h_1' \left( \frac{v_i^*}{\sigma_e} + 1 \right)}{2(\Delta\eta)^2} \right]_{i+\frac{1}{2},j} \varepsilon^*_{i,j+1} + \left[ \frac{+f'\zeta}{\Delta\zeta} - \frac{h_1' \left( \frac{v_i^*}{\sigma_e} + 1 \right)}{(\Delta\eta)^2} - \left( f_2 c_{r2} \frac{\varepsilon^*}{2k^*} \right) \right]_{i+\frac{1}{2},j} \varepsilon^*_{i,j} \\
 & + \left[ \frac{+m_{11}''}{4\Delta\eta} + \frac{h_1' \left( \frac{v_i^*}{\sigma_e} + 1 \right)}{2(\Delta\eta)^2} \right]_{i+\frac{1}{2},j} \varepsilon^*_{i,j-1} + \left( c_{e1} h_1' \frac{\varepsilon^*}{k^*} v_i^* \right)_{i+\frac{1}{2},j} \left( N_{i+\frac{1}{2},j} \right)^2 + \\
 & \left( 2(v_i^* h_1') \right)_{i+\frac{1}{2},j} \underbrace{\left( \frac{f'_{i+1,j+1} - 2f'_{i,j} + f'_{i+1,j-1} + f'_{i,j+1} - 2f'_{i,j} + f'_{i,j-1}}{2\Delta\eta^2} \right)^2}_{M_{i+\frac{1}{2},j}} - \left[ 2c_{e1} \frac{\varepsilon^*}{k^*} v_i^* (Bf'') \right]_{i+\frac{1}{2},j} \left( \frac{f'_{i+1,j+1} - f'_{i+1,j-1} + f'_{i,j+1} - f'_{i,j-1}}{4\Delta\eta} \right) + \\
 & \left[ c_{e1} h_1' \frac{\varepsilon^*}{k^*} v_i^{*2} \left[ \frac{Bf''}{h_1'} \right]^2 \right]_{i+\frac{1}{2},j} - [(3m-1)f']_{i+\frac{1}{2},j} \varepsilon^*_{i+\frac{1}{2},j} = 0 \\
 & A''_{i+\frac{1}{2},j} \varepsilon^*_{i+1,j+1} + B''_{i+\frac{1}{2},j} \varepsilon^*_{i+1,j} + C''_{i+\frac{1}{2},j} \varepsilon^*_{i+1,j-1} + D''_{i+\frac{1}{2},j} = 0 \\
 & D''_{i+\frac{1}{2},j} = A''_{i+\frac{1}{2},j} \varepsilon^*_{i,j+1} + \bar{B}''_{i+\frac{1}{2},j} \varepsilon^*_{i,j} + C''_{i+\frac{1}{2},j} \varepsilon^*_{i,j-1} + L''_{i+\frac{1}{2},j} \left( N_{i+\frac{1}{2},j} \right)^2 + G''_{1+i+\frac{1}{2},j} \left( M_{i+\frac{1}{2},j} \right)^2 \\
 & - G''_{2+i+\frac{1}{2},j} \left( N_{i+\frac{1}{2},j} \right) + G''_{3+i+\frac{1}{2},j} + G''_{4+i+\frac{1}{2},j} \\
 & A''_{i+\frac{1}{2},j} = \left[ \frac{-m_{11}''}{4\Delta\eta} + \frac{h_1' \left( \frac{v_i^*}{\sigma_e} + 1 \right)}{2(\Delta\eta)^2} \right]_{i+\frac{1}{2},j}
 \end{aligned}$$

$$B''_{i+\frac{1}{2},j} = \left[ \frac{-f'\zeta}{\Delta\zeta} - \frac{h'_1 \left( \frac{v_i^+}{\sigma_c} + 1 \right)}{(\Delta\eta)^2} - \left( f_2 c_{\epsilon 2} \frac{\epsilon^+}{2k^+} \right) \right]_{i+\frac{1}{2},j}$$

$$C''_{i+\frac{1}{2},j} = \left[ \frac{+m''_{\Pi}}{4\Delta\eta} + \frac{h'_1 \left( \frac{v_i^+}{\sigma_c} + 1 \right)}{2(\Delta\eta)^2} \right]_{i+\frac{1}{2},j}$$

$$\bar{B}''_{i+\frac{1}{2},j} = \left[ \frac{+f'\zeta}{\Delta\zeta} - \frac{h'_1 \left( \frac{v_i^+}{\sigma_c} + 1 \right)}{(\Delta\eta)^2} - \left( f_2 c_{\epsilon 2} \frac{\epsilon^+}{2k^+} \right) \right]_{i+\frac{1}{2},j}$$

$$\epsilon_{i+1,j} = E''_{i+\frac{1}{2},j} \epsilon_{i+1,j+1} + F''_{i+\frac{1}{2},j}$$



## فهرست مراجع:

کتابها:

- [1] Hermann Schlichting, Klaus Gersten."Boundary layer theory".Springer, 8<sup>th</sup> edition 2000.
- [2] Tuncer Cebeci .Jean Coysteix."Modeling and computational of boundary layer Flows".Springer,1999
- [3] S.W.Yuan."Foundations of fluid mechanic"1967
- [4] Frank.M.White."Fluid Mechanics"1990
- [5] C.Gerald,P.Wheatley." Applied numerical analysis".2003

مقالات:

- [6] E.G.Tulapurkara ,A.Khoshnevis,J.Lakeshnarasimham, "Boundary layer subjected to pressure Gradient". J . Aero.Soc.of India.vol. 53. NO.3 pp.184-191.August 2001
- [7] Nobuyuki Shima,Takafumi Kawai ,Masayoshi Okamoto,Ryuta Tsuchikura, "Prediction of streamline curvature effects on wall bounded turbulent flows".Elsevier. IntJ. Heat and fluid flow.21(2000)614-619.
- [8] K.P.Angele,B.Muhammad-Klingmann. "PIV measurements in weakly separating and reattching turbulent boundary layer". Elsevier. European Journal of Mechanics /Fluid.2005 Elsevier SAS.
- [9]Alberto Ayala,Bruce R.White,Dae Seong Kim,Nder Bagheri, "Turbulent transport characteristics in low speed boundary layer subjected to adverse pressure gradient". proceedings of the 36<sup>th</sup> heat transfer and fluid mechanics institute, California state university,Sacramento,1999.
- [10] M.P.Escudier , A.Abdel-Hameed, .W.Johnson , C.J.Sutcliffe, "Laminarisation and re-transition of a turbulent boundary layer subjected to pressureGradient",Springer ,Experiments in fluid ,vol 25,1998-491-502.
- [11] Huang Y-N,Kasagi N. "Modeling the constitutive relation for the Reynolds stress".J.Japan Soc Fluid mechanic 1997,16 (suppl)199-200.
- [12] Huang Y-N,Rajagopal KR. "On necessary and sufficient conditions for turbulent flows in a straight tube". Math Models Meth Appl Sci 1995,111-23.
- [13]Yang XD,Ma HY. "Linear and nonlinear eddy –viscosity turbulent models for a confined swirling co-axial jet". ,J. heat transfer.2003.
- [14] M.M.Gibson, W.P.Jones, and B.A.Younis, "Calculation of turbulent boundary layer on curved surfaces", J.Phys.Fluids ,Vol.24,No.3,1981,pp.386-395.
- [15] K.C.Muck,P.H.Hoffmann and P.Bradshaw, "The Effect of convex surface curvature on turbulentBoundarylayers",J.FluidMech,1985Vol. 161,pp347 - 369.
- [16] K.C.Muck,P.H.Hoffmann and P.Bradshaw, "The Effect of concave surface curvature on turbulent boundary layers", .FluidMech,1985Vol.161,pp371-403.
- [17] Miodrag Oljaca,James Sucec, "Prediction of trans Pried turbulent boundary layers with arbitrary pressure gradients", J. Fluids Engineering, 1994Vol .119.pp526-532.
- [18] W.Rodi ,G.Scheuerer, "Calculation of curved shear Layers with two equation turbulence models" , Phys. Fluids,Vol.26.No.6.1983,PP.1422-1436.
- [19] B.Majumdar,D.P.Agrawal, "Flow characteristics In a large area ratio curved diffuser",J. Aerospace engineering, 1996.pp.65-75 .

- [20] T Ravi, E.G. Tulapurkara and V Balabaskarm, "Effect of fins in a curved square duct" .J .Aero. Society Of India , Vol 28, pp-48-55, 1996.
- [21] Farzad Pourahmadi , Joseph A.C Humphrey, "Prediction of curved channel flow with an extended  $k - \varepsilon$  model of turbulence", AIAA Journal , Vol.21 No.10, 1983, pp.1365-1373.
- [22] W.B.Nicoil, B.R.Ramaprian "A modified entrainment theory for the prediction of turbulent boundary layer growth in adverse pressure gradients". J. Basic Engineering, pp-649-654, 1969.
- [23] Y.Senoo, M.Nishi, "Prediction of flow separation in a diffuser by a boundary layer calculation", Fluids Engineering 1977, pp379-389.
- [24] Ronald M C So, George L Mellor, "Experiment On turbulent boundary layer on a concave wall", 1975
- [25] R.N.Meroney, P. Bradshaw, "Turbulent Boundary layer growth over a longitudinally Curved surface", AIAA .J. Vol.13.No.11, 1974
- [26] V.C.Patel. "Effects of curvature on turbulent Boundary layer", Ministry of technology, 1969.
- [27] G.Chukkapalli, O.F.Turan, "Structural parameter And prediction of adverse pressure gradient turbulent flow an improved  $k - \varepsilon$  model", J, Fluids , Vol, 117, 1995
- [28] Nagano, Y., Tagawa, M. and Tsuji, T., "Effect of adverse pressure gradient on mean flow and turbulence statistics in a boundary layer," Proceeding of the 8<sup>th</sup> symposium on turbulent shear flow, Munich , September, 1991, pp7-21.
- [29] Sparlart, P.R. and Watmuff, J.H., "Experimental and numerical study of a turbulent boundary layer with adverse pressure gradient", J. Fluid mechanics, Vol.249, 1993, pp.337-371
- [30] Ayala, A., White, B.R. and Bagheri, N., "Turbulent prandtl number measurements in adverse pressure gradient equilibrium boundary layer," proceedings of the 2<sup>th</sup> heat transfer and fluid mechanics institute, Delft, The Netherlands, June, 1997, pp.137-146.
- [31] P. Bradshaw, "The analogy between streamline curvature and boundary in turbulent shear flow". A.R.C.29, 048, 1978
- [32] A.E. von Doenhoff and N. Tetervin. "Determination of general relations for the behavior of turbulent boundary layer". N.A.C.A. Report 772. 1963
- [33] S. Eskinazi. "An investigation of fully developed turbulent flow in curved channel". J. Aero. Sci. Vol. 23, p. 23. 1966
- [34] Blackwell., "The turbulent boundary layer on porous plate". Report No. HMT-16, Thermosciences Division , Dept. of mechanical engineering , Stanford univ, Stanford, CA, August, 1982
- [35] H. Yeh, W.G. Rose and, Lien, Wattendorf . "Further investigations on fully developed turbulent flows in curved channel" Johns Hopkins Univ., Contract Nour-248(33) Report. 1976

**Abstract:**

Flow with Adverse pressure gradient:

Effect of adverse pressure gradient on turbulent boundary layer was studied in this recent project. We calculate turbulent intensity, turbulent shear stress and mean velocity by the effect of adverse pressure gradient. The values of  $(\beta)$  are different and we examined the mentioned turbulent characters for different cases. One of the most important conclusion is that the adverse pressure gradient causes to increase turbulent intensity and turbulence shear stress by the other way we can say that adverse pressure gradient causes an increase on the instability of the flow. These conclusions were also carried out by experimental research those we receive them by numerical solution of boundary layer equations.

$(k - \varepsilon)$  model was used for modeling turbulence term on momentum equation. But this model should be modified if we want to get correct value near wall region in this manner we introduced wall function to  $(k - \varepsilon)$  equations.

Flow on curved surfaces:

Also we examine the effect of concave and convex curvature on turbulent flow by numerical solution of boundary layer equation on curved surface. Turbulence intensities and turbulent shear stress were calculated in the mentioned cases. It is obvious that the turbulent intensities and turbulent shear stress are increased on concave wall if we compare with the results on flat plate with the same conditions and the opposite is true for the boundary layer on convex wall. We conclude that for the boundary layer on Concave surface the destabilizing effects lead to increased turbulent momentum exchange between fluid particles and in this case also the convex curvature has the opposite effect when compares with results on concave wall by the other way convex curvature causes to that the flow being stabilized. The integral parameter of boundary layer like momentum thickness and displacement thickness are increased on concave surface and reduced on convex curvature when they were compared by the values of mentioned parameter on flat plate. The model is used to calculate turbulent parameter is  $k - \varepsilon$  model which is introduced by wall functions and we modified these equations for curved surfaces.